МИНИСТЕРСТВО ОБРАЗОВАНИЯ И НАУКИ РОССИЙСКОЙ ФЕДЕРАЦИИ ФЕДЕРАЛЬНОЕ АГЕНТСТВО ПО ОБРАЗОВАНИЮ

Государственное образовательное учреждение высшего профессионального образования "Оренбургский государственный университет"

С.Е. ГОРЛАТОВ, В.Т. ИСАЙЧЕВ, А.А. ФИЛИППОВ

АВТОМОБИЛЬ. ГЛАВНЫЕ ПЕРЕДАЧИ

Рекомендовано Ученым советом государственного образовательного учреждения высшего профессионального образования "Оренбургский государственный университет" в качестве учебного пособия для студентов, обучающихся по программам высшего профессионального образования по специальностям "Автомобили и автомобильное хозяйство ", и " Сервис транспортных и технологических машин и оборудования"

УДК 629.113 (075.8) ББК 39.33 - 01 я 73 Г69

Рецензент

кандидат технических наук, доцент А. Н. Мельников.

Горлатов, С.Е.

Г 69 Автомобиль. Главные передачи: учебное пособие / С.Е. Горлатов, В.Т. Исайчев, А.А. Филиппов - Оренбург: ГОУ ОГУ, 2009. - 135 с.

ISBN

В пособии дан анализ конструкций главных передач, дифференциалов и полуосей автомобиля, их оценка и применяемость в автомобилестроении, изложены элементы расчета нагрузок в механизмах автомобиля.

Учебное пособие предназначено для студентов всех форм обучения, изучающих дисциплину СД 06.02 — Автомобили федерального компонента ГОС ВПО направления подготовки дипломированных специалистов 190600 - Эксплуатация наземного транспорта и транспортного оборудования.

 $\Gamma \frac{3203010000}{10000}$

ISBN

© ГОУ ОГУ 2009

[©] Горлатов С.Е., 2009 Исайчев В.Т., Филиппов А.А.,

Содержание

Введение	4
1 Главные передачи	5
1.1 Общие сведения	5
1.2.1 Одинарная коническая главная передача	6
1.2.2 Одинарная гипоидная главная передача	8
1.2.3 Одинарная цилиндрическая главная передача	10
1.2.4 Одинарная червячная главная передача	11
1.3 Двойные главные передачи	12
1.3.1 Двойная центральная одноступенчатая главная передача	12
1.3.2 Двойная центральная двухступенчатая главная передача	15
1.3.3 Двойная разнесенная главная передача	16
1.4 Выбор основных параметров зубчатых колес главных передач	19
1.5 Особенности проектирования и расчета конических и гипоидных главн	ЫΧ
передач	21
1.5.1 Силы, действующие в зацеплении конических колес	21
1.5.2 Силы, действующие в зацеплении гипоидных колес	23
1.5.3 Предварительный натяг подшипников валов конической и гипоидной	Ĺ
главных передач	25
1.5.4 Расчет прогибов конических и гипоидных зубчатых колес	27
2 Дифференциалы	30
2.1 Общие сведения	30
2.2 Кинематические и силовые соотношения в дифференциале	32
2.3 Влияние дифференциала на проходимость автомобиля	35
2.4 Коэффициент блокировки симметричного дифференциала	37
2.5 Определение коэффициента блокировки дифференциалов различных	
конструкций	41
2.6 Выбор основных параметров зубчатых колес дифференциалов	50
3 Полуоси	56
Список использованных источников	63
Приложение А	64
Приложение Б	81
Приложение В	82
Приложение Г	83
Приложение Д	
Приложение Е	86

Введение

В требованиях ГОСВПО к обязательному минимуму содержания дисциплины «Конструкция, расчет и потребительские свойства изделий» для специальности 190603— «Сервис транспортных и технологических машин и оборудования», а равно дисциплины «Автомобили» для специальности 190601— «Автомобили и автомобильное хозяйство» оговаривается, что студент должен:

- знать конструктивные особенности, условия и режимы работы основных агрегатов и узлов автотранспортных средств;
- иметь практические навыки по проектированию отдельных узлов и механизмов автомобиля.

В учебном пособии дан анализ конструкций главных передач, дифференциалов и полуосей автомобиля их оценка и применяемость в автомобилестроении.

На основании рабочих процессов изложены элементы расчета, необходимые для определения действующих в механизмах автомобиля нагрузок.

Для закрепления теоретического материала, изложенного в пособии, даны контрольные вопросы.

В пособии приведены примеры расчета главной передачи, дифференциала и полуосей автомобиля.

Полезной информацией для студентов будут технические характеристики различных типов автомобилей, необходимые для расчета агрегатов и механизмов автомобиля.

1 Главные передачи

1.1 Общие сведения

Главная передача - это механизм трансмиссии, преобразующий крутящий момент и расположенный перед ведущими колесами автомобиля.

Основные требования, предъявляемые к главным передачам: обеспечение заданных передаточных чисел при минимальных габаритных размерах и массе с сохранением необходимых дорожных просветов; высокий коэффициент полезного действия (КПД) и минимальный уровень шума; простота обслуживания, технологичность, ремонтопригодность; высокая жесткость корпуса, опор и валов; высокая точность изготовления и сборки.

Различают главные передачи *одинарные*, имеющие в своем составе одну зубчатую пару, и *двойные*, имеющие более одной зубчатой пары в каждой ветви силового потока. Очень редко встречаются *тройные* главные передачи.

В свою очередь, одинарные главные передачи бывают: конические с прямыми и криволинейными зубьями; цилиндрические прямозубые, косозубые и шевронные; гипоидные с верхним и нижним смещением; червячные с верхним и нижним расположением червяка.

Двойные главные передачи подразделяются на *центральные одно-* и *двухступенчатые* (по числу переключаемых ступеней передаточных чисел) и на *разнесенные с колесным редуктором*, с *бортовым редуктором* и с *обоими редукторами*.

Схема и конструкция главной передачи обусловлены, прежде всего, передаточным числом i_0 , которое выбирают, исходя из достижения заданной максимальной скорости V_{max} движения автомобиля:

$$i_0 = \frac{0.377 \cdot n_{\text{max}} \cdot r}{i_{k_B} \cdot i_{\text{pKB}} \cdot V_{\text{max}}}, \qquad (1.1)$$

где r - радиус качения колеса, м;

n_{max} - максимальные обороты коленчатого вала двигателя, об/мин;

 $i_{\kappa B}$ - передаточное число коробки передач на высшей передаче;

 $i_{\text{ркв}}$ - передаточное число раздаточной коробки на повышенной передаче;

 V_{max} - максимальная скорость движения автомобиля на прямой передаче, км/ч.

При увеличении нагрузки, приходящейся на одну ось, возрастают размеры колеса и его радиус качения г. Это приводит к необходимости повышения передаточного числа главной передачи i_0 при неизменных значениях остальных параметров: n_N , V_{max} , $i_{кв}$, $i_{ркв}$.

При $i_0 \le 8$ используют одинарную главную передачу, при $6 < i_0 < 12$ - двойную центральную и при $i_0 > 11$ - двойную разнесенную.

Схема главной передачи зависит также от требуемого дорожного просвета и типа подвески колеса.

1.2 Одинарные главные передачи

Одинарные главные передачи применяют в легковых и грузовых автомобилях малой и средней грузоподъемности. Их преимущества: компактность, минимальные габаритные размеры, масса и стоимость, недостаток - ограниченное значение передаточного числа.

1.2.1 Одинарная коническая главная передача

В настоящее время прямозубую коническую передачу не применяют, а из передач с криволинейным зубом используют лишь передачи с круговым зубом, выполненным по дуге окружности, диаметр которой определяется диаметром резцовой головки. Широкое применение конических передач с круговым зубом обусловлено возможностью шлифования зубьев на высокопроизводительных станках и свободой выбора угла наклона зуба в отличие от передач, имеющих линию зуба в виде дуг эвольвенты, логарифмической спирали и т.д. Передаточное число конической передачи:

$$i_{\text{\tiny KOH}} = \frac{Z_2}{Z_1};$$

где Z_1 , Z_2 – число зубьев, соответственно шестерни и колеса.

$$Z_1 = \frac{D_1 \cdot \cos B_1}{m_N};$$

$$Z_2 = \frac{D_2 \cdot \cos B_2}{m_N}.$$

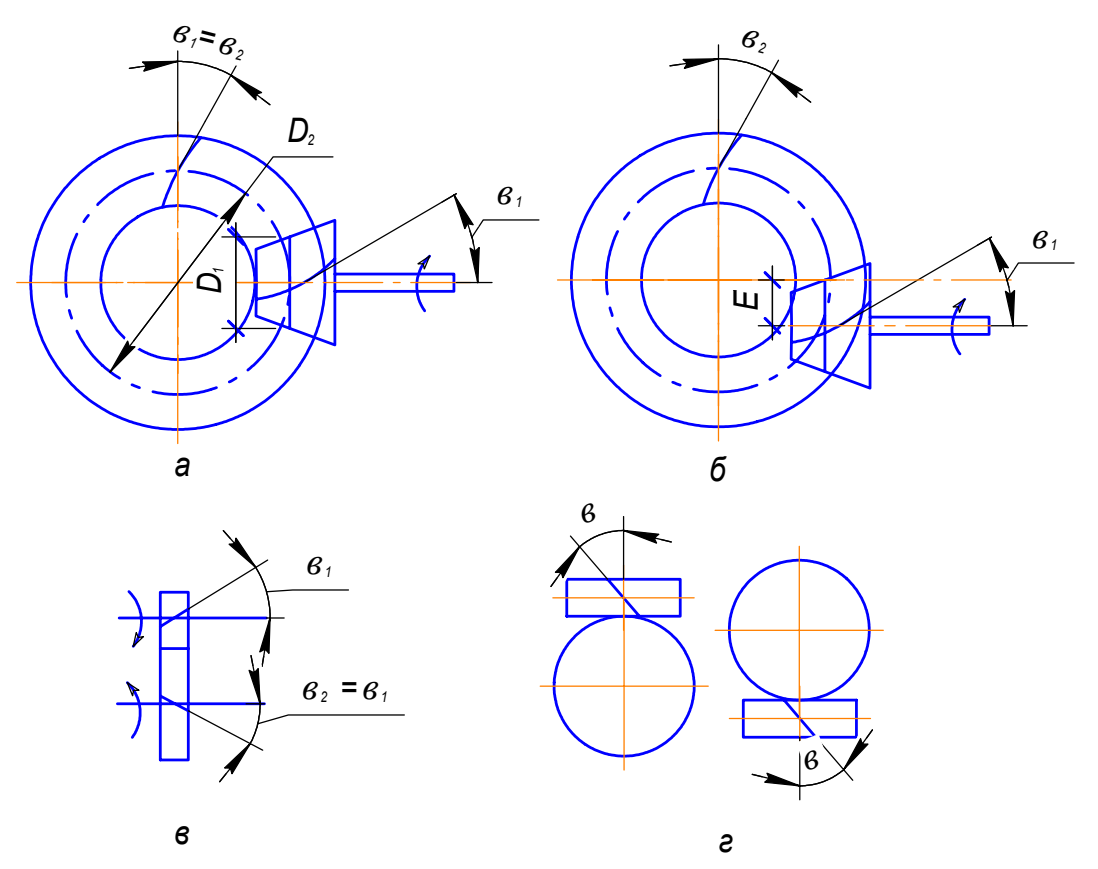
где $D_1,\ D_2$ - средний начальный диаметр шестерни и колеса соответственно см.рисунок 1.1, а;

 $\beta_1,\,\beta_2$ - средний угол наклона зуба шестерни и колеса соответственно; m_N - средний нормальный модуль.

Так как $\beta_1 = \beta_2$ то:

$$i_{\text{KOH}} = D_2 / D_1$$
.

У одинарных конических главных передач $i_{\text{кон}} \le 7,2$.



а - конической; б - гипоидной; в - цилиндрической; г - червячной Рисунок 1.1 – Схемы одинарных главных передач

Для улучшения приработки зубьев число зубьев колеса и шестерни не кратно, т.е. $i_{\text{кон}}$ не является целым числом. Это справедливо для всех зубчатых пар, передающих крутящий момент в трансмиссии.

Для того чтобы не было ввинчивания (втягивания) шестерни в колесо на передачах переднего хода, что может быть причиной заклинивания передачи и поломки зубьев, зубья шестерни всегда имеют направление винтовой линии, противоположное направлению вращения шестерни, если смотреть со стороны основания конуса на его вершину. Чтобы не было заклинивания при заднем ходе, необходимо следить за затяжкой подшипников, на которые опирается вал шестерни.

Кроме того, следует отметить, что движение задним ходом обычно составляет небольшую долю общего пробега автомобиля и крутящий момент при этом в большинстве случаев невелик.

Передача чувствительна к точности установки и регулировки - возможна концентрация напряжений у краев зубьев, что может привести к увеличению шума, износа и даже к поломке зубьев. Чтобы избежать этого, радиусы кривизны зубьев шестерни и колеса делают неодинаковыми, обеспечивая локальный контакт.

Коническая передача с круговыми зубьями по сравнению с такой же передачей с прямыми зубьями имеет следующие преимущества:

- о благодаря углу $\beta = 30^{\circ}...40^{\circ}$ в зацеплении одновременно находится большее число зубьев, что обеспечивает снижение давления и динамических нагрузок на зуб, повышение запаса прочности и износостойкости;
- о за счет уменьшения числа зубьев шестерни Z_1 до 5 6 можно уменьшить размеры главной передачи (у прямозубой передачи $Z_{\min} = 12$).

КПД конической главной передачи с круговыми зубьями $\eta_{\text{кон}} = 0.97 - 0.98$.

Обычно используют конические главные передачи с углом между осями 90°, однако применяют и конические передачи с углом между осями, не равным 90° (например, на автобусах с задним расположением двигателя).

1.2.2 Одинарная гипоидная главная передача

Это наиболее распространенный тип одинарных главных передач. Также как и коническая с криволинейными зубьями, гипоидная передача может быть выполнена с помощью шестерен, имеющих линии зубьев в виде дуг окружности (типа ""Глисон"). эвольвенты (типа "Клингельнберг"), логарифмической спирали (типа "ФИАТ-маммано"). Наибольшее применение находит гипоидная передача с круговыми зубьями.

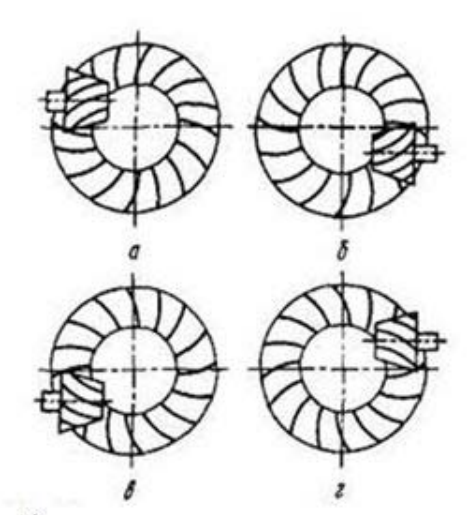
Ось гипоидной шестерни смещена относительно оси колеса на величину Е см.рисунок 1.1,б). Это смещение называют гипоидным. При определении направления гипоидного смещения принимают, что при взгляде со стороны вершины конуса колеса шестерня находится справа от оси колеса. Поэтому условно считается, что на рисунке 1.2, а и б гипоидные шестерни имеют нижнее смещение, а на рисунке 1.2, в и г - верхнее. При этом в первом случае шестерни имеют левое направление винтовой линии зуба, а во втором - правое.

Наличие смещения Е приводит к тому, что $\beta_1 \neq \beta_2$. Основные преимущества гипоидной передачи имеют место, если $\beta_1 > \beta_2$. Это происходит при обычно применяемом *положительном* смещении Е, когда направление винтовой линии зубьев шестерни и ее смещение соответствуют изображенным на рисунке 1.2. При *отрицательном* смещении, когда шестерня с левым направлением винтовой линии зубьев расположена выше, а шестерня с правым направлением - ниже центра колеса, утрачиваются все преимущества гипоидной передачи.

По аналогии с конической передачей

$$i_{\text{\tiny ГИП}} = \frac{Z_2}{Z_1} = \frac{D_2 \cdot \cos B_2 \cdot m_N}{D_1 \cdot \cos B_1 \cdot m_N} = \frac{D_2}{D_1} \cdot K_{\Gamma},$$
 (1.2)

где K_{Γ} - коэффициент гипоидности;



а и б гипоидные шестерни имеют нижнее смещение, левое направление винтовой линии зуба; в и г — верхнее смещение, правое направление винтовой линии зуба Рисунок 1.2 — Варианты направлений углов наклона зубьев и взаимных положений гипоидной шестерни и колеса при положительном смещении

При положительном смещении см. рисунок 1.1, б и 1.2 β_1 > β_2 и K_{Γ} >1. Как правило, β_1 = 45 – 50°, β_2 = 20 – 30°, поэтому K_{Γ} = 1,2...1,5. Большие значения K_{Γ} встречаются у легковых, меньшие - у грузовых автомобилей.

У одинарной гипоидной главной передачи $i_{\text{гип}}$ < 8,2.

Фирма «Глисон» рекомендует следующие выражения для нахождения

средних углов наклона зубьев шестерни и колеса:

$$B_1 = 25^\circ + \sqrt{\frac{Z_2}{Z_1}} + 90^\circ \cdot \frac{E}{D_2},$$
 (1.3)

$$B_2 = B_1 - arctg \frac{E}{0.5 \cdot (D_2 - b_2)},$$
 (1.4)

где b_2 - ширина зубчатого колеса вдоль образующей начального конуса.

При положительном смещении величину Е надо подставлять в выражения (1.3), (1.4) со знаком плюс, при отрицательном - со знаком минус.

Эти же формулы справедливы и для конических колес с круговыми зубьями при E=0. При этом $\beta_1=\beta_2$. Из выражения 1.2 следует, что:

$$D_{1} = \frac{D_{2}}{i_{_{\Gamma M\Pi}}} \cdot K_{_{\Gamma}}, MM \tag{1.5}$$

Преимущества гипоидной передачи (с положительным смещением) перед конической с круговыми зубьями следующие:

о при одинаковом передаточном числе $i_{\text{гип}} = i_{\text{кон}}$ и начальном диаметре колеса D_2 , начальный диаметр шестерни D_1 , у гипоидной

- передачи в K_{Γ} раз больше, чем у конической (согласно выражению (1.5)), следовательно, толще (на 10-15 %) и прочнее зубья и больше срок службы передачи. Кроме того, при неизмененных $i_{\text{гип}}$ и D_1 можно уменьшить в K_{Γ} раз начальный диаметр D_2 , а следовательно, и размеры главной передачи, так как они определяются размером колеса, и увеличить клиренс;
- о так как у гипоидной шестерни угол β₁ больше, чем у конической с круговыми зубьями, то у нее длиннее зубья и большее их число находится одновременно в зацеплении (приблизительно в 1,5 раза), это снижает действующую на зубья силу и обеспечивает высокую плавность зацепления;
- благодаря перекрещивающимся осям в гипоидной передаче имеет 0 продольное скольжение (вдоль линии зуба), способствующее лучшей приработке, хода плавности бесшумности работы. Отсутствие зон чистого качения приводит к уменьшению усталостного выкрашивания зубьев, обусловливает более высокое сопротивление рабочих поверхностей зубьев усталостному разрушению;
- о гипоидное смещение Е дает возможность сделать главную передачу проходной; кроме того, позволяет понизить уровень пола в кузове и центр тяжести автомобиля при расположении оси шестерни ниже оси колеса, а при ее расположении выше оси колеса уменьшить углы наклона карданной передачи.

К недостаткам гипоидной передачи можно отнести:

- о меньшее, чем у конической передачи, значение КПД (в среднем η_Г= 0,96 0,97) из-за наличия скольжения (для уменьшения влияния этого недостатка в гипоидной передаче повышают твердость рабочих поверхностей зубьев; применяют специальное, гипоидное масло, включающее вещества, содержащие серу, хлор и фосфор, и обеспечивающее высокую прочность масляной пленки; стремятся, чтобы смещение осей Е было не более 0,2 D₂ у легковых и не более 0,125 D₂ у грузовых автомобилей);
- о осевые силы в гипоидной передаче больше, чем в конической с круговым зубьями из-за увеличения угла β_1 до $45-50^\circ$ (поэтому стремятся повысить жесткость опор в осевом направлении).

1.2.3 Одинарная цилиндрическая главная передача

Одинарную цилиндрическую главную передачу см. рисунок 1.1, в применяют при поперечном относительно продольной оси автомобиля положении двигателя рядом с ведущим мостом. При этом используют как прямозубые, так и косозубые и шевронные зубчатые пары. Обычно $i_{\rm q} = Z_2/Z_1 = 3,5...4,2$. Так как число зубьев шестерни для обеспечения плавности зацепления должно быть $Z_1 > 10$, то при большем, чем $i_{\rm q} = 4,2$, передаточном числе размеры зубчатого колеса сильно возрастают, что приводит к

увеличению габаритных размеров картера передачи, снижению дорожного просвета и повышению уровня шума. КПД такой передачи $\eta_u \ge 0.98$.

Шестерню цилиндрической главной передачи закрепляют на ведомом валу двухвальной коробки передач и часто выполняют за одно целое с этим валом.

1.2.4 Одинарная червячная главная передача

В автомобилях применяют червячную передачу см. рисунок 1.1, г с верхним и нижним расположением червяка. Преимущества червячной передачи:

- о при верхнем расположении червяка легко создать проходной мост и обеспечить благоприятные условия для работы карданной передачи (уменьшить углы наклона валов);
- о при нижнем расположении червяка можно снизить уровень пола в кузове на 100-120 мм, что значительно больше, чем при гипоидной передаче. Одновременно создаются благоприятные условия смазки червячной пары, так как червяк целиком находится в масляной ванне, однако это требует надежного уплотнения вала червяка и сопровождается увеличением угла наклона карданного вала;
- о более низкий уровень шума по сравнению с другими типами главных передач, большая плавность зацепления, минимальные динамические нагрузки;
- о большие передаточные числа $i_{_{\rm H}}$ до 8-12 при малых габаритных размерах и массе передачи:

$$i_{_{\mathrm{q}}} = \frac{Z_{_{2}}}{Z_{_{1}}} = \frac{D}{d \cdot \mathrm{tgB}},$$

где Z_2 - число зубьев червячного колеса;

 Z_1 - число заходов червяка (как правило $Z_1 = 4...5$);

D, d - начальные диаметры колеса и червяка соответственно;

 β - угол подъема винтовой линии червяка.

Угол β определяют из условия обеспечения обратимости червячной пары. Обычно $\beta = 25...30^\circ$, при этом tg $\beta = 0,47...0,58$. В результате при одинаковых передаточных числах $i_{\text{гип}}$ и $i_{\text{ч}}$ и начальных диаметрах шестерни D_1 и червяка d начальный диаметр червячного колеса $D = i_{\text{ч}} \cdot d \cdot \text{tg}$ β будет меньше начального диаметра гипоидного колеса $D_2 = D_1 \cdot i_{\text{гип}} \cdot / K_{\Gamma}$ - на 15...45 %.

В настоящее время червячную главную передачу применяют достаточно редко - главным образом на трех- и четырехосных полноприводных автомобилях зарубежного производства (в основном английских) для создания проходных мостов (с верхним расположением червяка) и на английских автобусах с пониженным уровнем пола для

инвалидов (с нижним расположением червяка). Связано это с целым рядом недостатков, присущих такой передаче:

- о низкий КПД в среднем $\eta_{\text{ч}} = 0.9 0.92$ из-за большого продольного скольжения зубьев, неблагоприятного для создания масляного клина. КПД зависит от угла β подъема винтовой линии червяка и скорости скольжения, т.е. от скорости движения автомобиля. КПД максимален при $\beta = 45^{\circ}$, но при этом увеличиваются размеры передачи, а так как для автомобиля это нежелательно, то принимают $\beta = 25 30^{\circ}$. Чем выше скорость автомобиля и скорость скольжения, тем выше КПД;
- о высокая стоимость передачи. Современные методы обработки позволяют добиться КПД червячной передачи, близкого к КПД конической передачи. Однако для этого необходимо обеспечить высокую точность зацепления, изготовление зубчатого венца червячного колеса из высококачественной оловянистой бронзы (11...14 % Sn), шлифование и полирование поверхности червяка, а также значения угла β, близкие к 45°. Поэтому червячную главную передачу применяют, прежде всего в легковых автомобилях высшего класса.

Из-за больших потерь на трение и сопутствующий нагрев картер червячной главной передачи, как правило, оребряют.

1.3 Двойные главные передачи

1.3.1 Двойная центральная одноступенчатая главная передача

Эту передачу применяют на трех- и четырехосных полноприводных автомобилях для создания проходных мостов, на грузовых автомобилях средней и большой грузоподъемности, на автобусах.

Она представляет собой сочетание конической или гипоидной пары с цилиндрической в одном картере и может обеспечить большие передаточные числа ($i_{\rm rn}$ < 12), чем коническая и гипоидная одинарные главные передачи.

Возможны различные комбинации одинарных главных передач:

- 1) сначала стоит коническая или гипоидная передача, а затем цилиндрическая;
- 2) сначала расположена цилиндрическая, а затем коническая или гипоидная. Вместо цилиндрической иногда используют планетарную передачу.

Передачи первого типа выполняют по трем схемам см. рисунок 1.3, а-в, отличающимся взаимным расположением осей валов.

Преимущества схемы с расположением всех валов зубчатых колес в одной горизонтальной плоскости см. рисунок 1.3, а по сравнению со схемами, представленными на рисунке 1.3,6,е, следующие:

о укорачивается карданный вал привода моста;

- о передача позволяет не повышать уровень пола в кузове;
- о обеспечиваются хорошие условия смазки всех зубчатых пар и подшипников;
- о создаются наилучшие условия нагружения опор промежуточного вала благодаря действию радиальных сил от зубчатых колес на вал в одной плоскости и в противоположных направлениях.

К недостаткам этой схемы следует отнести:

- о невозможность создания проходного моста;
- о увеличение углов наклона карданного вала привода моста из-за увеличения длины агрегата.

Преимущества схемы с вертикальным расположением плоскости осей валов цилиндрической передачи см. рисунок 1.3, б:

- о возможность создания проходного моста;
- о уменьшение углов наклона карданного вала привода моста.

Недостатки этой схемы:

- 1) необходимость увеличения высоты пола кузова;
- 2) плохие условия смазки для конического зацепления и подшипников, расположенных в верхней части картера главной передачи;
- о 3) снижение жесткости картера (балки) моста на изгиб в вертикальной плоскости из-за того, что картер главной передачи установлен сверху.

Схема, изображенная на рисунке 1.3, в, по своим достоинствам и недостаткам занимает промежуточное положение между схемами, представленными на рисунке 1.3, а и б.

Чтобы не нагружать цилиндрическую шестерню большим крутящим моментом, передаточное число конической (гипоидной) пары делают небольшим i = 1, 5 - 2, 7.

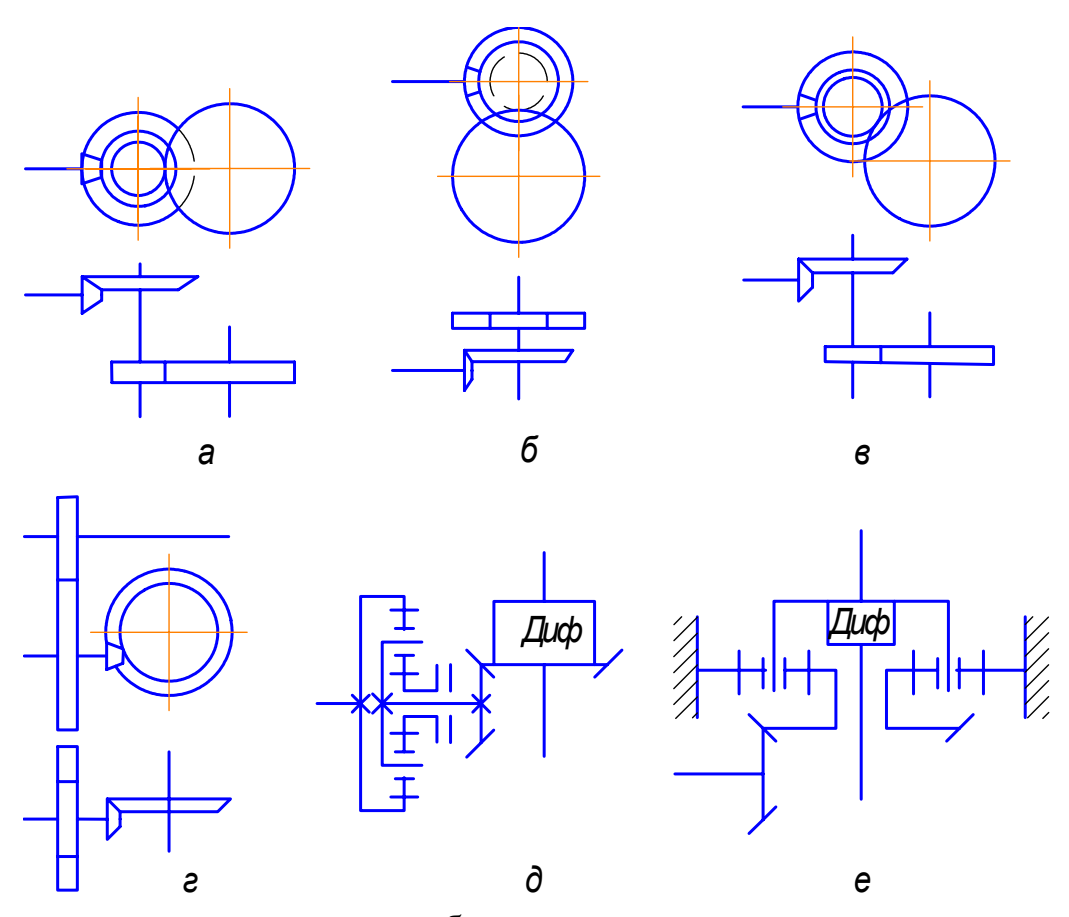
Для облегчения условий работы подшипников промежуточного вала, с закрепленными на нем коническим колесом и цилиндрической шестерней, стремятся согласовать осевые силы, действующие на вал от обоих зацеплений см. рисунок 1.4. Для этого направление и угол наклона зуба цилиндрической шестерни выбирают таким, чтобы осевые силы от обоих зацеплений уравновешивались:

$$P_{xkoh} = P_{xii}$$

Если сначала поставить цилиндрическую зубчатую пару, а затем коническую или гипоидную см. рисунок 1.3, г, то при этом легче обеспечить проходной мост и жесткость всей конструкции главной передачи.

Иногда цилиндрическую пару выполняют с i = 1 и только для того, чтобы осуществить конструкцию проходного моста. В этом случае главная передача является по сути одинарной конической или гипоидной.

В случае применения планетарной передачи вместо цилиндрической см. рисунок 1.3, д, е конструкция получается более компактной, однако повышается трудоемкость изготовления такой главной передачи и затрудняется или становится невозможным см. рисунок 1.3, д осуществить проходной мост.



а - горизонтального типа; б- вертикального типа; в - пистолетного типа; г - с цилиндрической парой на входе; д, е - с планетарным редуктором на входе и выходе соответственно

Рисунок 1.3 – Схемы двойных центральных одноступенчатых главных передач

Общий недостаток центральной двойной главной передачи - большие размеры центральной части ведущего моста, что вызывает затруднения при проектировании автомобиля с низкой высотой платформы (кузова), а также

при компоновке переднего ведущего моста у грузовых автомобилях при переднем расположении двигателя.

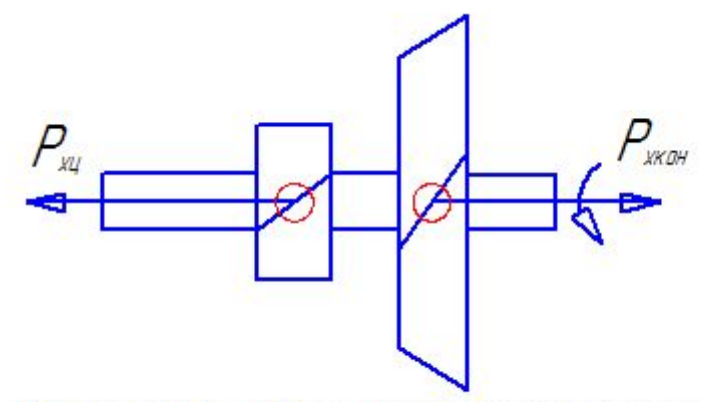


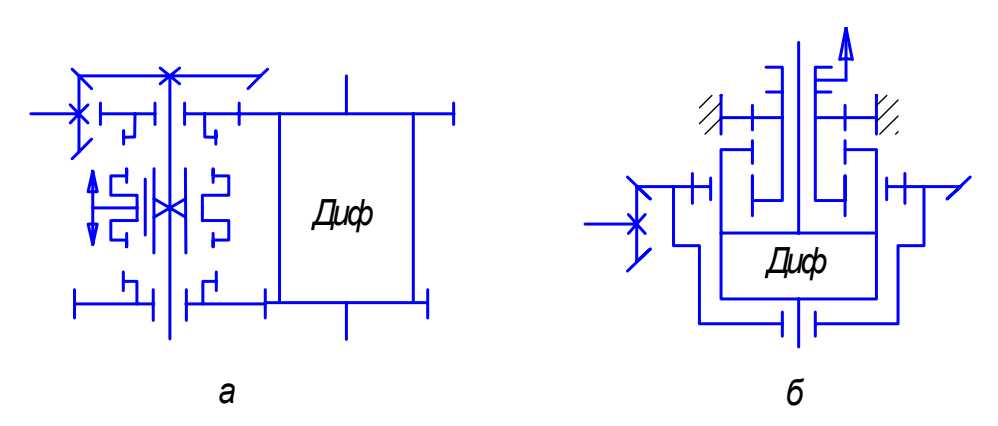
Рисунок 1.4 – Схема уравновешивания осевых сил

1.3.2 Двойная центральная двухступенчатая главная передача

Применяют такую передачу достаточно редко, как правило, в грузовых автомобилях большой грузоподъемности и на автобусах, предназначенных для эксплуатации на дорогах со сложным (горным) рельефом или в городских условиях при неравномерной загрузке, причем, только на автомобилях с одним ведущим мостом (чтобы сильно не усложнять управление переключением передач в ведущих мостах).

Примеры схем двухступенчатых главных передач приведены на рисунке 1.5.

Высшая передача в мосту используется при движении автомобиля в легких и средних дорожных условиях с малой нагрузкой, при этом повышается топливная экономичность и ресурс двигателя, работающего при меньшей частоте вращения коленчатого вала; низшая - в средних и тяжелых дорожных условиях и при полной нагрузке.



а – с двумя парами цилиндрических зубчатых колес;

б – с планетарным механизмом

Рисунок 1.5 – Схемы двойных центральных двухступенчатых главных передач

Преимущества такой конструкции главной передачи:

- увеличение диапазона передаточных чисел трансмиссии на 30 50 %;
- о удваивание числа передач;
- о карданная передача привода моста не нагружается дополнительным крутящим моментом, что имеет место при введении дополнительной понижающей передачи в коробке передач с демультипликатором.

Недостатки рассматриваемой передачи:

- большая сложность;
- о переключение передач возможно лишь при остановленном автомобиле ввиду отсутствия синхронизаторов в мосту (установка их привела бы к еще большему усложнению конструкции и управления).

Управление механизмом переключения передач - дистанционное, чаще всего пневматическое или электрическое.

Выбор передаточных чисел двухступенчатых главных передач обычно проводят так же, как для делителя коробки передач. Передаточное число высшей передачи $i_{\text{гпв}}$ определяют по формуле (1.1), а низшей принимают равным $i_{\text{гпв}} = i_{\text{гпв}} \cdot \sqrt{q_{\text{кп}}}$ или близким к нему. В существующих двухступенчатых мостах $i_{\text{гпн}} / i_{\text{гпв}} = 1,25-1,47$.

1.3.3 Двойная разнесенная главная передача

Передачу такого типа применяют на грузовых автомобилях большой грузоподъемности, когда $i_{rn} > 11$, и на автомобилях высокой проходимости для реализации большого клиренса.

Преимущества такой передачи следующие:

- о большие значения передаточного числа (i_{rn} до 20 30);
- о уменьшение размеров и массы межколесного дифференциала, диаметра полуосей, а также размеров карданных механизмов привода управляемых колес, за счет незначительного увеличения крутящего момента, подводимого к межколесному дифференциалу;
- о максимально компактная центральная часть ведущего моста, что важно для проектирования автомобиля с низким уровнем пола в кузове и низким центром тяжести, а также для обеспечения большого клиренса;
- о возможность корректировки передаточного числа главной передачи i_{rn} без изменения центральной части ведущего моста;
- о бортовые и колесные редукторы несут лишь половину нагрузки, приходящейся на ведущий мост,

К ее недостаткам можно отнести:

о увеличение неподрессоренных масс при независимой подвеске колес;

- о усложнение и удорожание конструкции по сравнению с двойной центральной передачей из-за большого числа деталей.
- о высокая трудоемкость обслуживания.

Чаше всего разнесенная главная передача состоит из центрального редуктора (конической или гипоидной передачи) и расположенных в колесах колесных редукторов. Такая схема находит широкое применение как при жестком картере моста, когда все элементы такой главной передачи размещены в этом картере (при зависимой подвеске колес), так и в случае шарнирного ведущего моста, когда центральный редуктор размещен в корпусе автомобиля (на раме) и связан с колесными редукторами карданными передачами.

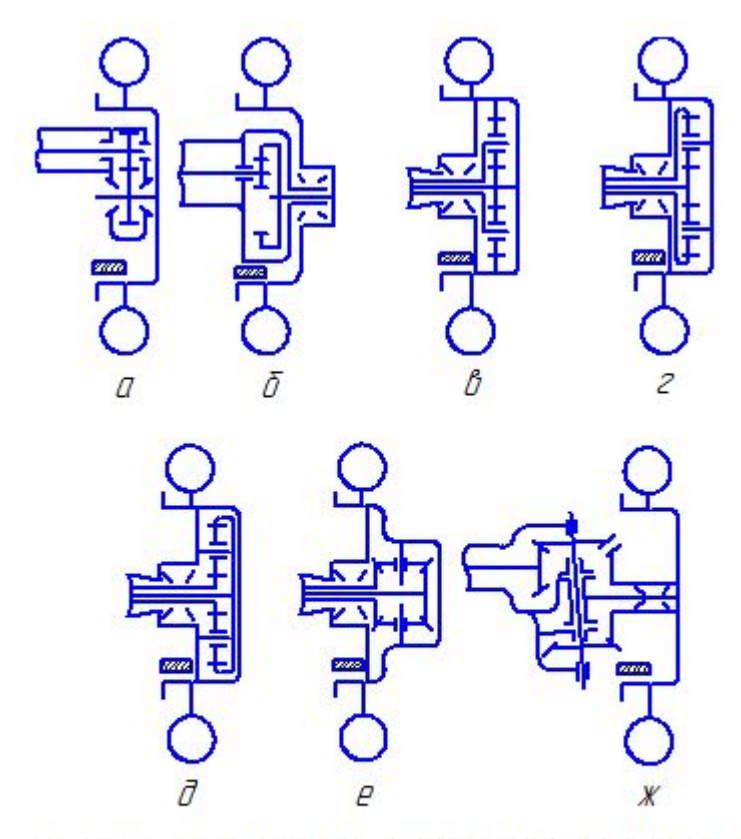
Иногда при ограниченных размерах обода колеса периферийный редуктор располагают не внутри, а рядом с колесом и называют бортовым. Такие конструкции встречаются и при зависимой, и при независимой подвеске колес. Часто в качестве такого редуктора размещают цилиндрическую зубчатую пару внешнего зацепления с неподвижными осями валов. При расположении плоскости осей этих валов вертикально можно опустить уровень пола в кузове (что важно для автобусов), если ведущая шестерня этой пары будет располагаться ниже ведомой, или увеличить дорожный просвет в средней части моста (что важно для автомобиля высокой проходимости), если ведущая шестерня будет находиться выше ведомой. Встречаются также конструкции, когда плоскость осей этих валов располагается горизонтально.

При бортовой схеме трансмиссии центральный редуктор распадается на два бортовых конических редуктора, каждый из которых обычно связан шарнирно с соответствующим колесным редуктором. Кроме того, встречаются конструкции с жесткой подвеской колес, когда редуктор располагают не в колесе, а в корпусе автомобиля и в этом случае его также называют бортовым.

На рисунке 1.6 приведены основные схемы колесных редукторов, используемых на автомобилях. Наибольшее распространение имеют схемы, изображенные на рисунках 1.6, а, в, г. Схемы, показанные на рисунках 1.6, а - в, ж, являются схемами с неподвижными осями валов, остальные - с планетарными механизмами.

В схемах а и б см. рисунок 1.6 ведущая шестерня может располагаться ниже оси ведомой шестерни, что позволяет снизить уровень пола в кузове.

Чтобы оценить компоновочные возможности каждой схемы, т.е. максимальное передаточное число, которое может быть получено в пространстве одинакового объема, ограниченного диаметром начальной окружности коронной шестерни D, примем диаметр начальной окружности ведущей (солнечной) шестерни во всех схемах равным d.



а - в, ж, - схемы с неподвижными осями валов г, д, е - схемы с планетарными механизмами Рисунок 1.6 — Схемы колесных редукторов

В схеме, приведенной на рисунке 1.6, а, под D будем понимать сумму диаметров ведущей и ведомой шестерен, а в схеме, показанной на рисунке 1.6, ж - диаметр ведомой шестерни.

Тогда передаточное число і для схем а- ж будет соответственно равно:

$$i = \frac{D}{d} - 1;$$
 $i = \frac{D}{d};$ $i = \frac{D}{d};$

$$i = \frac{D}{d} - 1;$$
 $i = 1 + \frac{d}{D}; i = 2;$ $i = \frac{D}{d}.$

Как видим, наибольшее передаточное число можно получить в схеме г см. рисунок 1.6. Рациональным является соотношение: $\frac{4}{3} \leq \frac{D}{d} \leq 5$, иначе сателлиты будут либо очень большими, либо очень маленькими. Таким образом, в схеме г $i_{max} = 6$. В схеме д i = 1, 2 - 1, 75, а в схеме е при углах между осями зубчатых колес 90° всегда i = 2, что часто является недостаточным; поэтому эти схемы применяют редко.

Оригинальная конструкция колесного редуктора с коническими передачами, изображенная на рисунке 1.6, ж, позволяет создать жесткий управляемый ведущий мост без введения дополнительных шарниров.

При разработке ведущих мостов с успехом может быть применен модульный принцип проектирования. Так, меняя зубчатые пары в планетарном колесном редукторе, можно изменять общее передаточное число разнесенной главной передачи при постоянном передаточном числе в центральном редукторе, т.е. получать семейство ведущих мостов различного типоразмера, или, меняя корпусные детали, но используя одни и те же зубчатые пары, подшипники и т.д., получать жесткие или шарнирные ведущие мосты.

Возможны также варианты использования средней части жесткого ведущего моста с "чулками" картера и полуосями различной длины, что позволяет изменять колею автомобиля. Это особенно эффективно при малосерийном производстве и широкой номенклатуре выпускаемых автомобилей.

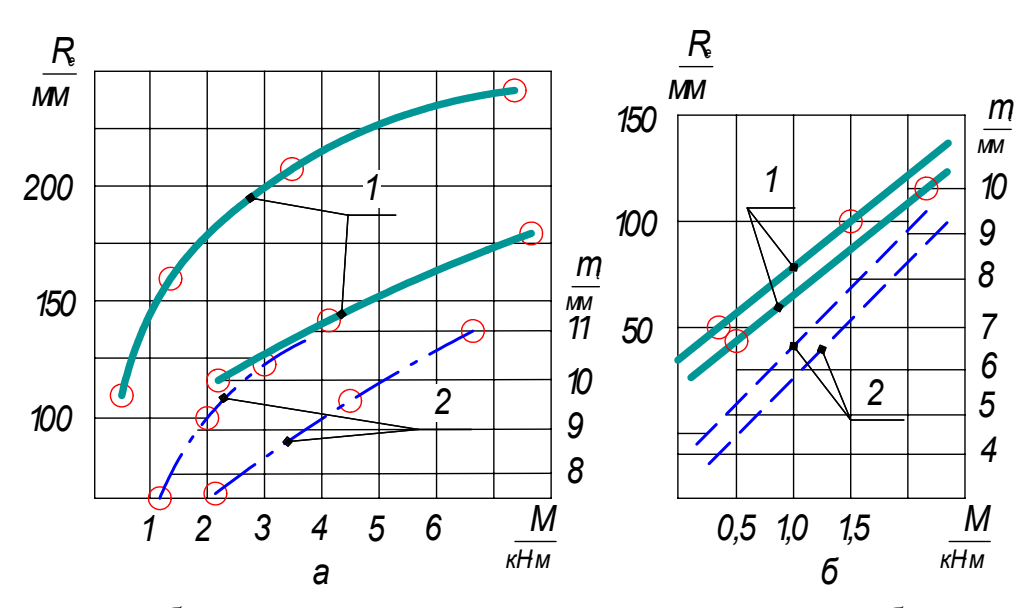
1.4 Выбор основных параметров зубчатых колес главных передач

Основные параметры цилиндрических зубчатых колес главных передач определяют по зависимостям, приведенным в [1]. При этом ширина зубчатых колес $b = (10 - 17) \text{ m}_N$; полная высота зуба h = 2, 25m_t ; $\beta = 0 - 20^\circ$.

m_t – торцовой модуль зубчатого колеса.

Для конической и гипоидной передач последовательность выбора основных параметров зубчатых колес следующая.

- 1. Определяют крутящий момент на валу ведущей шестерни.
- 2. Выбирают внешнее конусное расстояние R_e (расстояние вдоль образующей начального конуса от вершины до внешнего края зубчатого венца) и внешний окружной модуль m_t с учетом рисунка 1.7.



a- для зубчатых колес конических главных передач; б - для зубчатых колес конического дифференциала

Рисунок 1.7 – Зависимости $R_{e}\left(1\right)$ и $m_{t}\left(2\right)$ от расчетного момента

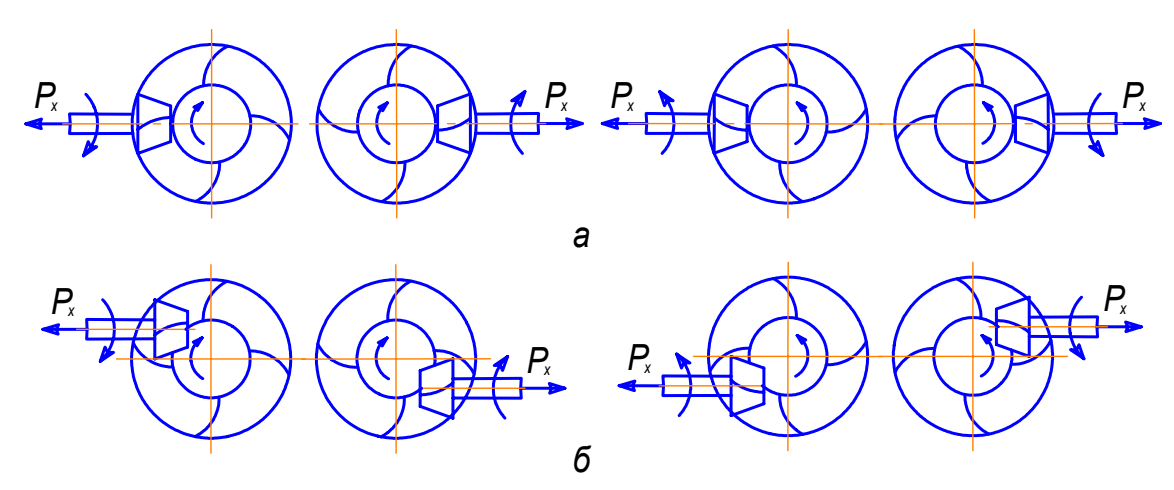
- 3. Находят ширину зубчатого венца $b = 0.3 \cdot R_e$
- 4. Вычисляют полную высоту зуба $h = 1.9 \cdot m_{te}$.
- 5. Задают угол профиля α исходного контура. Для конических колес α принимают равным 20, 22,5 или 25°; для гипоидных, так как углы профиля на рабочей и нерабочей сторонах зуба различны, среднее значение угла профиля α принимают равным 19 или 21,5° -для легковых и 22,5° для грузовых автомобилей.
- 6. Выбирают коэффициенты смещения $x_1 = -x_2$ в зависимости от числа зубьев шестерни Z_1 см. таблицу 6.1.

Таблица 6.1 – Зависимость коэффициентов смещения от числа зубьев шестерни

Параметр	Значение						
Число зубьев		6	7	8	9	10	11
Значение	конических	0,535	0,51	0,48	0,445	0,405	0,358
	гипоидных	0,682	0,666	0,648	0,626	-	-

7. Вычисляют углы наклона зубьев по выражениям (1.3) и (1.4) для заданного смещения E (для конической пары E=0).

Направление винтовой линии зубьев конических зубчатых колес выбирают из следующего условия: при движении автомобиля вперед осевая сила, действующая на шестерню, должна быть направлена от вершины конуса к основанию и отжимать шестерню от колеса. Это условие выполняется, когда направления вращения шестерни (если смотреть со стороны основания на вершину) и винтовой линии зубьев противоположны см. рисунок 1.8.



а – для конической пары; б – для гипоидной

Рисунок 1.8 — Возможные сочетания направления вращения шестерни и наклона линии ее зуба, обеспечивающие выталкивающую осевую силу P_x , действующую на шестерню

В дальнейшем выбранные параметры уточняют по результатам расчета на прочность и усталость.

1.5 Особенности проектирования и расчета конических и гипоидных главных передач

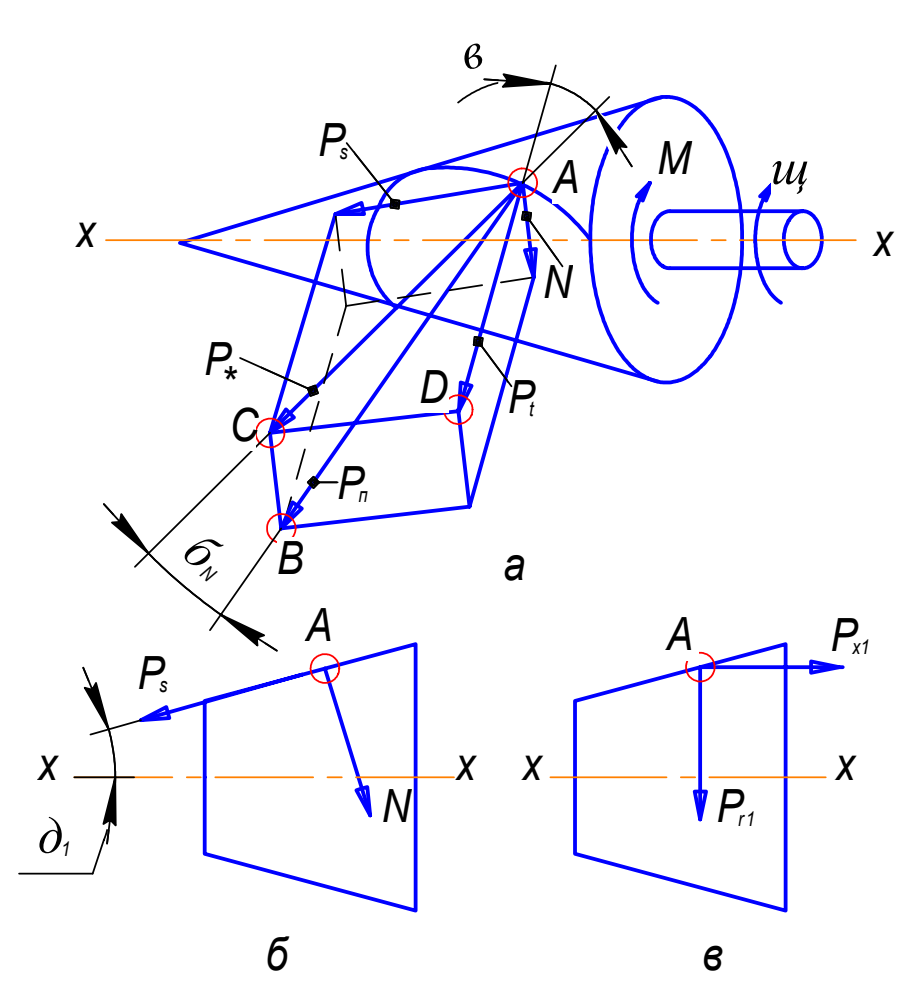
1.5.1 Силы, действующие в зацеплении конических колес

Рассмотрим шестерню, имеющую правое вращение и правое направление винтовой линии зубьев. Схема сил, действующих на такую шестерню со стороны колеса, представлена на рисунке 1.9, а.

Окружная сила:

$$P_{1} = P_{t} = \frac{2 \cdot M_{1}}{D_{1}}, \tag{1.6}$$

где M_1 - расчетный крутящий момент, действующий на шестерню.



a – в пространстве; б, в – в сечение шестерни плоскостью, проходящей через силы $P_{\scriptscriptstyle S}$ и N

Рисунок 1.9 – Схема сил, действующих в зацеплении конических колёс

Нормальная сила P_n в контакте может быть разложена на три составляющие: силу P_t ; силу P_s , направленную вдоль образующей делительного конуса, проходящей через точку A; силу N, перпендикулярную силе P_s и направленную к оси шестерни, т.е.

$$\overset{\mathbf{F}}{\mathbf{F}}_{\mathbf{F}} = \overset{\mathbf{F}}{\mathbf{F}}_{\mathbf{F}} + \overset{\mathbf{F}}{\mathbf{F}}_{\mathbf{S}} + \overset{\mathbf{F}}{\mathbf{N}}.$$

На рисунке 1.9, б показано сечение шестерни плоскостью, проходящей через силы P_s и N, а на рисунке 1.9, в - положительные направления осевой P_{x1} и радиальной P_{r1} сил, действующих на шестерню в том же сечении.

С учетом сказанного может быть записано и другое векторное равенство

$$\vec{P}_{n} = \vec{P}_{t} + \vec{P}_{x1} + \vec{P}_{r1}.$$

Сравнивая схемы, приведенные на рисунках 1.9, б и в, можно записать:

$$P_{x1} = -P_{s} \cdot \cos \mu_{1} + N \cdot \sin \mu_{1};$$

$$P_{r1} = -P_{s} \cdot \sin \mu_{1} + N \cdot \cos \mu_{1}.$$

где δ_1 - угол делительного конуса шестерни. Из треугольника ACD имеем:

$$P_s = P_t \cdot tg\beta$$
.

Из треугольников АВС и АСО находим:

$$N = P_* \cdot tg\delta_N = \frac{P_t}{cosb} \cdot tg\delta_N$$
.

где α_N - угол профиля зуба в нормальном среднем сечении. В результате

$$P_{x1} = -P_{t} \cdot tgB \cdot cos A_{1} + \frac{P_{t}}{cos} \cdot tg\delta_{N} \cdot sin_{A_{1}}$$

$$P_{r1} = P_{t} \cdot tgB \cdot sin_{A_{1}} + \frac{P_{t}}{cosb} \cdot tg\delta_{N} \cdot cos_{A_{1}}$$

или в несколько измененном виде:

$$P_{x1} = -\frac{P_{t}}{\cos B} \cdot (-tg\delta_{N} \cdot \sin \beta_{1} \pm \sin \beta \cdot \cos \beta_{1})$$

$$P_{r1} = \frac{P_{t}}{\cos \beta} \cdot (tg\delta_{N} \cdot \cos \beta_{1} \pm \sin \beta \cdot \sin \beta_{1})$$
(1.7)

Знак "+" перед вторым слагаемым в скобках принимается при совпадении направления вращения шестерни с направлением ее линии зубьев, а знак "-" - при не совпадении этих направлений.

Схемы с одноименным направлением вращения шестерни и винтовой линии зубьев стараются не применять, так как они имеют следующие недостатки:

- о при $\sin\beta \cdot \cos\delta_1 > tg\alpha_N \cdot \sin\delta_1$ (что обычно имеет место) осевая сила F_{x1} , действующая на шестерню, будет отрицательной, т.е. направленной к вершине конуса, что может привести к заклиниванию передачи при увеличенном боковом зазоре и недостаточно жестком закреплении шестерни;
- о радиальная сила P_{r1} , действующая на шестерню и равная осевой силе на колесе P_{X2} , имеет большую величину (из-за одинаковых знаков перед слагаемыми в скобках), что может привести к прогибам колеса, имеющего большой диаметр.

Схемы с разноименным направлением вращения шестерни и ее винтовой линии зубьев см. рисунок 1.8 наиболее распространены, так как в них сила P_{r1} мала (из-за разных знаков перед слагаемыми в скобках), а сила P_{x1} хоть и велика (из-за одинаковых знаков перед слагаемыми в скобках), но всегда направлена к основанию конуса, что исключает заклинивание передачи.

Из условия равновесия сил, действующих в контакте шестерни и колеса, имеем:

- окружная сила, действующая на колесо, $P_{t2} = P_{t1} = P_t$;
- осевая сила, действующая на колесо, $P_{x2} = P_{r1}$;
- радиальная сила, действующая на колесо, $P_{r2} = P_{x1}$.

Для нахождения сил P_{x2} и P_{r2} можно использовать выражения (1.7), если в них вместо δ_1 подставить угол делительного конуса колеса $\delta_2 = 90^\circ$ - δ_1 и, кроме того, учесть, что сопряженные шестерня и колесо имеют противоположно направленные винтовые линии зубьев см. рисунок 1.8, т.е. знаки перед вторыми слагаемыми в скобках у шестерни и колеса будут различными.

1.5.2 Силы, действующие в зацеплении гипоидных колес

Ввиду различных углов наклона линии зуба шестерни и колеса ($\beta_1 \neq \beta_2$) окружные силы, действующие на шестерне и на колесе, не равны между собой. Считая углы α_N профиля зуба в нормальном среднем сечении для шестерни и колеса одинаковыми, с учетом рисунков 1.9 и 1.10 можно записать:

$$\begin{aligned} & P_{t1} = P_{II} \cdot \text{cos} \delta_{N} \cdot \text{cos} B_{1}; \\ & P_{t2} = P_{II} \cdot \text{cos} \delta_{N} \cdot \text{cos} B_{2} \end{aligned}$$

Разделив левые и правые части обоих равенств одно на другое, получим:

$$P_{t2} = P_{t1} \frac{\cos B_2}{\cos B_1} = P_{t1} \cdot K_{\Gamma_2},$$

где P_{t1} вычисляется по выражению (1.6).

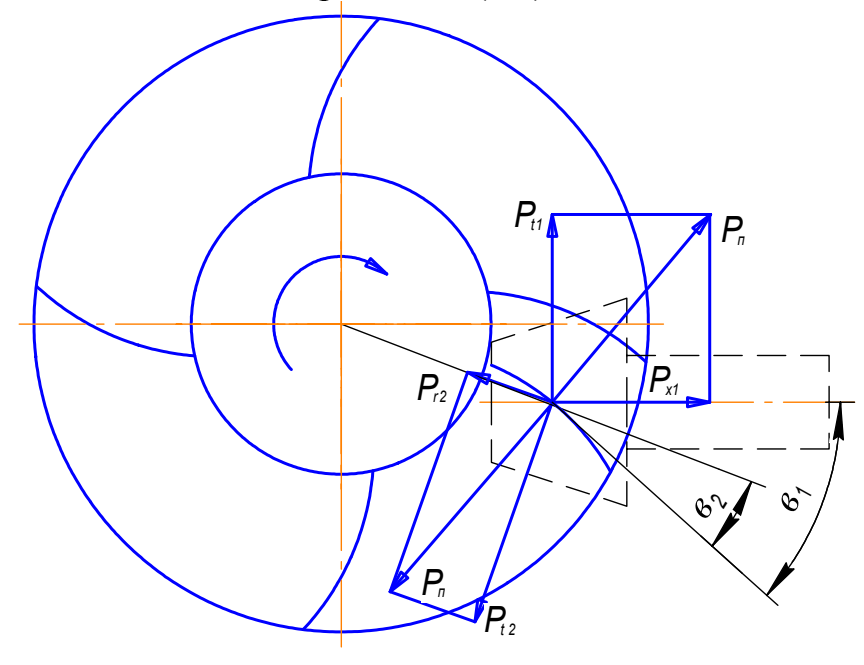


Рисунок 1.10 – Силы, действующие в зацеплении гипоидных передач

Силу P_{t2} можно также определить по формуле:

$$P_{t2} = 2M_2/D_2$$

где M_2 - расчетный крутящий момент, действующий на колесо.

$$\mathbf{M}_2 = \mathbf{M}_1 {\cdot} \mathbf{i}_{\text{\tiny \Gamma MII}}$$

Осевую P_{x1} и радиальную P_{r1} силы, действующие на шестерню, можно вычислить по формуле (1.7), если подставить P_{t1} вместо P_{t} и β_{1} вместо β .

Осевую P_{X2} и радиальную P_{r2} силы, действующие на колесо, можно также определить с помощью выражения (1.7), подставив P_{t2} вместо P_{t} , P_{t2} вместо P_{t3} вместо P_{t4} вместо P_{t4} вместо P_{t5} вместо $P_{$

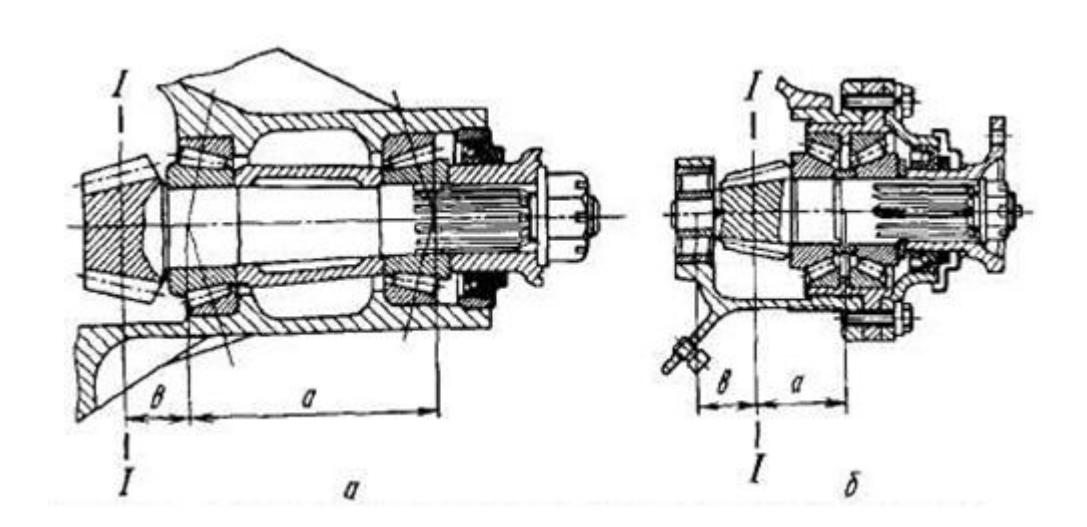
При этом остается в силе правило знаков для слагаемого в скобках и замечание, что эти знаки у шестерни и колеса будут различны, так как

сопряженные шестерня и колесо имеют противоположно направленные винтовые линии зубьев см. рисунок 1.8.

1.5.3 Предварительный натяг подшипников валов конической и гипоидной главных передач

Ввиду больших осевых сил P_{x1} , действующих на шестерню в конической или гипоидной передачах, и высокой чувствительности таких передач к точности установки и перемещениям зубчатых колес проводят предварительный натяг подшипников ведущего и ведомого валов. Этот натяг позволяет выбрать зазоры в подшипниках и повысить их жесткость в осевом направлении.

При консольной установке конической шестерни обычно используются два конических роликовых подшипника, расположенных вершинами конусов роликов внутрь, на возможно большем расстоянии один от другого см. рисунок 1.11,а. Такая установка обеспечивает минимальное угловое смещение шестерни.



а - консольная установка ведущего вала; б - установка ведущего вала с дополнительной опорой

Рисунок 1.11 — Схемы установки ведущих валов конической (гипоидной) главной передачи

При установке ведущего вала с дополнительной опорой см. рисунок 1.11,б для восприятия радиальных сил применяют роликовый цилиндрический подшипник, а для восприятия осевых и частично радиальных сил - два сближенных роликовых конических подшипника с большим углом конуса.

Рассмотрим модель ведущего вала на двух подшипниках, в которой осевая жесткость подшипника имитируется упругостью пружины сжатия см. рисунок 1.12. Каждая пружина имеет коэффициент жесткости c_{np} . Если нет натяга, то осевое смещение f шестерни под действием силы P_x равно $f = P_x/c_{np}$ см. штриховую прямую на рисунке 1.12. При этом будет работать только левая пружина (подшипник), а правая будет разгружена от действия осевых сил.

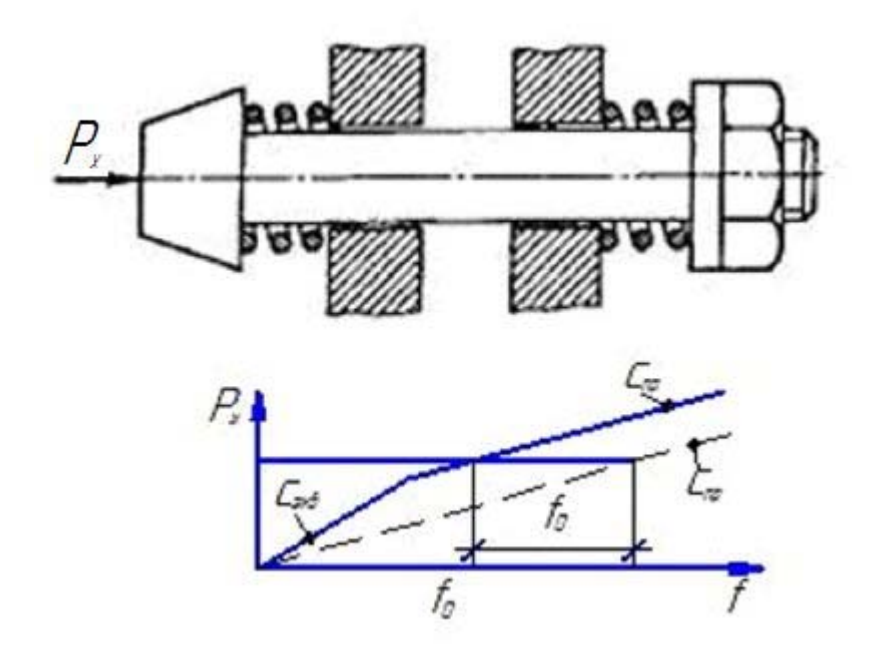


Рисунок 1.12 –Модель ведущего вала главной передачи с двумя подшипниками

Если предварительно сжать пружины так, чтобы деформация каждой была равна f_o , то в дальнейшем под действием силы P_x левая пружина получит дополнительную деформацию f, а деформация правой уменьшится на f. Из уравнения равновесия вала:

$$P_{x} - c_{np} \cdot (f_{0} + f) + c_{np} \cdot (f_{0} - f) = 0$$

Находим:

$$P_x = 2 \cdot c_{_{\Pi p}} \cdot f$$
, или $f = \frac{P_x}{2 \cdot c_{_{\Pi p}}} = \frac{P_x}{c_{_{_{9K}}}}$

где $c_{\text{экв}} = 2c_{\text{пр}}$.

Следовательно, смещение шестерни под действием той же силы P_x уменьшилось в два раза. Это будет происходить до тех пор, пока $f \leq f_0$. При дальнейшем увеличении силы P_x прогиб будет возрастать, но не в такой мере, как без натяга, т.е. всегда будет меньше на величину f_0 см. горизонтальную прямую на рисунке 1.12.

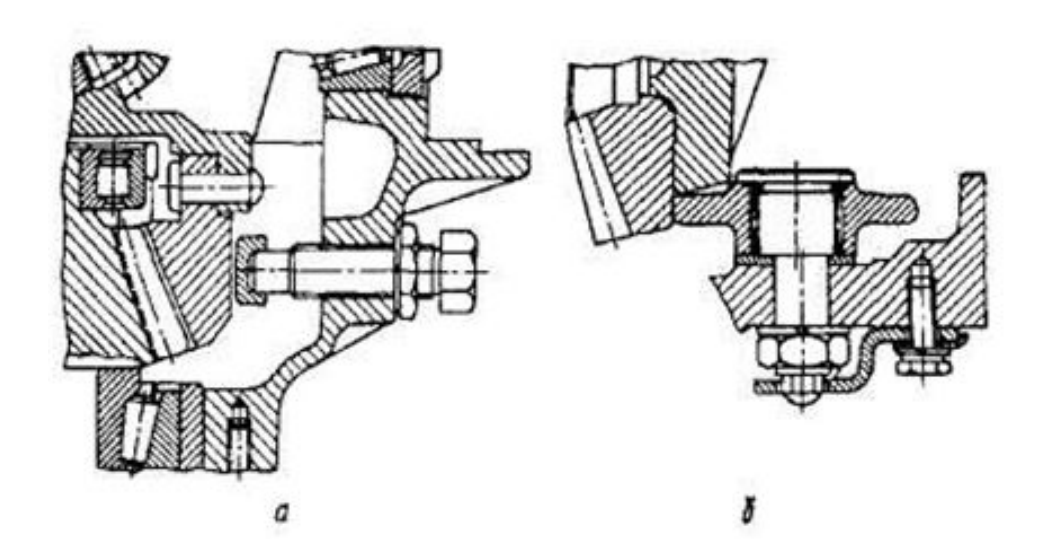
Чем больше натяг, тем лучше для зацепления, но слишком большой натяг приводит к уменьшению КПД подшипников и их износу. Считается, что предварительный натяг подшипников, не превышающий 30...40 % от максимальной осевой нагрузки, не снижает их долговечности.

При затяжке внутренние кольца конических подшипников сближаются между собой до прижатия к калиброванной распорной втулке либо к втулке, длина которой регулируется калиброванными прокладками. Проверяют предварительный натяг по проворачиванию вала после затяжки подшипников. Момент проворачивания задается на заводе-изготовителе в пределах $0.8-4.0~\mathrm{H}\cdot\mathrm{M}$ при выведенном из зацепления ведомом колесе.

Коническое (гипоидное) колесо болтами или заклепками крепится к картеру дифференциала. Вся эта конструкция устанавливается также на конических роликовых подшипниках, но расположенных уже вершинами конусов роликов наружу (в отличие от ведущего вала) для облегчения регулировки зазора в зубчатом зацеплении. Предварительный натяг этих подшипников измеряют при снятой шестерне; он находится примерно в тех же пределах, что и для подшипников ведущего вала.

Ввиду обычно большого диаметра зубчатого колеса осевая сила, действующая на него со стороны шестерни, способна вызвать деформацию колеса, нарушить точность зацепления и привести к повышению уровня шума и износу зубьев.

Для предотвращения этого во многих конструкциях предусматривается упор см. рисунок 1.13, а, который воспринимает часть осевой силы. В неработающем состоянии между упором и торцом шестерни обеспечивается зазор в пределах 0,15...0,20 мм. Регулировка этого зазора в конструкции, изображенной на рисунке 1.13, б, возможна благодаря эксцентричному расположению оси ролика по отношению к оси валика с резьбой.



а – регулировка болтом; б – регулировка эксцентриком Рисунок 1.13 – Упоры конического колеса главной передачи

1.5.4 Расчет прогибов конических и гипоидных зубчатых колес

Ввиду жестких требований к точности зацепления конической и гипоидной главных передач были установлены допускаемые перемещения зубчатых колес см. рисунок 1.14.

Фактические перемещения вычисляются с учетом схемы установки ведущих валов.

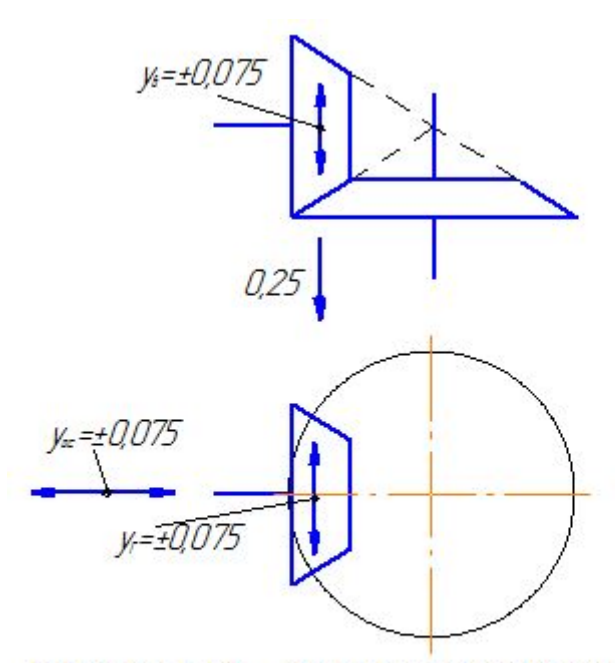


Рисунок 1.14 — Допускаемые вертикальные, горизонтальные и осевые перемещения зубчатых колес главной передачи

Так, для схемы, приведенной на рисунке 1.11, а, горизонтальные и вертикальные перемещения определяют соответственно по формулам:

$$y_{\Gamma} = P_{t} \cdot \frac{b^{2} \cdot (a+b)}{3 \cdot E \cdot J};$$

$$y_{_{B}} = P_{_{I}} \cdot \frac{b^{2} \cdot (a+b)}{3 \cdot E \cdot J} - P_{_{X}} \cdot 0.5 \cdot D_{_{1}} \cdot \frac{b \cdot (2 \cdot a + 3 \cdot b)}{6 \cdot E \cdot J}$$

где J – момент инерции сечения вала.

Угол поворота сечения 1-1:

$$\varphi = P_r \cdot \frac{b \cdot (2 \cdot a + 3 \cdot b)}{6 \cdot E \cdot J} - P_x \cdot 0.5 \cdot D_1 \cdot \frac{a + 3 \cdot b}{3 \cdot E \cdot J}$$

Для схемы, изображенной на рисунке 1.11, б:

$$y_{\Gamma} = P_{t} \cdot \frac{a^{2} \cdot b^{2}}{3 \cdot (a + b) \cdot E \cdot J};$$

$$y_{_{B}} = P_{_{r}} \cdot \frac{a^{2} \cdot b^{2}}{3 \cdot (a+b) \cdot E \cdot J} - P_{_{x}} \cdot 0,5 \cdot D_{_{1}} \cdot \frac{a \cdot b \cdot (a+b)}{3 \cdot (a+b) \cdot E \cdot J};$$

$$\varphi = P_x \cdot 0.5 \cdot D_1 \cdot \frac{a^2 - a \cdot b + b^2}{3 \cdot (a + b)} + P_r \cdot \frac{a \cdot b \cdot (a + b)}{3 \cdot (a + b) \cdot E \cdot J}$$

Для повышения жесткости главной передачи рекомендуется:

- увеличивать размер а и уменьшать размер b для схемы на рисунке 1.11, a;
- о уменьшать размер а + b для схемы на рисунке 1.11,б;
- о обеспечивать плотную посадку подшипников на валу и в корпусе;
- о применять преднатяг подшипников;
- о не допускать большого износа подшипников;
- о обеспечивать высокую жесткость опор подшипников и в целом картера главной передачи.

Примерный расчет зубчатой конической передачи приведен в приложении A.1

Контрольные вопросы

- 1. Какие требования предъявляются к главным передачам автомобиля?
- 2. Какие типы главных передач применяются в автомобилестроении?
- 3. Назовите достоинства, недостатки и применяемость одинарных главных передач:
 - конической;
 - гипоидной;
 - цилиндрической;
 - червячной.
- 4. Назовите достоинства, недостатки и применяемость двойных главных передач?
- 5. Какие силы действуют в зацеплении конических колес и как они определяются?
 - 6. Силы, действующие в зацеплении гипоидной передачи?
- 7. Каким образом обеспечивается предварительный натяг подшипников валов конических передач?

2 Дифференциалы

2.1 Общие сведения

Дифференциал - это механизм трансмиссии автомобиля, распределяющий подводимый к нему крутящий момент между выходными валами и позволяющий им вращаться с неодинаковыми угловыми скоростями.

Кроме общих требований, предъявляемых ко всем механизмам трансмиссии, как-то: высокий КПД и минимальный уровень шума, малые габаритные размеры и масса, надежность, технологичность, простота обслуживания и др., дифференциалы должны распределять крутящие моменты между выходными валами в пропорции, обеспечивающей наилучшие эксплуатационные свойства автомобиля (максимальную силу тяги, хорошую устойчивость и управляемость).

Однако для увеличения силы тяги автомобиля нужно распределять крутящие моменты по колесам пропорционально их сцепным весам и коэффициентам сцепления, что на дорогах с различными коэффициентами сцепления под колесами левого и правого бортов приведет к разным силам тяги по бортам, появлению момента этих сил относительно вертикальной оси, проходящей через центр масс автомобиля, возникновению боковых сил, уводу шин, ухудшению устойчивости и управляемости автомобиля.

Для обеспечения же устойчивости необходимо равенство сил тяги на колесах левого и правого бортов, что на дорогах с малой несущей способностью и различными коэффициентами сцепления под колесами левого и правого бортов приводит к недоиспользованию возможностей по сцеплению колес с дорогой из-за ограничения сил тяги на всех колесах силой тяги на колесе, имеющем минимальные сцепные возможности, и, как результат, к ухудшению проходимости автомобиля.

Обычно это противоречие разрешается в пользу увеличения максимальной силы тяги и улучшения проходимости автомобиля.

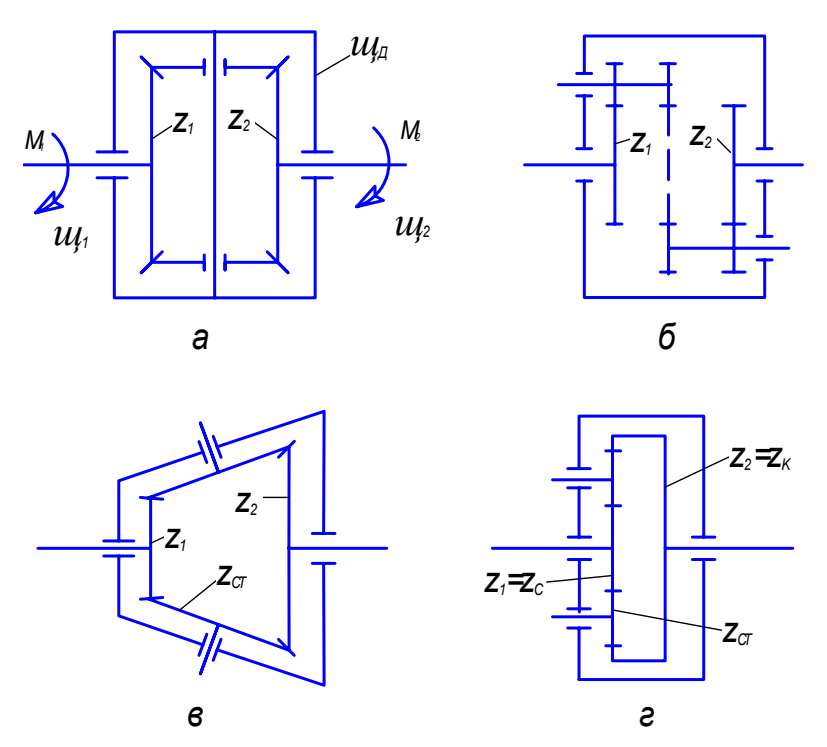
Свойство дифференциала, позволяющее выходным валам вращаться с разными угловыми скоростями, дает возможность устранить циркуляцию паразитной мощности на этом участке трансмиссии.

В зависимости от места расположения в трансмиссии дифференциалы называются межколесными, межосевыми, межсечными и межбортовыми.

В зависимости от отношения крутящих моментов M_1 и M_2 на ведомых валах дифференциалы разделяют на две большие группы: с постоянным и непостоянным отношением M_1/M_2 .

В первой группе различают *симметричные* дифференциалы, обеспечивающие равенство крутящих моментов на ведомых валах, для которых $M_1/M_2=1$. и *несимметричные* дифференциалы, обеспечивающие разные крутящие моменты на ведомых валах, для которых $M_1/M_2 \neq 1$ см. рисунок 2.1. Конструктивно и симметричные, и несимметричные

дифференциалы являются шестеренчатыми и могут быть выполнены как с коническими, так и с цилиндрическими зубчатыми колесами.



а, б - симметричные дифференциалы; в, г — несимметричные дифференциалы

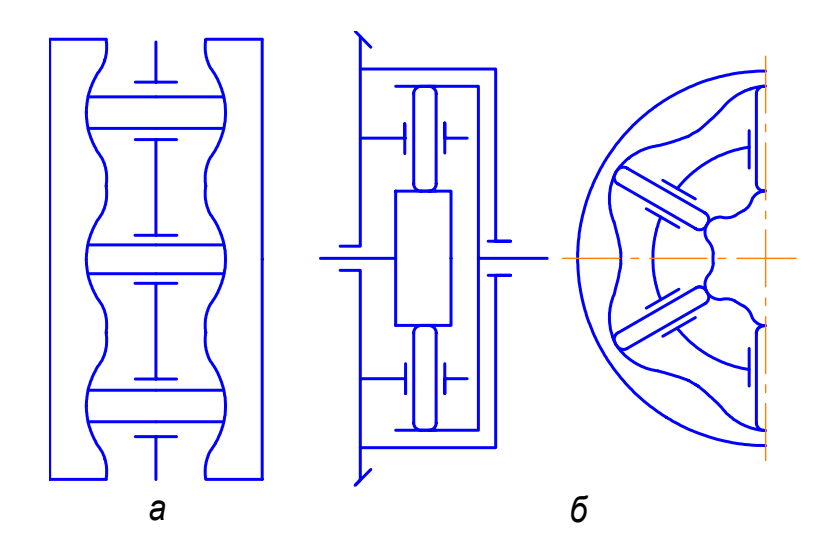
Рисунок 2.1 - Схемы дифференциалов с постоянным отношением крутящих моментов на ведомых валах

Во второй группе различают дифференциалы *с принудительной блокировкой*, выполняемые как с коническими, так и с цилиндрическими зубчатыми колесами, и *самоблокирующиеся* дифференциалы, которые могут быть *пульсирующими*, *свободного хода* и *повышенного трения*.

Из многочисленных известных конструкций пульсирующих дифференциалов нашел применение только шестеренчатый конический дифференциал.

Дифференциалы свободного хода лишь условно можно так называть ввиду того, что они лишь частично выполняют функции дифференциала (например, не передают крутящий момент на оба ведомых вала при различных угловых скоростях их вращения). Правильнее называть их муфтами свободного хода. Они бывают *роликовыми* и *кулачковыми*.

Среди самоблокирующихся дифференциалов повышенного трения различают *кулачковые* см. рисунки 2.2 и 2.3, *червячные*, *с муфтами* (дисками) трения см. рисунок 2.4 и гидравлические дифференциалы. Последние два типа выполняют как с коническими, так и с цилиндрическими зубчатыми колесами.



а – осевое расположение сухарей; б - радиальное расположение сухарей Рисунок 2.2 – Схемы кулачкового (сухарного) дифференциала

Гидравлические дифференциалы бывают с масляным насосом и с муфтой вязкостного трения (патент Фергюсона).

Дифференциалы, применяемые на автомобилях, в подавляющем большинстве представляют собой механизм с двумя степенями свободы. В число основных (имеющих неподвижную ось вращения) трех звеньев входит водило и две полуосевые шестерни (шестерни, связанные с ведомыми валами). Обычно водило жестко соединено с ведомым колесом главной передачи, являясь ведущим звеном (корпусом) дифференциала, а полуосевые шестерни являются ведомыми звеньями.

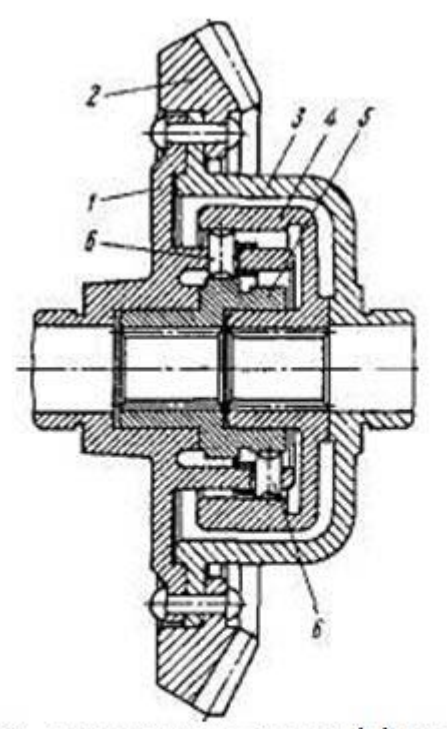
2.2 Кинематические и силовые соотношения в дифференциале

Запишем уравнение кинематических связей для дифференциала с постоянным отношением крутящих моментов M_1 и M_2 на ведомых звеньях см. рисунок 2.1. Передаточное число $i_{\scriptscriptstyle \rm I}$ дифференциала можно определить согласно формуле Виллиса, если остановить водило и получить механизм с неподвижными осями зубчатых колес:

$$i_{\mathrm{I}} = \frac{\mathbf{II}_{1} - \mathbf{II}_{2}}{\mathbf{II}_{2} - \mathbf{II}_{\mathrm{I}}},$$

где ω_1 , ω_2 , $\omega_{\text{д}}$ - угловые скорости полуосевых шестерен и корпуса дифференциала соответственно. Отсюда

$$\mathbf{\Pi}_{\mathbf{\Pi}} = \frac{\mathbf{\Pi}_{\mathbf{I}} - \mathbf{\Pi}_{2} \cdot \mathbf{i}_{\mathbf{\Pi}}}{1 - \mathbf{i}_{\mathbf{\Pi}}},\tag{2.1}$$



1,3 - чашки корпуса дифференциала;
2 - ведомое колесо главной передачи; 4,5 - наружная и внутренняя звездочки; 6 - сухари Рисунок 2.3 — Двухрядный кулачковый дифференциал

Если при остановленном корпусе дифференциала полуосевые шестерни вращаются в одну сторону, то $i_{\rm d}>0$, а если в разные, то $i_{\rm d}<0$. Поэтому для всех автомобильных дифференциалов $i_{\rm d}<0$. Если $i_{\rm d}=-1$, то дифференциал симметричный и $2\cdot\omega_{\rm d}=\omega_{\rm l}+\omega_{\rm d}$, при $i_{\rm d}\neq-1$ дифференциал несимметричный.

Передаточное число $i_{д}$ дифференциала есть не что иное, как внутреннее передаточное число планетарного ряда, поэтому:

$$i_{\mathrm{II}} = -\frac{Z_2}{Z_1},$$

где z_1 и z_2 - числа зубьев полуосевых шестерен.

В автомобилестроении принято считать $|i_{\mathtt{J}}| \geq 1$, поэтому всегда принимается $z_2 \geq z_1$.

Рассмотрим теперь силовые соотношения в дифференциалах. Из условия равновесия внешних крутящих моментов, приложенных к дифференциалу, имеем:

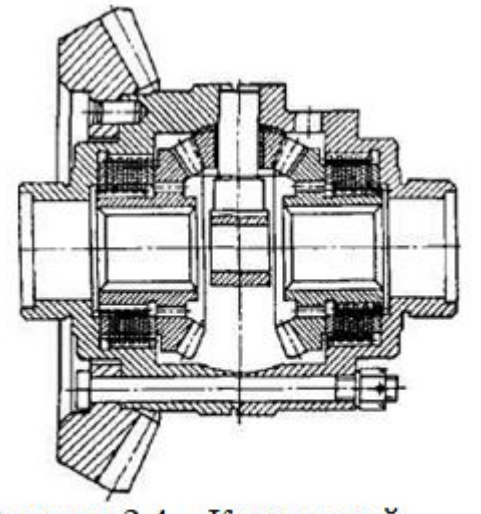


Рисунок 2.4 — Конический дифференциал с дисками трения

$$M_1 + M_2 = M_{\pi},$$
 (2.2)

где M_1 , M_2 , M_{π} - моменты на полуосевых шестернях и корпусе дифференциала соответственно.

Из условия баланса мощностей можно записать:

$$N_1 + N_2 = N_{\mu} - N_{TP}$$
,

где N_1 , N_2 - мощности, передаваемые через полуосевые шестерни;

N_Д - мощность, поступающая на корпус дифференциала;

 N_{TP} - потери мощности на трение.

Принимая во внимание, что $N_i = M_i \cdot \omega_i$, с учетом равенства (2.1) получаем уравнение:

$$M_1 \cdot m_1 + M_2 \cdot m_2 = M_{\pi} \cdot \frac{m_1 - m_2 \cdot i_{\pi}}{1 - i_{\pi}} - N_{TP},$$
 (2.3)

Из выражения (2.2) следует, что:

$$M_2 = M_{\pi} - M_1, (2.4)$$

Тогда с учетом (2.4) равенство (2.3) принимает вид:

$$M_1 \cdot m_1 + (M_{\prod} - M_1) \cdot m_2 = M_{\prod} \cdot \frac{m_1 - m_2 \cdot i_{\prod}}{1 - i_{\prod}} - N_{TP}$$

Откуда:

$$M_{1} = \frac{M_{\Lambda}}{1 - i_{\Lambda}} - \frac{N_{TP}}{m_{1} - m_{2}} = \frac{M_{\Lambda}}{1 - i_{\Lambda}} - 0.5 \cdot M_{TP}, \qquad (2.5)$$

Здесь:

$$M_{TP} = \frac{2 \cdot N_{TP}}{\mu_1 - \mu_2}, \qquad (2.6)$$

С учетом соотношений (2.4) и (2.5) запишем выражение для M_2 :

$$M_2 = M_{\pi} - M_1 = M_{\pi} - \frac{M_{\pi}}{1 - i_{\pi}} + 0.5 \cdot M_{TP} = \frac{M_{\pi} \cdot i_{\pi}}{i_{\pi} - 1} + 0.5 \cdot M_{TP}$$
 (2.7)

Для симметричного дифференциала ($i_{\scriptscriptstyle \rm I}$ = -1) выражения (2.5) и (2.7) имеют вид:

$$M_{1} = 0.5 \cdot (M_{\Lambda} - M_{TP})$$

 $M_{2} = 0.5 \cdot (M_{\Lambda} + M_{TP})$; (2.8)

При отсутствии потерь ($M_{\text{тр}}=0$) моменты в симметричном дифференциале распределяются поровну между ведомыми звеньями: $M_1 = M_2 = 0.5 \cdot M_{\text{II}}$.

Таким образом, на выходных валах (полуосях) симметричного дифференциала при отсутствии трения крутящие моменты всегда равны

между собой независимо от условий движения автомобиля. Это является важнейшим свойством симметричного дифференциала, в значительной степени определяющим эксплуатационные свойства автомобиля.

При наличии потерь $(M_{\tau p} \neq 0)$ моменты на ведомых валах симметричного дифференциала, согласно уравнениям (2.8), отличаются на момент трения:

$$M_2$$
- M_1 = M_{Tp} (2.9)

Чтобы $M_{\text{тр}} > 0$, необходимо принять за первую полуосевую шестерню ту, для которой $\omega_1 > \omega_2$. Тогда, согласно выражениям (2.8) и (2.9), крутящий момент M_1 на этой шестерне (забегающем валу) будет меньше, чем момент M_2 на другой полуосевой шестерне (отстающем валу).

Для несимметричного дифференциала, согласно выражениям (2.5) и (2.7), при отсутствии потерь отношение моментов равно по модулю передаточному числу дифференциала.

$$\frac{\mathbf{M}_2}{\mathbf{M}_1} = \frac{\mathbf{M}_{\mathcal{I}} \cdot \mathbf{i}_{\mathcal{I}}}{\mathbf{i}_{\mathcal{I}} - 1} \cdot \frac{\mathbf{i}_{\mathcal{I}} - 1}{\mathbf{M}_{\mathcal{I}}} = -\mathbf{i}_{\mathcal{I}},$$

Таким образом; например, для межосевого несимметричного дифференциала, устанавливаемого в раздаточную коробку полноприводного трехосного автомобиля (при односкатной ошиновке всех мостов), необходимо обеспечить $i_{\rm д}=-2$, чтобы крутящий момент, подаваемый на заднюю тележку (средний и задний мосты), всегда был в два раза больше, чем крутящий момент, поступающий на передний мост.

2.3 Влияние дифференциала на проходимость автомобиля

Если условия по сцеплению левого и правого колес одного моста одинаковы, то межколесный симметричный дифференциал с пренебрежимо малыми потерями на трение является лучшим решением кинематической связи ведущих колес с позиции эксплуатационных качеств автомобиля. При этом каждое колесо может вращаться со своей необходимой по кинематике частотой вращения и возрастание силы тяги будет происходить до полного использования всего сцепного вала; буксование наступит у обоих колес одновременно. То же самое относится и к межосевому, и к другим дифференциалам с малым трением.

Если условия по сцеплению у колес неодинаковы, то при возрастании силы тяги у автомобиля, оборудованных такими дифференциалами, буксовать начнут те колеса, которые находятся в худших сцепных условиях. Дальнейшее

автомобиля окажется Колеса, увеличение силы ИЛКТ невозможным. находящиеся в лучших сцепных условиях, не смогут реализовать всю свою возможную силу тяги. При этом произойдет снижение тяговых качеств и проходимости автомобиля, оборудованных дифференциалами малым дорогам с нестабильными трением, при движении ПО сцепными характеристиками.

Какой же дифференциал нужен для автомобиля? Чтобы ответить на этот вопрос еще раз рассмотрим межколесный симметричный дифференциал с малым трением.

Если под обоими колесами коэффициент сцепления ϕ_{max} =0,8 (что соответствует движению по сухому бетонному покрытию), то максимальная суммарная сила тяги ведущего моста:

$$P_{BM} = 2G_K \varphi_{max} = 1,6 G_K,$$

где G_K - вес, приходящийся на одно колесо. Если под обоими колесами коэффициент сцепления $\phi_{min}=0,1$ (что соответствует движению по льду), то:

$$P_{BM} = 2G_K \varphi_{min} = 0.2 G_K.$$

Если под одним колесом коэффициент сцепления ϕ_{max} , а под другим ϕ_{min} , то при дифференциальном приводе:

$$P_{\text{BM}} = 2G_{K} \phi_{min} = 0,2 G_{K}.$$

Чтобы обеспечить наиболее полное использование сцепного веса моста, необходимо заблокировать дифференциал. Тогда:

$$P_{BM} = G_K \cdot \varphi_{max} + G_K \cdot \varphi_{min} = 0.9 \cdot G_K$$

Из сопоставления последних двух выражений следует, что вследствие полного использования сцепного веса в соответствии со сцепными возможностями дороги максимальная сила тяги в 4,5 раза больше. Такого эффекта можно добиться и другим путем, например, если вместо симметричного установить несимметричный дифференциал с передаточным числом (между полуосями) $i_{\rm g} = -\phi_{\rm max}/\phi_{\rm min} = -8$. В результате сохранится возможность вращения полуосей с разными угловыми скоростями и будет обеспечена максимально возможная сила тяги.

В действительности же из-за непрерывно меняющихся дорожных условий в худшем положении может оказаться как одно, так и другое колесо. Поэтому необходим такой механизм, который обеспечивал бы выполнение функции дифференциала с автоматически изменяющимся передаточным числом от $i_{\rm д} = -\phi_{\rm max}/\phi_{\rm max} = -\phi_{\rm min}/\phi_{\rm min} = -1$ до $i_{\rm d} = -\phi_{\rm max}/\phi_{\rm min} = -8$ от дорожных условий. Такой идеальный механизм еще не создан.

Ввиду того, что изменять передаточное число $i_{\pi} = -z_{2}/z_{1}$ шестеренчатого дифференциала в процессе работы не представляется возможным из-за его конструкции (за исключением пульсирующего дифференциала). Стараются силовое передаточное изменить дифференциала, равное M_2/M_1 , вводя дополнительные силы трения так, чтобы "отстающем" момент М2 на колесе (имеющем коэффициент сцепления) увеличивался согласно уравнению (2.7), а на "забегаюшем" колесе (имеющем меньший коэффициент сцепления) уменьшался согласно формуле (2.5).

2.4 Коэффициент блокировки симметричного дифференциала

Отношение крутящего момента M_2 на отстающем валу к крутящему моменту M_1 на забегающем валу называется коэффициентом блокировки K_6 . Обычно этот термин используют только для симметричного дифференциала. С учетом выражения (2.8)

$$K_{6} = \frac{M_{2}}{M_{1}} = \frac{M_{\pi} + M_{TP}}{M_{\pi} - M_{TP}},$$
(2.10)

В зависимости от конструкции дифференциалы повышенного трения обеспечивают различные коэффициенты блокировки.

Симметричный дифференциал $(i_д=-1)$, имеющий коэффициент блокировки K_6 , обеспечивает разные силы тяги у колес ведущего моста. Блокирующие свойства такого дифференциала начинают проявляться немедленно, как только появляется разность сил тяги у колес ведущего моста, причем в первый момент относительное вращение полуосей отсутствует. Оно появляется при достижении некоторой разности сил тяги, определяемой коэффициентом блокировки.

Относительное вращение полуосей возможно вследствие буксования одного колеса при прямолинейном движении или из-за разных путей, проходимых колесами на повороте. При этом в первом случае такой дифференциал будет благоприятно сказываться на движении автомобиля, обеспечивая увеличение крутящего момента на полуоси небуксующего колеса, а во втором - неблагоприятное, так как в этом случае в перераспределении крутящих моментов нет необходимости. Сила тяги внутреннего по отношению к оси поворота колеса становится больше, а наружного - меньше. В результате в плоскости дороги появляется внешний момент, действующий в направлении, противоположном направлению поворота, что ухудшает управляемость автомобиля.

Согласно выражению (2.10), теоретически коэффициент блокировки K_{δ} может изменяться от $K_{\delta}=1$, когда трение в дифференциале отсутствует $(M_{TD}=0)$, до бесконечности, когда $M_{1}=M_{TP}=0$ (это может быть только на

абсолютно гладкой поверхности с $\phi = 0$ или при отрыве колеса от поверхности дороги).

На практике нет необходимости иметь большое значение коэффициента блокировки K_6 , так как предельные значения коэффициента сцепления под отдельными колесами встречаются крайне редко. По некоторым данным $K_6 = 3$ достаточен для 80 % дорожных условий, $K_6 = 5$ - для 94 %.

Максимальная суммарная сила тяги ведущего моста с самоблокирующимся дифференциалом:

$$P_{\rm BM} = G_{\rm K} \cdot (\varphi_{\rm kmin} - \varphi_{\rm kmin} \cdot K_{\rm B}) = G_{\rm K} \cdot \varphi_{\rm kmin} (1 - K_{\rm B}),$$

не может быть больше:

$$P_{\rm BM} = G_{\rm K} \cdot (\varphi_{\rm kmax} + \varphi_{\rm kmin})$$

где $\phi_{\text{ кmin}}, \phi_{\text{ кmax}}$ - коэффициенты сцепления под отдельными колесами, причем $\phi_{\text{ кmin}} \leq \phi_{\text{ кmax}}.$

Если остановить корпус симметричного дифференциала, то получится редуктор с одной степенью свободы и передаточным числом $|i_a|=1$. Пусть к одному из ведомых валов дифференциала приложен крутящий момент M_2 , а с другого снимается момент M_1 . Так как в дифференциале имеются потери на трение, то $M_2 > M_1$. а из-за того, что он симметричный, следует равенство $\omega_1 = \omega_2$, хотя и направлены скорости в разные стороны. Причем направления момента M_2 и угловой скорости ω_2 , как у ведущего элемента, в данном случае будут совпадать, а направления M_1 и ω_1 будут противоположны. В соответствии с этим направления моментов M_1 и M_2 будут одинаковыми.

Тогда КПД такого редуктора (дифференциала):

$$\eta_{\Lambda} = \frac{M_{1} \cdot \omega_{1}}{M_{2} \cdot \omega_{2}} = \frac{M_{1}}{M_{2}}, \tag{2.11}$$

Выражение (2.11) справедливо и при вращающемся корпусе дифференциала. Причем, как и в рассмотренном редукторе, внешний момент M_2 и угловая скорость ω_2 на отстающей полуоси совпадают по направлению, а на забегающей полуоси противоположны, В результате с учетом формулы (2.11) выражение (2.10) примет вид:

$$K_{\delta} = \frac{1}{3_{\pi}} \tag{2.12}$$

Если коэффициент блокировки не зависит от того, какая полуось является отстающей, а какая забегающей, то такой дифференциал называется дифференциалом с симметричными блокирующими свойствами.

Низкий КПД дифференциала иногда рассматривают как серьезный недостаток из-за возможных больших потерь мощности. Это не совсем так. Большой момент трения в дифференциале приведет к увеличению потерь мощности только при значительной разнице в частотах вращения полуосей. Так как обычно эта разница невелика, то и теряемая в дифференциале мощность тоже мала. Потери близки к нулю при отсутствии относительного вращения деталей дифференциала и будут возрастать по мере увеличения разницы в частотах вращения полуосей. При буксовании одного из колес ведущего моста или при повороте автомобиля с минимальным радиусом (при заданной линейной скорости движения) потери мощности наибольшими.

Для их оценки в зависимости от трения в дифференциале принят условный показатель - КПД передачи:

$$3_{\Pi} = \frac{N_1 + N_2}{N_{\Pi}}, \tag{2.13}$$

Найдем КПД передачи η_{π} в зависимости от радиуса поворота автомобиля. Согласно схеме, приведенной на рисунке 2.5:

$$\frac{\Pi \Pi}{0.5 \cdot B} = \frac{\Pi \Pi}{R}$$
,

где $\Delta \omega$ - разница угловых скоростей корпуса дифференциала и полуоси;

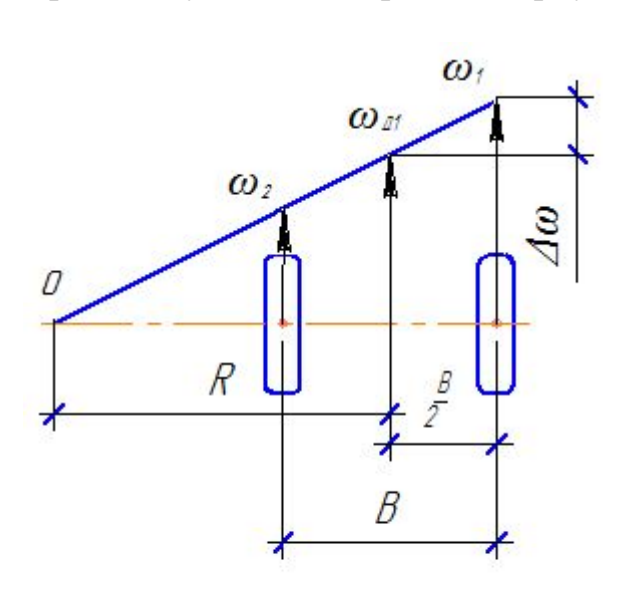


Рисунок 2.5 – План скоростей ведущего моста при повороте

R - радиус поворота центра ведущего моста.

Преобразовав, можно получить:

$$\frac{\underline{\Pi}\underline{\Pi}}{\underline{\Pi}\underline{\Pi}} = \frac{B}{2R}.$$

Кроме того,

$$\begin{split} N_1 &= M_1 \cdot \mathbf{u}_1 = M_1 \cdot \left(\mathbf{u}_{\mathcal{A}} + \mathcal{A} \mathbf{u} \right); \\ N_2 &= M_2 \cdot \mathbf{u}_2 = M_2 \cdot \left(\mathbf{u}_{\mathcal{A}} - \mathcal{A} \mathbf{u} \right); \\ N_{\mathcal{A}} &= M_{\mathcal{A}} \cdot \mathbf{u}_{\mathcal{A}} = \left(M_1 + M_2 \right) \cdot \mathbf{u}_{\mathcal{A}}; \\ M_2 &= \frac{M_1}{^3 \mathcal{A}}. \end{split}$$

С учетом последних равенств выражение (2.13) для КПД передачи примет вид:

$$3_{\Pi} = \frac{M_{1} \cdot \left(\Pi_{\Pi} + \Pi\Pi\right) + \frac{M_{1} \cdot \left(\Pi_{\Pi} - \Pi\Pi\right)}{3_{\Pi}}}{M_{1} \cdot \Pi_{\Pi} \cdot \left(1 + \frac{1}{3_{\Pi}}\right)} = \frac{1 + \frac{\Pi\Pi}{\Pi_{\Pi}} + \left(1 - \frac{\Pi\Pi}{\Pi_{\Pi}}\right) \cdot \frac{1}{3_{\Pi}}}{1 + \frac{1}{3_{\Pi}}} = \frac{1 + \frac{\Pi\Pi}{\Pi_{\Pi}} + \left(1 - \frac{\Pi\Pi}{\Pi_{\Pi}}\right) \cdot \frac{1}{3_{\Pi}}}{1 + \frac{1}{3_{\Pi}}} = 1 + \frac{1}{2 \cdot R} \cdot \frac{3_{\Pi} - 1}{3_{\Pi} + 1} = 1 - \frac{1}{2 \cdot R} \cdot \frac{1 - 3_{\Pi}}{1 + 3_{\Pi}}$$

$$(2.14)$$

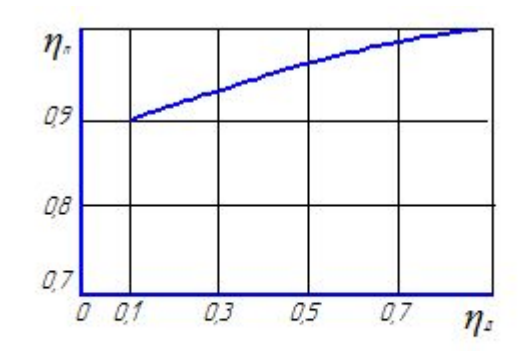


Рисунок 2.6 — Зависимость КПД передачи η_{π} от КПД дифференциала η_{π}

Таким образом, КПД передачи η_{Π} в отличие от КПД дифференциала $\eta_{Д}$ - величина переменная для данного автомобиля и зависит от радиуса его поворота.

При прямолинейном движении без проскальзывания ($R = \infty$) $\eta_{\pi} = 1$ независимо от КПД

дифференциала $\eta_{\text{Д}}$.

При движении с минимальным радиусом поворота зависимость η_{π} от $\eta_{Д}$ показана на рисунке 2.6 для отношения $B/(2\cdot R_{min})=0,1$, характерного для большинства грузовых автомобилей.

Анализ этой зависимости показывает, что КПД передачи η_{π} достаточно высок даже при весьма низких значениях КПД дифференциала η_{Z} . Отсюда следует, что низкие значения КПД дифференциала не могут служить препятствием для создания блокирующихся дифференциалов повышенного трения.

Наряду с уравнением (2.10) для коэффициента блокировки дифференциала K_{δ} используется также выражение:

$$K_{61} = \frac{\left(M_2 - M_1\right)}{M_{\Lambda}} = \frac{M_{TP}}{M_{\Lambda}}$$
 (2.14)

(с учетом равенств (2.8)).

Между этими двумя выражениями существует связь:

$$K_{6} = \frac{M_{2}}{M_{1}} = \frac{M_{\pi} + M_{TP}}{M_{\pi} - M_{TP}} = \frac{1 + \frac{M_{TP}}{M_{\pi}}}{1 - \frac{M_{TP}}{M_{\pi}}} = \frac{1 + K_{61}}{1 - K_{61}};$$
(2.15)

$$K_{61} = \frac{M_2 - M_1}{M_1} = \frac{M_2 - M_1}{M_2 + M_1} = \frac{\frac{M_2}{M_1} - 1}{\frac{M_2}{M_1} + 1} = \frac{K_{61} - 1}{K_{61} + 1}$$
(2.16)

Согласно выражению (2.14), K_{61} изменяется от K_{61} = 0 при M_{TP} = 0 до K_{61} = 1 при M_{TP} = $M_{\rm Z}$ (полная блокировка дифференциала).

2.5 Определение коэффициента блокировки дифференциалов различных конструкций

При относительном вращении полуосевых шестерен в обычном симметричном коническом дифференциале имеют место некоторые потери мощности на преодоление сил трения внутри механизма. Если учесть потери в зацеплениях сателлитов и полуосевых шестерен, а также в подшипниках скольжения сателлитов на оси крестовины и полуосевых шестерен в корпусе дифференциала, то КПД дифференциала может быть вычислен как произведение КПД этих механизмов передачи мощности:

$$3_{\mathrm{II}} = 3_{\mathrm{II.C.}} \cdot 3_{\mathrm{KOH.\PiP.}} \cdot 3_{\mathrm{II.C.}} \cdot 3_{\mathrm{KOH.\PiP.}} \cdot 3_{\mathrm{II.C.}}$$

где $\eta_{n.c}$ - КПД подшипника скольжения;

 $\eta_{\text{кон.пр}}$ - КПД конической передачи с прямым зубом.

Приняв $\eta_{\text{п.c}} = 0.99$; $\eta_{\text{кон.пр}} = 0.98$, получим:

$$3_{\text{ Д}} = 3_{\text{ II.C}}^3 \cdot 3_{\text{ KOH.\PiP}}^2 = 0.99^3 \cdot 0.98^2 = 0.93$$

и далее, согласно формуле (2.12), находим:

$$K_0 = 1/\eta_{\text{A}} = 1/0.93 = 1.075.$$

С учетом выражения (2.16) имеем:

$$K_{61} = \frac{K_{61} - 1}{K_{61} + 1} = \frac{1 - 3_{\pi}}{1 + 3_{\pi}} = \frac{1 - 0.93}{1 + 0.93} = 0.036$$

В результате, согласно формуле (2.14),

$$M_{TP} = K_{61} \cdot M_{\Lambda} = \frac{1 - 3_{\Lambda}}{1 + 3_{\Lambda}} \cdot M_{\Lambda} = 0,036 \cdot M_{\Lambda}$$
 (2.17)

Таким образом, коэффициент блокировки обычного симметричного конического дифференциала составляет K_6 = 1,07...1,10. С учетом трения сателлитов и полуосевых щестерен о корпус дифференциала его значение возрастает до K_6 =1,20 – 1, 25.

Чтобы существенно увеличить момент трения в дифференциале, используют специальные диски трения см. рисунок 2.4. Подсчитаем момент трения в таком самоблокирующемся дифференциале повышенного трения, приняв во внимание, что все шестерни в дифференциале прямозубые. Тогда, согласно выражениям (1.7), при $\beta_m = 0$ и $\alpha_N = \alpha$ имеем:

$$\begin{split} P_{_{x\,_{\Pi III}}} &= P_{_{t}} \cdot tg \delta \cdot sin \textbf{д}_{_{\Pi III}}; \\ P_{_{x\,_{CT}}} &= P_{_{t}} \cdot tg \delta \cdot sin \textbf{д}_{_{CT}}. \end{split}$$

где $P_{x \text{ пш}}$ суммарная осевая сила, действующая на обе полуосевые шестерни и сжимающая пакеты дисков;

 P_{t} - суммарная окружная сила, действующая в зацеплениях сателлитов с полуосевыми шестернями.

$$P_{t} = \frac{2 \cdot M_{\pi}}{d_{max}};$$

где $d_{\text{mnш}}$ - средний делительный диаметр полуосевой шестерни;

 $\delta_{\text{пш}},\ \delta_{\text{ст}}$ - углы делительного конуса полуосевой шестерни и сателлита соответственно;

 $P_{\scriptscriptstyle XCT}$ - суммарная осевая сила, действующая на сателлиты, и прижимающая их к корпусу дифференциала.

Дополнительный момент трения, развиваемый в дисках трения и в контакте сателлитов с корпусом дифференциала, относительно оси полуосевых шестерен равен:

$$M_{_{TP,\text{доп}}} = P_{_{x_{_{\Pi III}}}} \cdot M \cdot r_{_{cp,\Pi III}} \cdot z_{_{\Pi III}} + P_{_{x_{_{CT}}}} \cdot M \cdot r_{_{cp,CT}} \cdot \frac{d_{_{m,\Pi III}}}{d_{_{m_{_{CT}}}}}$$

или с учетом последних выражений:

$$\mathbf{M}_{\text{\tiny TP,gon}} = \frac{2 \cdot \mathbf{M}_{\text{\tiny A}} \cdot \mathbf{M} \cdot \mathbf{tg6}}{\mathbf{d}_{\text{\tiny m,niii}}} \cdot \left(\mathbf{z}_{\text{\tiny niii}} \cdot \mathbf{r}_{\text{\tiny cp,niii}} \cdot \sin \mathbf{d}_{\text{\tiny niii}} + \mathbf{r}_{\text{\tiny cp,cr}} \cdot \sin \mathbf{d}_{\text{\tiny cr}} \cdot \frac{\mathbf{d}_{\text{\tiny m,niii}}}{\mathbf{d}_{\text{\tiny m,cr}}} \right)$$
(2.18)

где µ - коэффициент трения;

 $r_{\text{ср-пш}}$, $r_{\text{ср.ст}}$ - средние радиусы поверхности трения дисков трения полуосевых шестерен и контактной поверхности сателлита с корпусом дифференциала соответственно;

 $z_{\text{\tiny min}}$ - число пар трения на одной полуосевой шестерне;

 d_{mcr} - средний делительный диаметр сателлита.

Сомножитель $d_{\text{mпш}}/d_{\text{mст}}$ появился в выражении (2.18) в связи с приведением момента трения сателлита (относительно его оси) к оси полуосевых шестерен.

По аналогии с выражением для среднего радиуса поверхности трения сцепления [1] можно записать:

$$r_{\text{cp.пш}} = \frac{1}{3} \cdot \frac{D_{\text{пш}}^3 - d_{\text{пш}}^3}{D_{\text{пш}}^2 - d_{\text{пш}}^2}; \qquad r_{\text{cp.cr}} = \frac{1}{3} \cdot \frac{D_{\text{cr}}^3 - d_{\text{cr}}^3}{D_{\text{cr}}^2 - d_{\text{cr}}^2}$$

где $D_{\text{пш}}$, $d_{\text{пш}}$ - наружный и внутренний диаметры дисков трения полуосевых шестерен;

 $D_{\text{ст}}$, $d_{\text{ст}}$ - наружный и внутренний диаметры площадки контакта сателлита и корпуса дифференциала.

Сложив выражения (2.17) и (2.18), получим суммарный момент трения в дифференциале с дисками трения:

$$\mathbf{M}_{\mathrm{TP}\Sigma} = \mathbf{M}_{\mathrm{TP}} + \mathbf{M}_{\mathrm{TP.JO\Pi}},$$

Разделив его на момент, передаваемый корпусом дифференциала, найдем, согласно формуле (2.14), коэффициент:

$$K_{\text{\tiny BI}\Sigma} = \frac{M_{\text{\tiny TP}\Sigma}}{M_{\text{\tiny II}}} = \frac{1 - 3_{\text{\tiny II}}}{1 + 3_{\text{\tiny II}}} + \frac{2 \cdot \text{\tiny M} \cdot \text{\tiny tg6}}{d_{\text{\tiny II}}} \cdot \left(z_{\text{\tiny mill}} \cdot r_{\text{\tiny cp,nill}} \cdot \sin \beta_{\text{\tiny mill}} + r_{\text{\tiny cp,cr}} \cdot \sin \beta_{\text{\tiny cr}} \cdot \frac{d_{\text{\tiny m,nill}}}{d_{\text{\tiny m,cr}}}\right).$$

Подставив полученное выражение в уравнение (2.15), получим искомый суммарный коэффициент блокировки дифференциала с дисками трения см. рисунок 2.4.

$$K_{6\Sigma} = \frac{1 + K_{61\Sigma}}{1 - K_{61\Sigma}}.$$

Согласно последним двум выражениям, коэффициент блокировки данного дифференциала не зависит ни от передаваемого момента, ни от относительных скоростей полуосевых шестерен, а зависит только от конструктивных параметров дифференциала и коэффициента трения µ.

К сожалению, ввиду малости угла профиля исходного контура α , значение коэффициента блокировки K_6 в таком дифференциале не может быть большим. Для выполненных конструкций при девяти парах трения (z_{nm} = 9) и μ = 0,1 K_6 равен 2,13; 2,36 и 2,51 при α , равном 20°; 22°30' и 24°.

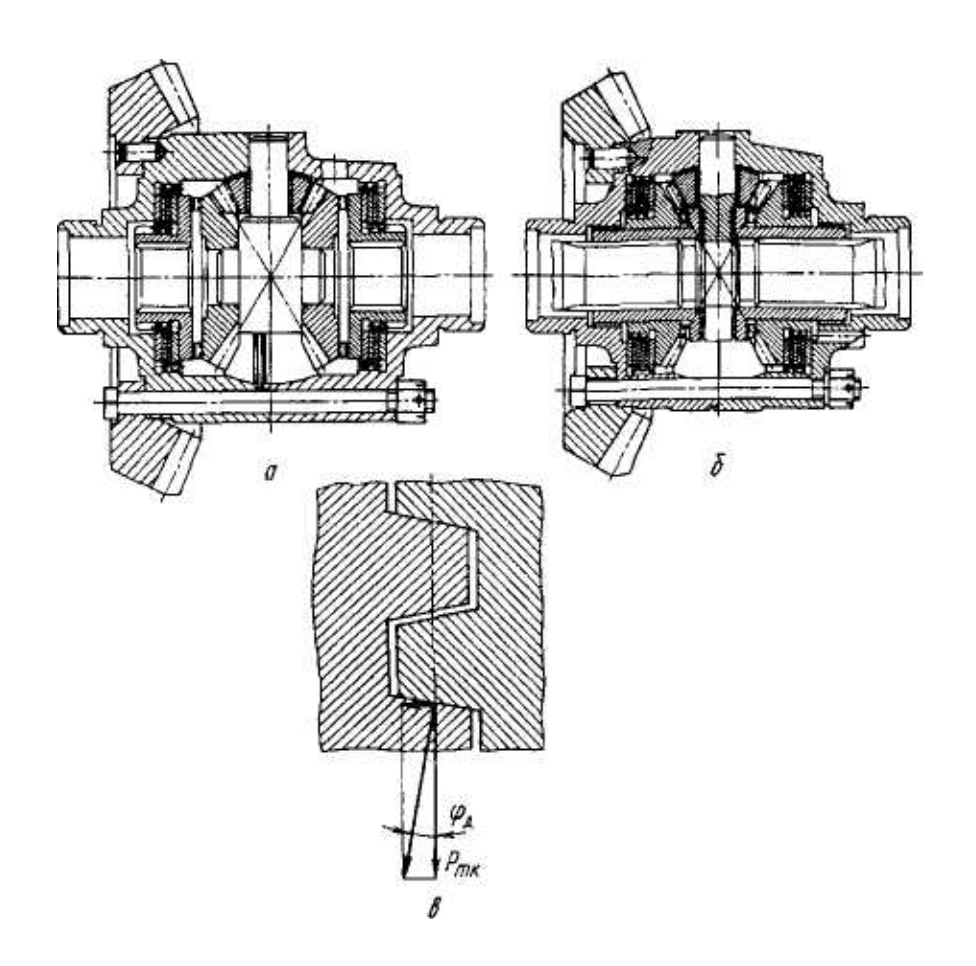
Чтобы увеличить силу сжатия дисков трения, а также момент трения и коэффициент блокировки, в конструкцию вводят трапецеидальные кулачки, расположенные на внешних см. рисунок 2.7, а, либо на внутренних см. рисунок 2.7, б сторонах полуосевых шестерен и втулок, через которые крутящий момент передается от этих шестерен к втулкам.

При этом дополнительный момент трения $M_{\text{тр.доп}}$ может быть определен по формуле, аналогичной (2.18), с заменой угла α на $\phi_{\text{д}}$, а $d_{\text{mпш}}$ на d_{mk} (где d_{mk} - средний диаметр торцевых кулачков).

В этих схемах, изменяя угол $\phi_{\rm Д}$, можно получить любой коэффициент блокировки в пределах допустимых давлений в элементах механизма и в первую очередь в дисках трения (чтобы не вызвать задиры на поверхностях трения).

Серьезным недостатком схемы, приведенной на рисунке 2.7, а, является то, что равнодействующая осевых сил прижимает полуосевые шестерни к сателлитам, уменьшая зазор в зацеплении зубьев и ухудшая тем самым работоспособность зубчатых пар дифференциала.

Конструкция самоблокирующегося дифференциала с раздельными плавающими пальцами сателлитов представлена на рисунке 2.8. От корпуса дифференциала окружные силы передаются на два пальца сателлитов через его наклонные скосы. В результате этого возникают осевые составляющие силы, которые последовательно через пальцы, буртики сателлитов и нажимные чашки сжимают пакеты дисков трения.



а - диски трения и трапецеидальные кулачки расположены с внешней стороны полуосевых шестерен и втулок; б - диски трения и трапецеидальные кулачки расположены с внутренней стороны полуосевых шестерен и втулок; в – сечение трапецеидальных кулачков

Рисунок 2.7 – Самоблокирующийся дифференциал

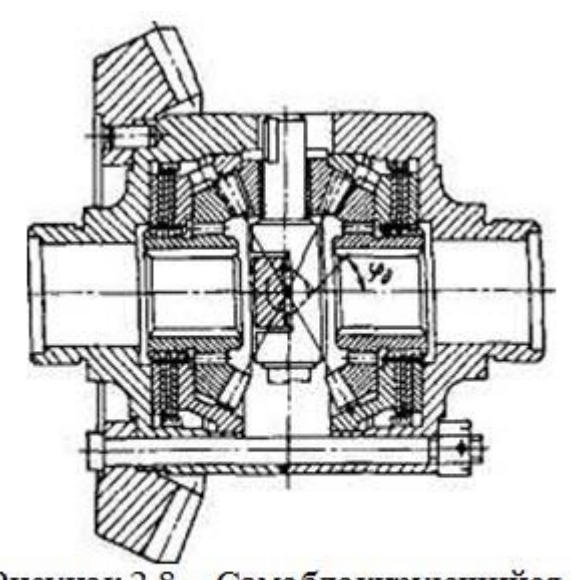


Рисунок 2.8 — Самоблокирующийся дифференциал с раздельными плавающими пальцами

Один палец сжимает один пакет дисков, другой палец -другой пакет.

Здесь к моменту трения обусловленному дисках, силами В зацеплениях полуосевых сателлитов И добавляются шестерен, моменты трения в дисках, а также между буртиками сателлитов И торцами нажимных чашек, обусловленные осевыми силами, возникающими на скосах корпуса дифференциала:

$$\mathbf{M}_{\text{\tiny TP,дon}} = \left(\frac{\mathbf{M}_{\text{\tiny \mathcal{I}}} \cdot \text{tg} \mathbf{\delta} \cdot \text{sin}_{\mathbf{J}_{\text{\tiny niii}}}}{\mathbf{d}_{\text{\tiny m,niii}}} + \frac{\mathbf{M}_{\text{\tiny \mathcal{I}}} \cdot \text{tg} \boldsymbol{\varphi}_{\text{\tiny \mathcal{I}}}}{2 \cdot \mathbf{r}_{\text{\tiny cp,}\mathcal{I}}}\right) \cdot \mathbf{M} \cdot \mathbf{Z}_{\text{\tiny niii}} \cdot \mathbf{r}_{\text{\tiny cp,niii}} + \frac{\mathbf{M}_{\text{\tiny \mathcal{I}}} \cdot \text{tg} \boldsymbol{\varphi}_{\text{\tiny \mathcal{I}}}}{2 \cdot \mathbf{r}_{\text{\tiny cp,}\mathcal{I}}} \cdot \mathbf{M} \cdot \mathbf{r}_{\text{\tiny cp,Hq}}$$

где $r_{\text{ср.д}}$, $r_{\text{ср.нч}}$ - средние радиусы приложения осевых сил на скосах корпуса дифференциала и в контакте сателлитов с нажимными чашками соответственно.

В этом выражении принято равномерное распределение окружной силы между пальцами сателлитов (коэффициент 2 в знаменателе). Однако это может быть обеспечено только при высокой точности изготовления, обеспечивающей равенство толщин пакетов дисков трения, взаимную перпендикулярность осей пальцев сателлитов и т.д. Иначе блокирующие свойства дифференциала будут различны при отставании одной или другой полуоси.

Некоторого увеличения коэффициента блокировки до $K_6 = 1,35$ можно добиться, если в результате небольшого изменения конструкции увеличить средний радиус трения $r_{\text{ср.ст}}$ контактных поверхностей сателлита с корпусом дифференциала, как показано на рисунке 2.9.

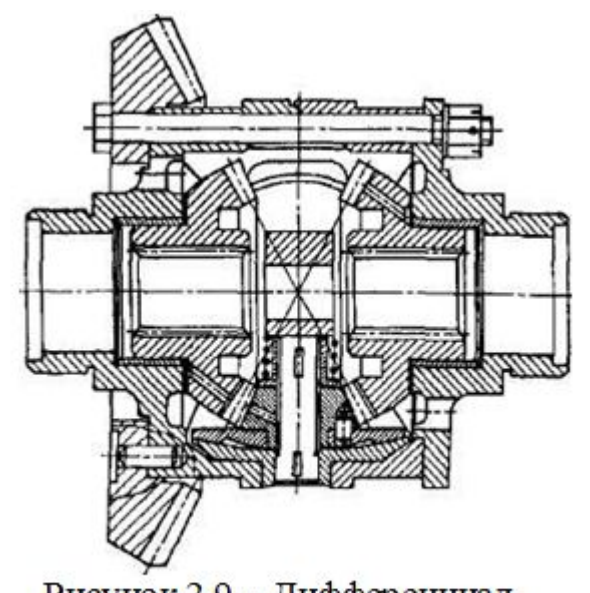


Рисунок 2.9 — Дифференциал с увеличенными шайбами сателлитов

Коэффициент блокировки другого типа самоблокирующегося дифференциала повышенного трения червячного дифференциала может быть вычислен через $K\Pi Д$ дифференциала $K_6 =$ $1/\eta_{\pi}$. Применение червячных дифференциалов весьма ограничено из-за сложности конструкций, высоких требований К точности

необходимости применения дорогостоящих материалов:

изготовления

бронзы для зубчатых колес, высоколегированных сталей для червяков.

Еще один тип самоблокирующегося дифференциала повышенного трения - кулачковый дифференциал - может быть выполнен с сухарями, расположенными как в осевом см. рисунок 2.2, а, так и в радиальном направлении см. рисунки 2.2, б, 2.3. Сухари могут располагаться как в один см. рисунок 2.2, так и в два ряда см. рисунок 2.3 и перемещаться только вдоль своих осей.

При однорядном размещении сухарей число кулачков на полуосевых элементах (звездочках) должно быть разным, при этом хотя бы один сухарь будет передавать нагрузку. Число сухарей должно быть равно любому из делителей суммы числа кулачков на обеих звездочках. Например, если в

дифференциале немецкой фирмы ZF число кулачков на звездочках равно 11 и 13, то при общем числе сухарей 8 (из возможных чисел 6, 8, 12, 24) в каждый момент передают нагрузку 3-4 сухаря.

При двухрядном размещении сухарей число кулачков на звездочках одинаково. При этом на внутренней звездочке один ряд кулачков смещен относительно другого на половину шага, а на внешней - кулачки выполнены по всей ширине звездочки. Число сухарей в каждом ряду (обычно 6 или 12) равно числу кулачков или в два раза больше его. Ряды сухарей размещаются в ведущем элементе - обойме корпуса дифференциала со смещением один относительно другого на половину своего шага. Такая конструкция дозволяет всегда иметь в зацеплении один ряд сухарей, т.е. передавать нагрузку одновременно всеми сухарями одного ряда, что и объясняет большее распространение двухрядных кулачковых дифференциалов, чем однорядных.

Кривые, по которым можно профилировать кулачки, должны иметь радиусы, отличающиеся на длину сухаря. Простейшим профилем, удовлетворяющим указанному условию, является спираль Архимеда, однако для упрощения технологии ее заменяют сопряженными дугами окружностей.

Работа дифференциала происходит следующим образом. При увеличении скорости одного из колес при повороте автомобиля звездочка этой стороны обгоняет обойму с сухарями и, перемещая последние вдоль своих осей, заставляет их воздействовать на профиль кулачков другой звездочки, уменьшая скорость ее вращения и обеспечивая таким образом дифференциальный эффект механизма.

При наличии относительной скорости вращения полуосей в местах контакта сухарей с кулачками и обоймой возникает трение. Силы трения на рабочих поверхностях кулачков и сухарей на отстающей звездочке складываются с действующей силой, а на обгоняющей - вычитаются из нее. В результате этого больший момент прилагается к отстающему колесу.

Силы трения, возникающие в дифференциале, прямо пропорциональны подводимому к нему крутящему моменту. Поэтому при повороте автомобиля на хорошей дороге, т.е. при относительно небольшом моменте, подводимом к дифференциалу, трение в нем не вызывает пробуксовки ведущих колес. При попадании одного из колес на скользкий участок оно под действием подводимого крутящего момента будет стремиться ускорить свое вращение, т.е. будет подобно наружному колесу на повороте. Тогда благодаря силам трения, как указывалось выше, крутящий момент на этом колесе будет уменьшаться, а на колесе, имеющем хорошее сцепление с грунтом, увеличиваться.

При повороте автомобиля на скользких дорогах наличие большого трения в дифференциале может вызвать преждевременное частичное буксование внутреннего ведущего колеса, так как через это колесо передается большая часть крутящего момента. При этом возможны колебания крутящего момента на внутреннем колесе, вызывающие вибрацию грунта (снижающие трение между его частицами), и, как результат, получается срыв грунта и погружение в него внутреннего колеса. Все это требует увеличения силы тяги

для преодоления сопротивления движению автомобиля. Это явление особенно опасно для движения автомобиля по снегу, песку. Одним из недостатков кулачкового дифференциала является то, что при отрыве ведущего колеса от грунта не обеспечивается передача крутящего момента на другое колесо.

При одинаковом количестве кулачков на обоих полуосевых элементах (для двухрядного расположения сухарей) дифференциал является симметричным, т.е. $i_{\rm L}=-1$; при разном (для однорядного расположения сухарей) - несимметричным ($i_{\rm L}\neq-1$).

Для определения коэффициента блокировки рассмотрим силы, действующие на сухарь в кулачковом дифференциале с радиальным расположением сухарей см. рисунок 2.10.

Пусть отстающей будет внутренняя звездочка, а забегающей - наружная, т.е. угловая скорость внутренней звездочки будет меньше, чем угловая скорость ведущего элемента - корпуса дифференциала, в котором расположены сухари, а угловая скорость наружной звездочки - больше, чем угловая скорость ведущего элемента. На рисунке 2.10 параметры отстающей и забегающей звездочек имеют индексы "2" и "1" соответственно.

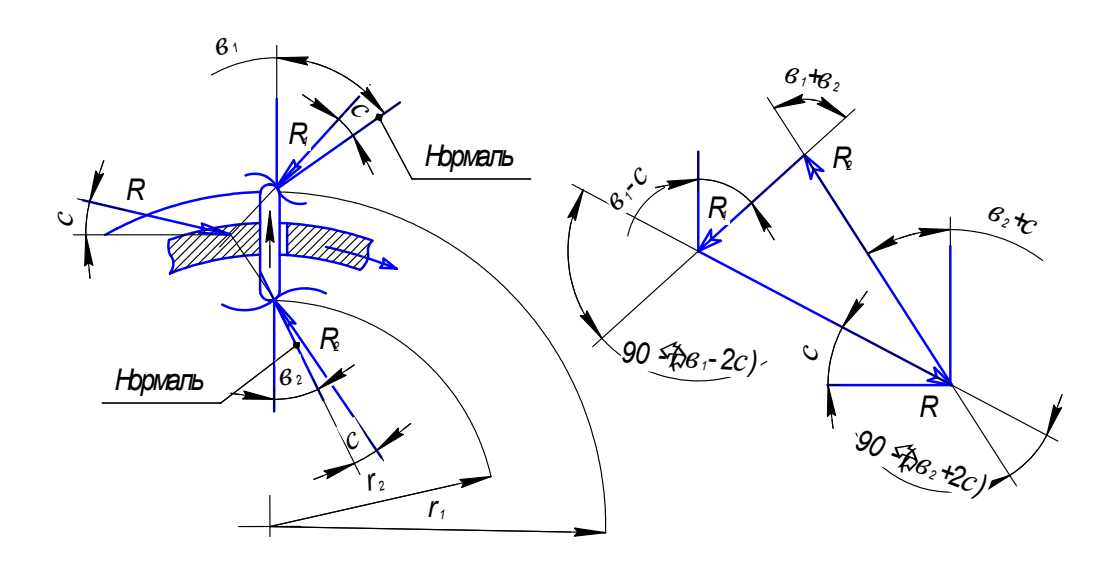


Рисунок 2.10 — Схема сил, действующих в кулачковом дифференциале с радиальным расположением сухарей

Реакции в точках контакта отклоняются от нормалей на угол трения, так что их тангенциальная (перпендикулярная к нормали) составляющая направлена против скорости скольжения. Моменты на полуосях:

$$M_1 = R_1 \cdot r_1 \cdot \sin(B_1 - c);$$

$$M_2 = R_2 \cdot r_2 \cdot \sin(B_2 - c)$$

Из силового треугольника см. рисунок 2.10 можно записать:

$$\frac{R_1}{R_2} = \frac{\cos(B_2 + 2 \cdot c)}{\cos(B_1 - 2 \cdot c)}.$$

В результате коэффициент блокировки:

$$K_{B}' = \frac{M_{2}}{M_{1}} = \frac{r_{2} \cdot \cos(B_{1} - 2 \cdot c) \cdot \sin(B_{2} + c)}{r_{1} \cdot \cos(B_{2} + 2 \cdot c) \cdot \sin(B_{1} - c)}.$$

Аналогично, если отстающей будет наружная звездочка, а забегающей - внутренняя, то:

$$K_{B}'' = \frac{M_{1}}{M_{2}} = \frac{r_{1} \cdot \cos(B_{2} - 2 \cdot c) \cdot \sin(B_{1} + c)}{r_{2} \cdot \cos(B_{1} + 2 \cdot c) \cdot \sin(B_{2} - c)}$$

При отсутствии трения ($\rho=0$) оба выражения для коэффициента блокировки должны быть равны единице. В этом случае должно иметь место соотношение:

$$\frac{\mathbf{r}_1}{\mathbf{r}_2} = \frac{\mathbf{tgB}_2}{\mathbf{tgB}_1}$$

Оно, которое обеспечивается благодаря тому, что угол β_1 всегда меньше угла β_2 при условии, что r_1 всегда больше r_2 . Последнее равенство поддерживается постоянно, независимо от смещения кулачков между собой.

При наличии трения значения $K_6^{'}$ и $K_6^{''}$ будут несколько отличаться, т.е. дифференциал будет иметь несимметричные блокирующие свойства. В результате испытаний, проведенных на фирме «Мак тракс», были получены значения $K_6^{'}=3,2$ и $K_6^{''}=2,1$.

Обычно для однорядных дифференциалов с радиальным расположением сухарей коэффициент блокировки $K_6 = 2...3$, для таких же дифференциалов, но с осевым расположением сухарей $K_6 = 3...4$.

Кроме рассмотренных выше самоблокирующихся дифференциалов, имеющих фиксированный коэффициент блокировки, момент трения в которых пропорционален передаваемому моменту $M_{\rm rp}=K_6\cdot M_{\rm д}$, существуют дифференциалы с постоянным моментом трения, обеспечиваемым, например, сжатием дисков трения с помощью винтовой цилиндрической пружины. Однако они не имеют широкого применения, так как при небольшом моменте трения такие дифференциалы малоэффективны ($K_{\rm 61}$ резко падает при увеличении $M_{\rm д}$), а при большом - они блокируются в широком диапазоне нагрузок, что может вызвать ускорение изнашивания шин.

Среди дифференциалов повышенного трения особое место занимают гидравлические дифференциалы, момент трения в которых зависит не от

передаваемого крутящего момента, а от квадрата разности угловых скоростей ведомых валов. Эти дифференциалы имеют наиболее благоприятную зависимость момента трения от условий движения. Так, при небольшой разнице угловых скоростей полуосей момент трения у них близок к нулю и нет затруднений при криволинейном движении автомобиля; при буксовании же одного из колес момент трения резко возрастает и позволяет передать большую часть мощности на небуксующее колесо.

2.6 Выбор основных параметров зубчатых колес дифференциалов

Все зубчатые колеса дифференциалов прямозубые. Для конических зубчатых колес симметричного дифференциала см. рисунок 2.1, а внешнее конусное расстояние R_e и внешний модуль $m_e = m_{te}$ можно выбирать с учетом данных, представленных на рисунке 1.7, б, в зависимости от расчетного крутящего момента M на сателлите:

$$M = min \begin{cases} \frac{G_{\varphi} \cdot \varphi \cdot r_{_{K}}}{2 \cdot n_{_{CT}} \cdot i_{_{CT,\Pi III}} \cdot i_{_{\Pi III,K}}} \\ \frac{M_{_{me}} \cdot \pi \cdot i_{_{TP,ДH}}}{2 \cdot n_{_{CT}} \cdot i_{_{CT,\Pi III}}} \end{cases}.$$

где λ - доля крутящего момента двигателя, которая поступает на корпус данного дифференциала;

 $i_{TP.ДH}$ - передаточное число трансмиссии от двигателя до корпуса дифференциала при включении низших передач в коробке передач и раздаточной коробке;

 $i_{\text{ст.пш}}$ - передаточное число от сателлита до полуосевой шестерни;

 $i_{\text{пш.к}}$ - передаточное число от полуосевой шестерни до ведущего колеса автомобиля.

$$i_{c_{T.\Pi III}} = z_1/z_{CT} = z_2/z_{CT}.$$

Прежде чем определить расчетный момент M, необходимо задаться значением $i_{\text{ст.пш}}$ из условия размещения в полуосевых шестернях шлицевого конца полуоси нужного диаметра и ограничения размеров дифференциала. Обычно принимают $i_{\text{ст.пш}} = 2$.

Далее определяют число зубьев сателлита

$$Z_{\text{CT}} = \frac{2 \cdot R_{\text{e}}}{m_{\text{e}} \cdot \sqrt{i_{\text{CT},\Pi III} + 1}} \,. \label{eq:ZT}$$

Если $z_{CT} < 10$, то принимают $z_{CT} = 10$; $z_{1min} = z_{2min} = 14$.

При окончательном выборе чисел зубьев z_{CT} и z_1 = z_2 необходимо обеспечить соблюдение условий сборки и размещения (соседства):

$$\frac{2 \cdot Z_1}{n_{CT}} = A;$$

$$\frac{p}{n_{CT}} > \underline{\Pi}_{CT} + \frac{1}{Z_1}.$$

где А - целое число:

Ширину зубчатого венца принимают равной b=(0.25-0.3) R_e значения угла профиля исходного профиля $\alpha=20^\circ-22^\circ30'$, коэффициент высоты головки зуба $h_6^*=0.8$, коэффициент радиального зазора $c^*=0.25$, коэффициент граничной высоты $h_1=1.6$.

Коэффициенты смещения исходного контура x для пары конических зубчатых колес принимают равными по величине и обратными по знаку (у сателлита со знаком "+"). Рекомендуется выбирать x в зависимости от передаточного числа $i_{\text{ст.пш}}$:

$$x = 0.46 \cdot \left(1 - \frac{1}{i_{\text{CT.\PiIII}}^2}\right)$$

при $\alpha = 20^{\circ}$ и

$$x = 0.37 \cdot \left(1 - \frac{1}{i_{\text{CT.\PiIII}}^2}\right)$$

при $\alpha = 22^{\circ}30'$.

Коэффициенты изменения толщины зуба x_T можно назначать также равными по величине и обратными по знаку (у сателлита со знаком "+"), исходя из следующих рекомендаций при α - $22^{\circ}30'$ см. таблицу 6.1.

Таблица 6.1 - Коэффициенты изменения толщины зуба

Обозначение параметра	Значение								
$i_{ m ct. IIIII}$	1,00	1,25	1,50	1,75	2,00	2,25	2,50		
X _T	0,000	0,045	0,058	0,063	0,063	0,060	0,057		

При выборе основных размеров зубчатых колес симметричных конических дифференциалов могут быть использованы данные, приведенные в таблице 6.2 и 6.3 для межколесных и межосевых дифференциалов.

Таблица 6.2 - Основные параметры зубчатых колес межколесных конических дифференциалов

Параметры	BA3- 2101	yA3-469	Урал- 375Н	КамАЗ- 5320	KpA3- 25751
Число зубьев; сателлита z_{CT} ; полуосевых шестерен z_1 = z_2	10 16	10 16	11 22	11 22	11 22
Внешнее конусное расстояние, R _e , мм	37,77	44,9	78,09	78,09	98,39
Внешний модуль m _e , мм	4	4,75	6,35	6,35	8.0
Угол профиля α	22°30'	22°30'	20°	22°30'	20°
Ширина венца b, мм	12	35	27	27	30.2
Число сателлитов	2	4	4	4	4

Таблица 6.3 - Основные параметры зубчатых колес межосевых дифференциалов, установленных в раздаточных коробках

Параметры	BA3- 2121	MA3- 509A	Урал- 375Д	КамАЗ -4310	KpA3- 25751
Число зубьев:					
солнечной шестерни z_{C}	18	20	20	20	22
сателлита z _{CT}	12	10	10	10	11
коронной шестерни z_K	18	40	40	40	22
Кинематический параметр	1	2	2	2	1
$ p = i_{\perp} =z_{K}/z_{C}$					
Внешнее конусное	37,5	-	-	-	73,15
расстояние, R _e , мм					
Межосевое расстояние а, мм	-	63,75	56,54	56,54	-
Расчетный суммарный	820	5700	6000	6000	10000
момент на ведомых валах М,					
Н-м					
Модуль т, мм	-	4,25	3,75	3,75	-
Внешний модуль те, мм	3,5	1	-	-	5,5
Ширина венца b, мм	15	40	40	45	25
Число сателлитов	2	4	4	4	4
Диаметр шипа сателлита $d_{\rm m}$,	16	25	24	24	30

MM

Для цилиндрических зубчатых колес несимметричного дифференциала см. рисунок 2.1, г межосевое расстояние (в миллиметрах) вычисляют по формуле:

где М - расчетный суммарный момент на ведомых валах дифференциала, вычисляемый по формуле (5.1), Нм;

 $\sigma_{\text{ном}}$ - номинальное контактное напряжение, МПа; ψ_a - коэффициент ширины венца зубчатого колеса.

$$\psi_a = b/a$$
; $|i_{\pi}| = z_K/z_C = z_2/z_1$.

Можно принимать $\sigma_{\text{ном}} = 150 - 250$ МПа; $\psi_a = 0.6 - 0.8$; $n_{\text{CT}} = 3 - 5$.

Значение $i_{\rm д}$ задают с учетом места установки дифференциала в трансмиссии автомобиля. Например, при установке в раздаточной коробке трехосного полноприводного автомобиля $i_{\rm d}=-2$, если один ведомый вал дифференциала связан с передним мостом, а другой - с двумя задними мостами.

Далее определяют числа зубьев z_C , z_{CT} , z_K . Для этого можно использовать выражение для определения передаточного числа дифференциала, а также условия соосности и сборки:

$$z_{K} = |i_{\pi}| \cdot z_{C};$$

$$z_{K} - z_{C} = 2 \cdot z_{CT};$$

$$(z_{K} + z_{C}) / n_{CT} = A,$$

где А - целое число.

Рассматривая три последних выражения как систему трех линейных алгебраических уравнений относительно трех неизвестных z_C , z_{CT} и z_K , можно найти эти неизвестные:

$$\mathbf{z}_{K} = \frac{\mathbf{A} \cdot \mathbf{n}_{CT} \cdot \left| \mathbf{i}_{\mathcal{I}} \right|}{\left| \mathbf{i}_{\mathcal{I}} \right| + 1};$$

$$\mathbf{z}_{\mathrm{C}} = \frac{\mathbf{A} \cdot \mathbf{n}_{\mathrm{CT}}}{\left| \mathbf{i}_{\mathrm{I}} \right| + 1};$$

$$z_{K} = \frac{A \cdot n_{CT} \cdot \left(i_{\mathcal{I}} \middle| -1 \right)}{2 \cdot \left(i_{\mathcal{I}} \middle| +1 \right)}.$$

Зная n_{CT} и i_{π} и задаваясь различными значениями целых чисел A, можно получить целый ряд значений чисел зубьев z_C , z_{CT} и z_K , удовлетворяющих поставленным условиям.

Дополнительно необходимо обеспечить, чтобы любое из этих чисел зубьев было бы больше 10 и чтобы удовлетворялось условие размещения:

$$\sin\frac{p}{n_{CT}} > \frac{z_{CT}}{z_C + z_{CT}}.$$

Далее для приемлемых трех значений z_C , z_{CT} и z_K определяют модуль зубчатых колес:

$$m = \frac{2 \cdot a}{z_C + z_{CT}}$$

и выбирают ту тройку, которая обеспечивала значение модуля m из рекомендуемого ряда.

При выборе параметров зубчатых колес несимметричных цилиндрических дифференциалов можно использовать данные, приведенные в таблице 6.2.

Зубчатые колеса шестеренчатых дифференциалов на сопротивление усталости не рассчитывают, а рассчитывают только на прочность при воздействии максимального динамического момента $M_{\text{д}}$ на корпус дифференциала по методике, описанной [1]. При этом считают, что нагрузка распределяется равномерно между всеми сателлитами и каждый сателлит передает усилие двумя зубьями.

В коническом дифференциале рассчитывают также шип крестовины на смятие и срез:

$$\mathbf{y}_{\text{\tiny cM}} = \frac{\mathbf{M}_{\text{\tiny Π}}}{\mathbf{n}_{\text{\tiny CT}} \cdot \mathbf{r}_{\text{\tiny cp.ct,m}} \cdot \mathbf{d}_{\text{\tiny III}} \cdot \mathbf{l}_{\text{\tiny ct}}} \leq \left[\mathbf{y}_{\text{\tiny cM}} \right] = 100 \text{M} \Pi a$$

$$\phi = \frac{4 \cdot M_{\pi}}{n_{\text{CT}} \cdot r_{\text{cp.ct.iii}} \cdot p \cdot d_{\text{iii}}^2} \leq \left[\phi\right] = 120 \text{M} \Pi a$$

где $r_{\text{ср-ст,ш}}$ - средний радиус поверхности контакта сателлита и шипа крестовины относительно оси полуосевых шестерен;

 d_{m} - диаметр шипа крестовины;

 ${\bf l}_{\rm cr}^-$ - длина цилиндрической поверхности сателлита под шип крестовины.

Вычисляют также напряжение смятия в контакте шипа крестовины с корпусом дифференциала:

$$y_{cM} = \frac{M_{\pi}}{n_{CT} \cdot r_{cD,\pi,III} \cdot d_{III} \cdot l_{\pi}} \le [y_{cM}] = 100M\Pi a$$

где $r_{\text{ср-д,ш}}$ - средний радиус поверхности контакта корпуса дифференциала и шипа крестовины относительно оси полуосевых шестерен;

 $l_{\scriptscriptstyle \rm J}$ - длина цилиндрической поверхности корпуса дифференциала под шип крестовины.

Зубчатые колеса, крестовины, звездочки и сухари дифференциалов изготавливают из тех же сталей, что и зубчатые колеса других агрегатов трансмиссии [1], с цементацией на глубину 1,5-1,9 мм и закалкой до HRC=58-63, с твердостью сердцевины HRC=30-40. Детали кулачковых дифференциалов для предотвращения задиров подвергают фосфатированию на глубину 5...10мкм. Корпус дифференциала отливают из ковкого чугуна КЧ 35-10 или стали.

Примерный расчет зубчатого конического дифференциала приведен в приложении А.2

Контрольные вопросы

- 1. Какие требования предъявляются к дифференциалам?
- 2. По каким признакам классифицируются дифференциалы?
- 3. Чему равно передаточное число дифференциала?
- 4. Определите крутящий момент на полуосевых шестернях дифференциала?
- 5. Коэффициент блокировки дифференциала и его значения для различных конструкций?

3 Полуоси

Полуоси служат для передачи крутящего момента от межколесного дифференциала к ведущим колесам автомобиля и, по сути, являются ведущими валами.

При зависимой подвеске колес и жестком картере ведущего моста полуоси располагаются внутри картера и, как правило, соединяются с полуосевыми шестернями дифференциала шлицами, а со ступицами ведущих колес - с помощью шлицев см. рисунки 3.1, а, б или фланцев, составляющих одно целое с полуосями см. рисунок 3.1, в, г.

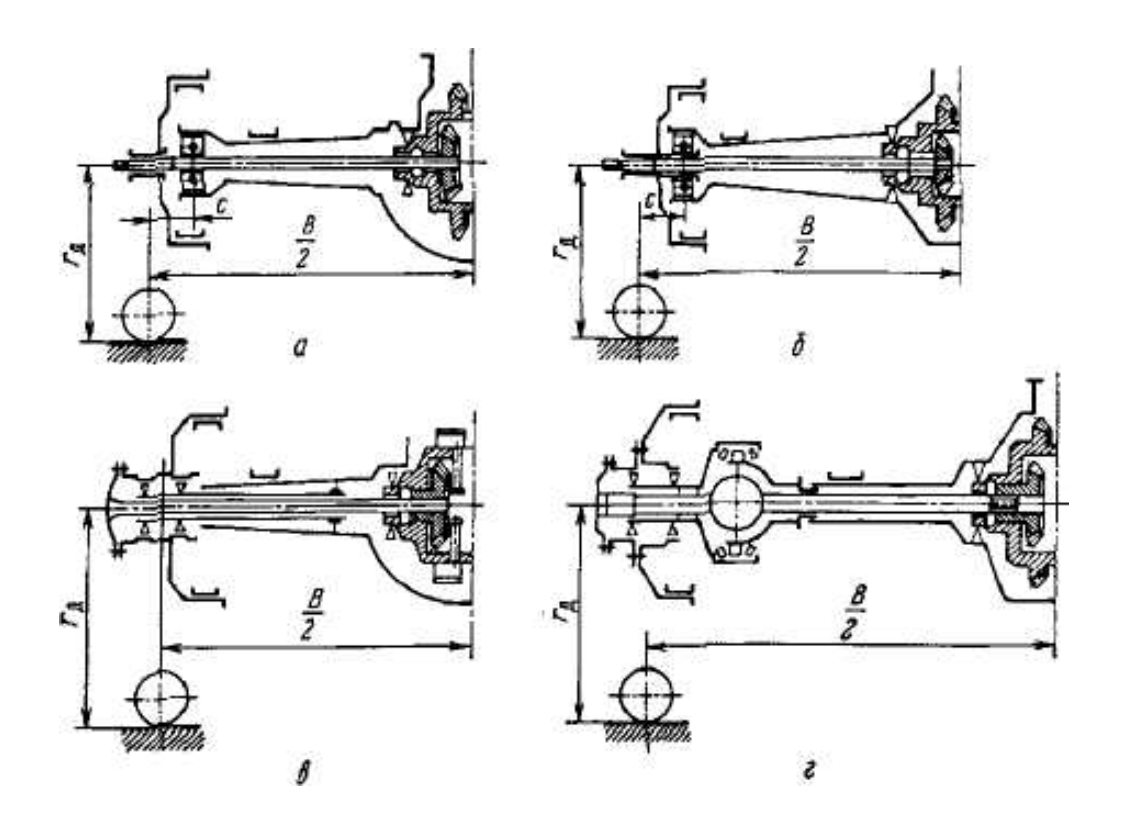
При этом полуоси выполняются с одним шарниром в управляемом мосту см. рисунок 3.1, г и без шарниров в неуправляемых мостах см. рисунки 3.1, а - в.

При независимой подвеске колес последние перемещаются относительно картера главной передачи, установленного на раме или в кузове автомобиля, в связи, с чем в зависимости от конструкции подвески полуоси имеют один (в конструкции с качающимися полуосями) или два шарнира в неуправляемом мосту и два шарнира в управляемом.

Только в некоторых конструкциях мостов с качающимися полуосями, когда ось качания совпадает с осью ведущей шестерни конической главной передачи (автомобили "Татра" и "Пинцгауэр") полуоси выполнены без шарниров см. рисунок 3.2 в неуправляемом мосту и имеют по одному шарниру в управляемом. В качестве шарниров применяются, как правило, шарниры равных угловых скоростей, особенно в управляемых мостах.

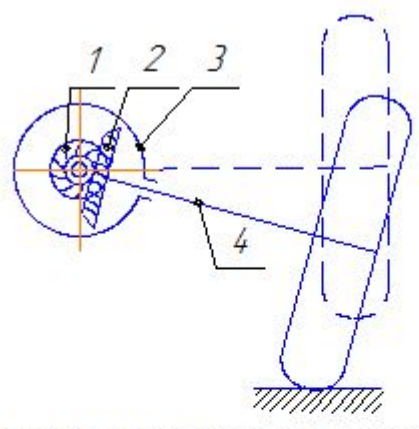
В зависимости от места установки и числа подшипников колеса полуоси подразделяют:

- на *полуразгруженные*, когда подшипник установлен между полуосью и картером ведущего моста см. рисунок 3.1, а;
- на *три четверти разгруженные*, когда подшипник установлен между ступицей колеса и картером моста см. рисунок 3.1, б;
- на *разгруженные*, когда два отстоящие один от другого подшипника расположены между ступицей колеса и картером моста см. рисунки 3.1,в, г и 3.3.



а - полуразгруженной; б - разгруженной на 3/4; в - разгруженной; г - разгруженной с шарниром в управляемом мосту

Рисунок 3.1 – Схемы ведущих мостов с жестким картером и полуосью



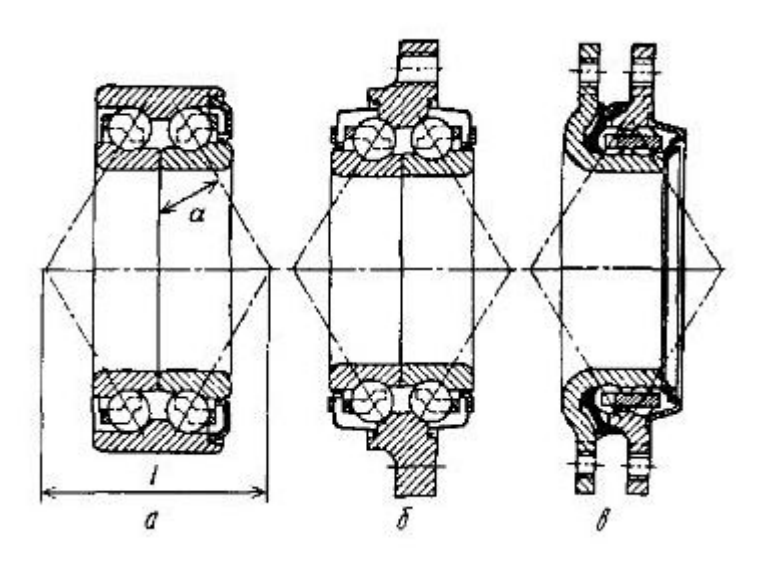
1 - ведущая коническая шестерня главной передачи; 2 - ведомое колесо главной передачи; 3 — вильчатый держатель кожуха полуоси; 4 - полуось Рисунок 3.2 — Схема работы качающейся полуоси автомобиля «Татра-111»

Полуразгруженные полуоси применяют только легковых В автомобилях. Такое деление характерно для типов ведущих всех мостов с зависимой и независимой подвеской. Причем при наличии у полуоси шарнира вблизи колеса последнем В всегда устанавливают два однорядных подшипника либо один двухрядный. Обычно используют шариковые радиальные и радиально-упорные И

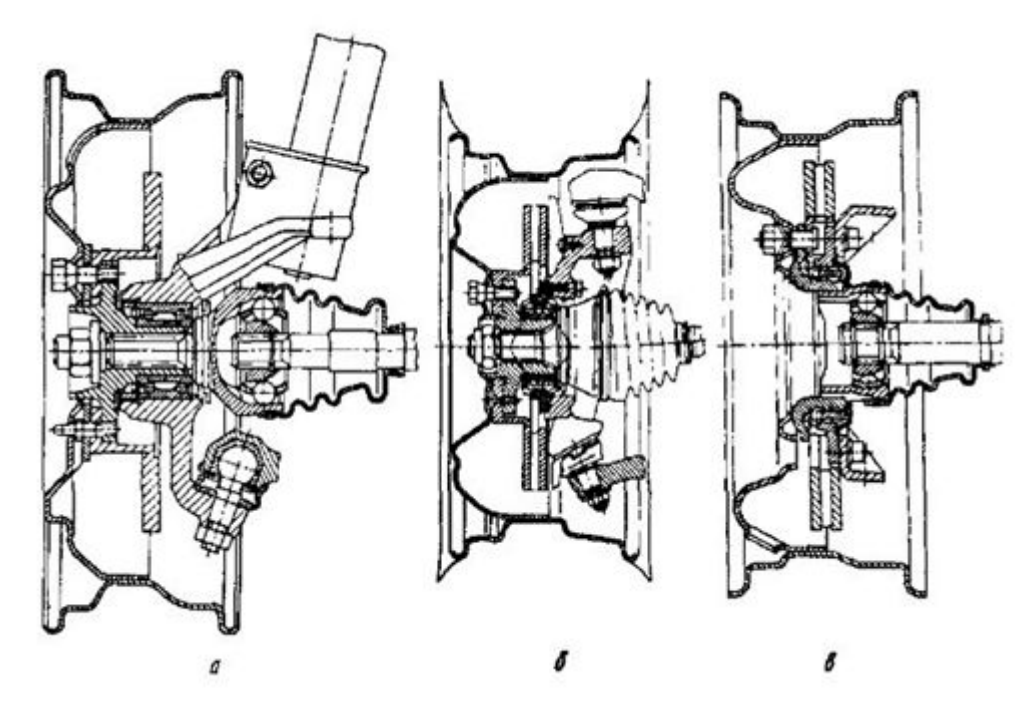
роликовые конические подшипники.

Для обеспечения высокой жесткости подшипникового узла (что особенно важно при установке дисковых тормозов), уменьшения его осевых размеров, устранения необходимости регулировки зазоров в подшипниках в процессе эксплуатации и уменьшения неподрессоренной массы в последнее

время наблюдается тенденция установки на легковых автомобилях вместо двух однорядных подшипников одного двухрядного радиально-упорного шарикового подшипника с большим углом а и большой опорной базой L см. рисунки 3.4 и 3.5. При этом зазор в подшипниках первого и второго поколения устраняется при монтаже колеса, а в подшипниках третьего поколения при изготовлении, что исключает регулировку узла в процессе эксплуатации.



а – первого поколения; б - второго поколения; в - третьего поколения Рисунок 3.4 – Двухрядный радиально-упорный шариковый подшипник



а – первого поколения; б - второго поколения; в - третьего поколения Рисунок 3.5 – Установка переднего ведущего колеса на двухрядном радиально-упорном шариковом подшипнике

Такие подшипники занимают мало места в осевом направлении, уплотняются сальниками с обеих сторон и заполняются смазкой на весь период эксплуатации.

Все типы полуосей рассчитывают на сопротивление усталости при кручении и статическую прочность по методикам, изложенным в [1], считая балки ведущих мостов недеформируемыми.

При расчете на сопротивление усталости при кручении расчетный момент определяют одинаково для всех типов полуосей согласно методике [1].

При расчете на статическую прочность разгруженных полуосей в качестве силового фактора, действующего на полуось, принимается максимальный крутящий момент:

$$M_{\text{max}} = 1.5 \cdot G_{\varphi} \cdot \varphi \cdot \frac{r_{\kappa}}{2}$$

где G_{ϕ} - вес, приходящийся на ведущий мост; $\phi = 0, 8$.

При расчете на статическую прочность полуразгруженных и разгруженных на 3/4 полуосей вычисляют напряжения в опасном сечении полуоси (в плоскости симметрии подшипника колеса, см. рисунки 3.1, а, б для трех предельных случаев нагружения:

- 1) интенсивного разгона или торможения;
- 2) заноса автомобиля на повороте;
- 3) переезда через препятствие.

При этом в качестве силовых факторов, действующих на полуось, принимаются следующие:

1. В случае интенсивного разгона или торможения - максимальный крутящий момент M_{max} . и изгибающие моменты $M_z=R_x\cdot c$ и $M_x=R_z\cdot c$ от сил R_x и R_z , действующих в контакте колеса с дорогой относительно вертикальной и горизонтальной оси площадки опасного сечения полуоси соответственно, $R_x=M_{max}/r_\kappa$; $R_z=R_x/\phi$

Боковая сила, действующая в контакте колеса с дорогой, в этом случае считается равной нулю, т.е. $R_y = 0$.

2. При заносе автомобиля на повороте - изгибающий момент относительно горизонтальной оси площадки опасного сечения полуоси, определяемый по формуле $M_{x,вш}=R_{y,вш}\cdot r_{д}-R_{z,вш}\cdot c$, если колесо является внешним по отношению к центру поворота, и, согласно выражению $M_{x,вн}=R_{y,вн}\cdot r_{д}-R_{z,вн}\cdot c$, если колесо является внутренним по отношению к тому же центру.

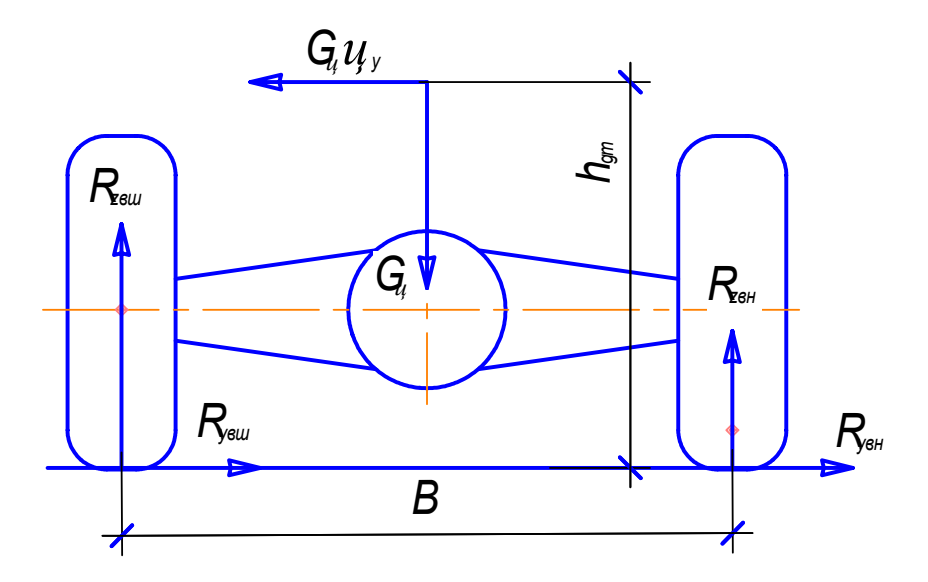


Рисунок 3.6 – Силы, действующие на ведущий мост при заносе автомобиля

С учетом рисунка 3.6 здесь:

$$\begin{split} \boldsymbol{R}_{_{\boldsymbol{y},\text{вш}}} &= \boldsymbol{R}_{_{\boldsymbol{z},\text{вш}}} \cdot \boldsymbol{\varphi}_{_{\boldsymbol{y}}}; \\ \boldsymbol{R}_{_{\boldsymbol{y},\text{вн}}} &= \boldsymbol{R}_{_{\boldsymbol{z},\text{вн}}} \cdot \boldsymbol{\varphi}_{_{\boldsymbol{y}}} \end{split}$$

$$R_{z,\text{BIII}} = G_{\varphi} \left(0.5 + \varphi_{y} \frac{h_{gm}}{B} \right);$$

$$R_{z,\text{\tiny BH}} = G_{\varphi} \left(0.5 - \varphi_{y} \frac{h_{\text{\tiny gM}}}{B} \right).$$

 $r_{_{\rm J}}$ - динамический радиус колеса, $r_{_{\rm J}} \approx r_{_{\rm K}}$; ϕ_y - коэффициент сцепления колеса с дорогой при смещении колеса вбок (можно принять $\phi_y = 1,0$); $h_{\rm gm}$ - высота центра подрессоренных масс автомобиля.

В выражениях для $R_{z,\text{вш}}$ и $R_{z,\text{вн}}$ при $\varphi_y \frac{h_{g_M}}{B} > 0,5$ следует принимать $\varphi_y \frac{h_{g_M}}{B} = 0,5$, что является предельной ситуацией перед опрокидыванием автомобиля. В этой предельной ситуации

$$\mathbf{M}_{_{\mathrm{X,BIII}}} = \mathbf{G}_{\varphi} \big(\boldsymbol{\varphi}_{_{\mathrm{Y}}} \cdot \mathbf{r}_{_{\mathrm{I}\!\!\!/}} - \mathbf{c} \big)$$

 $M_{_{_{^{X}BIII}}} = 0$. Можно показать, что и в других ситуациях всегда $M_{_{_{^{X}BIII}}} > M_{_{_{^{X}BIII}}}$

В случае заноса на повороте считается, что сила тяги или тормозная сила равны нулю, т.е. $M_{max}=0,\,R_x=0.$

3. В случае переезда через препятствие - изгибающий момент относительно горизонтальной оси площадки опасного сечения полуоси:

$$M_x = R_z \cdot c$$

$$R_z = K_{II} \cdot G_{\varphi}/2$$
.

где $K_{\rm Д}$ - коэффициент динамичности, равный 1,5-2,0 - для легковых автомобилей, 2,0-2,5 - для грузовых автомобилей и 2,5-3,0 - для автомобилей высокой проходимости.

В этом случае также считается, что $M_{max} = 0$, $R_x = 0$; $R_y = 0$.

В зависимости от зазоров и угловой жесткости подшипника колеса и жесткости картера ведущего моста полуоси, разгруженные на 3/4, могут передавать изгибающие моменты либо почти полностью (например, при износе подшипника), либо практически не передавать (в случае больших жесткостей и отсутствия зазоров). Поэтому учет вышеперечисленных силовых факторов позволяет повысить фактический запас прочности таких полуосей.

В качестве альтернативы методике, изложенной в [1], используется также оценка статической прочности полуосей по допускаемым напряжениям: $[\sigma] = 0.7 < \sigma_B$; $[\tau] = 0.4 < \sigma_B$. При этом эквивалентные напряжения, которые сравнивают с допускаемыми, подсчитывают по следующим формулам.

Для разгруженных полуосей:

$$\Phi_{\text{MB}} = \frac{M_{\text{max}}}{0.2 \cdot d_{\text{no}}^3} \leq \left[\Phi \right]$$

где d_{no} - диаметр полуоси в опасном сечении.

Для полуразгруженных и разгруженных на 3/4 полуосей при интенсивном разгоне или торможении:

$$\Phi_{_{3KB}} = \frac{M_{_{max}}}{0.2 \cdot d_{_{no}}^{3}}; \quad y = \frac{\sqrt{M_{_{x}}^{2} + M_{_{z}}^{2}}}{0.1 \cdot d_{_{no}}^{3}};$$

$$y_{_{\scriptscriptstyle 9KB}} = \sqrt{y^2 + 4 \cdot \varphi^2} \le \left[y \right]$$

при заносе автомобиля на повороте:

$$y_{_{9KB}} = \frac{M_{_{X,BIII}}}{0,1 \cdot d_{_{100}}^3} \le [y]$$

при переезде препятствия:

$$y_{_{9KB}} = \frac{M_{_X}}{0.1 \cdot d_{_{110}}^3} \leq [y]$$

В существующих конструкциях $d_{no}=20-30$ мм - у легковых автомобилей и $d_{no}=40-60$ мм - у грузовых автомобилей.

Примерный расчет полуоси приведен в приложении А.3

Контрольные вопросы

- 1. Назначение полуоси?
- 2. Типы полуосей и их применение?
- 3. По каким критериям рассчитываются полуоси?
- 4. Какие виды нагружения используются при расчете полуосей на статическую прочность?
- 5. Какие силовые факторы действуют на полуось в случае интенсивного разгона или торможения автомобиля?
- 6. Какие силовые факторы действуют на полуось в случае заноса автомобиля?
- 7. Какие силовые факторы действуют на полуось в случае динамического нагружения автомобиля?

Список использованных источников

- 1 Проектирование полноприводных колесных машин В 2 т. Т. 2 / А.А. Полунгян [и др.]; под редакцией А.А. Полунгяна М.: Изд-во МГТУ им. Н.Э. Баумана, 1999 488 с. : ил. ISBN 5-7038-1336-2.
- 2 Справочник конструктора машиностроителя В 3 т. Т. 1 / В.И. Анурьев, [и др.]; под редакцией И.Н. Жестковой М.: Машиностроение, 2001 920 с.: ил. ISBN 5-217-02963-3.
- 3 Автомобильный справочник / В.М Приходько [и др.]; под редакцией В.М Приходько М.: Машиностроение, 2004 704 с. : ил. ISBN 5-217-03197-2.
- 4 Автомобильный справочник: пер. с англ. 2-е изд. перераб. и доп., М.: ЗАО «КЖИ «За рулем»», 2004. 992 с. : ил. ISBN 5-85907-327-5.
- 5 Гаспарянц Г.А. Конструкция, основы теории и расчета автомобиля / Г.А. Гаспарянц -М.:Машиностроение, 1978. 351с.
- 6 Осепчугов В.В. Автомобиль. Анализ конструкций, элементы расчета / В.В. Осепчугов, А.К. Фрумкин М.: Машиностроение, 1989. 304с.
- 7 Рунец Н.А. Справочник автомобильного механика / Н.А. Рунец М.: Транспорт, 1979.-176с.
- 8 Армейские автомобили. В 3 кн. Кн. 1 Теория / А.С. Антонов [и др.]; под редакцией А.С. Антонова М.: Воениздат, 1970. 523 с.

Приложение А

(обязательное)

Примеры расчетов агрегатов и механизмов автомобиля

Исходные данные*:

Автомобиль ВАЗ-2103;

Максимальная мощность двигателя, N_{max} =56,6 кВт;

Частота вращения при N_{max} , $n_N = 5600$ мин⁻¹;

Максимальный крутящий момент двигателя, M_{emax}=105,9 Н·м;

Частота вращения при M_{max} , $n_M = 3400$ мин⁻¹;

Передаточные числа коробки передач:

 $i_{\kappa 1} = 3,75;$ $i_{\kappa 2} = 2,30;$ $i_{\kappa 3} = 1,49;$ $i_{\kappa 4} = 1,0$

Главная передача – гипоидная;

Передаточное число главной передачи, $i_0=4,1$

КПД трансмиссии $\eta_T = 0.95$.

* - исходные данные можно взять из тягово — динамического расчета автомобиля.

А.1 Расчет главной передачи

А.1.1 Определение крутящего момента на валу ведущей шестерни

Момент определим по формуле:

$$\mathbf{M}_{1} = \mathbf{M}_{\text{max}} \cdot \mathbf{i}_{\text{kmax}} \cdot \mathbf{i}_{\text{pk max}}, \tag{A.1.1}$$

где $\ M_{max}$ - максимальный крутящий момент двигателя, $\ H\cdot \ m$;

 $i_{\kappa max},\,i_{p\kappa\,max}$ - передаточные числа соответственно коробки передач и раздаточной коробки на низших ступенях.

$$M_1 = 105,9 \cdot 3,75 = 397,13 \text{ H} \cdot \text{M} = 0,397 \text{ kH} \cdot \text{M}$$

А.1.2 Выбор внешнего конусного расстояния и внешнего окружного модуля передачи

Выбор внешнего конусного расстояния R_e и внешнего окружного модуля m_t осуществляется в соответствии с рекомендациями данного пособия рисунок 1.7.

Принимаем: R_e =150 мм; m_t =8,5 мм.

А.1.3 Определение ширины зубчатого венца

Ширина зубчатого венца равна:

$$b=0,3\cdot R_e$$
 (A.1.2)
 $b=0,3\cdot 150=45 \text{ MM}$

А.1.4 Определение полной высоты зуба

Полная высота зуба равна:

$$h = 1,9 \cdot m_{te}$$
 (A.1.3)
 $h = 1,9 \cdot 8,5 = 16,2 \text{ MM}$

А.1.5 Определение угла профиля исходного контура

Примем угол профиля α исходного контура равным:

$$\alpha = 21.5^{\circ}$$

А.1.6 Выбор коэффициентов смещения

Коэффициенты смещения $x_1 = -x_2$ выбирают в зависимости от числа зубьев шестерни Z_1 см. таблицу 6.1.

Зададимся числом зубьев шестерни Z_1 =7, тогда:

$$x_1 = 0.666$$
 $x_2 = -0.666$

А.1.7 Определение число зубьев колеса

Число зубьев колеса определим по формуле:

$$Z_2 = Z_1 \cdot i_{KOH} = 7.4, 1 = 28,7$$

Принимаем Z₂=29.

Тогда фактическое передаточное число главной передачи будет:

$$i_0 = 29/7 = 4,14$$

А.1.8 Расчёт геометрических параметров зацепления

А.1.8.1 Определение внешних делительных диаметров

$$d_{e1} = m_t \cdot Z_1 = 8,5 \cdot 7 = 59,5 \text{ MM}$$

 $d_{e2} = m_t \cdot Z_2 = 8,5 \cdot 29 = 246,5 \text{ MM}$

А.1.8.2 Определение среднего конусного расстояния

$$R_m = R_e - 0.5 \cdot b = 150 - 0.5 \cdot 45 = 127.5 \text{ MM}$$

А.1.8.3 Определение среднего модуля

$$m_{_{\rm m}} = m_{_{\rm t}} \cdot \frac{R_{_{\rm m}}}{R_{_{\rm e}}} = (8,5 \cdot 127,5)/150 = 7,23 \text{ mm}$$

А.1.8.4 Определение средних делительных диаметров

$$d_1=m_m \cdot Z_1=7,23\cdot 7=50,61 \text{ MM}$$

 $d_2=m_m \cdot Z_2=7,23\cdot 29=209,67 \text{ MM}$

А.1.8.5 Определение углов делительных конусов

$$\delta_1$$
=arctg Z_1/Z_2 = arctg 7/29= arctg 0,24=13°35′
$$\delta_2$$
=90°- δ_1 =90°-13°35′ = 76°25′

А.1.8.6 Определение внешних диаметров вершин зубьев

$$\begin{aligned} d_{_{ae1}} &= d_{_{e1}} + 2 \cdot \left(1 + X_{_{1}}\right) \cdot m_{_{t}} \cdot \cos д_{_{1}} = \\ &= 59,5 + 2 \cdot (1 + 0,666) \cdot 8,5 \cdot \cos 13^{\circ} 35' = 59,5 + 28,322 \cdot 0,972 = 87,029 \text{ мм} \end{aligned}$$

$$d_{\text{ae2}} = d_{\text{e2}} + 2 \cdot (1 + X_2) \cdot m_{\text{t}} \cdot \cos д_2 = 246,5 + 2 \cdot (1 - 0,666) \cdot 8,5 \cdot \cos 76^{\circ} 25' = 246,5 + 5,678 \cdot 0,239 = 247,857 \text{ мм}$$

А.1.8.7 Определение внешних диаметров впадин зубьев

$$d_{_{fe1}} = d_{_{e1}} - 2 \cdot (1,2 + X_{_{1}}) \cdot m_{_{t}} \cdot \cos д_{_{1}} = 59,5-2 \cdot (1,2+0,666) \cdot 8,5 \cdot \cos 13^{\circ}35' = 59,5-9,078 \cdot 0,972 = 50,676 \ \text{мм}$$

$$d_{\text{fe2}} = d_{\text{e2}} - 2 \cdot (1,2 - X_2) \cdot m_{\text{t}} \cdot \cos \mu_2 = 246,5-2 \cdot (1,2-0,666) \cdot 8,5 \cdot \cos 76^{\circ} 25' = 246,5-9,078 \cdot 0,239 = 244,33 \text{ мм}$$

А.1.8.8 Определение углов наклона зубьев

Углы наклона зубьев вычислим по выражениям (1.3) и (1.4) для принятого смещения Е. Смещение осей Е не должно быть более 0,2 D₂ у легковых и не более 0,125 D₂ у грузовых автомобилей.

Принимаем Е =0,15∙

$$D_2=0,15\cdot246,5=36,98 \text{ MM}$$

Тогда:

$$B_{1} = 25^{\circ} + \sqrt{\frac{Z_{2}}{Z_{1}}} + 90^{\circ} \cdot \frac{E}{D_{2}} =$$

$$= 25^{\circ} + \sqrt{\frac{37}{9}} + 90^{\circ} \cdot \frac{36,98}{333} = 25^{\circ} + 2,03 + 13,5 = 40^{\circ}53'$$

$$B_{2} = B_{1} - \arctan \frac{E}{0,5 \cdot (D_{2} - b_{2})} =$$

$$= 40^{\circ}53' - \arctan \frac{36,98}{0,5 \cdot (333 - 54)} = 40^{\circ}53' - 20^{\circ}15' = 20^{\circ}38'$$

А.1.9 Определение сил, действующих в зацеплении

А.1.9.1 Ведущая шестерня

Окружная сила

$$P_1 = \frac{2 \cdot M_1}{d_1} = (2.397,13) / 0,05061 = 15693,7 \text{ H}$$

Осевая сила

$$P_{x1} = \frac{P_1}{\cos B_1} \cdot (- \operatorname{tg6} \cdot \sin A_1 - \sin B_1 \cdot \cos A_1) =$$
=15693,7 /\cos 40°53' \cdot (-\text{tg } 21°5' \cdot \sin 13°35' - \sin 40°53' \cdot \cos 13°35') =
= 15693,7 /0,76 \cdot (-0,39 \cdot 0,23 - 0,65 \cdot 0,97) = -14871,8 H

Радиальная сила

$$P_{r1} = \frac{P_{1}}{\cos B_{1}} \cdot (tg6 \cdot \cos A_{1} - \sin B_{1} \cdot \sin A_{1}) =$$

$$= 15693,7 /\cos 40^{\circ}53' \cdot (tg21^{\circ}5'\cos 13^{\circ}35' - \sin 40^{\circ}53' \cdot \sin 13^{\circ}35') =$$

$$= 15693,7 /0,76 \cdot (0,39 \cdot 0,97 - 0,65 \cdot 0,23) = 4724,6 \text{ H}$$

А.1.9.2 Ведомая шестерня

Окружная сила

$$P_{2} = P_{1} \frac{\cos \beta_{2}}{\cos \beta_{1}} = (15693, 7 \cdot \cos 20^{\circ} 38^{'}) / \cos 40^{\circ} 53^{'} =$$
$$= (15693, 7 \cdot 0.94) / 0.76 = 19410.6 \text{ H}$$

Осевая сила

$$P_{x2} = \frac{P_2}{\cos B_2} \cdot (tg6 \cdot \sin \beta_2 \mu \sin \beta_2 \cdot \cos \beta_2) =$$

$$19410,6 /\cos 20^{\circ}38' \cdot (tg21^{\circ}5' \cdot \sin 76^{\circ}25' - \sin 20^{\circ}38' \cdot \cos 76^{\circ}25') =$$

$$= 19410,6/0,94 \cdot (0,39 \cdot 0,97 - 0,35 \cdot 0,24) = 6077,1 \text{ H}$$

Радиальная сила

$$P_{r2} = \frac{P_2}{\cos B_2} \cdot (tg6 \cdot \cos A_2 \pm \cdot \sin A_2 \cdot \sin A_2) =$$
=19410,6 /cos 20°38' · (tg21°5' · cos76°25' - sin 20°38' · sin 76°25')=
= 19410,6 /0,94 · (0,39·0,24-0,35·0,97)= -5077,7 H

А.1.10 Расчет зубчатого зацепления на прочность

А.1.10.1 Расчет на изгибную выносливость

Напряжение изгиба зубьев, σ_F , МПа определяется по формуле:

$$y_{F} = \frac{635 \cdot M_{KP}}{m_{m}^{2} \cdot (1 - 0.5 \cdot III)^{2} \cdot z_{1} \cdot y_{1} \cdot b \cdot k_{v}} \le y_{FP}$$
(A.1.4)

где ү- коэффициент полноты зуба;

у – коэффициент формы зуба, зависящий от приведенного числа зубьев см. таблицу Б.1;

 k_v – коэффициент, учитывающий окружную скорость, см. таблицу В.1; σ_{FP} – допускаемое напряжение изгиба, см. таблицу Д.1.

Материал шестерни: Сталь 40X, закалка по профилю с выкружкой. σ_{FP} =300 МПа

А.1.10.1.1 Определение степени полноты зуба шестерни

Степень полноты зуба, определяется по формуле:

$$\mathbf{H} = \frac{\mathbf{b}}{\mathbf{R}_{e}} = 45/150 = 0.3$$

А.1.10.1.2 Определение приведенного число зубьев шестерни

Приведенное число зубьев вычисляется по формуле:

$$Z_{np} = \frac{Z_1}{\cos \beta_1 \cdot \cos \beta_1} \tag{A.1.5}$$

$$z_{np} = 7/\cos 13^{\circ}35' \cdot \cos^3 40^{\circ}53' = 7/0,42 = 16,67 \approx 17$$

Тогда y_1 =0,096 см. таблицу Б.1

А.1.10.1.3 Определение окружной скорости

Окружная скорость рассчитывается по формуле:

$$v = \frac{p \cdot m_{e} \cdot (1 - 1.5 \text{ m}) \cdot z_{1} \cdot n_{1}}{60 \cdot 1000}$$
 (A.1.6)

где n_1 – частота вращения зубчатого колеса, об/мин.

Частоту вращения зубчатого колеса определяем при включенной первой ступени в коробке передач:

$$n_1 = n_M/i_{\kappa 1} = 3400/3,75 = 906,67 \text{ мин}^{-1}$$

$$v = \frac{3,14 \cdot 8,5 \cdot \left(1 - 1,5 \cdot 0,3\right) \cdot 7 \cdot 907}{60 \cdot 1000} = 93200/60000 = 1,55 \text{м/c}$$

Тогда k_v =0,85 см. таблицу В.1

Определим напряжение изгиба:

$$y_{F} = \frac{635 \cdot 397,2}{8,5^{2} \cdot (1 - 0,5 \cdot 0,3)^{2} \cdot 7 \cdot 0,096 \cdot 45 \cdot 0,85} = 265 < [y_{FP}] = 300 \text{ M}\Pi a$$

А.1.10.2 Определение контактного напряжения

Контактное напряжение, σ_{H} , МПа определим по формуле:

$$y_{H} = \frac{k}{z_{1} \cdot m_{e} \cdot (1 - 0.5 \text{III})} \cdot \sqrt{\frac{\sqrt{i^{2} + 1}}{i + b}} \cdot \frac{M_{\kappa p}}{k_{v}} \le y_{HP}$$
(A.1.7)

где k – коэффициент давления, см. таблицу Г.1

 σ_{HP} - допускаемое контактное напряжение, см. таблицу Д.1 k=670

 $σ_{HP}$ =950 MΠa

$$y_{H} = \frac{670}{7 \cdot 8,5 \cdot (1 - 0,5 \cdot 0,3)} \sqrt{\frac{\sqrt{4,11^{2} + 1}}{4,11 + 45} \cdot \frac{397}{0,85}} = 13,25 \cdot 6,34 = 840,2 \text{ M}\Pi a$$

А.1.10.3 Расчет прогибов зубчатых колес

Фактические перемещения вычисляются с учетом схемы установки ведущих валов, после эскизной компоновки зубчатого зацепления. Для заданного зубчатого зацепления применяется схема, представленная на рисунке 1.11, а.

Конструктивно принимаем a=120 мм, b=60 мм.

Для этой схемы горизонтальные и вертикальные перемещения определяют соответственно по формулам:

$$y_{r} = P_{t} \cdot \frac{b^{2} \cdot (a+b)}{3 \cdot E \cdot I}; \qquad (A.1.8)$$

$$y_{B} = P_{T} \cdot \frac{b^{2} \cdot (a+b)}{3 \cdot E \cdot J} - P_{X} \cdot 0.5 \cdot D_{I} \cdot \frac{b \cdot (2 \cdot a + 3 \cdot b)}{6 \cdot E \cdot J}$$
(A.1.9)

где J – момент инерции сечения вала.

$$J \approx 0.05 \cdot d^4$$
, mm⁴ (A.1.10)

где d – диаметр вала. d=40 мм

$$J=0.05\cdot40^4=0.05\cdot2560000=128000 \text{ mm}^4$$

Тогда горизонтальное перемещение будет равно:

$$y_{r} = 15693 \cdot \frac{50^{2} \cdot (100 + 50)}{3 \cdot 2,1 \cdot 10^{5} \cdot 128000} =$$

$$= 15693 \cdot \frac{375000}{806400 \cdot 10^{5}} = 0,072 < 0,075 \text{ mm}$$

Вертикальное перемещение ведущего вала:

$$y_{_{B}} = 4724 \cdot \frac{50^{2} \cdot (100 + 50)}{3 \cdot 2, 1 \cdot 10^{5} \cdot 128000} - (-14871) \cdot 0,5 \cdot 50,6 \cdot \frac{50 \cdot (2 \cdot 100 + 3 \cdot 50)}{6 \cdot 2, 1 \cdot 10^{5} \cdot 128000} = 4724 \cdot 0,465 \cdot 10^{-5} + 0,041 = 0,022 + 0,041 = 0,063 < 0,075 \text{ mm}$$

Угол поворота сечения 1-1 определим по формуле:

$$\varphi = P_{r} \cdot \frac{b \cdot (2 \cdot a + 3 \cdot b)}{6 \cdot E \cdot J} - P_{x} \cdot 0,5 \cdot D_{1} \cdot \frac{a + 3 \cdot b}{3 \cdot E \cdot J}$$
(A.1.11)

$$\varphi = 4724 \cdot \frac{50 \cdot (2 \cdot 100 + 3 \cdot 50)}{6 \cdot 2,1 \cdot 10^{5} \cdot 128000} - (-14871) \cdot 0,5 \cdot 50,6 \cdot \frac{100 + 3 \cdot 50}{3 \cdot 2,1 \cdot 10^{5} \cdot 128000} = 0,00051 + 0,00012 = 0,00063 < 0,25$$

А.2 Расчет дифференциала

А.2.1 Выбор внешнего конусного расстояния и внешнего окружного модуля

Дифференциал симметричный, колеса дифференциала прямозубые.

Для конических зубчатых колес симметричного дифференциала внешнее конусное расстояние R_e и внешний модуль $m_e = m_{te}$ можно выбирать с учетом данных, представленных на рисунке 1.7, б, в зависимости от расчетного крутящего момента M на сателлите, который рассчитывается по следующей формуле:

$$M = \min \begin{cases} \frac{G_{\varphi} \cdot \varphi \cdot r_{K}}{2 \cdot n_{CT} \cdot i_{CT,\Pi III} \cdot i_{\Pi III,K}} \\ \frac{M_{emax} \cdot \pi \cdot i_{TP,ДH}}{2 \cdot n_{CT} \cdot i_{CT,\Pi III}} \end{cases}$$
(A.2.1)

где n_{CT} – количество сателлитов;

 λ - доля крутящего момента двигателя, которая поступает на корпус данного дифференциала;

 $i_{\text{ТР.ДН}}$ - передаточное число трансмиссии от двигателя до корпуса дифференциала при включении низших передач в коробке передач и раздаточной коробке;

 $i_{\text{ст.пш}}$ - передаточное число от сателлита до полуосевой шестерни;

 $i_{\text{пш.к}}$ - передаточное число от полуосевой шестерни до ведущего колеса автомобиля.

Принимаем $i_{cr.пш} = 2$, $i_{пш.к} = 1$

$$M = \min \begin{cases} \frac{G_{\varphi} \cdot \varphi \cdot r_{K}}{2 \cdot n_{CT} \cdot i_{CT,\Pi III} \cdot i_{\Pi III,K}} = \frac{7500 \cdot 0,8 \cdot 0,34}{2 \cdot 2 \cdot 2 \cdot 1} = 340 \ H \cdot M \\ \frac{M_{emax} \cdot \pi \cdot i_{TP,QH}}{2 \cdot n_{CT} \cdot i_{CT,\Pi III}} = \frac{105,9 \cdot 1 \cdot 3,75 \cdot 4,11}{2 \cdot 2 \cdot 2} = 272 \ H \cdot M \end{cases}$$

Принимаем для расчета минимальный момент M=272 H·м.

Тогда R_e = 36 мм, m_e =4 мм.

А.2.2 Определение числа зубьев сателлита

Число зубьев сателлита определим по формуле:

$$Z_{\rm CT} = \frac{2 \cdot R_{\rm e}}{m_{\rm e} \cdot \sqrt{i_{\rm CT,\Pi III} + 1}}$$
 (A.2.2)

$$Z_{\rm CT} = \frac{2 \cdot 36}{4 \cdot \sqrt{2+1}} = \frac{18}{1,73} = 10$$

При окончательном выборе чисел зубьев z_{CT} и $z_1=z_2$ необходимо обеспечить соблюдение условий сборки и размещения (соседства) [1]:

$$\frac{2 \cdot Z_1}{n_{CT}} = A; \qquad (A.2.3)$$

$$\frac{p}{n_{CT}} > \pi_{CT} + \frac{1}{Z_1}$$
 (A.2.4)

где А - целое число.

$$\frac{2 \cdot Z_1}{n_{CT}} = \frac{2 \cdot 20}{2} = 20 = A$$

$$\mu_{CT} = \arctan \frac{Z_{CT}}{Z_1}$$

$$\mu_{CT} = \arctan \frac{10}{20} = 26,56 = 0,463 \text{ рад.}$$

$$\frac{3,14}{2} > 0,463 + \frac{1}{20}$$

$$1,57 > 0,513$$
(A.2.5)

Условие соседства и сборки выполняются.

А.2.3 Определение коэффициентов смещения исходного контура

Коэффициенты смещения исходного контура x для пары конических зубчатых колес принимают равными по величине и обратными по знаку (у сателлита со знаком "+"). Рекомендуется выбирать x в зависимости от передаточного числа $i_{\text{ст.пш}}$ по формуле:

$$x = 0.46 \cdot \left(1 - \frac{1}{i_{CT \text{ HIII}}^2}\right) \tag{A.2.6}$$

$$x = 0.46 \cdot \left(1 - \frac{1}{2^2}\right) = 0.46 \cdot 0.75 = 0.345 \text{ MM}$$

А.2.4 Определение углов делительных конусов зацепления

$$\delta_1 = \delta_{\text{CT}} = \arctan(z_1/z_2) = \arctan(10/20) = 26,56^0;$$

 $\delta_2 = 90^0 - \sigma_2 = 90^0 - 26,5651^0 = 63,44^0.$

А.2.5 Расчет геометрических параметров дифференциала

А.2.5.1 Определение внешних делительных диаметров

$$d_{e1} = m_{e} \cdot z_{1} = 4 \cdot 10 = 40 \text{ mm}$$

 $d_{e2} = m_{e} \cdot z_{2} = 4 \cdot 20 = 80 \text{ mm}$

А.2.5.2 Внешний диаметр вершин зубьев сателлита и полуосевой шестерни

$$\begin{aligned} \mathbf{d}_{\text{ae1}} &= \mathbf{d}_{\text{e1}} + 2 \cdot (1 + \mathbf{X}_{\text{e1}}) \cdot \mathbf{m}_{\text{te}} \cdot \cos \delta_{1} = \\ &= 40 + 2 \cdot (1 + 0.345) \cdot 4 \cdot \cos 26.56^{0} = 49.6 \text{ MM} \\ \mathbf{d}_{\text{ae2}} &= \mathbf{d}_{\text{e2}} + 2 \cdot (1 + \mathbf{X}_{\text{e2}}) \cdot \mathbf{m}_{\text{te}} \cdot \cos \delta_{2} = \\ &= 80 + 2 \cdot (1 - 0.345) \cdot 4 \cdot \cos 63.43^{0} = 82.3 \text{ MM} \end{aligned}$$

А.2.5.3 Внешний диаметр впадин зубьев сателлита и полуосевой шестерни

$$\begin{split} \mathbf{d}_{_{\mathrm{fe}1}} &= \mathbf{d}_{_{\mathrm{e}1}} - 2 \cdot (1,2 - \mathbf{X}_{_{\mathrm{e}1}}) \cdot \mathbf{m}_{_{\mathrm{te}}} \cdot \cos \delta_{_{1}} = \\ &= 40 - 2 \cdot (1,2 - 0,345) \cdot 4 \cdot \cos 26,56^{_{0}} = 33,88 \text{ mm} \\ \mathbf{d}_{_{\mathrm{fe}2}} &= \mathbf{d}_{_{\mathrm{e}2}} - 2 \cdot (1,2 + \mathbf{X}_{_{\mathrm{e}2}}) \cdot \mathbf{m}_{_{\mathrm{te}}} \cdot \cos \delta_{_{2}} = \\ &= 80 - 2 \cdot (1,2 + 0,345) \cdot 4 \cdot \cos 63,43^{_{0}} = 74,47 \text{ mm} \end{split}$$

А.2.5.4 Определение ширины венца сателлита

$$b_1 = b_2 = 0.3 \cdot R_e = 0.3 \cdot 36 = 10.8$$
 mm

А.2.5.5 Определение среднего конусного расстояния

$$R_m = R_e - 0.5 \cdot b_2 = 36 - 0.5 \cdot 10.8 = 30.6$$
 MM

А.2.5.6 Определение среднего модуля

$$m_m = m_e \cdot \frac{R_m}{R_e} = 4 \cdot \frac{30.6}{36} = 3.4$$
 MM

А.2.5.7 Определение среднего делительного диаметра сателлита и полуосевой шестерни

$$d_1 = m_m \cdot Z_1 = 3.4 \cdot 10 = 34 \text{ MM};$$

 $d_2 = m_m \cdot Z_2 = 3.4 \cdot 20 = 68 \text{ MM}.$

А.2.6 Расчёт на прочность зубчатого зацепления

Зубчатые колеса шестеренчатых дифференциалов на сопротивление усталости не рассчитывают, а рассчитывают только на прочность при воздействии максимального динамического момента $M_{\rm д}$ на корпус дифференциала по методике, описанной [1]. При этом считают, что нагрузка распределяется равномерно между всеми сателлитами и каждый сателлит передает усилие двумя зубьями.

Материал зубчатых колес дифференциала, крестовины - сталь 40Х.

Термообработка: цементация на глубину 1,5 мм с закалкой до HRC = 58... 63, с твердостью сердцевины HRC = 30... 40.

Контактное напряжение, σ_H , МПа

$$y_{H} = \frac{k}{z_{1} \cdot m_{e} \cdot (1 - 0.5 \text{m})} \cdot \sqrt{\frac{\sqrt{i^{2} + 1}}{i + b} \cdot \frac{M_{\kappa p}}{k_{v}}} \le y_{HP}$$
 (A.2.7)

где k – коэффициент давления, см. таблицу Γ .1.

 σ_{HP} - допускаемое контактное напряжение, см. таблицу Д.1.

k = 670

 σ_{HP} =950 M Π a

$$\begin{aligned} y_{_{\rm H}} &= \frac{670}{10 \cdot 4 \cdot 4 \cdot (1 - 0.5 \cdot 0.3)} \sqrt{\frac{\sqrt{2^2 + 1}}{2 + 10.8} \cdot \frac{1630}{0.85}} = \\ &= 4.93 \cdot 5.78 = 285.3 < y_{_{\rm HP}} = 950 \, \text{M} \Pi \text{a} \end{aligned}$$

А.2.7 Расчёт шипа крестовины на смятие

Расчёт производится по формуле:

$$\mathbf{y}_{_{\text{CM}}} = \frac{\mathbf{M}_{_{\boldsymbol{\Pi}}}}{\mathbf{n}_{_{\text{CT}}} \cdot \mathbf{r}_{_{\text{cp.ct,III}}} \cdot \mathbf{d}_{_{\text{III}}} \cdot \mathbf{l}_{_{\text{cT}}}} \leq \left[\mathbf{y}_{_{\text{CM}}} \right]$$
(A.2.8)

где $r_{\text{ср-ст,ш}}$ - средний радиус поверхности контакта сателлита и шипа крестовины относительно оси полуосевых шестерен;

 d_{m} - диаметр шипа крестовины;

 $l_{\rm cr}$ - длина цилиндрической поверхности сателлита под шип крестовины;

 $[\sigma_{cm}]$ – допускаемое напряжение смятия, $[\sigma_{cm}]$ =100 МПа.

Размеры $r_{\text{ср.ст,ш}}, d_{\text{ш}}, l_{\text{ст}}$ принимаются конструктивно.

$$y_{cm} = \frac{1630000}{2 \cdot 45 \cdot 25 \cdot 10} = 72,4 \le [y_{cm}] = 100 M\Pi a$$

А.2.8 Расчёт шипа крестовины на срез

Расчёт производится по формуле:

$$\phi = \frac{4 \cdot M_{\pi}}{n_{\text{CT}} \cdot r_{\text{cp.cr,m}} \cdot p \cdot d_{m}^{2}} \leq [\phi]$$
(A.2.9)

где $[\tau]$ – допускаемое напряжение среза, $[\tau]$ =120 МПа.

$$\varphi = \frac{4 \cdot 1,63 \cdot 10^6}{2 \cdot 45 \cdot 3,14 \cdot 25^2} = 36,9 \le \left[\varphi \right] = 120 \text{M}\Pi a$$

А.2.9 Определение напряжение смятия в контакте шипа крестовины с корпусом дифференциала

Расчёт производится по формуле:

$$\mathbf{y}_{_{\text{CM}}} = \frac{\mathbf{M}_{_{\prod}}}{\mathbf{n}_{_{\text{CT}}} \cdot \mathbf{r}_{_{\text{CD}} \prod_{\text{IM}}} \cdot \mathbf{d}_{_{\text{II}}} \cdot \mathbf{1}_{_{\prod}}} \leq \left[\mathbf{y}_{_{\text{CM}}} \right]$$
(A.2.10)

где $r_{\text{ср}\cdot\text{д,ш}}$ - средний радиус поверхности контакта корпуса дифференциала и шипа крестовины относительно оси полуосевых шестерен;

$$[\sigma_{cM}] = 100 \text{ M}\Pi a$$

Размеры $r_{\text{ср-}\!\text{д,ш}},\,l_{_{\!\text{\tiny \it L}}}$ принимаются конструктивно.

$$y_{cm} = \frac{1630000}{2 \cdot 60 \cdot 25 \cdot 10} = 54,3 \le [y_{cm}] = 100 M\Pi a$$

А.3 Расчет полуоси

При расчете на статическую прочность полуразгруженных и разгруженных на 3/4 полуосей вычисляют напряжения в опасном сечении полуоси (в плоскости симметрии подшипника колеса) для трех предельных случаев нагружения:

- 1) интенсивного разгона или торможения;
- 2) заноса автомобиля на повороте;
- 3) переезда через препятствие.

А.3.1 Интенсивный разгон или торможение автомобиля

Расчёт ведется по формулам [1]:

$$\phi = \frac{M_{\text{max}}}{0.2 \cdot d_{\text{no}}^3} \tag{A.3.1}$$

$$y = \frac{\sqrt{M_x^2 + M_z^2}}{0.1 \cdot d_{110}^3}$$
 (A.3.2)

$$y_{_{2KB}} = \sqrt{y^2 + 4 \cdot \phi^2} \le [y]$$
 (A.3.3)

где M_{max} - максимальный крутящий момент;

 M_{x}, M_{z} - изгибающие моменты;

 d_{no} – диаметр полуоси, d_{no} = 25 мм [1];

 $[\sigma]$ – допускаемое нормальное напряжение, $[\sigma]$ =800 МПа [1].

Максимальный крутящий момент определим по формуле [1]:

$$M_{\text{max}} = 1.5 \cdot G_{\varphi} \cdot \varphi \cdot \frac{r_{\kappa}}{2}$$
 (A.3.4)

где G_{ϕ} –вес автомобиля, приходящийся на ведущие колеса, H;

φ – коэффициент сцепления, φ=0,8 [1];

 $r_{\mbox{\tiny K}}$ – радиус колеса автомобиля, м.

Изгибающие моменты равны:

$$M_x = R_z \cdot c;$$

$$M_z = R_x \cdot c$$
.

где R_z, R_x - реакции дороги на колесо;

c — расстояние между плоскостями, проходящими через центр опорной площадки колеса и через центр опорного подшипника, c=0,12 м/конструктивно/.

Реакции дороги на колесо определим по формулам [1]:

$$R_x = M_{max}./r_{\kappa} = 1630/(2 \cdot 0.34) = 2397.1 \text{ H}$$

 $R_z = R_x/\phi = 2397.1 \cdot 0.8 = 1917.7 \text{ H}$

Тогда получим:

$$\begin{split} \mathbf{M}_{\text{max}} = & 1,5 \cdot \mathbf{G}_{\varphi} \cdot \varphi \cdot \frac{\mathbf{r}_{\kappa}}{2} = 1,5 \cdot 7000 \cdot 0,8 \cdot \frac{0,334}{2} = 1402,8 \text{ H} \cdot \mathbf{M} \\ \varphi = & \frac{\mathbf{M}_{\text{max}}}{0,2 \cdot \mathbf{d}_{\text{no}}^3} = \frac{1402,8}{2 \cdot 0,2 \cdot 25^3} = 260 \text{ M}\Pi \mathbf{a} \\ \mathbf{y} = & \frac{\sqrt{\mathbf{M}_{\kappa}^2 + \mathbf{M}_{\kappa}^2}}{0,1 \cdot \mathbf{d}_{\text{no}}^3} = \frac{\sqrt{230,1^2 + 287,6^2}}{0,1 \cdot 25^3} = 235,7 \mathbf{M}\Pi \mathbf{a} \\ \mathbf{y}_{\text{_{3KB}}} = & \sqrt{\mathbf{y}^2 + 4 \cdot \mathbf{\phi}^2} = \sqrt{235,7^2 + 4 \cdot 260^2} = \\ & = & \sqrt{325954} = 570 \leq \left[\mathbf{y} \right] = 800 \text{ M}\Pi \mathbf{a} \end{split}$$

А.3.2 Занос автомобиля на повороте

В этом случае эквивалентное напряжение будет равно [1]:

$$y_{_{3KB}} = \frac{M_{_{X,BIII}}}{0.1 \cdot d_{_{110}}^{3}} \le [y]$$
 (A.3.5)

где $M_{x,вш}$ - изгибающий момент относительно горизонтальной оси площадки опасного сечения полуоси.

$$\mathbf{M}_{\mathbf{X}.\mathbf{BII}} = \mathbf{G}_{\varphi} \left(\boldsymbol{\varphi}_{\mathbf{Y}} \cdot \mathbf{r}_{\boldsymbol{\Pi}} - \mathbf{c} \right) \tag{A.3.6}$$

где $r_{\scriptscriptstyle J}$ – динамический радиус колеса, $r_{\scriptscriptstyle J} \!\! \approx r_{\scriptscriptstyle K}.$

$$M_{_{_{X,BIII}}} = 7000 \cdot (0,8 \cdot 0,334 - 0,12) = 1030,4 \text{ H} \cdot \text{M}$$

$$y_{_{9KB}} = \frac{1030}{0,1 \cdot 25^3} = 659 \le [y] = 800 \text{ M}\Pi a$$

А.3.3 Переезд автомобиля через препятствие

В этом случае эквивалентное напряжение будет равно:

$$y_{_{9KB}} = \frac{M_{_X}}{0.1 \cdot d_{_{110}}^3} \tag{A.3.7}$$

$$M_x = R_z \cdot c \tag{A.3.8}$$

$$R_z = K_{\pi} \cdot G_{\varphi}/2 \tag{A.3.9}$$

$$R_z = 1.5 \cdot 7000/2 = 5250 \text{ H}$$

$$M_x = 5250.0, 12 = 630 \text{ H} \cdot \text{M},$$

$$y_{_{\text{9KB}}} = \frac{630}{0.1 \cdot 25^3} = 403 \le [y] = 800 \text{ M}\Pi a$$

Приложение Б

(справочное) Коэффициент формы зуба «у»

Таблица Б.1 – Коэффициент формы зуба «у» для прямозубых колес

Обозначение показателя	Значение								
Z_{np}	14	15	16	17	18	19	20		
y	0,088	0,092	0,094	0,096	0,098	0,1	0,102		
Z_{np}	21	23	25	27	30	34	38		
у	0,104	0,106	0,108	0,111	0,114	0,118	0,122		
Z_{np}	43	50	60	75	100	150	300		
y	0,126	0,130	0,134	0,138	0,142	0,146	0,150		

Приложение В

(справочное)

Зависимость коэффициента k_v от окружной скорости зубчатого колеса

Таблица В.1 – Скоростной коэффициент $k_{\rm v}$ для 7- степени точности

Обозначение		Значение								
показателя		Эначение								
V, M/c	1	2	3	4	5	6				
$k_{\rm v}$	1	0,75	0,67	0,60	0,55	0,5				

Приложение Г

(справочное)

Зависимость коэффициента к от вида материала зубчатого колеса

Таблица $\Gamma.1$ – Коэффициент давления k

Деталь	Материал	Коэффициент k	Деталь	Материал	Коэффициент k
Шестерня Колесо	Сталь	670	Шестерня Колесо	Сталь Чугун	560
Шестерня Колесо	Чугун	470	Шестерня Колесо	Текстолит Сталь	170

Приложение Д (справочное)

Допускаемые напряжения для зубьев колес

Таблица Д.1 – Допускаемые напряжения для зубьев колес

		Расчетн	ные значения ме характеристи		Допускаемые напряжения, МПа				
Материал	Термическая обработка	Предел	Предел выносливости		изгиба с	т _{ге} при мо	контактные		
	оораоотка	прочности $\sigma_{\scriptscriptstyle B}$, МПа	при изгибе σ ₋₁ , МПа	Твердость	до 6	7-10	12-13	бнр	
1	2	3	4	5	6	7	8	9	
	Нормализация	600-750	250-340	120 – 217 HB	140	135	130	500	
	Улучшение	650-900	320-400	220 –250 HB	180	170	165	600	
Сталь 45	Закалка по сечению	>1000	400-500	38 – 48 HRC	-	1	-	800	
	Закалка по профилю с выкружкой	-	-	Поверхность 48–55 HRC	260	250	240	950	
Сталь 50Г	Закалка	950 –1000	420-500	28–33 HRC	240	230	220	750	
	Улучшение	800-1000	360-480	230–260 HB	220	210	220	650	
Сталь 40Х	Закалка по сечению	1500-1650	550-650	45–50 HRC	380	360	350	900	
Сталь 40Х	Закалка по профилю с выкружкой	-	500-560	Поверхность 50–55 HRC	320	300	-	950	

1	2	3	4	5	6	7	8	9
Сталь20Х		>800	480-560	Поверхность 56-62 HRC	320	300	280	1050
Сталь18ХГТ	Цементация и закалка	1100-1300	500-600	Поверхность 56-62 HRC Сердцевина 33 HRC	400	380	350	1100
Сталь12ХН3		>900	500-600	Поверхность 56-62 HRC	350	330	300	1050
Чугун СЧ 15	-	≥150	-	160-229 HB	50	46	44	500
Чугун СЧ 20	-	≥210	110-130	170-241 HB	60	55	52	600
Чугун СЧ 30	-	≥320	140-150	187-255 HB	80	75	70	750
Текстолит	-	85/58	-	30-34 HB	-	-	40-50	100

Примечания

- 1. Значения напряжения изгиба для колес с поверхностной закалкой ТВЧ соответствуют хорошо отработанному процессу термообработки. В ином случае напряжения необходимо снижать на 15%.
- 2. В случае сквозной закалки (ТВЧ) зубьев малых модулей можно пользоваться значениями допускаемых напряжений при закалке профиля с выкружкой.
- 3. При поверхностной термообработке, не охватывающей выкружку, допускаемое напряжения изгиба берут по механическим характеристикам сердцевины.

Приложение Е

(справочное)

Технические характеристики легковых автомобилей

Е.1Легковые автомобили отечественного производства

Таблица Е.1.1- Автомобили ВАЗ-2107, ВАЗ-2108, ВАЗ-2109

Параметр		BA3-2107	7		BA3-	-2108			BA3-210	9	
1		2			,	3		4			
Компоновочная схема	продольн	неприводн ным распол ового агре	пожением	Передне	еприводно	й с попереч	ным распо	оложением силового агрегата			
Габаритные размеры, мм:											
длина	4145			40	006			4006			
ширина		1680			16	550			1650		
высота		1435			14	02			1402		
База, мм		2424		2460				2460			
Грузоподъемность, кг		400		425				425			
Масса снаряженного автомобиля, кг	1030		920				945				
Вместимость, чел.		5		5				5			
Объем багажного отделения, м ³		-		-				-			
Двигатель	Кар	бюратор	ный		Карбюр	аторный		Кар	бюратор	ный	
			с системой впрыска				с системой впрыска			с системой впрыска	
Рабочий объем двигателя, л	1,45	1,57	1,69	1,1	1,3	1,5	1,5	1,3	1,5	1,5	
Номинальная мощность, кВт (частота вращения коленчатого вала, мин ⁻¹)	52,5 (5600)	54,8 (5400)	58,8 (5200)	38,7 (5800)	46,1 (5600)	49,8 (5600)	51,5 (4800)	46,1 (5600)	49,8 (5600)	51,5 (4800)	
Крутящий момент, Н · м	104	116	127,4	77,1	93,2	100,4	118	93,2	100,4	118	

1		2			3	3			4		
Максимальная скорость, км/ч	150	150	155	139	148	154	157	148	154	157	
Время разгона до скорости 100 км/ч, с	17	16	17	17	16	14	14	16	14	14	
Расход топлива на 100 км пути, л: при скорости, км/ч:											
90	7	7,4	6,5	5,9	5,4	5,7	5,7	5,4	5,7	5,7	
120	9,6	9,9	8,9	8,3	8	7,7	7,7	8	7,7	7,7	
в городском цикле	9,6	9,6	8,9	7,9	7,9	8,7	8	7,9	8,7	8	
1	- , -	2		7 32	3			. ,,-	4		
Сцепление	центра	однодисковое, сухое с центральной нажимной пружиной			однодисковое, сухое с центральной нажимной пружиной				однодисковое, сухое с центральной диафрагменной пружиной		
Коробка передач	Механическая, трехходовая, 4-х или 5-ти ступенчатая с синхронизаторами на всех передачах переднего хода			механическая, 4- или 5-ступенчатая, с синхронизаторами на всех передачах переднего хода				механическая, 4- или 5- ступенчатая, с синхронизаторами на всех передачах переднего хода			
Передаточные числа		•									
первой		3,67		3,636				3,636			
второй		2,1			1,9	95			1,95		
третьей		1,36			1,3	57			1,357		
четвертой		1,0			0,9	41			0,941		
пятой		0,82			0,7	'84			0,784		
задний ход		3,53			3,5	53			3,53		
Главная передача	одина	рная гипо	идная	цил	индрическ	кая, косозу	бая	цилиндр	ическая, к	осозубая	
Передаточное число		4,1 (3,9)			3,9 (4				4,13		
Шины	165/80R 13	175/70R 13	175/70R 13	165/70R 13	165/70R 13	175/70R 13	175/70R 13	165/70R 13	165/70R 13	175/70R 13	
Уровень шума в салоне при скорости движения 100 км/ч, дБ, не более		76		76							

Таблица Е.1.2 - Автомобили ВАЗ-21099, ВАЗ-21108, ВАЗ-2115, ВАЗ-2120, ВАЗ-2130

Параметр	BA3-:	21099	BA3-21108	BA3-2115	BA3-2120	BA3-2130
1	2	3	4	5	6	7
Компоновочная схема		Переднеприв	одной с поперечным	расположением сило	вого агрегата	
Габаритные						
размеры, мм:						
длина	42	4205		4330	4200	4200
ширина	16	50	1676	1415	1725	1725
высота	14	02	1425	1620	1690	1690
База, мм	24	60	2665	2460	2700	2700
Грузоподъемность, кг	42	25	425	425	600	600
Масса снаряженного автомобиля, кг	940		1100	970	1400	1400
Вместимость, чел.	4	5	5	5	7	7
Объем багажного отделения, м ³	0,4	127	0,45	0,427	0,3 (0,5 — сложен 3-й ряд сиден 1,25 — сложены 2-й и 3-й ряд сидений)	
Двигатель	Карбюраторный	Карбюраторный с впрыском топлива	ВАЗ-2112, 16 клапанный с управляемым многоточечным впрыском топлива	Карбюраторный с электронной системой впрыска топлива	сидении) Карбюраторный с управляемым многоточечным впрыском топли	
Рабочий объем двигателя, л	1,5	1,5	1,5	1,5	1,7	1,7
Номинальная мощность, кВт (частота вращения коленчатого вала, мин ⁻¹)	50,8 (5600)	52,5 (4800)	68 (5600)	50,8-52,5 (5600)	59 (5200)	61 (5400)

1	2	3	4	5	6	7
Крутящий момент, Н · м	102,4 (3400)	120,0 (2800)	130/3300	102,4-120 (3400)	133 (3200)	135 (3000)
Максимальная скорость, км/ч	154	160	170	155	135	135
Время разгона до ско-рости 100 км/ч, с	13,5	13	13	13	20	20
Расход топлива на 100 км пути, л: при скорости, км/ч:						
90	5,9	5,5	6	5,7	10,3	10,3
120	8	7,5	7,8	7,8	11,8	11,8
в городском цикле	8,8	8,4	9,1	8,9	12,3	12,3
Сцепление	_	вое, сухое с иафрагменной синой	Однодиског	вое, сухое, с диафрагм	иенной нажимной	пружиной
Коробка передач	Механическая, или 5-ти ст синхронизато	грехходовая, 4-х упенчатая с орами на всех реднего хода	Механическая, п	ятиступенчатая, с син переднего	• •	всех передачах
Передаточные числа						
первой	3,6	536	3,636	3,636	3,	67
второй		95	1,95	1,95	2	
третьей	1,3	357	, ,		1,	36
четвертой	0,9	941	0,941 0,941 1			1
пятой	0,7	784	0,784 0,784 0,82			82
задний ход	3,	53	3,53	3,53	3,	53

Продолжение таблицы Е.1.2

1	2	3	4	5	6	7		
Главная передача	Цилиндричес	кая, косозубая	Цилиндрическая, косозубая					
Передаточное	3.7	(3,9)	3,7 (3,9)	3,7 (3,9)	3,7 (3,9) 3,9			
число		· · · · · · · · · · · · · · · · · · ·	, (, ,	, (, ,		,		
Передаточные								
числа раздаточной								
коробки:								
Высшая передача					1	,2		
Низшая передача					2,1	135		
Шины	165/70R13	175/70R13		165/70R13; 175/70R13				
Уровень шума в								
салоне при								
скорости		74	_	74	74	74		
движения 100								
км/ч, дБ, не более								

Таблица Е.1.3 - Автомобили Лада 110, Лада 111

Параметр	Лада	a 110	Лада	a 111	
1	2	3	4	5	
Габаритные размеры, мм:					
длина	4263 4284				
ширина	16	576	1676		
высота	14	25	1495		
Грузоподъемность, кг	4′	75	500		
Масса снаряженного автомобиля, кг	1040	1080	1030	1080	
Объем багажного отделения,	0,	45	0,	45	
Двигатель	Четырехрядный восьмиклапанный	Четырехрядный шестнадцати - клапанный	Четырехрядный восьмиклапанный	Четырехрядный шестнадцати – клапанный	

1	2	3	4	5	
Рабочий объем двигателя, л	1,	,5	1,	5	
Номинальная мощность, кВт (частота вращения коленчатого вала, мин ⁻¹)	56 (5600)	69 (5600)	57,5 (5400)	69 (5600)	
Крутящий момент, $H \cdot M$ (частота вращения коленчатого вала, мин ⁻¹)	118 (3000)	130 (3600)	118(3000)	130 (3600)	
Максимальная скорость, км/ч	170	185	165	180	
Время разгона до скорости 100 км/ч, с	14	12	15	13	
Расход топлива на 100 км пути, л: при скорости, км/ч:					
90	5,3	5,5	5,3	5,4	
120	7,1	7,2	7,1	7	
в городском цикле	8,8		8,9	8,8	
Сцепление	Однод	исковое, сухое, с диафр	агменной нажимной пру	жиной	
Коробка передач	Механическая, пяти	ступенчатая, с синхрон	изаторами на всех переда	чах переднего хода	
Передаточные числа					
первой	3,6	536	3,6	36	
второй	1,	95	1,9	95	
третьей	1,3	57	1,3	57	
четвертой	0,9	941	0,9	41	
пятой	0,7	784	0,7	84	
задний ход	3,53 3,53				
Главная передача	цилиндрическая, косозубая цилиндрическая, косозубая				
Передаточное число	3	,7	3,	7	

Таблица Е.1.4 - Автомобили Лада 11113-01 "Ока", Лада 112, Лада 1119

Параметр	Лада 11113-01 "Ока"	Лада 112	Лад	ца 1119
1	2	3	4	5
Габаритные размеры, мм:				
длина	3210	4170	,	3850
ширина	1420	1676		1670
высота	1400	1430		1500
Грузоподъемность, кг	340	475		475
Масса снаряженного автомобиля, кг		1080		1040
Объем багажного отделения, м	0,18-0,4	0,4		0,25
Двигатель	BA3 11113	Шестнадцатиклапанный с электронной системой управления впрыском топлива	Четырехрядный восьмиклапанный	Четырехрядный шестнадцатиклапанны й
Рабочий объем двигателя, л	0,749	1,5		1,6
Номинальная мощность, кВт (частота вращения коленчатого вала, мин ⁻¹)	44,2 (5000)	66 (5600)	56,8 (5600)	66 (5600)
Крутящий момент, $H \cdot M$ (частота вращения коленчатого вала, мин ⁻¹)	52,3 (3000)	130 (3600)	133(3200)	136,8 (3400)
Максимальная скорость, км/ч	130	185	170	180
Время разгона до скорости 100 км/ч, с	24	12	12,9	11,5
Расход топлива на 100 км пути, л при скорости, км/ч:				
90	4,5	5,3	5,3	5,5
120		6,8	7Д	7,2
в городском цикле	5,8	8,8		9,8
Сцепление		е, сухое, с диафрагменной мной пружиной	Однодисковое, сухое, с диафрагменн нажимной пружиной	

1	2	3	4	5	
IC 6		ая, пятиступенчатая, с	Механическая, пятиступенчатая, с		
Коробка передач	синхронизаторами	синхронизаторами на всех передачах переднего хода		на всех передачах его хода	
Передаточные числа		лоди		ло поди	
первой	3,7	3,636	3,636		
второй	2,06	1,95	1,95		
третьей	1,27	1,357	1,3	557	
четвертой	0,9	0,941	0,9	941	
пятой		0,784	0,7	784	
задний ход	3,67	3,53	3,	53	
Главная передача	цилиндрическая, косозубая	цилиндрическая, косозубая	цилиндричесь	кая, косозубая	
Передаточное число	4,1	3,7 3,7		,7	

Таблица Е.1.5 - Автомобили Нива — Ландоле, Лада — Нива Пикап, Лада — НивА1,7i, Лада - Нива — Форс VIP, Лада - Нива-2131

Параметр	Нива - Ландоле	Лада – Нива Пикап	Лада – Нива1,7і	Лада - Нива - Форс VIP	Лада - Нива-2131
1	2	3	4	5	6
Габаритные размеры, мм:					
длина	4040	4540	3720	4040	4240
ширина	1680	1640	1680	1680	1680
высота	1750	1680 (1980 с тентом)	1750	1750	1640
Число мест	5	5	4	4	5
База, мм	2500		2200	2500	2700
Грузоподъемность, кг	450	300	400	420	500
Масса снаряженного автомобиля, кг	1200	1300		1700	1350

1	2	3	3	4	5		6
Двигатель	ВАЗ21213 с системой рециркуляции ОГ	BA3- 21213	BA3- 2130	Восьми - клапанный с распределен – ным впрыском топлива	ВАЗ-21213 с системой рецирку - ляции ОГ	ном вп	рыском лива ВАЗ- 2130-20
Рабочий объем двигателя, л	1,69	1,69	1,79	1,69	1,69	1,96	1,79
Мощность, кВт (частота вращения коленчатого вала, мин ¹)	59,5 (5000)	59	61	58 (5400)		59	62
Максимальная скорость, км/ч	140	13	32	137	125	1:	32
Контрольный расход топлива, л, на 100 км пути при скорости движения 90 км/ч	11,5			8,3	11		
Сцепление	Однодисковое, сухое, с диафрагменной нажимной пружиной			Однодисковое, сухое, с диафрагменной нажимной пружиной			
Коробка передач	Механическа	я, пятистуг	пенчатая, с	синхронизаторам	и на всех перед	дачах перед	него хода
Передаточные числа		-					
первой		3,67		3,67			
второй		2,1		2,1			
третьей		1,36		1,36			
четвертой		1		1			
пятой		0,82			0,82		
задний ход		3,53			3,53		
Главная передача	Коничес	ская, гипоид	цная	K	оническая, гиг	поидная	
Передаточное число		3,9			3,9		
Раздаточная коробка	Двухступенчатая, с межосевым дифференциалом с принудительной блокировкой		Двухступенчат прин	ая; с межосевь удительной бл			
Передаточные числа раздаточной коробки:							
Высшая передача	1,2		1,2				
Низшая передача	2,135 2,135						

Таблица Е.1.6 - Автомобили ИЖ-2126-060, ИЖ-21261, ИЖ-2717, ИЖ-27171, ИЖ-27171-060, ИЖ-27171-064

Параметр	ИЖ-2126-060	ИЖ-21261	ИЖ-2717	ИЖ-27171	ИЖ-27171-060	ИЖ-27171-064	
1	2	3	4	5	6	7	
Колесная формула	4x4		4x2	4x4			
Кузов	"Хэтчбек" цельнометалличес кий несущего типа	Универсал цельнометаллическ ий несущего типа	Фургон цельнометаллический несущего типа, задняя дверь — двустворчатая	Пикап цельнометаллический несущего типа откидные борта			
Габаритные размеры,							
MM:							
длина	4053	4053	4400	4400	44	80	
ширина	1660	1942	1677	1677	19)42	
высота	1450	1437	1740	1397 16		590	
База, мм	2480	2470	2700	2710			
Дорожный просвет, мм	155		169	190			
Объем багажного отсека, м ³	0,958		3,5	3			
Масса снаряженного автомобиля, кг	1090	1000	1100	1010	11	50	
Полная масса автомобиля, кг		1400	1750		18	350	
Двигатель	Бензиновый четырехтактный карбюраторный	Бензиновый четырехтактный		Бензиновый четырехтактный карбюраторный			
	BA3- 21213	УЗАМ-331	УЗАМ-3313 или ВАЗ-2106		BA3-21213	BA3-343	
Рабочий объем цилиндров, л	1,69	1,816	1,816	1,568	1,690	1,796	
Максимальная мощность, кВт	78,8	72,8	85	73	78,8	63,5	

Продолжение таблицы Е.1.6

1	2	3	4	5	6	7	
Максимальный крутящий момент, Н ·м	127	140	135	116	127	110	
Объем топливного		45		64			
бака, л		+3					
Расход топлива на 100							
км пути							
при скорости движения							
90 км/ч, л	8,5	6	7,3	6,9	9,5	8,1	
Максимальная скорость, км/ч	145			120			
Сцепление		Однодисковое,	сухое, с центральной д	иафрагменной пр	ружиной		
Коробка передач	Механическая		ехвальная, пятиступенчатая, четырехходовая. с синхронизаторами включения передач переднего хода				
Передаточные числа							
первой	3,667	3,190		3,667			
второй	3.100	1,864		3.100			
третьей	1,361	1,329		1,361			
1	2	3	4	5	6	7	
четвертой	1,000	1,000		1,000			
пятой	0,819	0,806		0,819			
задний ход	4,526	4,253		4,526			
Главная передача	Гипо	ридная		Гипоидн	ая		
Передаточное число	3	3,9		3,9			
Раздаточная коробка	-		-		одноступенчата шестеро дифференциало	ическая, ая, с межосевым енчатым ом и механизмом ой блокировки	
Передаточные число раздаточной коробки		-	- 1,0				

Е.2 Легковые автомобили зарубежного производства [4] Таблица Е.2 – Автомобили зарубежного производства^{*}

Параметры	Значение			
1	2			
1 Страна	Брази		Герма	
2 Изготовитель автомобиля	Fiat	VW	Au	
3 Модель	Palio 1.7 TD Weekend 70	GoI 1.0	A3 1.6	A3 1.9 TDi
4 Тип кузова	5 Ko 5	5/3 Li 5	3/5 Li 5	5/3 Li 5
5 Эффективная мощность, кВт (л. с.)	51 (69)	51 (69)	74(101)	66(90)
при частоте вращения	4500	5750	5600	3750
коленчатого вала, мин-1				
6 Макс. крутящий момент, Нм	134	92	145	210
при частоте вращения	2500	4500	3800	1900
коленчатого вала, мин-1				
7 Максимальная скорость, км/ч	164	161	188	181
8 Разгон от 0 до 100 км/ч, с	14,9	14,3	11	12,4
9 Снаряженная масса, кг	1025	915	1090	1185
10 Полная масса, кг	1620	1315	1650	1745
11 Масса на ед. мощности, кг/кВт	21,8	22,4	14,7	18
12 Расход топлива, л/100 км	EU 5,1/8,6	(завод) 6,6/7,8	EU 5,9/10,5	EU 4,1/6,5
13 Октановое число топлива, RON	дизель	92	95	дизель
14 Емкость топливного бака, л	51	50	55	55
15 Рабочий объем двигателя, см ³	1698	998	1595	1896
16 Диаметр цилиндра/ход поршня, мм	82,6/79,2	67,1/70,6	81/77,4	79,5/95,5
17 Степень сжатия	20,3	10,5	10,3	19,5
18 Удельная мощность, кВт/л	30	40,1	46,4	34,8
19 Тип двигателя	q4R	4R	q4R	q4R
20 Система питания	EP/V	Motronic	EI	EP/eV-T-Ic
21 Генератор (14 В), А	65/85	55	70	70/120
22 Аккумулятор (12 B), A·ч	60	36	44/60	80
23 Расположение двигателя/привода	V	V	V	V
24 Передаточное 1/2 передача	3,91/2,24	3,9/2,12	3,46/1,94	3,78/2,12
число 3/4 передача	1,44/1,03	1,37/1,03	1,37/1,03	1,36/0,97
5 передача	0,8	0,83	0,85	0,76
25 Главная передача	3,77	4,78	4,25	3,39
26 Количество передач, М (А)	5	5	5(4)	5(4)
27 Охлаждение	6,9	6	5	6
28 Длина автомобиля, мм	4130	3810	4150	4150
29 Ширина автомобиля, мм	1625	1650	1735	1735
30 Высота автомобиля, мм	1520	1410	1425	1425
31 База автомобиля, мм	2425	2470	2515	2515
32 Колея, передняя/задняя, мм	1390/1385	1390/1380	1515/1495	1515/1495
33 Диаметр поворота, м	10,4	9,7	10,9	10,9
34 Величина дорожного просвета, мм	140	120	140	140
35 Подвеска колес, передняя	DQI-F-Ku-Sf-Td	~	DQI-F-Sf-Ku-Td	`
36 Подвеска колес, задняя	LI-Sf-Ku-Td	VIa-LI-Sf-Td	VIa-Sf-Ku-Td	VIa-Sf-Ku-Td
37 Шины	175/65 R 14	155 R 13	195/65 VR 15	195/65 VR 15
38 Тормозная система	Sb-Tb	Sb-Tb	4Sb-ABS-EBV	4Sb-ABS-EBV

^{*-}Комментарии и расшифровка сокращений см. с. 132-135

1		2				
1 Страна		Герма	ния			
2 Изготовитель автомобиля	Audi					
3 Модель	TT 1.8	A4 Avant	S4 Avant	A6 1.9 TDi		
Утодель	11 1.0	2.4	2.7 Biturbo	710 1.9 101		
4 Тип кузова	3 Co 2+2	5Ko5	5Ko5	4 Li 5		
5 Эффективная мощность, кВт (л. с.)	165(224)	121 (165)	195(265)	81(110)		
при частоте вращения	5900	6000	5800	4150		
коленчатого вала, мин ⁻¹	3900	0000	3800	4130		
6 Макс. крутящий момент, Нм	280	230	400	235		
при частоте вращения	2200	3200	1850	1900		
коленчатого вала, мин ⁻¹	2200	3200	1650	1900		
7 Максимальная скорость, км/ч	243	222	250	194		
* '						
8 Разгон от 0 до 100 км/ч, с	6,4 1395	8,6 1360	5,7 1540	12,6 1415		
9 Снаряженная масса, кг	1765	1930	2090	1995		
10 Полная масса, кг						
11 Масса на ед. мощности, кг/кВт	8,5	109 EU 7 5/14 9	77	175		
12 Расход топлива, л/100 км	EU 7,3/12,3		EU 8 7/15 8	EU46/75		
13 Октановое число топлива, RON	98	95 62	98	дизель		
14 Емкость топливного бака, л	62	62	62	70		
15 Рабочий объем двигателя, см ³	1781	2393	2671	1896		
16 Диаметр цилиндра/ход поршня, мм	81/86,4	81/77 4	81/864	795/955		
17 Степень сжатия	8,9	105	93	195		
18 Удельная мощность, кВт/л	92,6	506	73	42.7		
19 Тип двигателя	4R5Ve	6V5Ve	6V5Ve	4R		
20 Система питания	Motronic-T-Ic	Motronic	Motronic T Ic	EP/eV-T-Ic		
21 Генератор (14 В), А	90	90	120	120		
22 Аккумулятор (12 B), A·ч	60	70	70	80		
23 Расположение двигателя/привода	aa	V	aa	V		
24 Передаточное 1/2 передача	3,42/2,11	3 5/1 94	3 5/1 89	3 5/194		
число 3/4 передача	1,43/1,09	13/0 94	1 23/0 97	1 23/0 84		
5 передача	0,87/0,72	079	0 81/0 68	0 68		
25 Главная передача	4,2	389	411	37		
26 Количество передач, М (А)	6	5(5)	6	5(4)		
27 Охлаждение	7	85	6	7		
28 Длина автомобиля, мм	4040	4480	4485	4795		
29 Ширина автомобиля, мм	1765	1735	1735	1810		
30 Высота автомобиля, мм	1350	1410	1400	1450		
31 База автомобиля, мм	2430	2620	2605	2760		
32 Колея, передняя/задняя, мм	1530/1505	1500/1480	1500/1490	1540/1570		
33 Диаметр поворота, м	10,5	11,1	11,4	11,7		
34 Величина дорожного просвета, мм	130	110	110	120		
35 Подвеска колес, передняя	DQI-F-Sf-Ku-Td	DQu-Sf-Ku-Td	DQu-Sf-Ku-Td	VI-F-Ku-Td		
36 Подвеска колес, задняя	VIa-Sf-Ku-Td	*	-			
37 Шины	225/45 ZR 17	195/65 R 15	225/45 R 17	195/65 VR 15		
38 Тормозная система	4SO-ABS-EBV		4Sb ABS EBV			
		201 0 120 124				

^{*-}Комментарии и расшифровка сокращений см. с. 132-135

1	2					
1 Страна	Германия					
2 Изготовитель автомобиля		Audi		BMW		
3 Модель	A6 4.2	A8 3.7	A8 2.5 TDi	Z319		
4 Тип кузова	4 Li 5	4 Li 5	4U5	2Ro2		
5 Эффективная мощность, кВт (л. с.)	220(300)	191(260)	110(150)	103(140)		
при частоте вращения	6200	6000	4000	6000		
коленчатого вала, мин-1						
6 Макс. крутящий момент, Нм	400	350	310	180		
при частоте вращения	3000	3250	1500	4300		
коленчатого вала, мин-1						
7 Максимальная скорость, км/ч	250	250	220	205		
8 Разгон от 0 до 100 км/ч, с	6,9	8,1	9,9	9,5		
9 Снаряженная масса, кг	1730	1510	1595	1200		
10 Полная масса, кг	2310	2110	2195	1450		
11 Масса на ед. мощности, кг/кВт	79	86	145	116		
12 Расход топлива, л/100 км	EU9 5/19	EU 8 4/16 9	EU 5 5/10 2	EU 6/11 4		
13 Октановое число топлива, RON	98	98	дизель	95		
14 Емкость топливного бака, л	82	90	90	51		
15 Рабочий объем двигателя, см ³	4172	3697	2496	1895		
16 Диаметр цилиндра/ход поршня, мм	84 5/93	845/82 4	78 3/864	85/835		
17 Степень сжатия	11	11	195	100		
18 Удельная мощность, кВт/л	52 7	517	441	543		
19 Тип двигателя	8V5Ve	8V5Ve	6V4Ve	4R4Ve		
20 Система питания	Motronic	Motronic	EP/eVTIc	Motronic		
21 Генератор (14 В), А	120	120	120	80		
22 Аккумулятор (12 B), A·ч	92	92	92	70		
23 Расположение двигателя/привода	aa	v-ESP	v-ESP	h		
24 Передаточное 1/2 передача	3 57/2 2	3 67/2	3,75/2,06	4 23/2 52		
число 3/4 передача	151/1	141/1	1,32/0,93	1 66/1 22		
5 передача	08	0 74	0,73/0,6	1		
25 Главная передача	2 91	309	3,88	3 45		
26 Количество передач, М (А)	(5)	(5)	6(5)	5(4)		
27 Охлаждение	11	11	10	65		
28 Длина автомобиля, мм	4835	5035	5035	4025		
29 Ширина автомобиля, мм	1850	1880	1880	1690		
30 Высота автомобиля, мм	1450	1440	1440	1290		
31 База автомобиля, мм	2760	2880	2880	2445		
32 Колея, передняя/задняя, мм	1580/1590	1540/1580	1595/1585	1410/1425		
33 Диаметр поворота, м	11,7	12,3	123	100		
34 Величина дорожного просвета, мм	120	120	120	110		
35 Подвеска колес, передняя			VI-Sf-Ku-Td			
36 Подвеска колес, задняя			TI-QI-Sf-Ku-Td			
37 Шины	•	•	225/60 R 16			
38 Тормозная система	4Sb ABS EBV	4Sb ABS	4Sb ABS	4Sb ABS		
*-Комментарии и расшифро						

^{*-}Комментарии и расшифровка сокращений см. с. 132-135

Продолжение таблицы Е.2

1		2	2		
1 Страна	Германия				
2 Изготовитель автомобиля		BN	1W		
3 Модель	Z3 3.2	316i	318tds	320d	
		Compact	Compact		
4 Тип кузова	3Co2	3Cp5	3Cp5	4 Li 5	
5 Эффективная мощность, кВт (л. с.)	236(321)	77 (105)	66 (90)	100(136)	
при частоте вращения	7400	5300	4400	4000	
коленчатого вала, мин-1					
6 Макс. крутящий момент, Нм	236	165	190	280	
при частоте вращения	7400	2500	2000	1750	
коленчатого вала, мин-1					
7 Максимальная скорость, км/ч	250	190	175	207	
8 Разгон от 0 до 100 км/ч, с	5,4	11,9	13,9	9,9	
9 Снаряженная масса, кг	1390	1175	1215	1375	
10 Полная масса, кг	1660	1635	1675	1875	
11 Масса на ед. мощности, кг/кВт	5,9	15,3	18,4	13,8	
12 Расход топлива, л/100 км	EU 7,9/16,6	EU 5,8/10,8	EU 4,9/8,5	EU 4,7/7,4	
13 Октановое число топлива, RON	98	95	дизель	дизель	
14 Емкость топливного бака, л	51	55	55	63	
15 Рабочий объем двигателя, см ³	3201	1895	1665	1951	
16 Диаметр цилиндра/ход поршня, мм	86,4/91	85/83,5	80/82,5	84/88	
17 Степень сжатия	10,5	9,7	22	19	
18 Удельная мощность, кВт/л	73,7	40,6	39,6	51,2	
19 Тип двигателя	6R4Ve	4R	4R	4R4Ve	
20 Система питания	EI	EI	EP/eV-T	EP/eV-T-Ic	
21 Генератор (14 В), А	115	80	95	120	
22 Аккумулятор (12 B), A·ч	70	50	65	80	
23 Расположение двигателя/привода	1	h	h	h	
24 Передаточное 1/2 передача	4,21/2,49	4,23/2,52	5,43/2,95	5,09/2,8	
число 3/4 передача	1,66/1,24	1,66/1,22	1,81/1,26	1,76/1,25	
5 передача	1	1	1	1	
25 Главная передача	3,15	3,23	2,65	2,47	
26 Количество передач, М (А)	5(4)	5	5	5 (5/4)	
27 Охлаждение	10,75	6,5	7,5	7	
28 Длина автомобиля, мм	4025	4210	4210	4470	
29 Ширина автомобиля, мм	1740	1700	1700	1740	
30 Высота автомобиля, мм	1280	1390	1390	1420	
31 База автомобиля, мм	2460	2700	2700	2725	
32 Колея, передняя/задняя, мм	1420/1490	1420/1425	1420/1425	1480/1490	
33 Диаметр поворота, м	10,4	10,8	10,8	10,5	
34 Величина дорожного просвета, мм	110	108	108	130	
35 Подвеска колес, передняя	DQI-F-Ku-Td	DQI-F-Ku-Td	DQI-F-Ku-Td	DQI-F-Ku-Td	
36 Подвеска колес, задняя	SI-Sf-Ku-Td	SI-Sf-Ku-Td	SI-Sf-Ku-Td	Ma-Sf-Ku-Td	
37 Шины	1)	185/65 HR 15	185/60 HR 15	195/65 HR 15	
38 Тормозная система	4SD-ABS	4SD-ABS	4SD-ABS	4SD-ABS	

^{1) -} передние 225/45 R17; задние 225/40 R17 *-Комментарии и расшифровка сокращений см. с. 132-135

1			2			
1 Страна	Германия					
2 Изготовитель автомобиля	BMW					
3 Модель	323i Touring	530d	740d	840Ci		
4 Тип кузова	5 Ko 5	4 Li 5	4 Li 5	2 Co 4		
5 Эффективная мощность, кВт (л. с.)	125 (170)	135(184)	175 (238)	210 (286)		
при частоте вращения	5500	4000	4000	5700		
коленчатого вала, мин-1						
6 Макс. крутящий момент, Нм	245	390	560	420		
при частоте вращения	3950	1750	1750	3900		
коленчатого вала, мин-1						
7 Максимальная скорость, км/ч	223	225	242	250		
8 Разгон от 0 до 100 км/ч, с	8,3	8	6,4	6,6		
9 Снаряженная масса, кг	1365	1575	1960	1780		
10 Полная масса, кг	1865	2115	2495	2200		
11 Масса на ед. мощности, кг/кВт	10.5 EU 7.3/15	11,7	11,2	B,5		
12 Расход топлива, л/100 км	EU 7.3/15	EU 5,7/9,8	EU 7/14,6	EU 9/19,2		
13 Октановое число топлива, RON	95	дизель	дизель	95		
14 Емкость топливного бака, л	62	70	85	90		
15 Рабочий объем двигателя, см ³	2494	2926	3901	4398		
16 Диаметр цилиндра/ход поршня, мм	84/75	84/88	84/88	92/82,7		
17 Степень сжатия	10,5	18	18	10		
18 Удельная мощность, кВт/л	50,1	46,1	44,9	47,7		
19 Тип двигателя	6R4V9,	6R4Ve	8V4Ve	8V4Ve		
20 Система питания	EI ',	EP/CR-T-Ic	EP/CR-T-Ic	Motronic		
21 Генератор (14 В), А	80	120	150	120		
22 Аккумулятор (12 B), A·ч	65	95	110	130		
23 Расположение двигателя/привода	h	h	h	h		
24 Передаточное 1/2 передача	4,21/2,49	5,24/2,91	3,55/2,24	4,23/2,51		
число 3/4 передача	1,66/1,24	1,81/1,27	1,55/1	1.67/1,23		
5 передача	1	1	0,79	1/0,83		
25 Главная передача	2,93	2,35	2,65	2,93		
26 Количество передач, М (А)	5(5)	5(5)	(5)	6(5)		
27 Охлаждение	10,5	9,2	16	12		
28 Длина автомобиля, мм	4430	4775	4985	4780		
29 Ширина автомобиля, мм	1710	1800	1860	1855		
30 Высота автомобиля, мм	1390	1430	1430	1340		
31 База автомобиля, мм	2700	2830	2930	2685		
32 Колея, передняя/задняя, мм	1410/1430	1510/1525	1550/1570	1555/1560		
33 Диаметр поворота, м	10,8	11,3	11,6	11,5		
34 Величина дорожного просвета, мм	110	120	120	140		
35 Подвеска колес, передняя	DQI-F-Ku-Td	DG-Sf-Td	QI-F-Ku-Td	DQI-F-SI-Ku-T		
36 Подвеска колес, задняя	QI-LI-Sf-Ku-Td	Ma-Sf-Td	Ma-Sf-Ku-Td	Ma-Sf-Ku-Td		
37 Шины	205/60 VR 15	225/65 R 15	235/60 WR 16	235/50 WR 16		
38 Тормозная система	4SD-ABS	4SO-ABS	4Sb-ABS	4SD-ABS		

^{*-}Комментарии и расшифровка сокращений см. с. 132-135

1			2			
1 Страна	Германия					
2 Изготовитель автомобиля	Ford					
3 Модель	Ка 1.3	Puma 1.4	Fiesta 1.8D	Escort 1.6		
4 Тип кузова	3Li4	3 Co 2+2	5/3 Li 5	5 Li 5		
5 Эффективная мощность, кВт (л. с.)	44(60)	66 (90)	44(60)	66 (90)		
при частоте вращения	5000	5500	4800	5250		
коленчатого вала, мин-1						
6 Макс. крутящий момент, Нм	103	123	105	138		
при частоте вращения	2500	4000	2500	3500		
коленчатого вала, мин-1						
7 Максимальная скорость, км/ч	155	180	158	177		
8 Разгон от 0 до 100 км/ч, с	15,4	11,9	17,6	12,2		
9 Снаряженная масса, кг	890	1035	1015	1080		
10 Полная масса, кг	1265	1400	1510	1625		
11 Масса на ед. мощности, кг/кВт	20,2	15,7	24,2	16,4		
12 Расход топлива, л/100 км	EU 5,5/8,8	EU 5,9/9,5	EU 4,9/6,7	EU 6,4/10,7		
13 Октановое число топлива, RON	95	95	дизель	95		
14 Емкость топливного бака, л	42	42	42	55		
15 Рабочий объем двигателя, см ³	1299	1388	1753	1597		
16 Диаметр цилиндра/ход поршня, мм	74/75,5	76/76,5	82,5/82	76/88		
17 Степень сжатия	9,5	10,3	21,5	10,3		
18 Удельная мощность, кВт/л	33,9	47,5	25,1	41,3		
19 Тип двигателя	4R	4R4Ve	q4R	q4R4Ve		
20 Система питания	EI	EI	EP/V	EI		
21 Генератор (14 В), А	55	55	55	90		
22 Аккумулятор (12 B), A·ч	43	43	63	48		
23 Расположение двигателя/привода	v	v-ASR	V	V		
24 Передаточное 1/2 передача	3,15/1,93	3,15/1,93	3,58/1,93	3,58/1,91		
число 3/4 передача	1,28/0,95	1,38/1,03	1,28/0,95	1,28/0,95		
5 передача	0,76	0,76	0,76	0,76		
25 Главная передача	4,06	4,19	3,84	3,82		
26 Количество передач, М (А)	5	5	5	5		
27 Охлаждение	5,3	6	9,3	6,6		
28 Длина автомобиля, мм	3620	3985	3830	4140		
29 Ширина автомобиля, мм	1640	1670	1635	1700		
30 Высота автомобиля, мм	1400	1350	1330	1400		
31 База автомобиля, мм	2450	2445	2445	2525		
32 Колея, передняя/задняя, мм	1395/1410	1450/1410	1430/1375	1440/1460		
33 Диаметр поворота, м	10,3	10,4	10,3	10,5		
34 Величина дорожного просвета, мм	140	-	140	_		
35 Подвеска колес, передняя	DQI-F-Ku-Td	DQI-F-Ku-Td	DQI-F-Ku-Td	DOI-F-Ku-Td		
36 Подвеска колес, задняя	VIa-Sf-Td	VIa-LI-Sf-Td	VIa-LI-Sf-Td	VIa-LI-Sf-Td		
37 Шины	155/70 R 13	195/50 R 15	155/70 R 13	175/70 R 13		
38 Тормозная система	Sb-Tb	Sb-Tb-ABS	Sb-Tb	Sb-To		

^{*-}Комментарии и расшифровка сокращений см. с. 132-135

	2		
Германия			
Ford			
Focus 1.8	Focus 1,8TD	Mondeo2.0	Cougar 2.5i
	Sedan		
5/3 Li 5	4 Li 5	4/5 Li 5	3Co5
85(116)	67 (91)	96(131)	125(170)
5750	4000	5600	6250
158	200	178	220
3750	2000	4000	4250
198	184	206	225
10,2	12,6	9,9	8,1
1125	1205	1245	1390
1620	1620	1815	1825
13,4	18	12,9	11,1
	EU 4/6,7		EU 7,3/13,4
95	дизель	95	95
55	55	61,5	60
1796	1753	· ·	2544
			82,4/79,5
*	*		9,7
	· · · · · · · · · · · · · · · · · · ·		49,1
,	ĺ		q6V4Ve
EI		EI	EI
90	-	90	90
48	_	48	48
v	V	v	v
3,15/1,93	3,66/2,05	3,42/2,14	3,42/2,14
	· · · · · · · · · · · · · · · · · · ·		1,48/1,11
	, ,		0,85
			3,82
5	5		5(4)
6,6	6		7,5
	4360		4700
			1770
1480			1320
2615	2615	2705	2705
1495/1485	1495/1485	1505/1485	1505/1490
10,9	10,9	10,9	10,9
		120	
DQI-F-Sf-Ku-Td	OQI-F-Sf-Ku-Td		DQ1-F-
QI-LI-Sf-Td	U-QI-Sf-Td	DQu-LI-Ku-Td	QI-LI-F-
185/65 R 14	185/65 R 14	185/65 R 14	205/60 R 15
4Sb-ABS	4Sb-ABS	4Sb-ABS	4Sb
	5/3 Li 5 85(116) 5750 158 3750 198 10,2 1125 1620 13,4 EU 6/10,3 95 55 1796 80,6/88 10 47,3 q 4 R 4Ve EI 90 48 v 3,15/1,93 1,28/0,95 0,76 4,06 5 6,6 4150 1700 1480 2615 1495/1485 10,9 - DQI-F-Sf-Ku-Td QI-LI-Sf-Td 185/65 R 14	Fepman Ford Ford Focus 1.8 Focus 1,8TD Sedan 4 Li 5 85(116) 67 (91) 5750 4000 158 200 3750 2000 198 184 10,2 12,6 1125 1205 1620 1620 13,4 18 EU 6/10,3 EU 4/6,7 95 дизель 55 55 1796 1753 80,6/88 82,5/82 10 19,4 47,3 38,2 q 4 R 4Ve q4R EI EP/eV-T-Ic 90 - 48 - v v 3,15/1,93 3,66/2,05 1,28/0,95 1,26/0,86 0,76 0,67 4,06 3,56 5 5 6,6 6 4150 1480 1	Fepmahus Forus 1.8 Focus 1,8TD Mondeo 2.0 Sedan 5/3 Li 5 4 Li 5 4/5 Li 5 85(116) 67 (91) 96(131) 5750 4000 5600 158 200 178 3750 2000 4000 198 184 206 10,2 12,6 9,9 1125 1205 1245 1620 1620 1815 13,4 18 12,9 EU 6/10,3 EU 4/6,7 EU 5,9/11,6 95 дизель 95 55 55 61,5 1796 1753 1988 80,6/88 82,5/82 84,8/88 10 19,4 10 47,3 38,2 48,3 q 4 R 4Ve q4R q4R4Ve EI EP/eV-T-Ic EI 90 48 - y V V </td

^{*-}Комментарии и расшифровка сокращений см. с. 132-135

1	2				
1 Страна	Германия				
2 Изготовитель автомобиля	Ford	•			
3 Модель	Galaxy 1.9	A140	A 160 CDI	SLK 200	
	TDI				
4 Тип кузова	5GIi 5-8	5 Li 5	5 Li 5	2Ro2	
5 Эффективная мощность, кВт (л. с.)	81 (110)	60 (82)	44 (60)	100(136)	
при частоте вращения	4150	5000	3600	5500	
коленчатого вала, мин-1					
6 Макс. крутящий момент, Нм	235	130	160	190	
при частоте вращения	1900	3750	1500	3700	
коленчатого вала, мин-1					
7 Максимальная скорость, км/ч	172	170	150	208	
8 Разгон от 0 до 100 км/ч, с	10,8	12,9	18.8	9,3	
9 Снаряженная масса, кг	1645	1020	1070	1195	
10 Полная масса, кг	2400	1480	1530	1530	
11 Масса на ед. мощности, кг/кВт	20,2	17	23,9	12	
12 Расход топлива, л/100 км	EU 5,4/8,7	EU 5,6/9,8	EU 4,3/6	EU 6,9/12,9	
13 Октановое число топлива, RON	дизель	95	дизель	95	
14 Емкость топливного бака, л	70	54	54	53	
15 Рабочий объем двигателя, см ³	1896	1397	1689	1998	
16 Диаметр цилиндра/ход поршня, мм	79,5/95,5	80/69,5	80/84	89,9/78,7	
17 Степень сжатия	19,5	11	19	10,4	
18 Удельная мощность, кВт/л	42,7	42,9	26	50,1	
19 Тип двигателя	4R	q4R	q 4 R 4Ve	4R4Ve	
20 Система питания	EP/eV-T-Ic	EI	EP/CR-T	Motronic	
21 Генератор (14 В), А	90	90	90	90	
22 Аккумулятор (12 B), A·ч	61	46	62	62	
23 Расположение двигателя/привода	V	v-ASR-ESP	v-ASR-ESP	h-ASR	
24 Передаточное 1/2 передача	3,58/2,05	3,27/1,92	3,63/2,09	3.91/2,17	
число 3/4 передача	1,35/0.92	1,26/0,88	1,31/0,9	1,37/1	
5 передача	0,67	0,7	0,72	0,8	
25 Главная передача	4,36	4,06	3,05	3,91	
26 Количество передач, М (А)	5(4)	5(5)	(5)5	5(5)	
27 Охлаждение	11,7	6	6	8	
28 Длина автомобиля, мм	4620	3575	3575	4000	
29 Ширина автомобиля, мм	1810	1720	1720	1720	
30 Высота автомобиля, мм	1730	1580	1580	1290	
31 База автомобиля, мм	2835	2425	2425	2400	
32 Колея, передняя/задняя, мм	1520/1505	1505/1450	1525/1470	1490/1470	
33 Диаметр поворота, м	11,7	10,7	10,7	10,6	
34 Величина дорожного просвета, мм	150	-	-	150	
35 Подвеска колес, передняя	~	DQI-F-SI-Ku-Td	DQI-F-Sf-Ku-Td	~	
36 Подвеска колес, задняя	SI-Sf-Ku-Td	VIa-Sf-Ku-Td	VIa-Sf-Ku-Td	Ra-Sf-Ku-Td	
37 Шины	195/65 R 15	195/50 R 15	155/70 R 15	205/60 R 15	
38 Тормозная система *-Комментарии и расшифр	4Sb-ABS	Sb-Tb-ABS	Sb-Tb-ABS	4Sb-ABS	

^{*-}Комментарии и расшифровка сокращений см. с. 132-135

1	2			
1 Страна	Германия			
2 Изготовитель автомобиля	Mercedes-Benz			
3 Модель	SLK 230 r	C 240 T	C 220 CDI	CL500
	Kompresso			
4 Тип кузова	2Ro2	5 Ko 5	4 Li 5	2 Co 4/5
5 Эффективная мощность, кВт (л. с.)	142(193)	125(170)	92(125)	225(306)
при частоте вращения	5300	5900	4200	5600
коленчатого вала, мин-1				
6 Макс. крутящий момент, Нм	280	225	300	460
при частоте вращения	2500	3000	1800	2700
коленчатого вала, мин-1				
7 Максимальная скорость, км/ч	231	216	198	250
8 Разгон от 0 до 100 км/ч, с	7,7	9,5	10,5	6,5
9 Снаряженная масса, кг	1250	1470	1340	1790
10 Полная масса, кг	1585	1970	1890	2320
11 Масса на ед. мощности, кг/кВт	8,8	11,4	14,6	8
12 Расход топлива, л/100 км	EU 7/13,3	EU 7,5/14,3	EU 5/8,2	EU -/13,4
13 Октановое число топлива, RON	95	95	дизель	95
14 Емкость топливного бака, л	53	62	62	88
15 Рабочий объем двигателя, см ³	2295	2398	2151	4966
16 Диаметр цилиндра/ход поршня, мм	90,9/88,4	83,2/73,5	88/88,4	97/84
17 Степень сжатия	8,8	10	19	10
18 Удельная мощность, кВт/л	61,9	52,1	42,8	45,3
19 Тип двигателя	4R4Ve	6V3Ve	4R4Ve	8V3Ve
20 Система питания	Motronic-Kom-Ic	Motronic	EP/CR-T-Ic	Motronic
21 Генератор (14 В), А	90	115	90/125	143/150
22 Аккумулятор (12 B), A·ч	62	74	74	100
23 Расположение двигателя/привода	h-ASR	h-ASR	h-ASR	h-ASR-ESP
24 Передаточное 1/2 передача	3,86/2,18	3,86/2,16	4,1/2,18	3,59/2,19
число 3/4 передача	1,38/1	1,38/1	1,38/1	1,41/1
5 передача	0,8	0,8	0,8	0,83
25 Главная передача	3,46	3,67	3,07	2,82
26 Количество передач, М (А)	5(5)	5(5)	5(5)	(5)
27 Охлаждение	8,5	8,5	8,5	15
28 Длина автомобиля, мм	4000	4515	4515	4995
29 Ширина автомобиля, мм	1720	1725	1725	1855
30 Высота автомобиля, мм	1290	1430	1430	1400
31 База автомобиля, мм	2400	2690	2690	2885
32 Колея, передняя/задняя, мм	1490/1470	1500/1465	1500/1465	1575/1580
33 Диаметр поворота, м	10,6*	10,8	10,8	11.5
34 Величина дорожного просвета, мм	150	150	150	150
35 Подвеска колес, передняя	DDQI-Sf-Ku-Td	DDQI-Sf-Ku-Td	*	DQI-QI-Ku-Td-Lue
36 Подвеска колес, задняя	Ra-St-Ku-Td	Ra-S1-Ku-Td	Ra-Sf-Ku-Td	Ra-Ku-Td-Lue
37 Шины	205/55 R 16	195/65 R 15	195/65 R 15	225/55 R 17
38 Тормозная система	4Sb-ABS	4Sb-ABS	4Sb -ABS	4Sb-ABS

^{*-}Комментарии и расшифровка сокращений см. с. 132-135

1	2			
1 Страна	Германия			
2 Изготовитель автомобиля	Mercedes-Benz			
3 Модель	E 280 T	E430	CLK 200	S320
	4matic		Kompressor	
4 Тип кузова	5 Ko 5-7	4 Li 5	2 Co 4	4 Li 5
5 Эффективная мощность, кВт (л. с.)	150(204)	205(279)	141(192)	165(224)
при частоте вращения	5700	5750	5300	3199
коленчатого вала, мин-1				
6 Макс. крутящий момент, Нм	270	400	270	315
при частоте вращения	3000	3000	2500	3000
коленчатого вала, мин-1				
7 Максимальная скорость, км/ч	220	250	233	240
8 Разгон от 0 до 100 км/ч, с	9,9	6,6	8,4	8,2
9 Снаряженная масса, кг	1665	1575	1320	1695
10 Полная масса, кг	2290	2180	1820	2300
11 Масса на ед. мощности, кг/кВт	9,8	7,7	9,4	10.3
12 Расход топлива, л/100 км	EU 8,4/16	EU 8,1/16,8	EU 7,2/13,6	EU 8,2/17,1
13 Октановое число топлива, RON	95	95	98	95
14 Емкость топливного бака, л	65	65	62	88
15 Рабочий объем двигателя, см ³	2799	4266	1998	3199
16 Диаметр цилиндра/ход поршня, мм	89,9/73,5	89,9/84	89,9/78,7	89,9/84
17 Степень сжатия	10	10	8,5	10
18 Удельная мощность, кВт/л	53,6	48	70.6	51,6
19 Тип двигателя	6V3Ve	8V3Ve	4R4Ve	6V3Ve
20 Система питания	Motronic	Motronic	Motronic-Kom-Ic	Motronic
21 Генератор (14 В), А	115	150	90	150
22 Аккумулятор (12 B), A·ч	74	100	62	74
23 Расположение двигателя/привода	aa	h-ASR-ESP	h-ASR	h-ASR-ESP
24 Передаточное 1/2 передача	3.86/2,18	3,59/2,19	3,86/2,18	3,93/2,41
число 3/4 передача	1,38/1	1,41/1	1,38/1	1,49/1
5 передача	0,8	0,83	0,8	0,83
25 Главная передача	3,7	2,82	3,67	3,07
26 Количество передач, М (А)	5(5)	(5)	5(5)	(5)
27 Охлаждение	11	9	8	11
28 Длина автомобиля, мм	4820	4800	4565	5040
29 Ширина автомобиля, мм	1800	1800	1720	1855
30 Высота автомобиля, мм	1440	1440	1370	1450
31 База автомобиля, мм	2830	2830	2690	2965
32 Колея, передняя/задняя, мм	1540/1540	1540/1540	1505/1475	1575/1575
33 Диаметр поворота, м	11,3	11,3	10,7	11,7
34 Величина дорожного просвета, мм	160	160	150	150
35 Подвеска колес, передняя	~		DDQI-Sf-Ku-Td	` `
36 Подвеска колес, задняя	Ra-Sf-Ku-Td	Ra-Sf-Ku-Td	Ra-Sf-Ku-Td	Ra-Ku-Td-Lue
37 Шины	215/55 R 16	215/55 R 16	205/55 R 16	225/60 R 16
38 Тормозная система	4Sb-ABS	4Sb-ABS	4Sb -ABS	4Sb -ABS

^{*-}Комментарии и расшифровка сокращений см. с. 132-135

1	2				
1 Страна	Германия				
2 Изготовитель автомобиля	Mercede	es-Benz	Opel		
3 Модель	SL600	ML 230	Corsa 1.0i	Corsa 1,6i	
4 Тип кузова	2 Ro 2+2	5 Ge 5-7	3/5 Li 5	3/5 Li 5	
5 Эффективная мощность, кВт (л. с.)	290 (394)	110(150)	40 (54)	78(106)	
при частоте вращения	5200	5400	5600	6000	
коленчатого вала, мин-1					
6 Макс. крутящий момент, Нм	570	220	82	148	
при частоте вращения	3800	3800	2800	4000	
коленчатого вала, мин-1					
7 Максимальная скорость, км/ч	250	180	150	192	
8 Разгон от 0 до 100 км/ч, с	6,1	12,3	18	10,5	
9 Снаряженная масса, кг	1980	1855	865	980	
10 Полная масса, кг	2320	2650	1360	1435	
11 Масса на ед. мощности, кг/кВт	6,8	16,2	21,6	12,5	
12 Расход топлива, л/100 км	EU 10,9/23,3	EU 10/17,1	EU 4,6/7,4	EU 6,1/10,8	
13 Октановое число топлива, RON	95	95	95	95	
14 Емкость топливного бака, л	80	70	46	46	
15 Рабочий объем двигателя, см ³	5987	2295	973	1598	
16 Диаметр цилиндра/ход поршня, мм	89/80,2	90,9/88,4	72,5/78,6	79/81,5	
17 Степень сжатия	10	10,4	10,1	10,5	
18 Удельная мощность, кВт/л	48,4	47,9	41,1	48,8	
19 Тип двигателя	12V4Ve	4R4Ve	3R4Ve	4R4Ve	
20 Система питания	Motronic	Motronic	Motronic	EI	
21 Генератор (14 В), А	150	90	70	70	
22 Аккумулятор (12 B), A·ч	100	62	36	44	
23 Расположение двигателя/привода	h-ASR-ESP	aa	v	V	
24 Передаточное 1/2 передача	3,59/2,19	3,86/2,18	3,73/2,14	3,73/2,14	
число 3/4 передача	1,41/1	1,38/1	1,41/1,12	1,41/1,12	
5 передача	0,83	0,8	0,89	0,89	
25 Главная передача	2,65	4,73	3,74	3,74	
26 Количество передач, М (А)	(5)	5	5(4)	5(4)	
27 Охлаждение	18	8,5	4,3	5,6	
28 Длина автомобиля, мм	4500	4590	3740	3740	
29 Ширина автомобиля, мм	1810	1830	1610	1610	
30 Высота автомобиля, мм	1290	1780	1420	1420	
31 База автомобиля, мм	2515	2820	2445	2445	
32 Колея, передняя/задняя, мм	1535/1525	1560/1560	1385/1390	1385/1390	
33 Диаметр поворота, м	11,3	11,9	10,1	10,1	
34 Величина дорожного просвета, мм	150	200	140	140	
35 Подвеска колес, передняя	DQI-Db-St-Ku-Td				
36 Подвеска колес, задняя	Ra-Sf-Ku-Td	DDQI-Sf-Ku-Td	~	~	
37 Шины	245/45 R 17	225/75 R 16	165/70 R 13	185/60 R 14	
38 Тормозная система	4Sb-ABS	4Sb-ABS	Sb-Tb	Sb-Tb	
* V or a commence of the contract of the contr	150 1150	750 ADS		50 10	

^{*-}Комментарии и расшифровка сокращений см. с. 132-135

1	2			
1 Страна	Германия			
2 Изготовитель автомобиля	Opel			
3 Модель	Astra 1.2i	Astra 2.0i	Zafira1.8i	Vectra 2.5i
4 Тип кузова	3/4/5 Li 5	3/4/5 Li 5	5 GIi 5-7	4/5 Li 5
5 Эффективная мощность, кВт (л. с.)	48 (65)	100(136)	85(116)	125(170)
при частоте вращения	5600	5600	5400	5800
коленчатого вала, мин-1				
6 Макс. крутящий момент, Нм	110	188	170	230
при частоте вращения	4000	3200	3400	3200
коленчатого вала, мин-1				
7 Максимальная скорость, км/ч	165	208	184	230
8 Разгон от 0 до 100 км/ч, с	16	9	12	8,5
9 Снаряженная масса, кг	1035	1170	1320	1355
10 Полная масса, кг	1555	1695	2040	1850
11 Масса на ед. мощности, кг/кВт	21,6	11,7	11,5	10,6
12 Расход топлива, л/100 км	EU5/8	EU 6,6/12	EU 6,8/11,5	EU 7,3/14,1
13 Октановое число топлива, RON	95	95	95	95
14 Емкость топливного бака, л	52	52	58	60
15 Рабочий объем двигателя, см ³	1199	1998	1796	2498
16 Диаметр цилиндра/ход поршня, мм	72,5/72,6	86/86	80,5/88,2	81,6/79,6
17 Степень сжатия	10,1	10,8	10,5	10,8
18 Удельная мощность, кВт/л	40	50	47,3	50
19 Тип двигателя	4R4Ve	4R4Ve	4R4Ve	6V4Ve
20 Система питания	Motronic	Ei	EI	Motronic
21 Генератор (14 В), А	70	70	70/100	100
22 Аккумулятор (12 B), A·ч	36	44	55	66
23 Расположение двигателя/привода	v	V	v	V
24 Передаточное 1/2 передача	3,73/2,14	3,58/2,14	3,73/2,14	3,58/2,02
число 3/4 передача	1,41/1,12	1,48/1,12	1,41/1,12	1,35/0,98
5 передача	0,89	0,89	0,89	0,81
25 Главная передача	3,94	3,74	4,19	3,84
26 Количество передач, М (А)	5	5(4)	5(4)	5(4)
27 Охлаждение	5,2	7,2	6,5	7,7
28 Длина автомобиля, мм	4111	4111	4320	4495
29 Ширина автомобиля, мм	1710	1710	1740	710
30 Высота автомобиля, мм	1430	1430	1630	420
31 База автомобиля, мм	2610	2610	2690	2635
32 Колея, передняя/задняя, мм	1485/1460	1485/1460	1470/1490	465/1470
33 Диаметр поворота, м	10,8*	10,8	11,2	1,3
34 Величина дорожного просвета, мм	130	130	150	40
35 Подвеска колес, передняя			DQI-F-SI-Ku-Td	DQI-F-Sf-Ku-Td
36 Подвеска колес, задняя	*	*	-	
37 Шины	175/70 R 14	195/60 R 15	195/65 R 15	95/65 R 15
38 Тормозная система	Sb-Tb	4Sb	4Sb-ABS	4Sb-ABS

^{*-}Комментарии и расшифровка сокращений см. с. 132-135

1	2			
1 Страна		Герм	ания	
2 Изготовитель автомобиля		O	pel	
3 Модель	Omega 2.5 TD	Sintra 2,2i	Frontera 3.2i	Monterey 3.0 TD
4 Тип кузова	4Li 5	5 GIi 5-8	5/3 Ge 5	3/5 Ge 5
5 Эффективная мощность, кВт (л. с.)	96(131)	104(141)	151 (205)	117(159)
при частоте вращения	4500	5400	5400	3900
коленчатого вала, мин-1				
6 Макс. крутящий момент, Нм	250	202	290	333
при частоте вращения	2200	2600	3000	2000
коленчатого вала, мин-1				
7 Максимальная скорость, км/ч	200	183	192	160
8 Разгон от 0 до 100 км/ч, с	12	12,7	9,7	15,8
9 Снаряженная масса, кг	1550	1655	1780	1965
10 Полная масса, кг	2120	2345	2450	2730
11 Масса на ед. мощности, кг/кВт	16	15,9	11,8	16,4
12 Расход топлива, л/100 км	EU 6,1/10,9	EU 8,1/12,5	EU 10,1/17	EU9/14
13 Октановое число топлива, RON	дизель	-	95	дизель
14 Емкость топливного бака, л	75	70	65/75	85
15 Рабочий объем двигателя, см ³	2497	2198	3165	2999
16 Диаметр цилиндра/ход поршня, мм	80/82,8	86/94,6	93,4/77	95,4/104,9
17 Степень сжатия	22,5	10,5	9,4	19
18 Удельная мощность, кВт/л	38,4	47,3	47,7	39
19 Тип двигателя	6R	q 4 R 4Ve	6V4Ve	4R
20 Система питания	EP/eV-T-Ic	EI	Motronic	EP/CR-T-Ic
21 Генератор (14 В), А	105	105	Ю13 w	60
22 Аккумулятор (12 B), A·ч	85	54	60	150
23 Расположение двигателя/привода	h	V	aa	aa
24 Передаточное 1/2 передача	3,81/2,11	3,67/1,76	3,77/2,25	3,77/2,25
число 3/4 передача	1,34/1	1,18/0,89	1,4/1	1,4/1
5 передача	0,76	0,7	0,81	0,81
25 Главная передача	3,45	4,05	4,3	4,56
26 Количество передач, М (А)	5(4)	5	5(4)	5
27 Охлаждение	10,2	8,5	11,1	5,8
28 Длина автомобиля, мм	4785	4670	4660	4795
29 Ширина автомобиля, мм	1785	1830	1785	1835
30 Высота автомобиля, мм	1450	1780	1740	1840
31 База автомобиля, мм	2730	2850	2700	2760
32 Колея, передняя/задняя, мм	1515/1530	1560/1610	1515/1520	1515/1520
33 Диаметр поворота, м	11,0	11,4	12,1	12,4
34 Величина дорожного просвета, мм	140	160	230	210
35 Подвеска колес, передняя	DQI-F-Sf-Ku-Td	•	DDQI-Tf-Ku-Td	•
36 Подвеска колес, задняя	QI-SI-Sf-Ku-Td		Sa-LI-P-Sf-Ku-Td	
37 Шины	205/65 R 15	205/65 HR 15	245/70 R 16	215/80 R 16
38 Тормозная система	4Sb-ABS	4Sb-ABS	4Sb-ABS	4Sb-ABS

^{*-}Комментарии и расшифровка сокращений см. с. 132-135

Вохяст 2.5i	1	2			
Вохяст 2.5i	1 Страна		Гермаг	РИН	
4 Тип кузова 2Ca2 2 Co/Ca 2+2 2 Co/Ca 2+2 3 Li 4-5 5 Эффективная мощность, кВт (л. с.) при частоге вращения коленчатого вала, мин¹¹ 6000 6800 6800 5000 6 Макс. крутящий момент, Нм при частоге вращения коленчатого вала, мин¹¹ 4500 4600 5000 3000 8 Разтон от 0 ло 100 км/ч, с 6,9 5,2 4,8 17,9 9 Снаряженная масса, кг 1250 1320 1320 895 10 Полная масса, кг 1560 1720 1720 1350 1350 86 17,9 9 Снаряженная масса, кг 1250 1320 1320 895 10 Полная масса, кг 1250 1320 1320 895 10 Полная масса, кг 1560 1720 1720 1350 137 86 6 6 24,2 28 248 129 248 120 248 129 248 130 248 17,9 95 248 48 17,9 96 52 4,8 17,9 96 1720 1350 115 <td< th=""><th>2 Изготовитель автомобиля</th><th></th><th>Porsche</th><th></th><th>Volkswagen</th></td<>	2 Изготовитель автомобиля		Porsche		Volkswagen
4 Тип кузова 2Ca2 2 Co/Ca 2+2 2 Co/Ca 2+2 3 Li 4-5 5 Эффективная мощность, кВт (л. с.) при частоге вращения коленчатого вала, мил об быси, к к к к к к к к к к к к к к к к к к к	3 Модель	Boxster 2.5i	911	911GT3 3.6	Lupo 1.0
5 Эффективная мощность, кВт (л. с.) при частоге вращения коленчатого вала, мин¹ 6000 6800 6800 5000 коленчатого вала, мин¹ 4500 4600 5000 3000 Коленчатого вала, мин¹ 245 350 370 86 Коленчатого вала, мин¹ 4500 4600 5000 3000 Коленчатого вала, мин¹ 7 Максимальная скорость, км/ч 240 280 >280 152 8 Разгон от 0 до 100 км/ч, с 6,9 5,2 4,8 17,9 9 Снаряженная масса, кг 1250 1320 1320 895 10 Полная масса, кг 1560 1720 1720 1350 11 масса на сл. монисти, кг/кВт 8,3 6 6 24,2 242 280 242 240 280 24,2 24,2 24,2 24,2 24,2 150 1320 1320 1320 1320 1320 1320 1320 1320 1320 1320 1320 1320 14,2 24,2 24 24 24 24 24 24			Carrera 3.4		_
при частоте вращения колентатого вала, мин¹ 6 Макс крутящий момент, Нм при частоте вращения колентатого вала, мин¹ 7 Максимальная скорость, км/ч 4500 4600 5000 3000 3000 3000 3000 3000 3000 3	4 Тип кузова	2Ca2	2 Co/Ca 2+2	2 Co/Ca 2+2	3 Li 4-5
при частоте вращения колентатого вала, мин¹ 6 Макс крутящий момент, Нм при частоте вращения колентатого вала, мин¹ 7 Максимальная скорость, км/ч 4500 4600 5000 3000 3000 3000 3000 3000 3000 3	5 Эффективная мощность, кВт (л. с.)	150(204)	221 (300)	265(360)	37(50)
6 Макс. крутящий момент, Нм при частоте вращения коленчатого вала, мин ⁻¹ 4500 4600 5000 3000 коленчатого вала, мин ⁻¹ 240 280 >280 152 8 Разгон от 0 до 100 км/ч, с 6,9 5,2 4,8 17,9 9 Спаряженная масса, кг 1250 1320 1320 895 10 Полная масса, кг 1560 1720 1720 1350 11 Масса на ед, мощности, кг/кВт 8,3 6 6 24,2 12 Расход топлива, л/100 км EU 7,1/14,3 EU 8,5/17,2 (Ed.) 10/22 EU 4,8/7,6 13 Октановое число топлива, RON 98 98 98 98 98 95 14 Емкость топливного бака, л 57 64 64 34 15 Рабочий объем двигателя, см³ 2480 3387 3600 999 16 Диаметр шлиндра/ход поршня, ми 11 11,3 11,3 10,7 10,76,4 67,170,6 67,170,6 67,2 73,6 37 7 70 68x4Ve 68x4Ve 68x4Ve 68x4Ve 68x4Ve <td< td=""><td></td><td>6000</td><td>6800</td><td>6800</td><td>5000</td></td<>		6000	6800	6800	5000
6 Макс. крутящий момент, Нм при частоте вращения коленчатого вала, мин ⁻¹ 4500 4600 5000 3000 коленчатого вала, мин ⁻¹ 240 280 >280 152 8 Разгон от 0 до 100 км/ч, с 6,9 5,2 4,8 17,9 9 Спаряженная масса, кг 1250 1320 1320 895 10 Полная масса, кг 1560 1720 1720 1350 11 Масса на ед, мощности, кг/кВт 8,3 6 6 24,2 12 Расход топлива, л/100 км EU 7,1/14,3 EU 8,5/17,2 (Ed.) 10/22 EU 4,8/7,6 13 Октановое число топлива, RON 98 98 98 98 98 95 14 Емкость топливного бака, л 57 64 64 34 15 Рабочий объем двигателя, см³ 2480 3387 3600 999 16 Диаметр шлиндра/ход поршня, ми 11 11,3 11,3 10,7 10,76,4 67,170,6 67,170,6 67,2 73,6 37 7 70 68x4Ve 68x4Ve 68x4Ve 68x4Ve 68x4Ve <td< td=""><td></td><td></td><td></td><td></td><td></td></td<>					
при частоте вращения коленчатого вала, мин ⁻¹ / Максимальная скорость, км/ч 240 280 >280 152 8 Разгон от 0 до 100 км/ч, с 6,9 5,2 4,8 17,9 9 Снаряженная масса, кг 1250 1320 1320 895 10 Полная масса, кг 1560 1720 1720 1350 1350 1360 12 Расход топлива, л/100 км EU 7,1/14,3 EU 8,5/17,2 (Ed.) 10/22 EU 4,8/7,6 13 Октановое число топлива, л/100 км EU 7,1/14,3 EU 8,5/17,2 (Ed.) 10/22 EU 4,8/7,6 13 Октановое число топлива, л/100 км 57 64 64 34 15 Рабочий объем двигателя, см ³ 2480 3387 3600 999 16 Диаметр цилиндра/код поршня, мм 11 11,3 11,3 10,7 17 Степень сжатия 11 11,3 11,3 10,7 17 Степень сжатия 11 11,3 11,3 10,7 18 Удельная мощность, кВт/л 60,5 65,2 73,6 37 19 Тип двигателя 68x4Ve 68x4Ve 68x4Ve 68x4Ve 64x4Ve 68x4Ve 64x4Ve 68x4Ve 64x4Ve 64		245	350	370	86
Коленчатого вала, мин¹ 240 280 >280 152 248 8 279 248 17,9 240 280 152 248 17,9 240 280 280 152 248 17,9 248		4500	4600	5000	3000
7 Максимальная скорость, км/ч 240 280 >280 152 8 Разгон от 0 до 100 км/ч, с 6,9 5,2 4,8 17,9 9 Снаряженная масса, кг 1250 1320 895 10 Полная масса, кг 1560 1720 1720 1350 11 Масса на ед. мощности, кг/кВт 8,3 6 6 24,2 12 Расход топлива, л/100 км 98 98 98 98 98 98 98 98 98 95 96 64 64 34 34 15 Рабочий объем двигателя, см³ 2480 3387 3600 999 999 16 Диаметр цилиндра/ход поршня, мм 85,5/72 96/78 100/76,4 67,1/70,6 67,1/70,6 67,2 73,6 37 37 19 Тип двигателя 68x4Ve 115 120 70 70 36	коленчатого вала, мин-1				
8 Разгон от 0 до 100 км/ч, с 9 Снаряженная масса, кг 11 По Полная масса, кг 12 Расход топлива, л/100 км 12 Расход топлива, л/100 км 13 Октановое число топлива, RON 14 Емкость топливного бака, л 15 Рабочий объем двигателя, см³ 14 Емкость топливного бака, л 15 Рабочий объем двигателя, см³ 16 Диаметр цилинидра/ход поршия, мм 17 Степень сжатия 11 11,3 11,3 10,7 18 Удельная мощность, кВт/л 19 Тип двигателя 11 11,3 11,3 11,3 10,7 18 Удельная мощность, кВт/л 19 Тип двигателя 10 Полемение двигателя/привода 20 Система питания 20 Система питания 21 Генератор (14 В), А 21 Передаточное 1/2 передача 1,43/1,03 1,52/1,22 1,56/1,21 1,36/1,05 25 Главная передача 3,89 3,44 3,44 3,44 2,23 Поредача 24 Передаточное 1/2 передача 3,89 3,44 3,44 3,44 4,23 25 Главная передача 3,89 3,44 3,44 3,44 4,23 26 Количество передач, М (A) 5(5) 6(5) 6(5) 5 27 Охлаждение 2 - 22,5 22,5 5 28 Длина автомобиля, мм 1780 1765 1780 1640 30 Высота автомобиля, мм 1290 1300 1270 1460 31 База автомобиля, мм 1290 1300 1270 1460 31 База автомобиля, мм 1290 1300 1270 1460 31 База автомобиля, мм 1290 1300 1270 1460 31 Диаметр поворота, м 34 Величина дорожного просвета, мм 35 Подвеска колес, передняя 37 Шины 205/55 ZR 16 205/50 ZR 17 225/40 ZR 18	7 Максимальная скорость, км/ч	240	280	>280	152
9 Снаряженная масса, кг 100 ная масса, кг 1560 1720 1720 1350 11 Масса на ед. мощности, кг/кВт 12 Расход топлива, л/100 км 24 Передаточное 1/2 передача число 3/4 передача об боличество передач, М (A) 5/5 Сколяждение 5/5 Схаляж 1780 1780 1780 1780 1780 1780 1780 1780		6,9	5,2	4,8	17,9
10 Полная масса, кг	1				
11 Масса на ед. мощности, кг/кВт 24 Расход топлива, л/100 км 57	•	1560		1720	
12 Расход топлива, л/100 км 50 ктановое число топлива, RON 98 98 98 95 98 95 14 Емкость топливного бака, л 57 64 64 34 34 15 Рабочий объем двигателя, см³ 2480 3387 3600 999 36 77/70,6 17 Степень сжатия 11 11,3 11,3 10,7 18 Удельная мощность, кВт/л 60,5 65,2 73,6 37 19 Тип двигателя 68х4Ve 68x4Ve 68x4	11 Масса на ед. мощности, кг/кВт	8,3	6	6	24,2
13 Октановое число топлива, RON 98 98 98 95 14 Емкость топливного бака, л 57 64 64 34 15 Рабочий объем двигателя, см³ 2480 3387 3600 999 16 Диаметр цилиндра/ход поршня, мм 85,5/72 96/78 100/76,4 67,1/70,6 17 Степень сжатия 11 11,3 11,3 10,7 18 Удельная мощность, кВт/л 60,5 65,2 73,6 37 19 Тип двигателя 6Вх4Ve 6Вх4Ve 6Вх4Ve 6Вх4Ve 4 20 Система питания Моtronic Motronic Motronic EI 21 Генератор (14 В), A 115 120 120 70 22 Аккумулятор (12 В), А·ч 60/75 70 70 36 23 Расположение двигателя/привода h	1	1	EU 8,5/17,2	(Ed.) 10/22	
15 Рабочий объем двигателя, см³ 2480 3387 3600 999 16 Диаметр цилиндра/ход поршня, мм 85,5/72 96/78 100/76,4 67,1/70,6 17 Степень сжатия 11 11,3 11,3 10,7 18 Удельная мощность, кВт/л 60,5 65,2 73,6 37 19 Тип двигателя 68x4Ve 68x4Ve 68x4Ve q4R 20 Система питания Motronic Motronic Motronic EI 21 Генератор (14 В), А 115 120 70 70 22 Аккумулятор (12 В), А·ч 60/75 70 70 36 23 Расположение двигателя/привода h h h h h v 24 Передаточное 1/2 передача 3,5/2,12 3,82/2,2 3,82/2,15 3,46/1,96 25 Главная передача 0,79 1,02/0,84 0,97/0,75 0,86 25 Главная передача 3,89 3,44 3,44 4,23 26 Количество передач, М (A) 5(5) 6(5) 6(5) 5 27 Охлаждение <td>•</td> <td></td> <td></td> <td>` /</td> <td></td>	•			` /	
15 Рабочий объем двигателя, см³ 2480 3387 3600 999 16 Диаметр цилиндра/ход поршня, ми 85,5/72 96/78 100/76,4 67,1/70,6 17 Степень сжатия 11 11,3 11,3 10,7 18 Удельная мощность, кВт/л 60,5 65,2 73,6 37 19 Тип двигателя 6Bx4Ve 6Bx4Ve 6Bx4Ve q4R 20 Система питания Motronic Motronic Motronic EI 21 Генератор (14 В), А 115 120 120 70 22 Аккумулятор (12 В), А·ч 60/75 70 70 36 23 Расположение двигателя/привода h h h h h v 24 Передаточное 1/2 передача 3,5/2,12 3,82/2,2 3,82/2,15 3,46/1,96 25 Главная передача 0,79 1,02/0,84 0,97/0,75 0,86 25 Главная передача 3,89 3,44 3,44 4,23 26 Количество передач, М (А) 5(5) 6(5) 6(5) 5 27 Охлаждение </td <td>1</td> <td>57</td> <td>64</td> <td>64</td> <td>34</td>	1	57	64	64	34
16 Диаметр цилиндра/ход поршня, мм 85,5/72 96/78 100/76,4 67,1/70,6 17 Степень сжатия 11 11,3 11,3 10,7 18 Удельная мощность, кВт/л 60,5 65,2 73,6 37 19 Тип двигателя 6Bx4Ve 6Bx4Ve 6Bx4Ve q4R 20 Система питания Motronic Motronic EI 21 Генератор (14 В), A 115 120 70 22 Аккумулятор (12 В), А·ч 60/75 70 70 36 23 Расположение двигателя/привода h h h h v 24 Передаточное 1/2 передача 3,5/2,12 3,82/2,2 3,82/2,15 3,46/1,96 24 Передаточное 1/2 передача 1,43/1,03 1,52/1,22 1,56/1,21 1,36/1,05 5 передача 0,79 1,02/0,84 0,97/0,75 0,86 25 Главная передача 3,89 3,44 3,44 4,23 26 Количество передач, М (A) 5(5) 6(5) 6(5) 5 27 Охлаждение - 22,5		2480	3387	3600	999
17 Степень сжатия 18 Удельная мощность, кВт/л 18 Удельная мощность, кВт/л 19 Тип двигателя 20 Система питания 21 Генератор (14 В), А 22 Аккумулятор (12 В), А·ч 23 Расположение двигателя/привода 24 Передаточное 1/2 передача число 3/4 передача число 3/4 передача 3,5/2,12 3,82/2,2 3,82/2,15 3,46/1,96 25 Главная передача 3,89 3,44 3,44 4,23 26 Количество передач, М (А) 27 Охлаждение 28 Длина автомобиля, мм 29 Ширина автомобиля, мм 20 Высота автомобиля, мм 21 База автомобиля, мм 24 Передаточное 1/2 передача 1,43/1,03 1,52/1,22 1,56/1,21 1,36/1,05 5 6(5) 6(5) 6(5) 5 70 Хлаждение 1780 1780 1765 1780 1640 1290 1300 1270 1460 13 База автомобиля, мм 2415 2350 2350 2325 1455/1500 1465/1480 1390/1400 13 Диаметр поворота, м 10,9 12,1 12,1 9,8 110 10,9 12,1 12,1 9,8 110 10,9 12,1 12,1 9,8 110 10,9 12,1 12,1 9,8 110		85,5/72	96/78	100/76,4	67,1/70,6
18 Удельная мощность, кВт/л 60,5 65,2 73,6 37 19 Тип двигателя 68x4Ve 68x4Ve 68x4Ve q4R 20 Система питания Motronic Motronic EI 21 Генератор (14 В), А 115 120 120 70 22 Аккумулятор (12 В), А·ч 60/75 70 70 36 23 Расположение двигателя/привода h h h h h y 24 Передаточное 1/2 передача 3,5/2,12 3,82/2,2 3,82/2,15 3,46/1,96 3 гранная передача 1,43/1,03 1,52/1,22 1,56/1,21 1,36/1,05 5 передача 0,79 1,02/0,84 0,97/0,75 0,86 25 Главная передача 3,89 3,44 3,44 4,23 26 Количество передач, М (A) 5(5) 6(5) 6(5) 5 27 Охлаждение - 22,5 22,5 5 28 Длина автомобиля, мм 1780 1765 1780 1640 30 Высота автомобиля, мм 1290 1300			11,3	· · · · · · · · · · · · · · · · · · ·	, ,
19 Тип двигателя6Bx4Ve6Bx4Ve6Bx4Veq4R20 Система питанияMotronicMotronicEI21 Генератор (14 В), А1151201207022 Аккумулятор (12 В), А·ч60/7570703623 Расположение двигателя/приводаhhhv24 Передаточное 1/2 передача3,5/2,123,82/2,23,82/2,153,46/1,96число3/4 передача1,43/1,031,52/1,221,56/1,211,36/1,055 передача0,791,02/0,840,97/0,750,8625 Главная передача3,893,443,444,2326 Количество передач, М (А)5(5)6(5)6(5)527 Охлаждение-22,522,5528 Длина автомобиля, мм431544304430352529 Ширина автомобиля, мм178017651780164030 Высота автомобиля, мм129013001270146031 База автомобиля, мм241523502350232532 Колея, передняя/задняя, мм1465/15251455/15001465/14801390/140033 Диаметр поворота, м10,912,112,19,834 Величина дорожного просвета, мм35 Подвеска колес, задняяQI-LI-F-Sf-Ku-Td QI-LI-F-Sf-Ku-Td QI-LI-F-Sf-Ku-Td QI-LI-F-Sf-Ku-TdMa-Sf-Ku-Td Ma-Sf-Ku-TdDQI-F-Sf-Td37 Шины205/55 ZR 16205/50 ZR 17225/40 ZR 18155/70 R 13		60,5			
20 Система питанияMotronicMotronicMotronicEI21 Генератор (14 В), А1151201207022 Аккумулятор (12 В), А·ч60/7570703623 Расположение двигателя/приводаhhhv24 Передаточное 1/2 передача3,5/2,123,82/2,23,82/2,153,46/1,96число3/4 передача1,43/1,031,52/1,221,56/1,211,36/1,055 передача0,791,02/0,840,97/0,750,8625 Главная передача3,893,443,444,2326 Количество передач, М (А)5(5)6(5)6(5)527 Охлаждение-22,522,5528 Длина автомобиля, мм178017651780164030 Высота автомобиля, мм129013001270146031 База автомобиля, мм241523502350232532 Колея, передняя/задняя, мм1465/15251455/15001465/14801390/140033 Диаметр поворота, м10,912,112,19,834 Величина дорожного просвета, мм10,912,112,19,834 Величина дорожного просвета, мм0,91-F-Sf-Ku-TdMa-Sf-Ku-TdMa-Sf-Ku-TdMa-Sf-Ku-TdVIa-LI-Sf-Td37 Шины205/55 ZR 16205/50 ZR 17225/40 ZR 18155/70 R 13			· ·	· ·	g4R
21 Генератор (14 В), А 115 120 120 70 22 Аккумулятор (12 В), А·ч 60/75 70 70 36 23 Расположение двигателя/привода h h h h v 24 Передаточное 1/2 передача 3,5/2,12 3,82/2,2 3,82/2,15 3,46/1,96 число 3/4 передача 1,43/1,03 1,52/1,22 1,56/1,21 1,36/1,05 5 передача 0,79 1,02/0,84 0,97/0,75 0,86 25 Главная передача 3,89 3,44 3,44 4,23 26 Количество передач, М (A) 5(5) 6(5) 6(5) 5 27 Охлаждение - 22,5 22,5 5 28 Длина автомобиля, мм 1780 1765 1780 1640 30 Высота автомобиля, мм 1290 1300 1270 1460 31 База автомобиля, мм 2415 2350 2350 2325 32 Колея, передняя/задняя, мм 10,9 12,1 12,1 9,8 34 Величина дорожного просвета, мм - - - - - - 100 1-5/7		Motronic	Motronic	Motronic	-
22 Аккумулятор (12 В), А·ч 60/75 70 36 23 Расположение двигателя/привода 1 1 1 1 1 3 3 4 1 3 4 4 3 3 4 4 3 3 4 4 3 3 4 4 4 3 4 4 4 4 3 4					70
23 Расположение двигателя/привода 24 Передаточное 1/2 передача число 3/4 передача число 3/4 передача 1,43/1,03 1,52/1,22 1,56/1,21 1,36/1,05 5 передача 0,79 1,02/0,84 0,97/0,75 0,86 25 Главная передача 3,89 3,44 3,44 4,23 26 Количество передач, М (А) 5(5) 6(5) 6(5) 5 27 Охлаждение - 22,5 22,5 5 28 Длина автомобиля, мм 4315 4430 4430 3525 29 Ширина автомобиля, мм 1780 1765 1780 1640 30 Высота автомобиля, мм 1290 1300 1270 1460 31 База автомобиля, мм 2415 2350 2350 2325 32 Колея, передняя/задняя, мм 34 Величина дорожного просвета, мм 35 Подвеска колес, передняя 36 Подвеска колес, задняя 0I-LI-F-Sf-Ku-Td QI-LI-F-Sf-Ku-Td XI Шины	1 1 1	60/75	70	70	36
24 Передаточное 1/2 передача число3,5/2,123,82/2,23,82/2,153,46/1,96число3/4 передача 5 передача0,791,02/0,840,97/0,750,8625 Главная передача3,893,443,444,2326 Количество передач, М (А)5(5)6(5)6(5)527 Охлаждение-22,522,5528 Длина автомобиля, мм431544304430352529 Ширина автомобиля, мм178017651780164030 Высота автомобиля, мм129013001270146031 База автомобиля, мм241523502350232532 Колея, передняя/задняя, мм1465/15251455/15001465/14801390/140033 Диаметр поворота, м10,912,112,19,834 Величина дорожного просвета, мм0,91-LI-F-Sf-Ku-TdDQI-F-Sf-Ku-TdDQI-F-Sf-Ku-TdDQI-F-Sf-Ku-Td36 Подвеска колес, передняяQI-LI-F-Sf-Ku-TdMa-Sf-Ku-TdVIa-LI-Sf-Td37 Шины205/55 ZR 16205/50 ZR 17225/40 ZR 18155/70 R 13		h	h	h	v
число3/4 передача1,43/1,031,52/1,221,56/1,211,36/1,055 передача0,791,02/0,840,97/0,750,8625 Главная передача3,893,443,444,2326 Количество передач, М (А)5(5)6(5)6(5)527 Охлаждение-22,522,5528 Длина автомобиля, мм431544304430352529 Ширина автомобиля, мм178017651780164030 Высота автомобиля, мм129013001270146031 База автомобиля, мм241523502350232532 Колея, передняя/задняя, мм1465/15251455/15001465/14801390/140033 Диаметр поворота, м10,912,112,19,834 Величина дорожного просвета, ммDQI-F-Sf-Ku-TdDQI-F-Sf-Ku-Td36 Подвеска колес, передняяQI-LI-F-Sf-Ku-TdMa-Sf-Ku-TdMa-Sf-Ku-TdVIa-LI-Sf-Td37 Шины205/55 ZR 16205/50 ZR 17225/40 ZR 18155/70 R 13	<u> </u>	3,5/2,12	3,82/2,2	3,82/2,15	3,46/1,96
5 передача0,791,02/0,840,97/0,750,8625 Главная передача3,893,443,444,2326 Количество передач, М (А)5(5)6(5)6(5)527 Охлаждение-22,522,5528 Длина автомобиля, мм431544304430352529 Ширина автомобиля, мм178017651780164030 Высота автомобиля, мм129013001270146031 База автомобиля, мм241523502350232532 Колея, передняя/задняя, мм1465/15251455/15001465/14801390/140033 Диаметр поворота, м10,912,112,19,834 Величина дорожного просвета, мм11035 Подвеска колес, передняяQI-LI-F-Sf-Ku-TdDQI-F-Sf-Ku-TdDQI-F-Sf-Ku-TdDQI-F-Sf-Ku-Td36 Подвеска колес, задняяQI-LI-F-Sf-Ku-TdMa-Sf-Ku-TdMa-Sf-Ku-TdVIa-LI-Sf-Td37 Шины205/55 ZR 16205/50 ZR 17225/40 ZR 18155/70 R 13	-				
25 Главная передача3,893,443,444,2326 Количество передач, М (А)5(5)6(5)6(5)527 Охлаждение-22,522,5528 Длина автомобиля, мм431544304430352529 Ширина автомобиля, мм178017651780164030 Высота автомобиля, мм129013001270146031 База автомобиля, мм241523502350232532 Колея, передняя/задняя, мм1465/15251455/15001465/14801390/140033 Диаметр поворота, м10,912,112,19,834 Величина дорожного просвета, мм11035 Подвеска колес, передняяQI-LI-F-Sf-Ku-TdDQI-F-Sf-Ku-TdDQI-F-Sf-Ku-TdDQI-F-Sf-Ku-Td36 Подвеска колес, задняяQI-LI-F-Sf-Ku-TdMa-Sf-Ku-TdMa-Sf-Ku-TdVIa-LI-Sf-Td37 Шины205/55 ZR 16205/50 ZR 17225/40 ZR 18155/70 R 13	1				
26 Количество передач, М (A)5(5)6(5)6(5)527 Охлаждение-22,522,5528 Длина автомобиля, мм431544304430352529 Ширина автомобиля, мм178017651780164030 Высота автомобиля, мм129013001270146031 База автомобиля, мм241523502350232532 Колея, передняя/задняя, мм1465/15251455/15001465/14801390/140033 Диаметр поворота, м10,912,112,19,834 Величина дорожного просвета, мм11035 Подвеска колес, передняяQI-LI-F-Sf-Ku-TdDQI-F-Sf-Ku-TdDQI-F-Sf-Ku-TdDQI-F-Sf-Ku-Td36 Подвеска колес, задняяQI-LI-F-Sf-Ku-TdMa-Sf-Ku-TdMa-Sf-Ku-TdVIa-LI-Sf-Td37 Шины205/55 ZR 16205/50 ZR 17225/40 ZR 18155/70 R 13					
27 Охлаждение-22,522,5528 Длина автомобиля, мм431544304430352529 Ширина автомобиля, мм178017651780164030 Высота автомобиля, мм129013001270146031 База автомобиля, мм241523502350232532 Колея, передняя/задняя, мм1465/15251455/15001465/14801390/140033 Диаметр поворота, м10,912,112,19,834 Величина дорожного просвета, мм11035 Подвеска колес, передняяQI-LI-F-Sf-Ku-TdDQI-F-Sf-Ku-TdDQI-F-Sf-Ku-Td36 Подвеска колес, задняяQI-LI-F-Sf-Ku-TdMa-Sf-Ku-TdMa-Sf-Ku-TdVIa-LI-Sf-Td37 Шины205/55 ZR 16205/50 ZR 17225/40 ZR 18155/70 R 13				· ·	
28 Длина автомобиля, мм43154430352529 Ширина автомобиля, мм178017651780164030 Высота автомобиля, мм129013001270146031 База автомобиля, мм241523502350232532 Колея, передняя/задняя, мм1465/15251455/15001465/14801390/140033 Диаметр поворота, м10,912,112,19,834 Величина дорожного просвета, мм11035 Подвеска колес, передняяQI-LI-F-Sf-Ku-Td QI-LI-F-Sf-Ku-TdDQI-F-Sf-Ku-Td Ma-Sf-Ku-TdDQI-F-Sf-Ku-Td Ma-Sf-Ku-TdDQI-F-Sf-Ku-Td VIa-LI-Sf-Td37 Шины205/55 ZR 16205/50 ZR 17225/40 ZR 18155/70 R 13	- ' ' ' '	-			5
29 Ширина автомобиля, мм178017651780164030 Высота автомобиля, мм129013001270146031 База автомобиля, мм241523502350232532 Колея, передняя/задняя, мм1465/15251455/15001465/14801390/140033 Диаметр поворота, м10,912,112,19,834 Величина дорожного просвета, мм11035 Подвеска колес, передняяQI-LI-F-Sf-Ku-TdDQI-F-Sf-Ku-TdDQI-F-Sf-Ku-TdDQI-F-Sf-Ku-Td36 Подвеска колес, задняяQI-LI-F-Sf-Ku-TdMa-Sf-Ku-TdMa-Sf-Ku-TdVIa-LI-Sf-Td37 Шины205/55 ZR 16205/50 ZR 17225/40 ZR 18155/70 R 13		4315	· ·	,	3525
30 Высота автомобиля, мм129013001270146031 База автомобиля, мм241523502350232532 Колея, передняя/задняя, мм1465/15251455/15001465/14801390/140033 Диаметр поворота, м10,912,112,19,834 Величина дорожного просвета, мм11035 Подвеска колес, передняяQI-LI-F-Sf-Ku-TdDQI-F-Sf-Ku-TdDQI-F-Sf-Ku-TdDQI-F-Sf-Ku-TdDQI-F-Sf-Ku-Td36 Подвеска колес, задняяQI-LI-F-Sf-Ku-TdMa-Sf-Ku-TdMa-Sf-Ku-TdVIa-LI-Sf-Td37 Шины205/55 ZR 16205/50 ZR 17225/40 ZR 18155/70 R 13					
31 База автомобиля, мм2415235023501390/140032 Колея, передняя/задняя, мм1465/15251455/15001465/14801390/140033 Диаметр поворота, м10,912,112,19,834 Величина дорожного просвета, мм11035 Подвеска колес, передняяQI-LI-F-Sf-Ku-TdDQI-F-Sf-Ku-TdDQI-F-Sf-Ku-TdDQI-F-Sf-Ku-Td36 Подвеска колес, задняяQI-LI-F-Sf-Ku-TdMa-Sf-Ku-TdMa-Sf-Ku-TdVIa-LI-Sf-Td37 Шины205/55 ZR 16205/50 ZR 17225/40 ZR 18155/70 R 13	<u> </u>				
32 Колея, передняя/задняя, мм1465/15251455/15001465/14801390/140033 Диаметр поворота, м10,912,112,19,834 Величина дорожного просвета, мм11035 Подвеска колес, передняяQI-LI-F-Sf-Ku-TdDQI-F-Sf-Ku-TdDQI-F-Sf-Ku-TdDQI-F-Sf-Ku-Td36 Подвеска колес, задняяQI-LI-F-Sf-Ku-TdMa-Sf-Ku-TdMa-Sf-Ku-TdVIa-LI-Sf-Td37 Шины205/55 ZR 16205/50 ZR 17225/40 ZR 18155/70 R 13	*				
33 Диаметр поворота, м10,912,112,19,834 Величина дорожного просвета, мм11035 Подвеска колес, передняяQI-LI-F-Sf-Ku-TdDQI-F-Sf-Ku-TdDQI-F-Sf-Ku-TdDQI-F-Sf-Ku-TdDQI-F-Sf-Ku-TdDQI-F-Sf-Ku-Td36 Подвеска колес, задняяQI-LI-F-Sf-Ku-TdMa-Sf-Ku-TdMa-Sf-Ku-TdVIa-LI-Sf-Td37 Шины205/55 ZR 16205/50 ZR 17225/40 ZR 18155/70 R 13	· ·				
34 Величина дорожного просвета, мм - - 110 35 Подвеска колес, передняя QI-LI-F-Sf-Ku-Td DQI-F-Sf-Ku-Td DQI-F-Sf-Ku-Td 36 Подвеска колес, задняя QI-LI-F-Sf-Ku-Td Ma-Sf-Ku-Td Ma-Sf-Ku-Td VIa-LI-Sf-Td 37 Шины 205/55 ZR 16 205/50 ZR 17 225/40 ZR 18 155/70 R 13	-				
35 Подвеска колес, передняяQI-LI-F-Sf-Ku-TdDQI-F-Sf-Ku-TdDQI-F-Sf-Ku-TdDQI-F-Sf-Ku-Td36 Подвеска колес, задняяQI-LI-F-Sf-Ku-TdMa-Sf-Ku-TdMa-Sf-Ku-TdVIa-LI-Sf-Td37 Шины205/55 ZR 16205/50 ZR 17225/40 ZR 18155/70 R 13		_	, -	-	
36 Подвеска колес, задняяQI-LI-F-Sf-Ku-TdMa-Sf-Ku-TdMa-Sf-Ku-TdVIa-LI-Sf-Td37 Шины205/55 ZR 16205/50 ZR 17225/40 ZR 18155/70 R 13		QI-LI-F-Sf-Ku-Td	DQI-F-Sf-Ku-Td	DQI-F-Sf-Ku-Td	
37 Шины 205/55 ZR 16 205/50 ZR 17 225/40 ZR 18 155/70 R 13	, -	•	~	-	VIa-LI-Sf-Td
	*	-			
	38 Тормозная система	4Sb-ABS	4Sb-ABS	4Sb-ABS	Sb-Tb

^{*-}Комментарии и расшифровка сокращений см. с. 132-135

1	2			
1 Страна		Герма	ния	
2 Изготовитель автомобиля		Volksw	agen	
3 Модель	Lupo 1.2	Polo 1.4	Polo Variant	New Beetle
	TDI		1.9 TDI	2.0
4 Тип кузова	3 Li 4-5	3/5 Li 5	5 Ko 5	2 Li 4
5 Эффективная мощность, кВт (л. с.)	45(61)	74(101)	66 (90)	85(116)
при частоте вращения	4000	6000	4000	5200
коленчатого вала, мин-1				
6 Макс. крутящий момент, Нм	140	128	210	170
при частоте вращения	1800	4400	1900	2400
коленчатого вала, мин-1				
7 Максимальная скорость, км/ч	165	188	180	185
8 Разгон от 0 до 100 км/ч, с	16,5	10,5	12,5	10,9
9 Снаряженная масса, кг	780	950	1135	1230
10 Полная масса, кг	1200	1450	1595	1650
11 Масса на ед. мощности, кг/кВт	17,3	12,8	17,2	14,6
12 Расход топлива, л/100 км	EU 2,7/3,7	EU 5,4/9,6	EU 4,1/6,4	EU 6,9/11,8
13 Октановое число топлива, RON	дизель	95	дизель	95
14 Емкость топливного бака, л	34	45	45	55
15 Рабочий объем двигателя, см ³	1196	1390	1896	1984
16 Диаметр цилиндра/ход поршня, мм	76,5/86,7	76,5/75,6	79,5/95,5	82,5/92,8
17 Степень сжатия	19,5	10,5	19,5	10,5
18 Удельная мощность, кВт/л	37,6	53,2	34,8	42,8
19 Тип двигателя	q3R	4R4Ve	4R	q4R
20 Система питания	EP/UIS-T-Ic	EI	EP/eV-T-Ic	Motronic
21 Генератор (14 В), А	70	70	90	70/90
22 Аккумулятор (12 B), A·ч	36	44	61	44/60
23 Расположение двигателя/привода	v	V	V	V
24 Передаточное 1/2 передача	3,46/1,96	3,45/2,1	3,3/1,94	3,78/2,12
число 3/4 передача	1,82/0,81	1,45/1,1	1,31/0,92	1,36/1,03
5 передача	0,64	0,89	0,72	0,84
25 Главная передача	3,33	3,88	3,16	4,24
26 Количество передач, М (А)	5	5	5	5(4)
27 Охлаждение	5	5,5	6,5	5,3
28 Длина автомобиля, мм	3525	3715	4140	4080
29 Ширина автомобиля, мм	1640	1655	1640	1725
30 Высота автомобиля, мм	1460	1420	1460	1500
31 База автомобиля, мм	2325	2405	2440	2510
32 Колея, передняя/задняя, мм	1390/140J	1350/1380	1430/1390	1510/1495
33 Диаметр поворота, м	9,8	10,4	10,9	10,9
34 Величина дорожного просвета, мм	110	110	110	130
35 Подвеска колес, передняя	DQI-F-Sf-Td	~	DQI-F	DQI-F-Ku-Td
36 Подвеска колес, задняя	VIa-LI-Sf-Td	VIa-LI-Sf-Ku-Td	VIa-LI-Sf-Td	VIa-Sf-Ku-Td
37 Шины	155/65 SR 14	185/55 R 14	185/60 R 14	205/55 R 16
38 Тормозная система	Sb-Tb-ABS	Sb-Tb-ABS	Sb-Tb-ABS	4Sb-ABS

^{*-}Комментарии и расшифровка сокращений см. с. 132-135

1	2			
1 Страна		Герг	мания	
2 Изготовитель автомобиля		Volk	swagen	
3 Модель	Golf IV 2.3	Bora 1.6	Passat Variant	Passat 1.9 TDI
	VR5		2.8 SyncroVR6	
4 Тип кузова	3/5 Li 5	4 Li 5	5 Ko 5	4 Li 5
5 Эффективная мощность, кВт (л. с.)	110(150)	74(101)	142(193)	85(116)
при частоте вращения	6000	5600	6000	4000
коленчатого вала, мин-1				
6 Макс. крутящий момент, Нм	205	145	280	285
при частоте вращения	3200	3800	3200	1900
коленчатого вала, мин-1				
7 Максимальная скорость, км/ч	216	188	238	200
8 Разгон от 0 до 100 км/ч, с	8,8	11,7	7,6	10,7
9 Снаряженная масса, кг	1245	1185	1495	1320
10 Полная масса, кг	1800	1720	2040	1880
11 Масса на ед. мощности, кг/кВт	11,3	16	10,2	15,5
12 Расход топлива, л/100 км	EU 7,2/13,2	EU 6/10,6	EU 8/15,2	EU 4,3/7
13 Октановое число топлива, RON	95	95	95	дизель
14 Емкость топливного бака, л	55	55	62	62
15 Рабочий объем двигателя, см ³	2324	1595	2771	1896
16 Диаметр цилиндра/ход поршня, мм	81/90.2	81/77,4	82,5/86,4	79,5/95,5
17 Степень сжатия	10,1	10,3	10,6	18
18 Удельная мощность, кВт/л	47,3	46,4	51,2	44,8
19 Тип двигателя	5VR	4R	6 VR 5Ve	4R
20 Система питания	EI	EI	EI	EP/UIS-T-Ic
21 Генератор (14 В), А	70	70	90	120
22 Аккумулятор (12 B), A·ч	60	44/60	320 A	80
23 Расположение двигателя/привода	V	V	aa	V
24 Передаточное 1/2 передача	3,3/1,94	3,46/1,94	3,5/1,94	3,5/1,94
число 3/4 передача	1,31/1,03	1,37/1,03	1,3/0,94	1,22/0,88
5 передача	0,84	0,85	0,79	0,69
25 Главная передача	3,94	4,25	3,89	3,56
26 Количество передач, М (А)	5(4)	5(4)	5(5)	5(4)
27 Охлаждение	5,2	5,5	6,5	6,5
28 Длина автомобиля, мм	4150	4375	4675	4675
29 Ширина автомобиля, мм	1735	1735	1740	1740
30 Высота автомобиля, мм	1440	1440	1500	1460
31 База автомобиля, мм	2510	2515	2705	2705
32 Колея, передняя/задняя, мм	1510/1490	1515/1495	1500/1500	1500/1500
33 Диаметр поворота, м	10,9	10,9	11,4	11,4
34 Величина дорожного просвета, мм	130	130	110	110
35 Подвеска колес, передняя	•		QI-LI-F-Sf-Ku-Td	•
36 Подвеска колес, задняя			VIa-LI-Sf-Ku-Td	
37 Шины 20 Т	205/55 WR16	195/65 R15	205/55 R16	195/65R15
38 Тормозная система	4Sb-ABS	4Sb-ABS	4Sb-ABS	4Sb-ABS

^{*-}Комментарии и расшифровка сокращений см. с. 132-135

1	2			
1 Страна	Германия		Франция	
2 Изготовитель автомобиля	Volkswagen		Citroen	
3 Модель	Sharan 1.8	Saxo 1.0i	Saxo 1.6i	BerIingo 1.4i
4 Тип кузова	5GIi 5-7	5/3Li 5	3/5 Li 5	3/4/5 Ko 5
5 Эффективная мощность, кВт (л. с.)	110(150)	37(50)	66 (90)	55 (75)
при частоте вращения	5700	6000	5600	5500
коленчатого вала, мин-1				
6 Макс. крутящий момент, Нм	210	74	137	111
при частоте вращения	1750	3700	3000	3400
коленчатого вала, мин-1				
7 Максимальная скорость, км/ч	194	149	187	150
8 Разгон от 0 до 100 км/ч, с	12	19,1	11,4	14,6
9 Снаряженная масса, кг	1660	825	920	1125
10 Полная масса, кг	2400	1240	1360	1780
11 Масса на ед. мощности, кг/кВт	15,1	21,8	13,9	20,5
12 Расход топлива, л/100 км	EU 7,9/13,9	EU 5,1/8,3	EU 5,8/9,9	EU 5,9/9,2
13 Октановое число топлива, RON	95	95	95	95
14 Емкость топливного бака, л	70	45	45	55
15 Рабочий объем двигателя, см ³	1781	954	1587	1361
16 Диаметр цилиндра/ход поршня, мм	81/86,4	70/62	78,5/82	75/77
17 Степень сжатия	9,5	9,4	9,6	10,2
18 Удельная мощность, кВт/л	61,7	38,8	40,9	40,4
19 Тип двигателя	4R5Ve	q4R	q4R	q4R
20 Система питания	EI-T-Ic	Mono Motronic	Motronic	EI
21 Генератор (14 В), А	70/90	50	60/70	60/70
22 Аккумулятор (12 B), A·ч	280 A	250 A	250 A	200 A
23 Расположение двигателя/привода	V	V	V	v
24 Передаточное 1/2 передача	3,58/2,05	3,42/1,81	3,42/1,95	3,42/1,95
число 3/4 передача	1,35/0,97	1,28/0,98	1,36/1,05	1,36/1,05
5 передача	0,81	0,77	0,85	0,85
25 Главная передача	4,06	4,29	3,56	4,54
26 Количество передач, М (А)	5(4)	5	5	5/4
27 Охлаждение	6,5	6,1	6,1	6,5
28 Длина автомобиля, мм	4620	3720	3740	4110
29 Ширина автомобиля, мм	1810	1595	1620	1720
30 Высота автомобиля, мм	1730	1370	1360	1800
31 База автомобиля, мм	2845	2385	2385	2690
32 Колея, передняя/задняя, мм	1510/1500	1370/1300	1400/1320	1420/1440
33 Диаметр поворота, м	11,7	10,0	10,9	10,7
34 Величина дорожного просвета, мм	150	120	120	140
35 Подвеска колес, передняя	DQI-F-Sf-Ku-Td	•	DQI-F-Ku-Td	~
36 Подвеска колес, задняя	QI-Sf-Ku-Td	LI-Tf-Ku-Td	LI-Tf-Ku-Td	LI-Tf-Td
37 Шины	195/65R13	155/70 R 13	185/55 R14	165/70 R14
38 Тормозная система	4Sb-ABS	Sb-Tb	Sb-Tb	Sb-Tb

^{*-}Комментарии и расшифровка сокращений см. с. 132-135

1.0		2			
1 Страна		Фра	анция		
2 Изготовитель автомобиля			troen		
3 Модель	Berlingo	Xsara 1.8i	Xsara 1.9TD	Xsara Picasso	
	1.9D			2.0 TDI	
4 Тип кузова	3/4/5 Ko 5	5 Ko 5	5/3Li 5	5GIi5	
5 Эффективная мощность, кВт (л. с.)	50 (68)	66 (90)	66(90)	80(109)	
при частоте вращения	4600	5000	4000	4000	
коленчатого вала, мин-1					
6 Макс. крутящий момент, Нм	120	147	196	250	
при частоте вращения	2000	2600	2200	1750	
коленчатого вала, мин-1					
7 Максимальная скорость, км/ч	142	182	178	180	
8 Разгон от 0 до 100 км/ч, с	6,3	13,5	12,7	12,5	
9 Снаряженная масса, кг	1185	1120	1140	1300	
10 Полная масса, кг	1840	1650	1690	-	
11 Масса на ед. мощности, кг/кВт	23,7	16,2	17,2	16,3	
12 Расход топлива, л/100 км	EU5,4/8,6	EU 6,2/11	EU5 5,2/8,8	(Ed.) 5/8	
13 Октановое число топлива, RON	дизель	95	дизель	дизель	
14 Емкость топливного бака, л	55	54	54	-	
15 Рабочий объем двигателя, см ³	1905	1762	1905	1998	
16 Диаметр цилиндра/ход поршня, мм	83/88	83/81,4	83/88	86/86	
17 Степень сжатия	23	9,5	21,8	18	
18 Удельная мощность, кВт/л	26,2	37,4	34,6	40	
19 Тип двигателя	q4R	q4R	q4R	4R	
20 Система питания	EP/V	EI	EP/V-T-Ic	EP/CR-T-Ic	
21 Генератор (14 В), А	70/80	60/70	70/80	60/70	
22 Аккумулятор (12 B), А·ч	300/400 A	250 A	300/400 A	250 A	
23 Расположение двигателя/привода	V	V	V	V	
24 Передаточное 1/2 передача	3,42/1,95	3,45/1,87	3,45/1,87	-	
число 3/4 передача	1,36/1,05	1,28/0,95	1,15/0,83		
5 передача	0,85	0,8	0,66		
25 Главная передача	4,53	3,67	4,05	-	
26 Количество передач, М (А)	5	5	5	5	
27 Охлаждение	8,5	7,5	9	6,5	
28 Длина автомобиля, мм	4110	4355	4355	4275	
29 Ширина автомобиля, мм	1720	1790	1790	1750	
30 Высота автомобиля, мм	1800	1420	1390	1640	
31 База автомобиля, мм	2690	2540	2540	2760	
32 Колея, передняя/задняя, мм	1420/1440	1420/1430	1435/1440	1435/1450	
33 Диаметр поворота, м	10,7	11,4	11,4	12,0	
34 Величина дорожного просвета, мм	140	110	110	50	
35 Подвеска колес, передняя	DQI-F	DQI-F-Sf-Ku-Td		DQI-F-Sf-Ku	
36 Подвеска колес, задняя	LI-Tf-Td	Ea-LI-Tf-Ku-Td	Ea-LI-Tf-Ku-Td	Ea-LI-Tf-Ku	
37 Шины	165/70 R14		185/65 R14	185/65R15	
38 Тормозная система	Sb-Tb	Sb-Tb	Sb-Tb	Sb-ABS	

^{*-}Комментарии и расшифровка сокращений см. с. 132-135

1	2			
1 Страна		Φ	ранция	
2 Изготовитель автомобиля		Citroen		MCC
3 Модель	Xentia2.9i	XM 2.5TD	Evasion 1.9TD	Smart 0.6
4 Тип кузова	5Li5	5Li5	5 GIi 5+3	2 Mc 2
5 Эффективная мощность, кВт (л. с.)	143(194)	96(130)	66(90)	33 (45)
при частоте вращения	5500	4300	4000	5250
коленчатого вала, мин-1				
6 Макс. крутящий момент, Нм	273	294	196	70
при частоте вращения	4000	2000	2250	3000
коленчатого вала, мин-1				
7 Максимальная скорость, км/ч	230	201	160	135
8 Разгон от 0 до 100 км/ч, с	8,2	12,1	16,8	18,9
9 Снаряженная масса, кг	1470	1580	1585	720
10 Полная масса, кг	1950	2130	2360	980
11 Масса на ед. мощности, кг/кВт	10,5	16,6	24	21,8
12 Расход топлива, л/100 км	EU 8/15,9	EU 5,9/10,9	EU 6,7/10,6	(Ed.) 4,8/7
13 Октановое число топлива, RON	95	дизель	дизель	95
14 Емкость топливного бака, л	65	80	80	22
15 Рабочий объем двигателя, см ³	2946	2446	1905	599
16 Диаметр цилиндра/ход поршня, мм	87/82,6	92/92	83/88	63,5/63
17 Степень сжатия	10,5	22	21,8	9,5
18 Удельная мощность, кВт/л	47,5	38,8	34,6	55
19 Тип двигателя	q6V4Ve	4R3Ve	q4R	3R
20 Система питания	Motronic	EP/eV-T-Ic	EP/V-T-Ic	Motronic
21 Генератор (14 В), А	90	120	70/80	40
22 Аккумулятор (12 B), A·ч	300 A	450 A	300/400 A	35
23 Расположение двигателя/привода	V	v	V	h-h
24 Передаточное 1/2 передача	3,25/1,78	3,42/1,86	3,42/1,94	3,38/2,45
число 3/4 передача	1,19/0,88	1,18/0,86	1,25/0,75	1,76
5 передача	0,7	0,64	0,67	
25 Главная передача	4,31	4,06	4,54	4,21/1,67
26 Количество передач, М (А)	5(4)	5(4)	5	2x3 [SOFTIP]
27 Охлаждение	10	13	9	3,5
28 Длина автомобиля, мм	4525	4710	4455	2500
29 Ширина автомобиля, мм	1755	1795	1820	1515
30 Высота автомобиля, мм	1400	1390	1710	1529
31 База автомобиля, мм	2740	2850	2825	1812
32 Колея, передняя/задняя, мм	1500/1455	1520/1445	1535/1540	1285/1355
33 Диаметр поворота, м	12,0	12,4	12,3	8,5
34 Величина дорожного просвета, мм	160	140	130	131
35 Подвеска колес, передняя	Hf-DQI-F-Ku	Hf-DQI-F-Ku	DQI-F-Sf-Td	DQI-Qf-Ku-Td
36 Подвеска колес, задняя	Hf-LI-Ku	Hf-LI-Ku	VIa-LI-P-Sf-Td	De-Wa-Sf-Ku-Td
37 Шины	205/60 R 15	205/65 R 15	205/65 R 15	1)
38 Тормозная система	4Sb-ABS	4Sb-ABS	Sb-Tb	Sb-Tb-ABS

^{1) -} передние 135/70 R15; задние 175/55 R15 *-Комментарии и расшифровка сокращений см. с. 132-135

1	2			
1 Страна		Франці	ия	
2 Изготовитель автомобиля	MCC		Peugeot	
3 Модель	Smart 0.8 TD	106 1.4i	206 2.0i	306 1.8i
4 Тип кузова	2Mc2	3/5 Li 5	3/5 Li 5	4/3/5 Li 5
5 Эффективная мощность, кВт (л. с.)	30(40)	55 (75)	99(135)	81 (110)
при частоте вращения	4000	5500	6000	5500
коленчатого вала, мин ⁻¹	4000	3300	0000	3300
6 Макс. крутящий момент, Нм	100	111	190	155
при частоте вращения	2000	3400	4100	4250
коленчатого вала, мин ⁻¹	2000	3100	1100	1230
7 Максимальная скорость, км/ч	135	178	210	193
8 Разгон от 0 до 100 км/ч, с	17,5	13,2	8,4	11,6
9 Снаряженная масса, кг	720	815	1050	1095
10 Полная масса, кг	980	1315	1560	1560
11 Масса на ед. мощности, кг/кВт	-	14,8	10,6	13,5
12 Расход топлива, л/100 км	(Ed.) 3,4/5,5	EU 5,4/9,4	EU 6,2/10,9	EU 6,3/12
13 Октановое число топлива, RON	(Ld.) 3,4/3,3 дизель	95	95	95
14 Емкость топливного бака, л	дизель 22	45	50	60
15 Рабочий объем двигателя, см ³	арргох, 800	1361	1997	1762
	approx, 800	75/77	85/88	83/81,4
16 Диаметр цилиндра/ход поршня, мм 17 Степень сжатия	-			
	27.5	10,2	10,8	10,4 46
18 Удельная мощность, кВт/л	37,5 3R	40,4	49,6	40 4R4Ve
19 Тип двигателя	EP/CR-T-Ic	q4R EI	q 4 R 4Ve EI	EI
20 Система питания		80	70	70
21 Генератор (14 В), A	40			
22 Аккумулятор (12 В), А·ч	35 h-h	200 A	300 A	300 A
23 Расположение двигателя/привода		V 2.42/1.0	V 2.46/1.97	V 2.46/1.97
24 Передаточное 1/2 передача	3,38/2,45	3,42/1,8	3,46/1,87	3,46/1,87
число 3/4 передача	1,76	1,28/0,98	1,36/1,05	1,36/1,05
5 передача	4 21/1 67	0,77	0,86	0,79
25 Главная передача	4,21/1,67	3,76	3,79	3,95/3,79
26 Количество передач, М (А)	2x3 [SOFTIP]	5(3)	5	5
27 Охлаждение	3,5	6	7,8	6,5
28 Длина автомобиля, мм	2500	3680	3835	4265
29 Ширина автомобиля, мм	1515	1590	1650	1690
30 Высота автомобиля, мм	1529	1380	1430	1380
31 База автомобиля, мм	1812	2385	2440	2580
32 Колея, передняя/задняя, мм	1285/1355	1380/1310	1435/1430	1460/1430
33 Диаметр поворота, м	8,5	11,0	10,2	11,0
34 Величина дорожного просвета, мм	131	130	110	130
35 Подвеска колес, передняя	DQI-Qf-Ku-Td	DQI-F	DQI-F-Td	DQI-F
36 Подвеска колес, задняя	De-Wa-Sf-Ku-Td	LI-Tf-Td	LI-Tf-Td	LI-Tf-Td
37 Шины	1)	165/70 R 13	185/55 R 15	185/65 R 14
* Комментарии и расшифр	Sb-Tb-ABS	Sb-Tb	4Sb	Sb-Tb

^{*-}Комментарии и расшифровка сокращений см. с. 132-135

1	2				
1 Страна		Фр	анция		
2 Изготовитель автомобиля			eugeot		
3 Модель	306 Break	Partner 1.8i	406 Break 2.9i	406 2.0 TDI	
	2.0 TDI				
4 Тип кузова	5Ko5	3/4/5 Ko 5	5 Ko 5	4 Li 5	
5 Эффективная мощность, кВт (л. с.)	66 (90)	66 (90)	140(190)	80(109)	
при частоте вращения	4000	5000	5500	4000	
коленчатого вала, мин-1					
6 Макс. крутящий момент, Нм	205	147	267	250	
при частоте вращения	1900	2600	4000	1750	
коленчатого вала, мин-1					
7 Максимальная скорость, км/ч	181	160	227	191	
8 Разгон от 0 до 100 км/ч, с	13,2	12,2	8,5	12,5	
9 Снаряженная масса, кг	1200	1170	1505	1410	
10 Полная масса, кг	1655	1780	2175	1950	
11 Масса на ед. мощности, кг/кВт	17,2	17,7	10,4	18,6	
12 Расход топлива, л/100 км	EU 4,4/7,2	EU 7,1/11,9	EU 8/15,9	EU 4,5/7,3	
13 Октановое число топлива, RON	дизель	95	95	дизель	
14 Емкость топливного бака, л	60	55	70	70	
15 Рабочий объем двигателя, см ³	1997	1762	2946	1997	
16 Диаметр цилиндра/ход поршня, мм	85/88	83/81,4	87/82,6	85/88	
17 Степень сжатия	18	9,25	10,5	18	
18 Удельная мощность, кВт/л	33	37,5	47,5	40,1	
19 Тип двигателя	4R	q4R	6V4Ve	4R	
20 Система питания	EP/CR-T	EI	Motronic	EP/CR-T-Ic	
21 Генератор (14 В), А	90/120/150	80	157	157	
22 Аккумулятор (12 B), A·ч	300 A	250 A	300 A	300 A	
23 Расположение двигателя/привода	v	V	V	V	
24 Передаточное 1/2 передача	3,46/1,87	3,42/1,95	3,25/1,78	3,42/1,78	
число 3/4 передача	1,15/0,83	1,36/1,05	1,19/0,88	1,12/0,8	
5 передача	0,66	0,85	0,7	0,61	
25 Главная передача	3,68	4,54	4,31	4,06	
26 Количество передач, М (А)	5	5	5(4)	5(4)	
27 Охлаждение	7	7,5	7,8	8,5	
28 Длина автомобиля, мм	4345	4110	4735	4600	
29 Ширина автомобиля, мм	1690	1720	1765	1765	
30 Высота автомобиля, мм	1410	1800	1500	1400	
31 База автомобиля, мм	2580	2690	2700	2700	
32 Колея, передняя/задняя, мм	1460/1430	1420/1440	1500/1480	1500/1480	
33 Диаметр поворота, м	11,0	10,7	12,0	12,0	
34 Величина дорожного просвета, мм	130	140	130	130	
35 Подвеска колес, передняя	DQI-F	DQI-F	DQI-F-Ku	DQI-F-Ku	
36 Подвеска колес, задняя	LI-Tf-Td	LI-Tf-Td	Ma-Sf-Ku-Td	Ma-Sf-Ku-Td	
37 Шины	195/55 R 15	195/65 R 15	205/60 VR 15	195/65 HR 15	
38 Тормозная система	4Sb	Sb-Tb	4Sb-ABS	4SD-ABS	

^{*-}Комментарии и расшифровка сокращений см. с. 132-135

1	2			
1 Страна		Фран	шия	
2 Изготовитель автомобиля		Ren		
3 Модель	Clio 1.6i	Sport Spider	Megane 1.4i	Megane
		1 1		Cabriolet 2.0i
4 Тип кузова	3/5 Li 5	2RO2	4/5 Li 5	2 Ca 4
5 Эффективная мощность, кВт (л. с.)	79 (107)	110(150)	70 (95)	103(140)
при частоте вращения	5750	6000	6000	5500
коленчатого вала, мин-1				
6 Макс. крутящий момент, Нм	148	186	127	200
при частоте вращения	3750	4500	3750	4250
коленчатого вала, мин-1				
7 Максимальная скорость, км/ч	195	215	184	210
8 Разгон от 0 до 100 км/ч, с	9,6	6,9	11,8	9
9 Снаряженная масса, кг	995	930	1015	1135
10 Полная масса, кг	1515	1130	1580	1555
11 Масса на ед. мощности, кг/кВт	12,6	7,2	15,6	11
12 Расход топлива, л/100 км	EU 6/9,4	EU 7,4/9,7	EU 5,2/9,2	EU 6.1/10,2
13 Октановое число топлива, RON	95	-	95	95
14 Емкость топливного бака, л	50	50	60	60
15 Рабочий объем двигателя, см ³	1598	1998	1390	1998
16 Диаметр цилиндра/ход поршня, мм	79,5/80,5	82,7/93	79,5/70	82,7/93
17 Степень сжатия	10	9,8	10	10
18 Удельная мощность, кВт/л	49,4	55,1	50,3	51,5
19 Тип двигателя	q 4 R 4Ve	4R4Ve	4R4Ve	4R4Ve
20 Система питания	EI	EI	EI	EId
21 Генератор (14 В), А	60	70	70	70
22 Аккумулятор (12 B), A·ч	50	50	50	50
23 Расположение двигателя/привода	V	Mm-h	v	V
24 Передаточное 1/2 передача	3,36/1,86	3,36/1,86	3,09/1,86	3,36/1,86
число 3/4 передача	1,32/1,03	1,39/1,09	1,32/1,02	1,32/1,03
5 передача	0,82	0,89	0,79	0,82
25 Главная передача	4,07	4,06	4,06	3,94
26 Количество передач, М (А)	5	5	5	5
27 Охлаждение	6,7	5,5	6,5	6,5
28 Длина автомобиля, мм	3775	3795	4400	4030
29 Ширина автомобиля, мм	1640	1830	1700	1700
30 Высота автомобиля, мм	1420	1250	1420	1370
31 База автомобиля, мм	2470	2340	2580	2470
32 Колея, передняя/задняя, мм	1390/1370	1535/1540	1450/1430	1450/1430
33 Диаметр поворота, м	11,1	9,6	11,4	11,2
34 Величина дорожного просвета, мм	120		120	120
35 Подвеска колес, передняя	DQI-F-Ku-Td	DDQI-Ku	DQI-F-Ku	DQI-F-Ku
36 Подвеска колес, задняя	Ta-Sf-Ku-Td	DQI-Ku	LI-Tf-Ku	LI-Tf-Ku
37 Шины	165/70 R 13	205/50 VR 16	175/65 R 14	195/50 VR 16
38 Тормозная система	Sb-Tb-ABS	4Sb	Sb-Tb	4Sb-ABS

^{*-}Комментарии и расшифровка сокращений см. с. 132-135

продолжение таолицы	2			
1 Страна		Великобі		
2 Изготовитель автомобиля	AC	Bentley	Daimler Daimler	Jaguar
3 Модель	Aceca 4.6i	Amage 4.4 Ti	V8 4.0i	S-Type 3.0i
У ТУГОДСИВ	710000 1.01	7 mage 1.1 11	¥ 0 1.01	S 1 ypc 3.01
4 Тип кузова	2Ca2	4 Li 5	4 Li 5	4 Li 5
5 Эффективная мощность, кВт (л. с.)	240(326)	260(354)	216 (294)	179(243)
при частоте вращения	5800	5500	6100	6800
коленчатого вала, мин-1				
6 Макс. крутящий момент, Нм	427	570	393	300
при частоте вращения	4600	2500	4250	4500
коленчатого вала, мин-1				
7 Максимальная скорость, км/ч	250	240	240	235
8 Разгон от 0 до 100 км/ч, с	5,7	6,5	7,3	7,5
9 Снаряженная масса, кг	1510	2300	1730	1630
10 Полная масса, кг	-	2750	2260	2030
11 Масса на ед. мощности, кг/кВт	6,3	8,8	8,3	9,3
12 Расход топлива, л/100 км	EU 10,5/15,1	EU 13,1/23.4	EU 9/16,9	EU8/14
13 Октановое число топлива, RON	98	- -	95	95
14 Емкость топливного бака, л	90	94	81	69,5
15 Рабочий объем двигателя, см ³	4601	4398	3996	2967
16 Диаметр цилиндра/ход поршня, мм	90,2/90	92/82,7	86/86	89/79,5
17 Степень сжатия	9,85	8,5	10,75	10,5
18 Удельная мощность, кВт/л	52,2	59,1	52,3	59
19 Тип двигателя	8V4Ve	8V4Ve	8V4Ve	6V4Ve
20 Система питания	EI	Motronic-T-Ic	EI	EI
21 Генератор (14 В), А	90	140	140	130
22 Аккумулятор (12 B), А·ч	60	90	92	72
23 Расположение двигателя/привода	h	h-ASR	h-ASR	h-ASR
24 Передаточное 1/2 передача	3,37/1.99	3,55/2,24	3,57/2,2	4,23/2,52
число 3/4 передача	1,32/1	1,55/1	1,51/1	1,67/1,22
5 передача	0,67	0,79	0,8	1
25 Главная передача	3.23	2,93	3,06	3,07
26 Количество передач, М (А)	5	(5)	(5)	5(5)
27 Охлаждение	16	15	10	10
28 Длина автомобиля, мм	4420	5390	5150	4860
29 Ширина автомобиля, мм	1870	1930	1800	1820
30 Высота автомобиля, мм	1300	1520	1380	1450
31 База автомобиля, мм	2470	3115	2995	2910
32 Колея, передняя/задняя, мм	1590/1570	1610/1610	1500/1500	1545/1535
33 Диаметр поворота, м	10,5	12,9	13,2	12,1
34 Величина дорожного просвета, мм	-	140	110	140
35 Подвеска колес, передняя	DDQI-Sf-Ku-Td	DDQI-Sf-Ku-Td	DDQI-St-Ku-Td	DDQI-Sf-Ku-Td
36 Подвеска колес, задняя	`	Ea-DDQI-Sf-Ku-Td		Ea-DDQI-Sf-Ku-Td
37 Шины	1)	255/55 ZR 17	225/60 R 16	225/55 R 16
38 Тормозная система	4SD-ABS	4Sb-ABS	4Sb-ABS	4Sb-ABS

^{1) -} передние 245/45 R18; задние 255/40 R17 *-Комментарии и расшифровка сокращений см. с. 132-135

I Страна MG Rolls-Royce Rover 3 Модсть MGF1.8i Silver Scraph 420 2.0 TD 75 2.0i 4 Тип кузова 2Ca2 4 Li 5 4/5 Li 5 4 Li 5 5 Эффективная мощность, кВт (л. с.) 88(120) 240(326) 77(105) 110(150) 6 Макс, крутящий момент, Нм при частоте вращения коленчатого вала, мин¹ 166 490 210 185 7 Максимальная скорость, км/ч 193 225 185 210 8 Разгон от Од 100 км/ч, с 9,2 7 11 10,2 9 Спаряженная масса, кг 1060 2300 1220 1370 10 Полная масса, кг 1320 2750 1550 - 11 Масса на ет. монности, кт/кВт 12 9,6 15,8 12,5 12 Раскод топлива, Л/100 км 50 95 дизель 98 14 Еккость топливаного бака, л 50 94 55 66 15 Рабочий обыем двигателя, см¹ 1795 5379 1994 1991 16 Диаметр цилиндра/ход пориня, мм <t< th=""><th>1</th><th colspan="4">2</th></t<>	1	2			
2 Изготовитель автомобиля MG Rolls-Royce Rover 3 Модель MGF1.8i Silver Scraph 5.4i 420 2.0 TD 75 2.0i 4 Тип кузова 2Ca2 4 Li 5 4/5 Li 5 4 Li 5 5 Эффективная мощность, кВт (л. с.) при частоге вращения коленчатого вала, мин 1 5500 5000 4200 6500 коленчатого вала, мин 1 166 490 210 185 6 Макс. крутящий момент, Нм при частоге вращения коленчатого вала, мин 1 3000 3900 2000 4000 7 Максимальная скорость, км/ч коленчатого дал, мин 1 193 225 185 210 8 Разгон от 0 до 100 км/ч, с до на 2, 2 7 11 10,2 10 9 Снаряженная масса, кт до 1060 2300 1220 1370 11 Масса на ед. мощности, кт/кВт до 2, 2750 1550 - 12 Раскод топлива, 100 км EU 5,7/10,2 EU 12,8/25,4 EU 4,3/7,1 EU 7/13,5 13 Октановое число топлива, RON до топливаного бака, л до 4 50 94 55 66 15 Рабочий объем двитателя, см³ 1795 5379 1994 <th>1 Страна</th> <th></th> <th>Велин</th> <th>собритания</th> <th></th>	1 Страна		Велин	собритания	
3 Модель MGF1.8i Silver Seraph 5.4i 420 2.0 TD 75 2.0i 4 Тип кузова 2Ca2 4 Li 5 4/5 Li 5 4 Li 5 5 Эффективная мощность, кВт (л. с.) 88(120) 240(326) 77(105) 110(150) при частоте врашения коленчатого вала, мин¹ 5500 5000 4200 6500 6 Макс, крутящий момент, Нм при частоте вращения коленчатого вала, мин¹ 166 490 210 185 7 Максимальная скорость, км/ч 193 225 185 210 8 Разтон от 0 л 100 км/ч, с 9,2 7 11 10,2 9 Снаряженная масса, кг 1060 2300 1220 1370 10 Полиая масса, кг 1320 2750 1550 - 11 Масса на ед. мощности, кг/кВт 12 9,6 15,8 12,5 12 Расход топлива, л/100 км EU 5,7/10,2 EU 12,8/25,4 EU 4,3/7,1 EU 7/13,5 13 Октановое число топлива, RON 95 95 дизсль 98 14 Емкость топливнариз кол поршня, мм 80/89,3 85/79 84,5/88,9 </th <th>-</th> <th>MG</th> <th></th> <th></th> <th>over</th>	-	MG			over
4 Тип кузова 2 Ca2 4 Li 5 4/5 Li 5 4 Li 5 5 Эффективная мошность, кВт (л. с.) 88(120) 240(326) 77(105) 110(150) при частоге вращения коленчатого вала, мин¹¹ 5500 5000 4200 6500 6 Макс. кругищий момент, Нм при частоге вращения коленчатого вала, мин¹¹ 166 490 210 185 7 Максимальная скорость, км/ч 193 225 185 210 8 Разгон от Оло 100 км/ч, с 9,2 7 11 10,2 9 Снаряженная масса, кг 1060 2300 1220 1370 10 Полная масса, кг 1320 2750 1550 - 11 Масса на ед. мощности, кг/кВт 12 9,6 15,8 12,5 12 Расход топлива, л/100 км EU 5,7/10,2 EU 12,8/25,4 EU 4,3/7,1 EU 7/13,5 13 Октановое число топлива, RON 95 3 158 12,5 15 Рабочий объем двигателя, см³ 10,5 10 19,5 10,5 16 Диаметр цилиндра/ход поршня, мм 80/89,3 85/79 84,5/88,9					
4 Тип кузова 2Ca2 4 Li 5 4/5 Li 5 4 Li 5 5 Эффективная мошность, кВт (п. с.) 88(120) 240(326) 77(105) 110(150) при частоте вращения коленчатого вала, мин¹ 5500 5000 4200 6500 Коленчатого вала, мин¹ 166 490 210 185 при частоте вращения коленчатого вала, мин¹ 3000 3900 2000 4000 Коленчатого вала, мин¹ 193 225 185 210 7 Максимальная скорость, км/ч 193 225 185 210 8 Разгон от 0 до 100 км/ч, с 9,2 7 11 10,2 9 Снаряженная масса, кг 1060 2300 1220 1370 10 Полная масса, кг 1320 2750 1550 - 11 Масса на ед. мощность, кг/кВт 12 9,6 15,8 12,5 12 Раскод топлива, л/100 км EU 5,7/10,2 EU 12,8/25,4 EU 4,3/7,1 EU 7/13,5 13 Октановое число топлива, кг 12 9,6 15,8 12,5 15 Расокос			-		
5 Эффективная мощность, кВт (л. с.) 88(120) 240(326) 77(105) 110(150) при частоте вращения 5500 5000 4200 6500 коленчатого вала, миг¹ 166 490 210 185 при частоте вращения 3000 3900 2000 4000 коленчатого вала, миг¹ 7 Максимальная скорость, км/ч 193 225 185 210 8 Разгон от 0 до 100 км/ч, с 9,2 7 11 10,2 10 Полная масса, кг 1060 2300 1220 1370 10 Полная масса, кг 1320 2750 1550 - 15,8 12,5 12 Расход топлива, 7100 км EU 5,7/10,2 EU 12,8/25,4 EU 4,3/7,1 EU 7/13,5 13 Октановое число топлива, 7100 км 95 95 дизель 98 14 Емкость топливность кратитесля, см³ 1795 5379 84,5/88,9 80/66 17 Степень сжатия 49 44,6 38,6 55,2 19 Тип двитателя 4RR4ve 12V 4RR4ve 12V 4R	4 Тип кузова	2Ca2		4/5 Li 5	4 Li 5
при частоте вращения коленчатого вала, мин¹¹ 6 Макс. крутящий момент, Нм при частоте вращения допо вала, мин¹¹ 7 Максимальная скорость, км/ч 193 225 185 210 10,2 1370 10 Полная масса, кг 1060 2300 1220 1370 10 Полная масса, кг 1060 2300 1220 1370 10 Полная масса, кг 1320 2750 1550 - 11 Масса на ед. мощности, кг/кВт 12 9,6 15,8 12,5 12 Расход топлива, п/100 км EU 5,7/10,2 EU 12,8/25,4 EU 4,3/7,1 EU 7/13,5 13 Октановое число топлива, RON 95 95 дизель 98 14 Емкость топливного бака, л 50 94 55 66 15 Рабочий объем двигателя, см³ 1795 5379 1994 1991 16 Диаметр цилиндра/ход поршня, мм 10,5 10 19,5 10,5 18 Удельная мощность, кВт/л 49 44,6 38,6 55,2 19 Тип двигателя 4R4Ve 12V q4R q6 V 4Ve 20 Система питания EI Motronic EP/eV-T-Ic EI 21 Генератор (14 В), А 60 140 65 - 23 Расположение двигателя/привода 1,3171,84 3,55/2,24 3,42/1.95 3,58/2,02 число 3/4 передача 1,317,84 3,55/2,24 3,42/1.95 3,58/2,02 число 3/4 передача 1,317,03 1,55/1 1,33/1,03 1,35/1,03 5 передача 0,77 0,79 0,85 0,81 25 Главная передача 0,77 0,79 0,85 0,81 25 Главная передача 0,77 0,79 0,85 0,81 26 0,81 260 1520 1390 1430 1700 1780 18 20 клажа автомобиля, мм 1630 1930 1700 1780 1780 18 26 клажа автомобиля, мм 1630 1930 1700 1780 1780 18 26 клажа автомобиля, мм 1630 1930 1700 1780 1780 18 26 клажа автомобиля, мм 1260 1520 1390 1430 1505/1505 12,0	•				
6 Макс. крутящий момент, Нм при частоте вращения коленчатого вала, мин ⁻¹ 166 490 210 185 при частоте вращения коленчатого вала, мин ⁻¹ 3000 3900 2000 4000 8 Разгон от 0 до 100 км/ч, с 9,2 7 11 10,2 9 Снаряженная масса, кг 1060 2300 1220 1370 10 Полная масса, кг 1320 2750 1550 - 11 Масса на ед. мощности, кг/кВт 12 9,6 15,8 12,5 12 Расход топлива, л/100 км EU 5,7/10,2 EU 12,8/25,4 EU 4,3/7,1 EU 7/13,5 13 Октановое число топлива, RON 95 95 дизель 98 14 Емкость топливного бака, л 50 94 55 66 15 Рабочий объем двигателя, см ³ 1795 5379 1994 1991 16 Диаметр цилиндра/ход поршня, мм 80/89,3 85/79 84,5/88,9 80/66 17 Степень сжатия 10,5 10 19,5 10,5 18 Удельная мощность, кВт/л 49 44,6 38,6 55,2	11	` /	, ,		
6 Макс. крутящий момент, Нм при частоте вращения коленчатого вала, мин ⁻¹ 166 490 210 185 при частоте вращения коленчатого вала, мин ⁻¹ 3000 3900 2000 4000 8 Разгон от 0 до 100 км/ч, с 9,2 7 11 10,2 9 Снаряженная масса, кг 1060 2300 1220 1370 10 Полная масса, кг 1320 2750 1550 - 11 Масса на ед. мощности, кг/кВт 12 9,6 15,8 12,5 12 Расход топлива, л/100 км EU 5,7/10,2 EU 12,8/25,4 EU 4,3/7,1 EU 7/13,5 13 Октановое число топлива, RON 95 95 дизель 98 14 Емкость топливного бака, л 50 94 55 66 15 Рабочий объем двигателя, см ³ 1795 5379 1994 1991 16 Диаметр цилиндра/ход поршня, мм 80/89,3 85/79 84,5/88,9 80/66 17 Степень сжатия 10,5 10 19,5 10,5 18 Удельная мощность, кВт/л 49 44,6 38,6 55,2					
Коленчатого вала, мин¹ 7 Максимальная скорость, км/ч 193 225 185 210 8 Разгон от 0 до 100 км/ч, с 9,2 7 11 10,2 9 Снаряженная масса, кг 1060 2300 1220 1370 101 Полная масса, кг 1320 2750 1550 -		166	490	210	185
7 Максимальная скорость, км/ч 8 Разгон от 0 до 100 км/ч, с 9,2 7 11 10,2 9 Снарженная масса, кг 1060 2300 1220 1370 10 Полная масса, кг 1320 2750 1550 -	при частоте вращения	3000	3900	2000	4000
7 Максимальная скорость, км/ч 8 Разгон от 0 до 100 км/ч, с 9,2 7 11 10,2 9 Снарженная масса, кг 1060 2300 1220 1370 10 Полная масса, кг 1320 2750 1550 -	коленчатого вала, мин-1				
9 Снаряженная масса, кг 1060 2300 1220 1370 10 Полная масса, кг 1320 2750 1550 - 11 Масса на ед. мощности, кг/кВт 12 9,6 15,8 12,5 12 Расход топлива, л/100 км EU 5,7/10,2 EU 12,8/25,4 EU 4,3/7,1 EU 7/13,5 13 Октановое число топлива, RON 95 95 дизель 98 14 Емкость топливного бака, л 50 94 55 66 15 Рабочий объем двигателя, см³ 1795 5379 1994 1991 16 Диаметр цилиндра/ход поршня, мм 80/89,3 85/79 84,5/88,9 80/66 17 Степень сжатия 10,5 10 19,5 10,5 18 Удельная мощность, кВт/л 49 44,6 38,6 55,2 19 Тип двигателя 4R4Ve 12V q4R q 6 V 4Ve 20 Система питания EI Motronic EP/eV-T-Ic EI 21 Генератор (14 В), А 60 140 65 - 23 Расположение двигателя/привода 1,31		193	225	185	210
10 Полная масса, кг	8 Разгон от 0 до 100 км/ч, с	9,2	7	11	10,2
11 Масса на ед. мощности, кг/кВт 12 9,6 15,8 12,5 12 Расход топлива, л/100 км 50 94 55 66 15 Рабочий объем двигателя, см³ 1795 5379 1994 1991 16 Диаметр цилиндра/ход поршня, мм 80/89,3 85/79 84,5/88,9 80/66 17 Степень сжатия 10,5 10 19,5 10,5 18 Удельная мощность, кВт/л 49 44,6 38,6 55,2 19 Тип двигателя 4R4Ve 12V q4R q 6 V 4Ve 20 Система питания EI Motronic EP/eV-T-Ic EI 21 Генератор (14 В), A 60 140 65 - 22 Аккумулятор (12 В), А·ч 45 90 65 - 23 Расположение двигателя/привода 1,31/1,84 3,55/2,24 3,42/1.95 3,58/2,02 24 Передаточное 1/2 передача 1,31/1,03 1,55/1 1,33/1,05 1,35/1,03 25 Главная передача 3,94 2,93 3,94 4,41 26 Количество передач, М (A)	9 Снаряженная масса, кг	1060	2300	1220	1370
12 Расход топлива, п/100 км 13 Октановое число топлива, RON 95 95 дизель 98 14 Емкость топливного бака, л 50 94 55 66 15 Рабочий объем двигателя, см³ 1795 5379 1994 1991 16 Диаметр цилиндра/ход поршня, мм 10,5 10 19,5 10,5 10,5 18 Удельная мощность, кВт/л 49 44,6 38,6 55,2 19 Тип двигателя 4R4Ve 12V q4R q6 V 4Ve 10 Cистема питания EI Motronic EP/eV-T-Ic EI 21 Генератор (14 В), А 60 140 65 - 23 Расположение двигателя/привода 4	10 Полная масса, кг	1320	2750	1550	-
13 Октановое число топлива, RON 95 94 55 66 15 Рабочий объем двигателя, см³ 1795 5379 1994 1991 16 Диаметр цилиндра/ход поршня, мм 80/89,3 85/79 84,5/88,9 80/66 17 Степень сжатия 10,5 10 19,5 10,5 18 Удельная мощность, кВт/л 49 44,6 38,6 55,2 19 Тип двигателя 4R4Ve 12V q4R q 6 V 4Ve 20 Система питания EI Motronic EP/eV-T-Ic EI 21 Генератор (14 В), А 60 140 65 - 23 Расположение двигателя/привода h h-ASR v v 24 Передаточное 1/2 передача 3,17/1,84 3,55/2,24 3,42/1.95 3,58/2,02 число 3/4 передача 1,31/1,03 1,55/1 1,33/1,05 1,35/1,03 25 Главная передача 3,94 2,93 3,94 4,41 26 Количество передач, М (A) 5 (5) 5 5(5) 27 Охлаждение 6 <td>11 Масса на ед. мощности, кг/кВт</td> <td>12</td> <td>9,6</td> <td>15,8</td> <td>12,5</td>	11 Масса на ед. мощности, кг/кВт	12	9,6	15,8	12,5
14 Емкость топливного бака, л 50 94 55 66 15 Рабочий объем двигателя, см³ 1795 5379 1994 1991 16 Диаметр цилиндра/ход поршня, мм 80/89,3 85/79 84,5/88,9 80/66 17 Степень сжатия 10,5 10 19,5 10,5 18 Удельная мощность, кВт/л 49 44,6 38,6 55,2 19 Тип двигателя 4R4Ve 12V q4R q 6 V 4Ve 20 Система питания EI Motronic EP/eV-T-Ic EI 21 Генератор (14 В), A 60 140 65 - 23 Расположение двигателя/привода 45 90 65 - 24 Передаточное 1/2 передача 3,17/1,84 3,55/2,24 3,42/1.95 3,58/2,02 число 3/4 передача 1,31/1,03 1,55/1 1,33/1,05 1,35/1,03 25 Главная передача 3,94 2,93 3,94 4,41 26 Количество передач, М (A) 5 (5) 5 5(5) 27 Охлаждение 6	12 Расход топлива, л/100 км	EU 5,7/10,2	EU 12,8/25,4	EU 4,3/7,1	EU 7/13,5
15 Рабочий объем двигателя, см³ 1795 5379 1994 1991 16 Диаметр цилиндра/ход поршня, мм 80/89,3 85/79 84,5/88,9 80/66 17 Степень сжатия 10,5 10 19,5 10,5 18 Удельная мощность, кВт/л 49 44,6 38,6 55,2 19 Тип двигателя 4R4Ve 12V q4R q 6 V 4Ve 20 Система питания EI Motronic EP/eV-T-Ic EI 21 Генератор (14 В), А 60 140 65 - 22 Аккумулятор (12 В), А·ч 45 90 65 - 23 Расположение двигателя/привода h h-ASR v v 24 Передаточное 1/2 передача 3,17/1,84 3,55/2,24 3,42/1.95 3,58/2,02 число 3/4 передача 1,31/1,03 1,55/1 1,33/1,05 1,35/1,03 5 передача 0,77 0,79 0,85 0,81 25 Главная передач, М (A) 5 (5) 5 5(5) 27 Охлаждение 6 15 </td <td>13 Октановое число топлива, RON</td> <td>95</td> <td>95</td> <td>дизель</td> <td>98</td>	13 Октановое число топлива, RON	95	95	дизель	98
16 Диаметр цилиндра/ход поршня, мм 80/89,3 85/79 84,5/88,9 80/66 17 Степень сжатия 10,5 10 19,5 10,5 18 Удельная мощность, кВт/л 49 44,6 38,6 55,2 19 Тип двигателя 4R4Ve 12V q4R q 6 V 4Ve 20 Система питания EI Motronic EP/eV-T-Ic EI 21 Генератор (14 В), А 60 140 65 - 22 Аккумулятор (12 В), А·ч 45 90 65 - 23 Расположение двигателя/привода h h-ASR v v 24 Передаточное 1/2 передача 3,17/1,84 3,55/2,24 3,42/1.95 3,58/2,02 число 3/4 передача 1,31/1,03 1,55/1 1,33/1,05 1,35/1,03 5 передача 0,77 0,79 0,85 0,81 25 Главная передача 3,94 2,93 3,94 4,41 26 Количество передач, М (A) 5 (5) 5 5(5) 27 Охлаждение 6 15		50	94	55	66
16 Диаметр цилиндра/ход поршня, мм 80/89,3 85/79 84,5/88,9 80/66 17 Степень сжатия 10,5 10 19,5 10,5 18 Удельная мощность, кВт/л 49 44,6 38,6 55,2 19 Тип двигателя 4R4Ve 12V q4R q 6 V 4Ve 20 Система питания EI Motronic EP/eV-T-Ic EI 21 Генератор (14 В), А 60 140 65 - 22 Аккумулятор (12 В), А·ч 45 90 65 - 23 Расположение двигателя/привода h h-ASR v v 24 Передаточное 1/2 передача 3,17/1,84 3,55/2,24 3,42/1.95 3,58/2,02 число 3/4 передача 1,31/1,03 1,55/1 1,33/1,05 1,35/1,03 5 передача 0,77 0,79 0,85 0,81 25 Главная передача 3,94 2,93 3,94 4,41 26 Количество передач, М (A) 5 (5) 5 5(5) 27 Охлаждение 6 15	15 Рабочий объем двигателя, см ³	1795	5379	1994	1991
18 Удельная мощность, кВт/л 49 44,6 38,6 55,2 19 Тип двигателя 4R4Ve 12V q4R q 6 V 4Ve 20 Система питания EI Motronic EP/eV-T-Ic EI 21 Генератор (14 В), А 60 140 65 - 22 Аккумулятор (12 В), А·ч 45 90 65 - 23 Расположение двигателя/привода h h-ASR v v 24 Передаточное 1/2 передача 3,17/1,84 3,55/2,24 3,42/1.95 3,58/2,02 число 3/4 передача 1,31/1,03 1,55/1 1,33/1,05 1,35/1,03 25 Главная передача 0,77 0,79 0,85 0,81 25 Главная передача 3,94 2,93 3,94 4,41 26 Количество передач, М (А) 5 (5) 5 5(5) 27 Охлаждение 6 15 8,4 - 28 Длина автомобиля, мм 1630 1930 1700 1780 31 База автомобиля, мм 2375 3115 26		80/89,3	85/79	84,5/88,9	80/66
19 Тип двигателя 4R4Ve 12V q4R q 6 V 4Ve 20 Система питания EI Motronic EP/eV-T-Ic EI 21 Генератор (14 В), А 60 140 65 - 22 Аккумулятор (12 В), А·ч 45 90 65 - 23 Расположение двигателя/привода h h-ASR v v 24 Передаточное 1/2 передача 3,17/1,84 3,55/2,24 3,42/1.95 3,58/2,02 число 3/4 передача 1,31/1,03 1,55/1 1,33/1,05 1,35/1,03 5 передача 0,77 0,79 0,85 0,81 25 Главная передача 3,94 2,93 3,94 4,41 26 Количество передач, М (A) 5 (5) 5 5(5) 27 Охлаждение 6 15 8,4 - 28 Длина автомобиля, мм 1630 1930 1700 1780 30 Высота автомобиля, мм 1260 1520 1390 1430 31 База автомобиля, мм 2375 3115 2620 2745 32 Колея, передняя/задняя, мм 10,5 12,6 <t< td=""><td>17 Степень сжатия</td><td>10,5</td><td>10</td><td>19,5</td><td>10,5</td></t<>	17 Степень сжатия	10,5	10	19,5	10,5
19 Тип двигателя 4R4Ve 12V q4R q 6 V 4Ve 20 Система питания EI Motronic EP/eV-T-Ic EI 21 Генератор (14 В), А 60 140 65 - 22 Аккумулятор (12 В), А·ч 45 90 65 - 23 Расположение двигателя/привода h h-ASR v v 24 Передаточное 1/2 передача 3,17/1,84 3,55/2,24 3,42/1.95 3,58/2,02 число 3/4 передача 1,31/1,03 1,55/1 1,33/1,05 1,35/1,03 5 передача 0,77 0,79 0,85 0,81 25 Главная передача 3,94 2,93 3,94 4,41 26 Количество передач, М (A) 5 (5) 5 5(5) 27 Охлаждение 6 15 8,4 - 28 Длина автомобиля, мм 3920 5390 4490 4745 29 Ширина автомобиля, мм 1630 1930 1700 1780 31 База автомобиля, мм 2375 3115 2620 2745 32 Колея, передняя/задня, мм 10,5 12,6 <td< td=""><td>18 Удельная мощность, кВт/л</td><td>49</td><td>44,6</td><td>38,6</td><td>55,2</td></td<>	18 Удельная мощность, кВт/л	49	44,6	38,6	55,2
21 Генератор (14 В), А 60 140 65 - 22 Аккумулятор (12 В), А·ч 45 90 65 - 23 Расположение двигателя/привода h h-ASR v v 24 Передаточное 1/2 передача 3,17/1,84 3,55/2,24 3,42/1.95 3,58/2,02 число 3/4 передача 1,31/1,03 1,55/1 1,33/1,05 1,35/1,03 5 передача 0,77 0,79 0,85 0,81 25 Главная передача 3,94 2,93 3,94 4,41 26 Количество передач, М (A) 5 (5) 5 5(5) 27 Охлаждение 6 15 8,4 - 28 Длина автомобиля, мм 3920 5390 4490 4745 29 Ширина автомобиля, мм 1630 1930 1700 1780 30 Высота автомобиля, мм 1260 1520 1390 1430 31 База автомобиля, мм 2375 3115 2620 2745 32 Колея, передняя/задняя, мм 1400/UiO 1610/1610 1480/1470 1505/1505 33 Диаметр поворота, м 10,5 <	19 Тип двигателя	4R4Ve	12V	q4R	q 6 V 4Ve
22 Аккумулятор (12 В), А·ч 45 90 65 - 23 Расположение двигателя/привода 3,17/1,84 3,55/2,24 3,42/1.95 3,58/2,02 24 Передаточное 1/2 передача 1,31/1,03 1,55/1 1,33/1,05 1,35/1,03 90 65 v v v 24 Передаточное 1/2 передача 3,17/1,84 3,55/2,24 3,42/1.95 3,58/2,02 1,31/1,03 1,55/1 1,33/1,05 1,35/1,03 5 передача 0,77 0,79 0,85 0,81 25 Главная передача 3,94 2,93 3,94 4,41 26 Количество передач, М (А) 5 (5) 5 5(5) 27 Охлаждение 6 15 8,4 - 28 Длина автомобиля, мм 1630 1930 1700 1780 30 Высота автомобиля, мм 1260 1520 1390 1430 31 База автомобиля, мм 2375 3115 2620 2745 32 Колея, передняя/задняя, мм 1400/UiO 1610/1610 1480/1470	20 Система питания	EI	Motronic	EP/eV-T-Ic	EI
23 Расположение двигателя/привода h h-ASR v v 24 Передаточное 1/2 передача число 3/4 передача 1,31/1,84 3,55/2,24 3,42/1.95 3,58/2,02 число 3/4 передача 1,31/1,03 1,55/1 1,33/1,05 1,35/1,03 5 передача 0,77 0,79 0,85 0,81 25 Главная передача 3,94 2,93 3,94 4,41 26 Количество передач, М (А) 5 (5) 5 5(5) 27 Охлаждение 6 15 8,4 - 28 Длина автомобиля, мм 3920 5390 4490 4745 29 Ширина автомобиля, мм 1630 1930 1700 1780 30 Высота автомобиля, мм 1260 1520 1390 1430 31 База автомобиля, мм 2375 3115 2620 2745 32 Колея, передняя/задняя, мм 1400/UiO 1610/1610 1480/1470 1505/1505 33 Диаметр поворота, м 10,5 12,6 10,5 12,0	21 Генератор (14 В), А	60	140	65	-
24 Передаточное 1/2 передача число 3/4 передача 3,17/1,84 3,55/2,24 3,42/1.95 3,58/2,02 число 3/4 передача 1,31/1,03 1,55/1 1,33/1,05 1,35/1,03 5 передача 0,77 0,79 0,85 0,81 25 Главная передача 3,94 2,93 3,94 4,41 26 Количество передач, М (А) 5 (5) 5 5(5) 27 Охлаждение 6 15 8,4 - 28 Длина автомобиля, мм 3920 5390 4490 4745 29 Ширина автомобиля, мм 1630 1930 1700 1780 30 Высота автомобиля, мм 1260 1520 1390 1430 31 База автомобиля, мм 2375 3115 2620 2745 32 Колея, передняя/задняя, мм 1400/UiO 1610/1610 1480/1470 1505/1505 33 Диаметр поворота, м 10,5 12,6 10,5 12,0	22 Аккумулятор (12 B), A·ч	45	90	65	-
число 3/4 передача 1,31/1,03 1,55/1 1,33/1,05 1,35/1,03 25 Главная передача 3,94 2,93 3,94 4,41 26 Количество передач, М (А) 5 (5) 5 5(5) 27 Охлаждение 6 15 8,4 - 28 Длина автомобиля, мм 3920 5390 4490 4745 29 Ширина автомобиля, мм 1630 1930 1700 1780 30 Высота автомобиля, мм 1260 1520 1390 1430 31 База автомобиля, мм 2375 3115 2620 2745 32 Колея, передняя/задняя, мм 1400/UiO 1610/1610 1480/1470 1505/1505 33 Диаметр поворота, м 10,5 12,6 10,5 12,0	23 Расположение двигателя/привода	h	h-ASR	V	V
5 передача 0,77 0,79 0,85 0,81 25 Главная передача 3,94 2,93 3,94 4,41 26 Количество передач, М (А) 5 (5) 5 5(5) 27 Охлаждение 6 15 8,4 - 28 Длина автомобиля, мм 3920 5390 4490 4745 29 Ширина автомобиля, мм 1630 1930 1700 1780 30 Высота автомобиля, мм 1260 1520 1390 1430 31 База автомобиля, мм 2375 3115 2620 2745 32 Колея, передняя/задняя, мм 1400/UiO 1610/1610 1480/1470 1505/1505 33 Диаметр поворота, м 10,5 12,6 10,5 12,0	24 Передаточное 1/2 передача	3,17/1,84	3,55/2,24	3,42/1.95	3,58/2,02
5 передача 0,77 0,79 0,85 0,81 25 Главная передача 3,94 2,93 3,94 4,41 26 Количество передач, М (А) 5 (5) 5 5(5) 27 Охлаждение 6 15 8,4 - 28 Длина автомобиля, мм 3920 5390 4490 4745 29 Ширина автомобиля, мм 1630 1930 1700 1780 30 Высота автомобиля, мм 1260 1520 1390 1430 31 База автомобиля, мм 2375 3115 2620 2745 32 Колея, передняя/задняя, мм 1400/UiO 1610/1610 1480/1470 1505/1505 33 Диаметр поворота, м 10,5 12,6 10,5 12,0	число 3/4 передача	1,31/1,03	1,55/1	1,33/1,05	1,35/1,03
26 Количество передач, М (A) 5 (5) 5 5(5) 27 Охлаждение 6 15 8,4 - 28 Длина автомобиля, мм 3920 5390 4490 4745 29 Ширина автомобиля, мм 1630 1930 1700 1780 30 Высота автомобиля, мм 1260 1520 1390 1430 31 База автомобиля, мм 2375 3115 2620 2745 32 Колея, передняя/задняя, мм 1400/UiO 1610/1610 1480/1470 1505/1505 33 Диаметр поворота, м 10,5 12,6 10,5 12,0		0,77	0,79	0,85	
27 Охлаждение 6 15 8,4 - 28 Длина автомобиля, мм 3920 5390 4490 4745 29 Ширина автомобиля, мм 1630 1930 1700 1780 30 Высота автомобиля, мм 1260 1520 1390 1430 31 База автомобиля, мм 2375 3115 2620 2745 32 Колея, передняя/задняя, мм 1400/UiO 1610/1610 1480/1470 1505/1505 33 Диаметр поворота, м 10,5 12,6 10,5 12,0	25 Главная передача	3,94	2,93	3,94	4,41
28 Длина автомобиля, мм 3920 5390 4490 4745 29 Ширина автомобиля, мм 1630 1930 1700 1780 30 Высота автомобиля, мм 1260 1520 1390 1430 31 База автомобиля, мм 2375 3115 2620 2745 32 Колея, передняя/задняя, мм 1400/UiO 1610/1610 1480/1470 1505/1505 33 Диаметр поворота, м 10,5 12,6 10,5 12,0	26 Количество передач, М (А)	5	(5)	5	5(5)
29 Ширина автомобиля, мм 1630 1930 1700 1780 30 Высота автомобиля, мм 1260 1520 1390 1430 31 База автомобиля, мм 2375 3115 2620 2745 32 Колея, передняя/задняя, мм 1400/UiO 1610/1610 1480/1470 1505/1505 33 Диаметр поворота, м 10,5 12,6 10,5 12,0	27 Охлаждение	6	15	8,4	-
29 Ширина автомобиля, мм 1630 1930 1700 1780 30 Высота автомобиля, мм 1260 1520 1390 1430 31 База автомобиля, мм 2375 3115 2620 2745 32 Колея, передняя/задняя, мм 1400/UiO 1610/1610 1480/1470 1505/1505 33 Диаметр поворота, м 10,5 12,6 10,5 12,0	28 Длина автомобиля, мм	3920	5390	4490	4745
31 База автомобиля, мм 2375 3115 2620 2745 32 Колея, передняя/задняя, мм 1400/UiO 1610/1610 1480/1470 1505/1505 33 Диаметр поворота, м 10,5 12,6 10,5 12,0		1630	1930	1700	1780
32 Колея, передняя/задняя, мм 1400/UiO 1610/1610 1480/1470 1505/1505 12,6 10,5 12,0	30 Высота автомобиля, мм	1260	1520	1390	1430
33 Диаметр поворота, м 10,5 12,6 10,5 12,0	31 База автомобиля, мм	2375	3115	2620	2745
	32 Колея, передняя/задняя, мм	1400/UiO	1610/1610	1480/1470	1505/1505
34 Величина дорожного просвета, мм 120 140 150 120	33 Диаметр поворота, м	10,5	12,6	10,5	12,0
	34 Величина дорожного просвета, мм			,	, and the second
	1	DQI-QI-Hv	DDQI-Sf-Ku	DQI-QI-Ku	DQI-F-Sf-Ku-Td
36 Подвеска колес, задняя QI-Hv DDQI-Sf-Ku LI-QI-ZI-Sf-Td Ma-Sf-Ku-Td	1 * *		-		~
37 Шины 205/50 R15 235/65 VR 16 175/65 R 14 195/65 R 15	<u> </u>	~	~	-	
38 Тормозная система 4Sb-ABS 4Sb-ABS Sb-Tb 4Sb-ABS					

^{*-}Комментарии и расшифровка сокращений см. с. 132-135

Продолжение таблицы Е.2

1	2				
1 Страна	Италия				
2 Изготовитель автомобиля	Alfa	Romeo	Ferrari	Fiat	
3 Модель	146 1.9 LTD	156 2.5i	456 GT5.5i	Punto 1,4i.e.	
				turbo	
4 Тип кузова	4 Li 5	4Li5	2Co 2+2	3Li 5	
5 Эффективная мощность, кВт (л. с.)	77(105)	140(190)	325(442)	96(131)	
при частоте вращения	4000	6300	6250	5600	
коленчатого вала, мин-1					
6 Макс. крутящий момент, Нм	255	222	550	200	
при частоте вращения	2000	5000	4500	3000	
коленчатого вала, мин-1					
7 Максимальная скорость, км/ч	187	230	>300	200	
8 Разгон от 0 до 100 км/ч, с	10,5	7,3	5,2	7,9	
9 Снаряженная масса, кг	1245	1320	1790	1000	
10 Полная масса, кг	1765	1820	2200	1450	
11 Масса на ед. мощности, кг/кВт	15,7	9,4	5,5	10,4	
12 Расход топлива, л/100 км	EU 4,7/7,6	EU 8,4/16,5	11,6/12,7/29,8	EU 6,4/11,7	
13 Октановое число топлива, RON	дизель	95	98	95	
14 Емкость топливного бака, л	61	63	110	47	
15 Рабочий объем двигателя, см ³	1910	2492	5474	1372	
16 Диаметр цилиндра/ход поршня, мм	82/90,4	88/68,3	88/75	80,5/67,4	
17 Степень сжатия	18,45	10,3	10,6	7,8	
18 Удельная мощность, кВт/л	40,3	56,2	59,4	70	
19 Тип двигателя	q4R	q6V4Ve	12V4Ve	q4R	
20 Система питания	EP/CR-T-Ic	Motronic	Motronic	Motronic-T-Ic	
21 Генератор (14 В), А	70	120	140	65/85	
22 Аккумулятор (12 B), A·ч	60	70	70	40/50	
23 Расположение двигателя/привода	v	V	h-h	v	
24 Передаточное 1/2 передача	3,91/2,24	3,5/2,24	2,92/1,9	3,91/2,24	
число 3/4 передача	1,44/1,03	1,52/1,16	1,37/1,07	1,52/1,16	
5 передача	0,77	0,97/0,82	0,87/0,74	0,87	
25 Главная передача	3,05	3,94	3,64	3,35	
26 Количество передач, М (А)	5	6(4)	6(4)	5	
27 Охлаждение	8,9	9,2	20	6	
28 Длина автомобиля, мм	4235	4430	4730	3760	
29 Ширина автомобиля, мм	1710	1745	1920	1625	
30 Высота автомобиля, мм	1430	1420	1300	1450	
31 База автомобиля, мм	2540	2595	2600	2450	
32 Колея, передняя/задняя, мм	1470/1440	1510/1500	1585/1605	1380/1360	
33 Диаметр поворота, м	10,5	11,6	-	9,7	
34 Величина дорожного просвета, мм	120	140	130	150	
35 Подвеска колес, передняя	DQI-F-Ku-Td		DDQI-Sf-Ku-Td		
36 Подвеска колес, задняя	-		Ea-DDQI-Sf-Ku-Td	-	
37 Шины	185/60 R 14	215/60 R 15	1)	185/55 R 14	
38 Тормозная система	4Sb-ABS	4Sb-ABS	4Sb-ABS	4Sb-ABS	
1) парадина 255/45 P17: 20			150 1150	100 1100	

^{1) -} передние 255/45 R17; задние 285/40 R17 *-Комментарии и расшифровка сокращений см. с. 132-135

Продолжение таблицы Е.2

1			2		
1 Страна	Италия				
2 Изготовитель автомобиля	Fiat	Lar	Maserati		
3 Модель	Bravo 1,9	Delta 2.0 i.e.	Dedra 1.9TD	3200 GT	
	JTD	Turbo HPE		BiTurbo	
4 Тип кузова	5 Li 5	3 Li 5	5 Ko 5	2 Co 2+2	
5 Эффективная мощность, кВт (л. с.)	77(105)	142 (193)	66 (90)	271 (368)	
при частоте вращения	4000	5500	4200	6250	
коленчатого вала, мин-1			1_00		
6 Макс. крутящий момент, Нм	200	290	186	491	
при частоте вращения	1500	3400	2500	4500	
коленчатого вала, мин ⁻¹					
7 Максимальная скорость, км/ч	185	225	174	280	
8 Разгон от 0 до 100 км/ч, с	10,6	7,5	13,9	5,1	
9 Снаряженная масса, кг	1180	1330	1285	1590	
10 Полная масса, кг	1570	1830	1765	1940	
11 Масса на ед. мощности, кг/кВт	14,9	9,4	18,9	5,9	
12 Расход топлива, л/100 км	EU 4,5/7,3	EU 8/14,6	EU 5,9/8,8	(Ed.) 11/26	
13 Октановое число топлива, RON	дизель	95	дизель	95	
14 Емкость топливного бака, л	50	61	60	90	
15 Рабочий объем двигателя, см ³	1910	1995	1929	3217	
16 Диаметр цилиндра/ход поршня, мм	82/90,4	84/90	82,6/90	80/80	
17 Степень сжатия	18,45	8	19,2	8	
18 Удельная мощность, кВт/л	40,3	71,2	34,2	84,2	
19 Тип двигателя	q4R	4R4Ve	4R	8V4Ve	
20 Система питания	EP/CR-T-Ic	EI	EP/V	EI-2TIC	
21 Генератор (14 В), А	75	70	70	105	
22 Аккумулятор (12 B), А·ч	60	55	60	60	
23 Расположение двигателя/привода	v	v	v	h-ASR	
24 Передаточное 1/2 передача	3,91/2,24	3,8/2,24	3,91/2,24	4,22/2,51	
число 3/4 передача	1,44/1,03	1,52/1,16	1,44/1,03	1,67/1,23	
5 передача	0,77	0,81	0,79	1/0,83	
25 Главная передача	3,05	3,56	3,17	3,23	
26 Количество передач, М (А)	5	5	5	6(4)	
27 Охлаждение	6,1	8,5	8,8	14	
28 Длина автомобиля, мм	4190	4010	4345	4510	
29 Ширина автомобиля, мм	1740	1760	1700	1820	
30 Высота автомобиля, мм	1410	1760	1450	1310	
31 База автомобиля, мм	2540	2540	2540	2660	
32 Колея, передняя/задняя, мм	1460/1460	1485/1415	1435/M15	1525/1540	
33 Диаметр поворота, м	10,4	11,6	11,4	11,5	
34 Величина дорожного просвета, мм	150	150	150	120	
35 Подвеска колес, передняя				DDQJ-Sf-Ku-Td	
36 Подвеска колес, передния	LI-Sf-Ku-Td	Li-Sf-Ku-Td	Li-Sf-Ku-Td	DDQI-Sf-Ku-Td	
37 Шины	175/65 R 14	215/45 R 16	185/60 R 14	1)	
38 Тормозная система	Sb-Tb	4Sb-ABS	4Sb-ABS	4Sb-ABS	
1) — тапа жихи 225/40 В 10 го			TOU-ADS	TOU-ADS	

^{1) -} передние 235/40 R18; задние 265/35 R18 *-Комментарии и расшифровка сокращений см. с. 132-135

		2		
яиноп Р.				
Honda				
Logo 1.3i	Civic	Odyssey 3.5i	HR-V 1.6i	
	Aerodeck 1.5i			
5/3 Li 5	5KO5	5 GIi 7	3Ge4	
48 (65)	84(114)	157(213)	77 (105)	
5000	6500	5200	6200	
108	134	310	135	
2500	5200	4300	3400	
152	190	>190	165	
14,5	11,5	-	11,2	
940	1135	1910	1125	
1365	1610		1530	
19,2	13,1	12,2	14,6	
	EU 5,7/8,8	(Ed.) 9/13,1	EU 7,2/9,9	
95	95	95	95	
40	55	75	55	
1343	1493	3471	1590	
75/76	75/84,5	89/93	75/90	
9,2	· · · · · · · · · · · · · · · · · · ·	9,4	9,6	
	,	· · · · · · · · · · · · · · · · · · ·	48,4	
		6V4Ve	q4R4Ve	
EI	EI	EI	EI	
70	70/75	95	75	
36	36/55	52	20/45	
v	v	V	aa(v)	
3,23/1,78	3 25/1 78	2,43/1,37	3,5/1,96	
1,25/0,94	1 25/0,94		1,34/1,07	
	· ·		0,87	
		3,94	4,56	
	· ·	,	5 (CVT)	
4.8	4,8	7	4,8	
3785	4425	5110	4010	
1645	1695	1920	1695	
	1440	1730	1590	
2360	2620	3000	2350	
1425/1400	1480/1490	1680/1680	1470/1455	
10,2	11,0	11,5	10,8	
140	150	160	190	
QI-F	DDQI-Sf	DQI-QI-Sf-Ku-Td	DQI-F-Sf-Ku-Td	
VIa-Sf-Ku-Td	QI-LI-Sf	QI-LI-Sf-Ku-Td	-	
175/70 R13	175/70 R 13	215/65 R-16	195/70 R 15	
Sb-Tb	Sb-Tb	Sb-Tb-ABS	Sb-Tb-ABS	
	5/3 Li 5 48 (65) 5000 108 2500 152 14,5 940 1365 19,2 EU 5,5/7,8 95 40 1343 75/76 9,2 35,7 q4R EI 70 36 v 3,23/1,78 1,25/0,94 0,77 4,06 5(3) 4.8 3785 1645 1520 2360 1425/1400 10,2 140 QI-F VIa-Sf-Ku-Td 175/70 R13	Logo 1.3i	Япония Honda Logo 1.3i Civic Aerodeck 1.5i Odyssey 3.5i 5/3 Li 5 5KO5 5 Gli 7 48 (65) 84(114) 157(213) 5000 6500 5200 108 134 310 2500 5200 4300 152 190 >190 14,5 11,5 - 940 1135 1910 1365 1610 19,2 13,1 12,2 EU 5,5/7,8 EU 5,7/8,8 (Ed.) 9/13,1 95 95 95 40 55 75 1343 1493 3471 75/76 75/84,5 89/93 9,2 9,6 9,4 35,7 56,2 45,2 q4R q 4 R 4Ve 6V4Ve EI EI EI 70 70/75 95 36 36/55 52 v v	

^{*-}Комментарии и расшифровка сокращений см. с. 132-135

1	2				
1 Страна	яиноп К				
2 Изготовитель автомобиля	Lexus		Mazda		
3 Модель	GS 300 3.0i	Demio 1.3i	323P 1.5i	626 Wagon	
				2.0i	
4 Тип кузова	4 Li 5	5 Ko 5	3 Li 5	5Ko5	
5 Эффективная мощность, кВт (л. с.)	163 (222)	53 (72)	65 (88)	100(136)	
при частоте вращения	5800	5500	5500	5800	
коленчатого вала, мин ⁻¹					
6 Макс. крутящий момент, Нм	298	105	132	181	
при частоте вращения	3800	3500	4000	4500	
коленчатого вала, мин ⁻¹					
7 Максимальная скорость, км/ч	230	158	173	202	
8 Разгон от 0 до 100 км/ч, с	8,2	13,2	11,8	10,5	
9 Снаряженная масса, кг	1665	950	1010	1305	
10 Полная масса, кг	2120	1450	1540	1850	
11 Масса на ед. мощности, кг/кВт	10,2	17,9	16,5	11,8	
12 Расход топлива, л/100 км	EU 8,8/16	EU 6/8.7	EU 6,3/9,7	EU 6,7/10,9	
13 Октановое число топлива, RON	-	95	95	95	
14 Емкость топливного бака, л	75	43	50	64	
15 Рабочий объем двигателя, см ³	2997	1324	1498	1991	
16 Диаметр цилиндра/ход поршня, мм	86/86	71/83,6	78/78,4	83/92	
17 Степень сжатия	10,5	9,4	9,4	9,7	
18 Удельная мощность, кВт/л	56,1	40	43,4	50,2	
19 Тип двигателя	6R4Ve	q 4 R 4Ve	q 4 R 4Ve	q4R4Ve	
20 Система питания	EI	EI	EI	L-Jetronic	
21 Генератор (14 В), А	60	70	70	80	
22 Аккумулятор (12 B), А·ч	60	50	40	55/75	
23 Расположение двигателя/привода	h-ASR	v	V	v	
24 Передаточное 1/2 передача	3,36/2,18	3,42/1,84	3,42/1,84	3,31/1,83	
число 3/4 передача	1,43/1	1,29/0,97	1,29/0,97	1,31/0,97	
5 передача	0,75	0,82	0,78	0,76	
25 Главная передача	3,62	3(85	4,11	4,11	
26 Количество передач, М (А)	(5)	5(3)	5(4)	5(4)	
27 Охлаждение	8,4	3	6	7	
28 Длина автомобиля, мм	4810	3810	4035	4660	
29 Ширина автомобиля, мм	1800	1670	1695	1710	
30 Высота автомобиля, мм	1450	1540	1410	1520	
31 База автомобиля, мм	2800	2390	2505	2670	
32 Колея, передняя/задняя, мм	1535/1510	1420/1420	1460/1460	1480/1470	
33 Диаметр поворота, м	11,0	9,4	9,8	10,8	
34 Величина дорожного просвета, мм	150	150	140	160	
35 Подвеска колес, передняя	DDQI-Sf-Ku-Td	QI-F-Ku-Td	DQI-F-Ku-Td	DQI-F-Ku	
36 Подвеска колес, задняя	DQI-QI-SI-Sf-Ku-Td	VIa-Sf-Td	QI-LI-F-Ku-Td	QI-LI-Sf-Ku	
37 Шины	225/55 R 16	65/70 R 13	175/65 R 14	185/65 R 14	
38 Тормозная система	4Sb-ABS	Sb-Tb	Sb-Tb	4Sb-ABS	

^{*-}Комментарии и расшифровка сокращений см. с. 132-135

1	2				
1 Страна	RинопR				
2 Изготовитель автомобиля	Mit	Subaru (FHI)			
3 Модель	Carisma1.8	Space Star	Almera 1.4i	Subaru	
	GDI	1.3i		Legacy 2.0i	
4 Тип кузова	4/5 Li 5	5 GIi 5	3/4/5 Li 5	4 Li 5	
5 Эффективная мощность, кВт (л. с.)	92 (125)	63 (86)	64(87)	92(125)	
при частоте вращения	5500	6000	6000	5600	
коленчатого вала, мин-1					
6 Макс. крутящий момент, Нм	174	117	116	184	
при частоте вращения	3750	3000	4000	3600	
коленчатого вала, мин-1					
7 Максимальная скорость, км/ч	200	170	172	188	
8 Разгон от 0 до 100 км/ч, с	10	13,4	12,6	10,8	
9 Снаряженная масса, кг	1215	1120	1035	1370	
10 Полная масса, кг	1685	1655	1545	1815	
11 Масса на ед. мощности, кг/кВт	13,2	17,8	16,2	15,7	
12 Расход топлива, л/100 км	EU 5/8,4	EU 5,6/9	EU 5,8/9,2	EU 7,7/12,3	
13 Октановое число топлива, RON	95	95	95	95	
14 Емкость топливного бака, л	60	55	50	64	
15 Рабочий объем двигателя, см ³	1834	1299	1392	1994	
16 Диаметр цилиндра/ход поршня, мм	81/99	71/82	73,6/81,8	92/75	
17 Степень сжатия	12,5	10	9,5	10	
18 Удельная мощность, кВт/л	50,2	48,5	46	46,1	
19 Тип двигателя	4R4Ve	q4R4Ve	q4R4Ve	4Bx4Ve	
20 Система питания	EId	EI	EI	EI	
21 Генератор (14 В), А	75	50/70	70	90	
22 Аккумулятор (12 B), A·ч	50	45/60	55	48	
23 Расположение двигателя/привода	V	V	V	aa	
24 Передаточное 1/2 передача	3,58/1,95	3,73/2,05	3,33/1,96	3,55/2,11	
число 3/4 передача	1,27/0,97	1,32/0,97	1,29/0,9	1,45/1,09	
5 передача	0,77	0,79	0,73	0,87	
25 Главная передача	3,72	4,21	4,17	3,9	
26 Количество передач, М (А)	5(4)	5	5	5(4)	
27 Охлаждение	6	5	4	6	
28 Длина автомобиля, мм	4435	4030	4120	4600	
29 Ширина автомобиля, мм	1695	1700	1690	1700	
30 Высота автомобиля, мм	1400	1520	1390	1410	
31 База автомобиля, мм	2550	2500	2535	2650	
32 Колея, передняя/задняя, мм	1455/1475	1475/1470	1470/1435	1460/1455	
33 Диаметр поворота, м	11,2	9,6	10,4	11,1	
34 Величина дорожного просвета, мм	150	150	140	160	
35 Подвеска колес, передняя	DQI-F-Ku	DQI-F-Ku-Td	DQI-F-Sf-Td	DQI-F-Sf-Ku-Td	
36 Подвеска колес, задняя	QI-LI-Sf	~	Ta-LI-QI-Sf-Ku-Td	Ma-Sf-Ku-Td	
37 Шины	175/65 R 14	175/65 R 14	175/70 R 13	195/60 R 15	
38 Тормозная система	4Sb	Sb-Tb	Sb-Tb	4Sb-ABS	
* Konneuranuu u nacuuudn	l .				

^{*-}Комментарии и расшифровка сокращений см. с. 132-135

1	2				
1 Страна	Риноп R				
2 Изготовитель автомобиля	Suzuki Toyota				
3 Модель	X-90 1.6i	Yaris 1.0i	Avensis 2.0 TD-CR	Picnic 2.0i	
4 Тип кузова	2Ge2	5 Li 5	4/5 Li 5	5 GIi6	
5 Эффективная мощность, кВт (л. с.)	71 (97)	50 (68)	82(112)	94(128)	
при частоте вращения	5600	6000	4000	5400	
коленчатого вала, мин-1					
6 Макс. крутящий момент, Нм	132	90	250	178	
при частоте вращения	4000	4100	2500	4400	
коленчатого вала, мин-1					
7 Максимальная скорость, км/ч	150	156	180	180	
8 Разгон от 0 до 100 км/ч, с	-	12	12	10,8	
9 Снаряженная масса, кг	1100	820	1280	1335	
10 Полная масса, кг	1360	-	1830	2010	
11 Масса на ед. мощности, кг/кВт	15,6	16,4	18,1	14,2	
12 Расход топлива, л/100 км	EU 6,7/9,8	(Ed.) 5/8	EU 5,2/8,5	EU 7,4/12,3	
13 Октановое число топлива, RON	95	95	дизель	95	
14 Емкость топливного бака, л	42	45	62	60	
15 Рабочий объем двигателя, см ³	1590	998	1975	1998	
16 Диаметр цилиндра/ход поршня, мм	75/90	69/66,7	86/85	86/86	
17 Степень сжатия	9,5	10	23	9,5	
18 Удельная мощность, кВт/л	44,7	50,1	33,4	47	
19 Тип двигателя	4R4Ve	q 4 R 4Ve	4R	4R4Ve	
20 Система питания	EI	EI	EP/CR-T-Ic	EI	
21 Генератор (14 В), А	70	70	70	80	
22 Аккумулятор (12 B), A·ч	48	50	80	60	
23 Расположение двигателя/привода	aa	v	v	v	
24 Передаточное 1/2 передача	3,65/1,95	3,55/1,91	3,54/2,04	3,54/2,04	
число 3/4 передача	1,38/1	1,31/0,97	1,32/0,95	1,32/1,03	
5 передача	0,8	0,8	0,73	0,82	
25 Главная передача	4,3	3,94	3,74	3,94	
26 Количество передач, М (А)	5(4)	5(4)	5	5(4)	
27 Охлаждение	5,3	5	6,9	6,7	
28 Длина автомобиля, мм	3710	3610	4490	4530	
29 Ширина автомобиля, мм	1695	1660	1710	1695	
30 Высота автомобиля, мм	1560	1500	1430	1620	
31 База автомобиля, мм	2200	2370	2630	2735	
32 Колея, передняя/задняя, мм	1425/1430	1450/1430	1480/1450	1470/1450	
33 Диаметр поворота, м	9,8	9,8	11,6	11,0	
34 Величина дорожного просвета, мм	170	_	140	150	
35 Подвеска колес, передняя	DQI-Db-Sf- Ku-Td	DQI-F-Sf-Td	DQI-F-Ku-Td	DQI-F-Sf-Ku-Td	
36 Подвеска колес, задняя	Sa-LI-Sf-Td	VIa-Sf-Td	DQu-LI-Ku-Td	VIa-LI-Sf-Ku-Td	
37 Шины	195/65 R 15	175/65 R 14	`	195/65 R 14	
38 Тормозная система	Sb-Tb-ABS	Sb-Tb	Sb-Tb-ABS	Sb-Tb-ABS	
	1	122 1	l .	1	

^{*-}Комментарии и расшифровка сокращений см. с. 132-135

1	2				
1 Страна	Корея				
2 Изготовитель автомобиля	D	aewoo	Hyundai	Kia	
3 Модель	Matiz 0.8i	Lanos 1.3i	Atos 1.0i	CamivaI 2.5i	
4 Тип кузова	5 Li 5	4/3/5 Li 5	5Mv5	5 GIi 5-7	
5 Эффективная мощность, кВт (л. с.)	38(52)	55(75)	41 (56)	121 (165)	
при частоте вращения	5900	5400	5500	5500	
коленчатого вала, мин-1					
6 Макс. крутящий момент, Нм	69	113	82	222	
при частоте вращения	4600	3400	3100	4100	
коленчатого вала, мин-1					
7 Максимальная скорость, км/ч	144	170	142	185	
8 Разгон от 0 до 100 км/ч, с	17	15	15,1	-	
9 Снаряженная масса, кг	725	1005	820	1735	
10 Полная масса, кг	1210	1595	1220	2425	
11 Масса на ед. мощности, кг/кВт	19,1	18,3	20	14,3	
12 Расход топлива, л/100 км	EU 5,2/8,4	EU 5,9/11,4	EU 5,4/8	EU 8,9/15,3	
13 Октановое число топлива, RON	95	91	95	95	
14 Емкость топливного бака, л	35	48	35	75	
15 Рабочий объем двигателя, см ³	796	1349	999	2497	
16 Диаметр цилиндра/ход поршня, мм	86,5/72	76,5/73,4	76/73	80/82,8	
17 Степень сжатия	9,3	9,5	9,5	10,5	
18 Удельная мощность, кВт/л	47,7	40,8	41	48,5	
19 Тип двигателя	q3R	q4R	q4R3Ve	q6V4Ve	
20 Система питания	EI	EI	EI	EI	
21 Генератор (14 В), А	65	75/100	60	80	
22 Аккумулятор (12 B), A·ч	35	46/55	40/45	54	
23 Расположение двигателя/привода	V	V	V	V	
24 Передаточное 1/2 передача	3,82/2,21	3,55/2.05	3,54/1,95	3,75/1,95	
число 3/4 передача	1,42/1,03	1,35/0,97	1,31/0,92	1,3/0,94	
5 передача	0,84	0,76	0,78	0,75	
25 Главная передача	4,44	4,18	4,53	4.31	
26 Количество передач, М (А)	5	5	5(3)	5(4)	
27 Охлаждение	3,8	7	6	8	
28 Длина автомобиля, мм	3595	4235	3495	4890	
29 Ширина автомобиля, мм	1495	1680	1495	1895	
30 Высота автомобиля, мм	1480	1430	1610	1730	
31 База автомобиля, мм	2340	2520	2380	2905	
32 Колея, передняя/задняя, мм	1315/1280	1405/1425	1315/1300	1625/1600	
33 Диаметр поворота, м	9,0	9,8	9,1	13,0	
34 Величина дорожного просвета, мм	140	160	160	170	
35 Подвеска колес, передняя	QI-F-Sf-Td	QI-LI-F-Sf-Ku-Td	QI-F-Sf-Ku-Td	QI-F-Ku-Td	
36 Подвеска колес, задняя	Vla-LI-Sf-Td	VIa-LI-Sf-Ku-Td	~	Sa-P-LI-Sf-Ku-Td	
37 Шины	145/70 R 13	155 R 13	155/70 R 13	205/70 R 15	
38 Тормозная система	Sb-Tb	Sb-Tb	Sb-Tb-ABS	Sb-Tb	
1		20 10 20 10 120 1			

^{*-}Комментарии и расшифровка сокращений см. с. 132-135

1			2		
1 Страна	Швеция				
2 Изготовитель автомобиля	\$	Saab	VoIv	0	
3 Модель	9-3 2.2TD	9-5 2.0i Turbo	V40 1.9 TDI	S70 2.0i	
4 Тип кузова	3/5 Li 5	4Li 5	5 Ko 5	4 Li 5	
5 Эффективная мощность, кВт (л. с.)	85(116)	110(150)	70 (95)	93(126)	
при частоте вращения	4300	5500	5000	6250	
коленчатого вала, мин-1					
6 Макс. крутящий момент, Нм	260	215	190	170	
при частоте вращения	1900	2500	2000	4800	
коленчатого вала, мин-1					
7 Максимальная скорость, км/ч	200	215	180	195	
8 Разгон от 0 до 100 км/ч, с	10,9	9,8	12,5	11,7	
9 Снаряженная масса, кг	1350	1485	1250	1430	
10 Полная масса, кг	1910	-	1790	1890	
11 Масса на ед. мощности, кг/кВт	15,9	13,5	14,4	15,4	
12 Расход топлива, л/100 км	EU 4,6/8,9	EU 7,2/13,5	5,2/6,3/8,3	EU 8,1/13,4	
13 Октановое число топлива, RON	дизель	95	дизель	95	
14 Емкость топливного бака, л	68	75	60	70	
15 Рабочий объем двигателя, см ³	2172	1985	1870	1984	
16 Диаметр цилиндра/ход поршня, мм	84/98	90/78	80/93	81/77	
17 Степень сжатия	19,5	9,3	20,5	10	
18 Удельная мощность, кВт/л	39,1	55,4	35,3	46,9	
19 Тип двигателя	4R4Ve	q 4 R 4Ve	4R	p5R	
20 Система питания	EP/eV-T-Ic	Ze-T	EP/V-T	EI	
21 Генератор (14 В), А	120	90/130	80	100	
22 Аккумулятор (12 B), A·ч	85	60	72	520 A	
23 Расположение двигателя/привода	V	V	V	V	
24 Передаточное 1/2 передача	3,38/1,76	3,38/1,76	3,61/1,86	3,07/1,77	
число 3/4 передача	1,12/0,89	1,18/0,89	1,32/0,97	1,19/0,87	
5 передача	0,7	0,66	0,76	0,7	
25 Главная передача	4,45	4,05	3,44	4,45	
26 Количество передач, М (А)	5(4)	5(4)	5(4)	5(4)	
27 Охлаждение	10	9	7,4	7,2	
28 Длина автомобиля, мм	4630	4810	4480	4720	
29 Ширина автомобиля, мм	1710	1790	1720	1760	
30 Высота автомобиля, мм	1430	1450	1390	1400	
31 База автомобиля, мм	2600	2705	2550	2660	
32 Колея, передняя/задняя, мм	1450/1440	1520/1520	1450/1470	1520/1470	
33 Диаметр поворота, м	11,1	10,8	10,6	10,2	
34 Величина дорожного просвета, мм	140	-	150	140	
35 Подвеска колес, передняя	DQI-F-Ku	DQI-F-Sf-Ku-Td	~	DQI-F-Ku	
36 Подвеска колес, задняя	VIa-Sf-Ku-Td	DQu-LI-Sf-Ku-Td	QI-LI-ZI-Sf-Ku-Td		
37 Шины	185/65 HR 15	205/65 R 15	195/55 VR 15	185/65 R 15	
38 Тормозная система	4Sb-ABS	4Sb-A6S	4Sb-ABS	4Sb-ABS	

^{*-}Комментарии и расшифровка сокращений см. с. 132-135

1			2	
1 Страна		Испания		Чехия
2 Изготовитель автомобиля		Seat		Skoda
3 Модель	Arosa 1.0i	Arosa 1.7	Ibiza 1,9 TDI	Octavia 1.8 T
		SDI		
4 Тип кузова	3 Li 5	3Li 5	5/3 Li 5	5 Ko 5
5 Эффективная мощность, кВт (л. с.)	37(50)	44(60)	81(110)	110(150)
при частоте вращения	5000	4200	4000	5700
коленчатого вала, мин-1				
6 Макс. крутящий момент, Нм	86	115	235	210
при частоте вращения	3000	2200	1900	1750
коленчатого вала, мин-1				
7 Максимальная скорость, км/ч	151	157	193	216
8 Разгон от 0 до 100 км/ч, с	17,4	16,8	10,2	9,1
9 Снаряженная масса, кг	865	960	1060	1315
10 Полная масса, кг	1265	1360	1520	1830
11 Масса на ед. мощности, кг/кВт	23,4	21,8	13	11,8
12 Расход топлива, л/100 км	EU 4,7/7,5	EU 3,6/5,9	EU 3,9/6,4	EU 6,2/10,9
13 Октановое число топлива, RON	95	дизель	дизель	95
14 Емкость топливного бака, л	34	34	45	55
15 Рабочий объем двигателя, см ³	999	1716	1896	1781
16 Диаметр цилиндра/ход поршня, мм	67,1/70,6	79,5/86,4	79,5/95,5	81/86,4
17 Степень сжатия	10,5	19,5	19,5	9,5
18 Удельная мощность, кВт/л	37	25,6	42,7	61,7
19 Тип двигателя	4R	4R	q4R	q 4 R 5Ve
20 Система питания	Motronic	EP/eV	EP/eV-T-Ic	Motronic-T-Ic
21 Генератор (14 В), А	70	70	90	70/90
22 Аккумулятор (12 B), A·ч	36	61	61	44/60
23 Расположение двигателя/привода	v	V	V	V
24 Передаточное 1/2 передача	3,46/2,1	3,46/1,96	3,78/2,06	3,3/1,94
число 3/4 передача	1,45/1,1	1,25/0,93	1,35/0,97	1,31/1,03
5 передача	0,89	0,74	0,74	0,84
25 Главная передача	4,06	3,33	3,3	3,68
26 Количество передач, М (А)	5	5	5	5
27 Охлаждение	6	6	6,5	6,3
28 Длина автомобиля, мм	3535	3535	3855	4510
29 Ширина автомобиля, мм	1640	1340	1640	1730
30 Высота автомобиля, мм	1460	1460	1420	1430
31 База автомобиля, мм	2325	2325	2445	2510
32 Колея, передняя/задняя, мм	1370/1400	1370/1400	1430/1395	1515/1490
33 Диаметр поворота, м	9,8	9,8	10,4	10,8
34 Величина дорожного просвета, мм	110	110	150	140
35 Подвеска колес, передняя	DQI-F-Td	DQI-F-Td	DQI-F-Td	DQI-F-Sf-Ku-Td
36 Подвеска колес, задняя	VIa-Sf-Td	VIa-Sf-Td	VIa-Sf-Td	VIa-LI-Sf-Ku-Td
37 Шины	155/70 R 13	155/70 R 13	185/55 R 15	175 R 14
38 Тормозная система	Sb-Tb	Sb-Tb	4Sb	4Sb-ABS
*-Комментарии и расшифр				

^{*-}Комментарии и расшифровка сокращений см. с. 132-135

1	2				
1 Страна	США				
2 Изготовитель автомобиля	Cadillac	Chevrolet	Chr	ysler	
3 Модель	Catera 3.0i	Impala 3.4i	Stratus 2.5i	Sebring 2.0i	
4 Тип кузова	4 Li 5	4 Li 5-6	4 Li 5	2 Co 5	
5 Эффективная мощность, кВт (л. с.)	149(203)	134(182)	120 (163)	104(141)	
при частоте вращения	6000	6000	5850	6000	
коленчатого вала, мин-1					
6 Макс. крутящий момент, Нм	260	279	214	177	
при частоте вращения	3600	4000	4400	4800	
коленчатого вала, мин-1					
7 Максимальная скорость, км/ч	200	> 180	210	200	
8 Разгон от 0 до 100 км/ч, с	8,5	10	10,5	11	
9 Снаряженная масса, кг	1710	1540	1435	1335	
10 Полная масса, кг	-	-	1930	_	
11 Масса на ед. мощности, кг/кВт	11,5	11,5	12,2	12,8	
12 Расход топлива, л/100 км	EPA 9,4/13,1	(Ed.) 9/15	EU 7,1/15,1	(Ed.) 8/12	
13 Октановое число топлива, RON	95	91	95	91	
14 Емкость топливного бака, л	60	64,5	60	64	
15 Рабочий объем двигателя, см ³	2962	3350	2497	1996	
16 Диаметр цилиндра/ход поршня, мм	86/85	92/84	83,5/76	87,5/83	
17 Степень сжатия	10	9,5	9,4	9,6	
18 Удельная мощность, кВт/л	50,3	40	48,1	52,1	
19 Тип двигателя	6V4Ve	q6V	q6V4Ve	q 4 R 4Ve	
20 Система питания	Motronic	EI	EI	EI	
21 Генератор (14 В), А	120	105/140	90	90	
22 Аккумулятор (12 B), A·ч	300 A	54	60	430 A	
23 Расположение двигателя/привода	h-ASR	v-ASR	V	V	
24 Передаточное 1/2 передача	2,86/1,62	2,92/1,57	2,84/1,57	3,54/2,13	
число 3/4 передача	1/0,72	1/0,71	1/0,69	1,36/1,03	
5 передача				0,81	
25 Главная передача	3,9	3,29	3,91	3,94	
26 Количество передач, М (А)	(4)	(4)	(4)	5(4)	
27 Охлаждение	10	11,2	10	7	
28 Длина автомобиля, мм	4930	5080	4750	4850	
29 Ширина автомобиля, мм	1790	1855	1820	1770	
30 Высота автомобиля, мм	1430	1460	1380	1340	
31 База автомобиля, мм	2730	2805	2740	2635	
32 Колея, передняя/задняя, мм	1505/1520	1575/1555	1530/1530	1510/1505	
33 Диаметр поворота, м	11,0	11,5	11,8	12,2	
34 Величина дорожного просвета, мм	130	120	140	140	
35 Подвеска колес, передняя	DQI-F-Ku-Td	DQI-F-Sf-Ku-Td	DDQI-Sf-Ku-Td	DDQI-Sf-Ku-Td	
36 Подвеска колес, задняя	~	QI-LI-F-Sf-Ku-Td		Ea-DQI-QI-LI-Sf-Ku-Td	
37 Шины	225/55 R 16	225/60 R 16	185/65 R 15	195/70 HR 14	
38 Тормозная система	4SD-ABS	4SD-ABS	4Sb	Sb-Tb	

^{*-}Комментарии и расшифровка сокращений см. с. 132-135

З Модель Caravan 2.4i Windstar 3.8i Continental 4.6i Voyage 4.6i 4 Тип кузова 5 GIi 5-8 4 GIi 5-7 4 Li 5-6 5 C 5 Эффективная мощность, кВт (л. с.) при частоте вращения коленчатого вала, мин-1 5200 4900 5750 52 6 Макс. крутящий момент, Нм при частоте вращения коленчатого вала, мин-1 226 326 373 2 7 Максимальная скорость, км/ч 8 Разгон от 0 до 100 км/ч, с 170 > 175 215 1 9 Снаряженная масса, кг 1595 1690 1760 16 10 Полная масса, кг 14,2 11,3 8,6 14 12 Расход топлива, л/100 км EPA 9,4/11,8 EPA 10,2/13,8 EPA 9,8/13,8 EPA 9 13 Октановое число топлива, RON - 91 - 8 15 Рабочий объем двигателя, см³ 2429 3797 4601 29 16 Диаметр цилиндра/ход поршня, мм 87,5/101 96,8/86 90,2/90 91,	nouth ger 3.0i
2 Изготовитель автомобиля Dodge Ford Lincoln Plyn 3 Модель Caravan 2.4i Windstar 3.8i Continental 4.6i Voyage 4.6i 4 Тип кузова 5 GIi 5-8 4 GIi 5-7 4 Li 5-6 5 C 5 Эффективная мощность, кВт (л. с.) 112(152) 149 (203) 205 (279) 1120 при частоте вращения коленчатого вала, мин-1 5200 4900 5750 52 6 Макс. крутящий момент, Нм при частоте вращения коленчатого вала, мин-1 226 326 373 2 7 Максимальная скорость, км/ч 170 > 175 215 1 8 Разгон от 0 до 100 км/ч, с - - - - 9 Снаряженная масса, кг 1595 1690 1760 16 10 Полная масса, кг - 2440 - 11 Масса на ед. мощности, кг/кВт 14,2 11,3 8,6 14 12 Расход топлива, л/100 км EPA 9,4/11,8 EPA 10,2/13,8 EPA 9,8/13,8 EPA 9 13 Октановое число топлива, RON - 91 - 8	ger 3.0i GIi 7 (152)
З Модель Сагаvan 2.4i Windstar 3.8i Continental 4.6i Voyage 4.6i 4 Тип кузова 5 GIi 5-8 4 GIi 5-7 4 Li 5-6 5 C 5 Эффективная мощность, кВт (л. с.) при частоте вращения коленчатого вала, мин-1 5200 4900 5750 52 6 Макс. крутящий момент, Нм при частоте вращения коленчатого вала, мин-1 226 326 373 2 7 Максимальная скорость, км/ч 8 Разгон от 0 до 100 км/ч, с 170 > 175 215 1 9 Снаряженная масса, кг 1595 1690 1760 16 10 Полная масса, кг 14,2 11,3 8,6 14 12 Расход топлива, л/100 км EPA 9,4/11,8 EPA 10,2/13,8 EPA 9,8/13,8 EPA 9 13 Октановое число топлива, RON - 91 - 8 15 Рабочий объем двигателя, см³ 2429 3797 4601 29 16 Диаметр цилиндра/ход поршня, мм 87,5/101 96,8/86 90,2/90 91,	ger 3.0i GIi 7 (152)
4 Тип кузова 5 GIi 5-8 4 GIi 5-7 4 Li 5-6 5 C 5 Эффективная мощность, кВт (л. с.) 112(152) 149 (203) 205 (279) 112(152) при частоте вращения коленчатого вала, мин-1 5200 4900 5750 52 6 Макс. крутящий момент, Нм при частоте вращения коленчатого вала, мин-1 226 326 373 2 7 Максимальная скорость, км/ч коленчатого вала, мин-1 170 > 175 215 1 8 Разгон от 0 до 100 км/ч, с разгон от 100 км/ч,	GIi 7 (152)
4 Тип кузова 5 GIi 5-8 4 GIi 5-7 4 Li 5-6 5 C 5 Эффективная мощность, кВт (л. с.) 112(152) 149 (203) 205 (279) 112(152) при частоте вращения 5200 4900 5750 52 коленчатого вала, мин ⁻¹ 226 326 373 2 при частоте вращения 4000 3600 4750 40 коленчатого вала, мин ⁻¹ 170 > 175 215 1 8 Разгон от 0 до 100 км/ч, с - - - - 9 Снаряженная масса, кг 1595 1690 1760 16 10 Полная масса, кг - 2440 - 11 Масса на ед. мощности, кг/кВт 14,2 11,3 8,6 14 12 Расход топлива, л/100 км EPA 9,4/11,8 EPA 10,2/13,8 EPA 9,8/13,8 EPA 9 13 Октановое число топлива, RON - 91 - 8 15 Рабочий объем двигателя, см³ 2429 3797 4601 29 16 Диаметр цилиндра/ход поршня, мм 87,5/101 96,8/8	(152)
5 Эффективная мощность, кВт (л. с.) 112(152) 149 (203) 205 (279) 112(152) при частоте вращения коленчатого вала, мин-1 5200 4900 5750 52 6 Макс. крутящий момент, Нм при частоте вращения коленчатого вала, мин-1 226 326 373 2 7 Максимальная скорость, км/ч 8 Разгон от 0 до 100 км/ч, с 9 Снаряженная масса, кг 1595 1690 1760 16 10 Полная масса, кг 11 Масса на ед. мощности, кг/кВт 12 Расход топлива, л/100 км 13 Октановое число топлива, RON 14 Емкость топливного бака, л 75 14 Емкость топливного бака, л 75 95 76 77 15 Рабочий объем двигателя, см³ 16 Диаметр цилиндра/ход поршня, мм 17,5/101 96,8/86 90,2/90 91,	
при частоте вращения коленчатого вала, мин-1 6 Макс. крутящий момент, Нм разгон от 0 до 100 км/ч, с р	
коленчатого вала, мин ⁻¹ 6 Макс. крутящий момент, Нм при частоте вращения коленчатого вала, мин ⁻¹ 7 Максимальная скорость, км/ч 8 Разгон от 0 до 100 км/ч, с 9 Снаряженная масса, кг 10 Полная масса, кг 11 Масса на ед. мощности, кг/кВт 12 Расход топлива, л/100 км 13 Октановое число топлива, RON 14 Емкость топливного бака, л 15 Рабочий объем двигателя, см ³ 16 Диаметр цилиндра/ход поршня, мм 17 226 326 326 373 240 375 170 170 170 170 170 170 170 170 170 170	200
6 Макс. крутящий момент, Нм при частоте вращения коленчатого вала, мин ⁻¹ 7 Максимальная скорость, км/ч 170 > 175 215 1 8 Разгон от 0 до 100 км/ч, с	
при частоте вращения коленчатого вала, мин ⁻¹ 7 Максимальная скорость, км/ч 8 Разгон от 0 до 100 км/ч, с 9 Снаряженная масса, кг 10 Полная масса, кг 11 Масса на ед. мощности, кг/кВт 12 Расход топлива, л/100 км 13 Октановое число топлива, RON 14 Емкость топливного бака, л 15 Рабочий объем двигателя, см ³ 16 Диаметр цилиндра/ход поршня, мм 170 > 175 215 16 170 > 175 215 16 16 16 16 16 176 176 176 18 18 19 11 170 > 175 16 18 190 176 176 176 18 191 191 192 193 194 191 196 198 190 191 196 198 190 191 196 191 196 198 190 191 191 190 191 190 191 190 190 190	39
коленчатого вала, мин ⁻¹ 7 Максимальная скорость, км/ч 8 Разгон от 0 до 100 км/ч, с 9 Снаряженная масса, кг 1595 1690 1760 1600 1600 1760 1600 1760 1600 1760 1600 1760 1600 1760 1600 1760 1600 1760 1600 1760 1600 1760 1600 1760 1600 1760 1600 1760 1600 1760 1600 1760 1600 1760 1600 1760 1600 1760 176	000
7 Максимальная скорость, км/ч 8 Разгон от 0 до 100 км/ч, с 9 Снаряженная масса, кг 1595 1690 1760 16 10 Полная масса, кг 1 1 Масса на ед. мощности, кг/кВт 12 Расход топлива, л/100 км 13 Октановое число топлива, RON 14 Емкость топливного бака, л 15 Рабочий объем двигателя, см³ 16 Диаметр цилиндра/ход поршня, мм 170 > 175 1690 1760 1760 1760 1760 1760 1760 1760 176	
8 Разгон от 0 до 100 км/ч, с - - - - - - - - 1690 1760 16 17 16 17 16 17 16 17 16	75
10 Полная масса, кг - 2440 - 14 11 Масса на ед. мощности, кг/кВт 14,2 11,3 8,6 14 12 Расход топлива, л/100 км EPA 9,4/11,8 EPA 10,2/13,8 EPA 9,8/13,8 EPA 9 13 Октановое число топлива, RON - 91 - 8 14 Емкость топливного бака, л 75 95 76 7 15 Рабочий объем двигателя, см³ 2429 3797 4601 29 16 Диаметр цилиндра/ход поршня, мм 87,5/101 96,8/86 90,2/90 91,	_
10 Полная масса, кг - 2440 - - 11 Масса на ед. мощности, кг/кВт 14,2 11,3 8,6 14 12 Расход топлива, л/100 км EPA 9,4/11,8 EPA 10,2/13,8 EPA 9,8/13,8 EPA 9 13 Октановое число топлива, RON - 91 - 8 14 Емкость топливного бака, л 75 95 76 7 15 Рабочий объем двигателя, см³ 2429 3797 4601 29 16 Диаметр цилиндра/ход поршня, мм 87,5/101 96,8/86 90,2/90 91,	505
12 Расход топлива, л/100 км EPA 9,4/11,8 EPA 10,2/13,8 EPA 9,8/13,8 EPA 9 13 Октановое число топлива, RON - 91 - 8 14 Емкость топливного бака, л 75 95 76 7 15 Рабочий объем двигателя, см³ 2429 3797 4601 29 16 Диаметр цилиндра/ход поршня, мм 87,5/101 96,8/86 90,2/90 91,	_
12 Расход топлива, л/100 км EPA 9,4/11,8 EPA 10,2/13,8 EPA 9,8/13,8 EPA 9 13 Октановое число топлива, RON - 91 - 8 14 Емкость топливного бака, л 75 95 76 7 15 Рабочий объем двигателя, см³ 2429 3797 4601 29 16 Диаметр цилиндра/ход поршня, мм 87,5/101 96,8/86 90,2/90 91,	4,3
13 Октановое число топлива, RON - 91 - 8 14 Емкость топливного бака, л 75 95 76 7 15 Рабочий объем двигателя, см³ 2429 3797 4601 29 16 Диаметр цилиндра/ход поршня, мм 87,5/101 96,8/86 90,2/90 91,	,8/12,4
15 Рабочий объем двигателя, см³ 2429 3797 4601 29 16 Диаметр цилиндра/ход поршня, мм 87,5/101 96,8/86 90,2/90 91,	37
15 Рабочий объем двигателя, см³ 2429 3797 4601 29 16 Диаметр цилиндра/ход поршня, мм 87,5/101 96,8/86 90,2/90 91,	⁷ 5
16 Диаметр цилиндра/ход поршня, мм 87,5/101 96,8/86 90,2/90 91,	72
	1/76
1	,9
	Ź,7
	śV
	EΙ
21 Генератор (14 В), A 90/120 130 130 90/	120
	0 A
100 P	V
	1,55 1
число 3/4 передача 1/0,69 1/0,69 1/0,69	
5 передача	
	19
26 Количество передач, М (А) (4/3) (4) (4)	/4)
),6
28 Длина автомобиля, мм 4740 5125 5260 47	730
	20
30 Высота автомобиля, мм 1740 1790 1420 17	740
31 База автомобиля, мм 2880 3065 2770 28	380
32 Колея, передняя/задняя, мм 1600/1630 1640/1600 1600/1560 1600	/1630
33 Диаметр поворота, м 11,5 12,3 12,5 1	
	1,5
	1,5 40
	•
	40
38 Тормозная система Sb-Tb Sb-Tb-ABS 4Sb-ABS Sb	40 -Ku-Td

^{*-}Комментарии и расшифровка сокращений см. с. 132-135

В таблице Е.2 содержатся данные по легковым автомобилям, производимым в Германии и за ее пределами. В таблице приняты следующие сокращения:

аа - привод на все колеса;

А - автоматическая коробка передач или трансмиссия;

ABS - антиблокировочная система тормозов;

ASR - противобуксовочная система;

Вх -оппозитный двигатель;

Са - кузов типа кабриолет;

Со - кузов типа купе;

Ср - компактный седан или лимузин;

Db - стойка амортизатора;

DDQI - подвеска рычажного типа с двойным рычагом;

De - подвеска типа "ДеДион";

DG - двухрычажная подвеска типа МакФерсон;

D QI - А-образный поперечный рычаг;

D Qu - два поперечных рычага;

Еа -независимая подвеска, задняя;

EBV - электронное уравновешивание тормозных сил;

EDS - электронная блокировка дифференциала;

ЕІ -электронный впрыск топлива;

Eld - электронная система непосредственного впрыска топлива;

EP/CR - топливный насос высокого давления дизельного двигателя, электронно-управляемая система Common RaiI;

EP/UIS- система электронного управления работой форсунок;

EP/V- топливный насос распределительного типа дизельного двигателя;

EP/eV -топливный насос распределительного типа дизельного двигателя, электронно-управляемый;

ESP - электронная программа устойчивости автомобиля;

F - стойка пружины;

Ge - вседорожник;

GIi - седан или мини-фургон повышенной вместимости;

h - задний привод;

Н - механическая коробка передач;

Hf - гидропневматическая подвеска;

Hv - гидрогазовая составная подвеска с заполненными азотом сильфонами;

Іс - промежуточный охладитель;

Ко - универсал (на шасси легкового автомобиля)

Кот - компрессор;

Ки - поперечный стабилизатор;

Li - седан или лимузин;

LI - продольный рычаг;

Lue - пневматическая подвеска с электронным регулированием;

Ма - многозвенный мост;

Мс - микроавтомобиль;

Mm - центральное расположение двигателя;

Mv - микрофургон;

Р - тяга Панара;

q - поперечная установка;

Qf - поперечная рессора;

QI - поперечный рычаг;

R - рядный двигатель;

Ra - многозвенный мост с независимой подвеской (5 рычагов на колесо);

Ro - родстер;

RON -октановое число по исследовательскому методу;

Sa - неразрезной мост;

Sb -дисковый тормоз;

Sf - спиральная пружина;

SI - задний диагональный рычаг;

St - бесступенчатая коробка передач;

Т - турбонагнетатель;

Та - крутильная кривошипная балка;

Тb - барабанный тормоз;

Td - телескопический амортизатор;

Tf - торсион;

ТІ - трапециевидный рычаг подвески;

v - передний привод;

V - V-образный двигатель;

Ve - клапаны на цилиндр;

VI - четырехшарнирная трапецеидальная подвеска;

VIa - крутильно-балочная ось на продольных рычагах;

VR - однорядный двигатель со смещенными цилиндрами:

Wa - тяга Уатта;

Ze - одноточечный впрыск;

ZI - вспомогательное звено;

2КЕ - две свечи зажигания на каждый цилиндр;

2TIc - два турбонагнетателя и два промежуточных охладителя;

4Sb - четырехдисковые тормоза;

- отсутствие данных.

Кроме этого для каждой модели приводятся следующие подробные сведения, соответствующие пунктам таблицы. Не приводятся (принимаются при отсутствии других данных) в пункте 16 - продольное расположение двигателя; в пункте 20 - переднее расположение двигателя; в пункте 24 - жидкостное охлаждение; в пункте 32 - передняя независимая подвеска.

4 Тип кузова

Пример: 3/5 Ко 5 обозначает трех-или пятидверный универсал с пятью сиденьями. Технические характеристики приведены для первого из указанных вариантов.

5 Эффективная мощность

Номинальная выходная мощность двигателя — в кВт/л.с. согласно DIN 70 020. Если данные DIN не приведены, то мощность необходимо уточнить по документам ЕЭК (Европейская экономическая комиссия ООН), SAE (Общество инженеров-автомобилистов) или JIS (Японский промышленный стандарт).

6 Максимальная скорость

Максимальная скорость движения (в соответствии с DIN 70 020) - та скорость, которую автомобиль может поддерживать при прохождении расстояния в 1 км.

9 Снаряженная масса автомобиля

Масса автомобиля, готового к эксплуатации, без водителя.

11 Отношение массы к мощности

Подсчитывается на основе эффективной мощности и снаряженной массы транспортного средства. Чем меньше отношение массы к мощности, тем больше величина ускорения (разгона автомобиля) и лучше способность к преодолению подъемов.

12 Расход топлива

Согласно требованиям стандарта Европейского сообщества (EU) (ступень II), введенного для новых автомобилей с 1 января 1996 г., расход топлива определяется в соответствии с новым европейский ездовым циклом (NEDC). Испытания отражают определенную степень соответствия реальным условиям дорожного движения путем включения в ездовой цикл "городского" (с пуском холодного двигателя) и "загородного" компонентов. Расход топлива также может быть установлен по данным Агенства по защите окружающей среды (ЕРА, США). Некоторые данные могли быть получены сотрудниками редакции (Ed.) или определялись согласно стандарту DIN 70030 (90 км/ч - 120 км/ч - "городской цикл").

18 Удельная выходная мощность

Отношение эффективной мощности к рабочему объему двигателя. Определяется как выходная мощность, приходящаяся на 1 л (1 кВт/л = 1,36 л. с./л).

19 Тип двигателя

Классифицируется в следующем порядке: расположение двигателя. число цилиндров, схема расположения цилиндров. Пример: q4R - обозначает поперечно расположенный четырехцилиндровый рядный двигатель; 4Ve - 4 клапана на цилиндр.

21 Генератор переменного тока (14 В)

Сила тока выражается в амперах, мощность - в ваттах.

22 Аккумуляторная батарея (12 В)

Емкость батареи выражается в ампер-часах, ток холодного разряда в амперах.

23 Расположение двигателя и схема привода

В случае среднего или заднего расположения двигателя автомобиля буквы, предшествующие дефису, показывают расположение двигателя, а те, что следуют за ним, расположение ведущих колес. Например, h-h обозначает, что двигатель и ведущие колеса расположены в задней части автомобиля. Мтаа указывает, что двигатель располагается в средней части полноприводного автомобиля, т. е. у него все ведущие колеса, v-h обозначает автомобиль с передним расположением двигателя и задними ведущими колесами.

24 Передаточное отношение трансмиссии

Отдельные передаточные отношения между двигателем и вторичным валом коробки передач, см. также в пункте 23.

25 Передаточное число главной передачи Передаточное число между вторичным валом коробки передач и ведущими колесами.

26 Число передач

М - число ступеней механической коробки передач; (A) - число ступеней автоматической коробки передач; (CVT) — бесступенчатая трансмиссия. Пример: 5/4 (4) обозначает пяти- или четырехступенчатую механическую коробку передач или четырехступенчатую автоматическую коробку передач. В пункте 21 всегда перечисляются первые из вариантов.

27 Охлаждение

Пример: число 6,5 означает, что емкость жидкостной системы охлаждения составляет 6,5 л.

35/36 Подвеска колес передняя/задняя

Примеры: QI-F показывает наличие поперечного рычага с амортизаторной стойкой; Sa-LI-Sf обозначает наличие жесткого моста с продольными рычагами и спиральной пружиной.

38 Тормозная система

Пример: Sb-Tb-ABS обозначает наличие передних дисковых тормозов, задних барабанных тормозов и антиблокировочной системы тормозов.